



2010
07/07

P. Akmens
A. Krēslīnš

ĒKU APKURE
un
VENTILĀCIJA

I daļa



ZVAIGZNE ABC

www.zvaigzne.lv

Redaktore A. Strode

Grāmata izgatavota tipogrāfijā «Rota»

ISBN 5-405-01520-2

© 1995, apgāds «Zvaigzne ABC»

SATURS

Ievads	7
1. Iss vēsturisks apskats	9
2. Siltumtehniskie procesi mikroklimata inženiersistēmā	14
2.1. Termodinamika	14
2.1.1. Tehniskās termodinamikas pamatlīdzieni	15
2.1.2. Gāzu maisījumi	17
2.1.3. Ipatnējā gāzes siltumieltpība	18
2.1.4. Ūdens tvaiks. Iztvaikošana	19
2.1.5. Atmosfēra. Mitrs gaisis	20
2.1.6. Mitra gaisa diagrammas	24
2.1.7. Gaisa stāvokļa izmaiņu attēlošana H-x diagrammā	26
2.2. Siltumapmaiņa	28
2.2.1. Siltumapmaiņas veidi un galvenie līdzieni	28
2.2.2. Siltumvadišanas pamatlīdzieni	30
2.2.3. Siltumvadišana stacionārā režīmā	31
2.2.4. Siltuma konvekce	33
2.2.5. Siltuma starošana	35
2.2.6. Salikta siltumapmaiņa un siltuma pārnešana	37
3. Videsziņa	41
3.1. Apkārtējā vide. Klimatoloģija	41
3.2. Globālie klimatiskie mehānismi	42
3.3. Klimats	43
3.4. Cilvēka siltumreakcija	47
3.5. Metabolisms un siltuma bilance	48
3.6. Siltās un aukstās vides	49
3.7. Komforta sajūtu noteicošie apkārtējās vides faktori	51
3.8. Subjektīvie faktori. Apģērbs	54
3.9. Komforta rādītāji	55
3.10. Diskomforta sekas	56
4. Būvniecības siltumtehnika	57
4.1. Būvmateriālu siltumtehniskās īpašības	57
4.2. Ārējo norobežojošo konstrukciju siltumpārejas pretestība un virsmu temperatūra	60
4.3. Ārējo norobežojošo konstrukciju mitruma režīms	63
4.4. Ārējo norobežojošo konstrukciju gaiscaurlaidība	66
4.5. Grīdu virsmu siltumapgūves spēja	67
4.6. Ārējo norobežojošo konstrukciju siltumnoturība	68
4.7. Pamatformula siltuma zudumu aprēķināšanai caur norobežošām konstrukcijām	69

4.8. Norobežojošo konstrukciju virsmas laukuma mērišanas noteikumi	70	
4.9. Atsevišķi siltuma zudumu aprēķina gadījumi	71	
4.10. Papildu siltuma zudumu aprēķins un faktori, kas tos izraisa	72	
4.11. Ēkas siltuma zudumu aptuvena noteikšana	74	
4.12. Norobežojošo konstrukciju tehniski ekonomisks pamatojums	75	
4.13. Norobežojošo konstrukciju siltumtehniskais aprēķins	77	
4.14. Atsevišķu telpu siltuma zudumu aprēķins	79	
5. Apkure	82	
5.1. Apkures sistēmu veidi	82	
5.2. Sildķermeņi	84	
5.2.1. Sildķermeņu veidi	85	
5.2.2. Sildķermeņu izvēle un izvietošana	91	
5.2.3. Sildķermeņu siltumatveces regulēšana	94	
5.3. Ūdens apkures sistēmas	94	
5.3.1. Ūdens apkures sistēmu darbības princips	94	
5.3.2. Ūdens apkures sistēmu klasifikācija un shēmas	98	
5.3.3. Vaļējās un slēgtās izplešanās tvertnes	106	
5.3.4. Apkures sistēmu atgaisošana	108	
5.3.5. Ūdens apkures sistēmu cauruļvadi un armatūra	110	
5.3.6. Ūdens apkures sistēmu hidrauliskā aprēķina metodes	112	
5.3.7. Dabiskās cirkulācijas ūdens apkures sistēma	115	
5.4. Tvaika apkures sistēmas	123	
5.4.1. Tvaika apkures sistēmu klasifikācija	124	
5.4.2. Zemspiediena tvaika apkures sistēmas	126	
5.4.3. Augstspiediena tvaika apkures sistēmas	129	
5.4.4. Vakuuma tvaika apkures sistēmas	131	
5.4.5. Tvaika apkures sistēmu elementi	131	
5.5. Centralizētās un decentralizētās ūdens-ūdens un tvaika-ūdens apkures sistēmas	132	
5.6. Gaisa apkures sistēmas	137	
5.7. Saules enerģijas izmantošana ēku apkurē	140	
5.8. Staru parēju apkures sistēmas	143	
5.9. Elektriskā apkure	146	
5.10. Gāzes apkure	148	
5.11. Apkures sistēmu montāža, pārbaude un apkalpošana	150	
Pielikumi	153	
1. pielikums. Galveno siltumtehnisko lielumu vienību sakarību tabulas	153	
2. pielikums. Ēku norobežojošo konstrukciju siltumpārejas pretestības	156	
3. pielikums. Būvmateriālu siltumtehniskie parametri	157	
4. pielikums. Telpu mitruma režims	159	
5. pielikums. Datu siltumvadītspējas koeficienta aprēķina vērtību izvēlei atkarībā no konstrukcijas ekspluatācijas apstākļiem (A vai B)	159	
6. pielikums. Klimatiskie dati dažādām pilsētām	160	
7. pielikums. Āra gaisa aprēķina temperatūras T_A vērtības atkarībā no siltuma ierces raksturojuma D	160	

Apkures un ventilācijas iekārtas ir nepieciešamas mikroklimata uzturēšanai telpās. Mikroklimata uzturēšanu un regulēšanu sadzīves un ražošanas telpās var realizēt, izvēloties pīmērotas būvkonstrukcijas, kas norobežo iekšējo vidi no ārējās vides un otrādi, vai lietojot attiecīgas inženieriekārtas un sistēmas nepieciešamo telpas gaisa parametru (temperatūras, mitruma, kustīguma un sastāva) un būvkonstrukciju pareiza ekspluatācijas režīma nodrošināšanai.

Apkures un ventilācijas iekārtas ir nepieciešamas mikroklimata uzturēšanai telpās. Mikroklimata uzturēšanu un regulēšanu sadzīves un ražošanas telpās var realizēt, izvēloties pīmērotas būvkonstrukcijas, kas norobežo iekšējo vidi no ārējās vides un otrādi, vai lietojot attiecīgas inženieriekārtas un sistēmas nepieciešamo telpas gaisa parametru (temperatūras, mitruma, kustīguma un sastāva) un būvkonstrukciju pareiza ekspluatācijas režīma nodrošināšanai.

Apkures un ventilācijas iekārtas ir nepieciešamas mikroklimata uzturēšanai telpās. Mikroklimata uzturēšanu un regulēšanu sadzīves un ražošanas telpās var realizēt, izvēloties pīmērotas būvkonstrukcijas, kas norobežo iekšējo vidi no ārējās vides un otrādi, vai lietojot attiecīgas inženieriekārtas un sistēmas nepieciešamo telpas gaisa parametru (temperatūras, mitruma, kustīguma un sastāva) un būvkonstrukciju pareiza ekspluatācijas režīma nodrošināšanai.

Apkures un ventilācijas iekārtas ir nepieciešamas mikroklimata uzturēšanai telpās. Mikroklimata uzturēšanu un regulēšanu sadzīves un ražošanas telpās var realizēt, izvēloties pīmērotas būvkonstrukcijas, kas norobežo iekšējo vidi no ārējās vides un otrādi, vai lietojot attiecīgas inženieriekārtas un sistēmas nepieciešamo telpas gaisa parametru (temperatūras, mitruma, kustīguma un sastāva) un būvkonstrukciju pareiza ekspluatācijas režīma nodrošināšanai.

Grāmatā izklāstīti mitra gaisa termodynamikas un siltumtehnikas teorētiskie pamati nepieciešamā apjomā, sniegtā īsa informācija par videsziņu, makroklimatu un vietējo klimatu, lietojamo inženieriekārtu un sistēmu darbības principiem, to lietošanu, izbūvi un aprēķinu. Ievietots izziņas materiāls mikroklimata uzturēšanas praktisko uzdevumu risināšanai. Apļukoti dažādi jautājumi, kas saistīti ar siltuma iegūšanu un piegādi patēriņajiem.

Latvijas enerģētikas saimniecībā ir notikušas un arī nākošnē paredzamas lielas pārmaiņas. Enerģijas ekonomija un apkārtējās vides aizsardzība klūst arvien svarīgākas, projektējot un ekspluatējot apkures un ventilācijas iekārtas un sistēmas.

Mikroklimata uzturēšana lauksaimniecības ražotnēs ir svarīgs faktors mājdzīvnieku turēšanā un to produktivitātes paaugstināšanā, augu fizioloģisko procesu intensificēšanā un ražas palielināšanā, kā arī gatavās produkcijas uzglabāšanā.

Mūsdienu rūpniecības nozarēs (ķīmiskajā rūpniecībā, tekstilrūpniecībā, radioelektronikā u. tml.) produkcijas augstu kvalitāti var nodrošināt, tikai uzturot ražotnēs atbilstošu mikroklimatu.

Ēku apkures un ventilācijas kurss izklāstīts 9 nodaļās, kas sadalītas 2 grāmatās — I un II daļā.

Šajā grāmatā — I daļā (1.—5. nodaļa) iztirzāta termodynamika, siltumapmaiņa, videsziņa, būvniecības siltumfizika un apkure.

IEVADS

II daļa (6.—9. nodaļa) aplūkoti jaūtājumi, kas saistīti ar ventilāciju un gaisa kondicionēšanu, gaisa apmaiņu dažādās ēkās, kurināmo, siltuma avotiem un siltumapgādi.

Grāmata paredzēta kā mācību līdzeklis augstskolu arhitektūras un būvniecības specialitāšu studentiem. To var izmantot arī vidējo speciālo mācību iestāžu audzēkņi, apkures un ventilācijas sistēmu projektēšanas, ierikošanas un ekspluatācijas inženiertehniskie darbinieki, kā arī individuālo ēku būvētāji.

Ievadu, 1.—4. un 6., 8., 9. nodaļu sarakstījis P. Akmens,
5. un 7. nodaļu — A. Krēslīns.

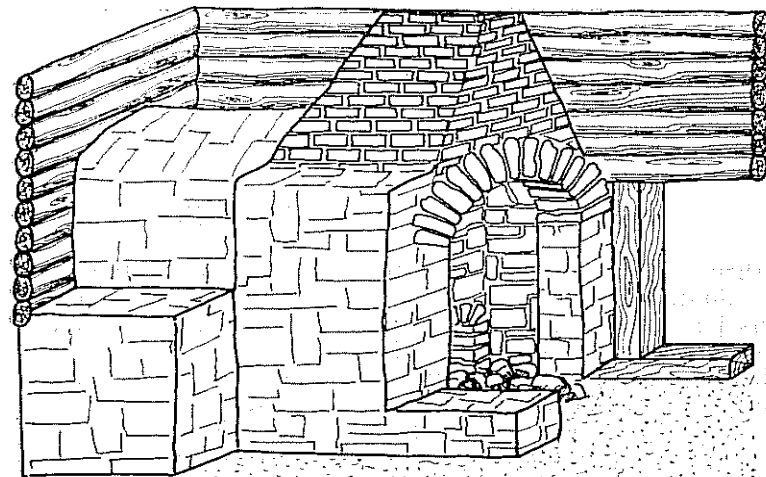
1. ĪSS VĒSTURISKS APSKATS

Pirmais cilvēku radītais siltumavots bija uz mītnes grīdas iedzedzinātais ugunskurs. Ugunskuru nomainīja akmens krāvums jeb pavards un dūmu istabas, kuru galvenā pazīme bija tā, ka degšanas produkti ieplūda apsildāmajā telpā un tos novadīja pa jumta seguma caurumu. Arheologiskie izrakumi liecina, ka šāda apkure sastopama vēl 9. gadsimtā.

Senlatviešu slieteņu un guļkoku mītnes sākumā apsildīja ar telpā novietotu ugunskuru — pavardu. Uz pavarda gatavoja ēdienu, tas deva siltumu mītnes iemītniekiem līdz tam laikam, kad sāka būvēt ar krāsni apkurināmas istabas. Pavardu (ugunskuru) sākumā veidoja seklā bedrē, kurinot ugumi starp akmeņiem, uz kuriem vārēja novietot ēdienu gatavošanas traukus. Sakarsētus akmeņus izmantoja arī kā siltuma akumulatorus, gatavojojot ēdienus un dzērienus (pat vārīja koka traukos, iemetot tajos sakarsētus akmeņus). Pavardu tālāk uzlabojot, tam izveidoja paaugstinātu kuldū (piemēram, Lātgalē četrstūrainu cirsni), ko pildīja ar zemi un apmūrēja ar māliem. Lai celtnē neaizdegtos no pavarda dzirkstelēm, virs tā ierikoja pārsegumu — rovi. Tas 17. gadsimta aprakstā pieminēts kā izliekts egļu zaru pinums, kas apmests ar māliem, kuriem piejaukts kapāts siens. Apmesti koka konstrukcijas rovji bija sastopami vēl pirms otrā pasaules kara. Tie parasti nepārsedza visu telpu, bet tikai pašu pavarda vietu. Sādu ēdienu gatavošanas vietu latviešu lauku mājā vēsturiski sauc arī par namu, jo senāk visa cilvēku mītnē sastāvēja no vienas telpas ar pavardu. Vēlāk tika ieviesti mūrētie rovji, kas velvēs veidā pārsedza nama aizņemto vietu celtnē, un pats nams arī bija no mūra. Konstruktīvi rovju bieži veidoja tā, lai dūmi varētu izplūst jumta telpā: vai nu rovja augšējais gals bija nošķelts, vai arī nama priekštelpa bija bez griestiem.

Izbūvējot vīrs mūrētām nama sienām konusveida dūmu novadu cauri jumtam, radās t. s. skursteņa riams jeb «mantel-skurstenis» (Kurzemē «dižais skurstenis»), kas ilgi bija tipisks lauku dzīvojamām ēkām, it sevišķi Kurzemē un Zemgalē. Tas atradās ēkas centrā, un dienas gaisma namā (virtuvē) ieplūda tikai no augšas pa skursteņa caurumu un durvīm.

Neatnemama Latvijas lauku sētas sastāvdaļa ir rija ar rījas krāsni (l.l. att.). Rijas bija arī apdzīvojamas, it sevišķi

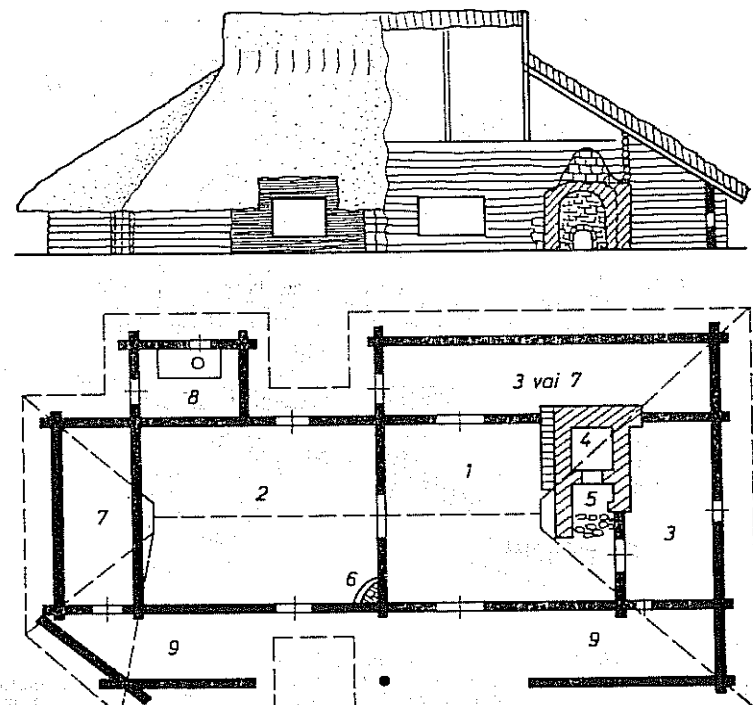


1.1. att. Rījas krāsns.

austrumu un ziemeļu rajonos (1.2. att.). Pirmās zīgas par rījām baltu tautu novadā sniedza Pitejs* (apm. 320. g. pirms Kristus dzimšanas). Vācu ienākšanas laikā Latvijā un Igaunijā rījas minētas jau dokumentos (1240. g.).

Eiropas un Āzijas kontinentā, galvenokārt Ķīnā un Japānā, plaši lietoja pārnēsājamus ogļu traukus — vara pannas. Uz šādām pannām, kuras senāk pēc izpildījuma bija mākslas priekšmeti, sadedzināja koka ogles. 1.3. attēlā parādīta romiešu vara ogļu panna, kuras diametrs ir 500 mm, dziļums 120 mm un trijkāja augstums 1000 mm. Ar šādu ogļu panni apsildija telpu ar 1000 m^3 tilpumu, kuras siltuma zudumi bija apmēram 10 000 W. Par to, cik šāds apsildes veids bija pierasts, liecina fakts, ka vēl 1790. gadā Londonas parlamenta žāles apsildīja ar ogļu pannām, kaut gan tad jau lietoja samērā pilnveidotas centralizētas gaisa un tvaika apkures sistēmas. Anglija bija tvaika apkures sistēmu šūpulis. Senāk šādas ogļu pannas lietoja augstmaņu un bagātnieku mājās, bet mūsdienās šādu siltumavotu vēl var sastapt dažu Eiropas dienvidu rajonu nabadzīgo iedzīvotāju mītnēs.

Pirmās iebūvētās ēku apsildes sistēmas bija sastopamas apmēram pirms 2200 gadiem. Arheoloģiskie izrakumi Itālijā,



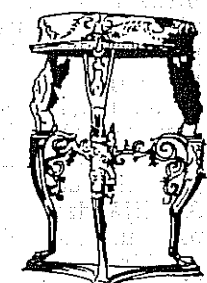
1.2. att. Rījas plāna shēma:

1 — rījas telpa; 2 — piedarbs; 3 — dzīvojamais kambaris; 4 — krāsns; 5 — rovis; 6 — rūķis (ceplītis); 7 — gobenis; 8 — dzirnavu kambaris; 9 — pieejumis.

Francijā, Šveicē, Vācijā un Anglijā rāda ainu, kurā redzami tiem laikiem ievērojami sasniegumi ēku apkurē un pat ventilācijā. Tās ir uguns apkures sistēmas, kuras ievada telpā sakarsētu gaisu. Lai gan šādas sistēmas radās senajā Romā, tās nosauktas grieķu vārdā «hipokausts», kas nozīmē «no apakšas sasildītais».

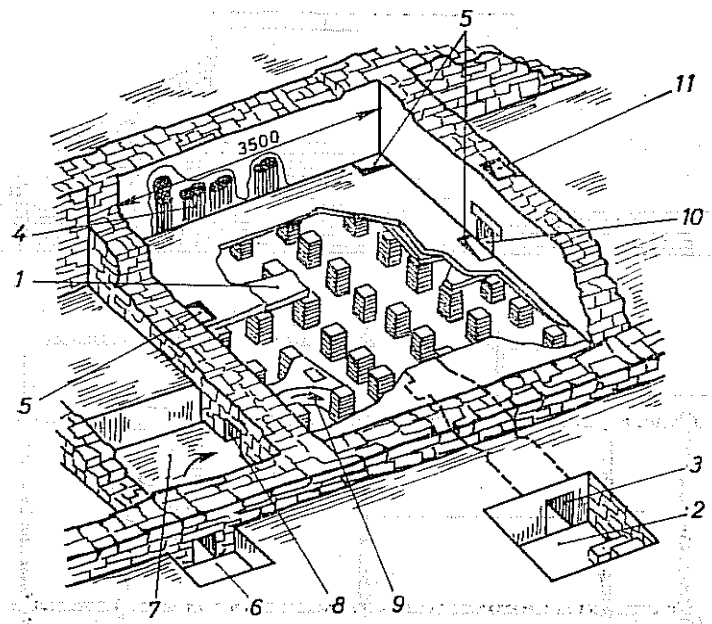
Senās Romas slavenais kara inženieris Vitruvijs (dzīvojis 1. gs. otrajā pusē pirms Kristus) savā sacerējumā «Par arhitektūru» devis šīs sistēmas detalizētu aprakstu.

Mūsdienās Vācijas teritorijā (Tiringenē) senajā romiešu kolonijā izdarītajos izrakumos



1.3. att. Ogļu panna.

* Sengrieķu geogrāfs, kas dzīvoja Aleksandra Lielā laikā un sniedza pirmās zīgas par ģermāniem un Baltijas jūras krastu, kur atrad dzintaru.



1.4. att. Apkures sistēma ar hipokaustumiem:

1 — smilšķemšu plātnē (apkalpes un remonta lūkas nosēzšanai); 2 — padziļinājums kurtuvei; 3 — kurtve (koka ogļu sadedzināšanai); 4 — vertikāli apdedzināta māla dūmavadi; 5 — ar plātinētiem nosegti atvērumi siltā gaisa ieplūdes regulēšanai; 6 — āra gaisa ieplūdes atvērums; 7 — āra gaisa priekšķameras; 8 — kanāls gaisa ieplūdei hipokaustuma; 9 — novirzītājsienības; 10 — kamīnveida padziļinājums; 11 — keramikas ventilačijas kanāls.

atrastas šādas sistēmas paliekas (1.4. att.). Šeit, tāpat kā Vitrūvija aprakstā, apsildāmās telpas grīda bija veidota no 50 mm biezām apdedzinātām māla plātnēm, virs kurām bija 150 mm biezš klapa slānis. Hipokaustuma telpa tika sildīta ar deggāzēm (domājams, ka lietoja koka ogles, lai nebūtu sodrēju). Telpas apsilde sākās brīdī, kad aizsedza dūmvadu 4 atvērumus un pēc vajadzības atsedza siltā gaisa ieplūdes atvērumus 5. Kuriņāmā degšanas intensitāti un arī siltā gaisa ieplūdi telpā varēja regulēt, aizsedzot un atsedzot atvērumu 6.

Tamildzīgas apkures sistēmas romieši lietoja gan dzimtenē, gan ziemeļu provincēs — pašreizējā Francijā, Sveicē, Vācijā, Anglijā dzivojamio, sabiedrisko un kara būvju, piemēram, cietokšņu, apsildei.

Atrokošā senpilsētu Herkulānu (Vezuva pākājē 7,5 km no Neapolis), kura gāja bojā vulkāna Vezuva izvirduma laikā 79. gadā pēc Kristus dzimšanas, ir redzams, ka hipokaustumis tika lietots pat divstāvu ēku apkurei. Vienā no šīs pilsētas

villām atrasta ietaise, ar kuru pa sienā īemūrētām apdedzinātām māla caurulēm siltais gaiss tika padots otrā stāva telpā. Gaisa izplūdes atvērumi bija nosegti ar lauvu galvām, kuru rīklēs ierikoti regulēšanas vārsti.

Paralēli hipokaustuma apkures sistēmām atīstījās arī zemgrīdas kanālu apkures sisēmas, kuras darbojās tāpat kā pirmās. Romieši lietoja arī abu šo sistēmu kombinācijas.

Afškirībā no aprakstītajiem paņēmieniem Efesas pilsētā (dibināta II. gadu tūkstoša 2. puse pirms Kristus mūsdienu Turcijas teritorijā) telpu apkrei jau tajā laikā lietoja caurulišu sistēmu, kura padeva sasildītu ūdeni no pagrabā novietotiem katliem.

Romas impērijas krišana radīja ievērojamu kultūras un tehnikas attīstības kritumu, kad pilnīgi izsīka ziņas par apkures ierīcēm. Pie senģermāniem atkal bija sastopami atklātas uguns siltumavoti (malkas ugunskuri), kuru dūmus nenovādīja skurstenī het izlaida caur griestu atvērumu.

Kamīnu apkure, kas ir telpas apsilde ar atklātu uguri, novadot dūmgāzes caur dūmeni, bija sastopama jau 820. gadā. Par to liecina Sanktgallenes klosterā (Sveicē) rasējumi, kuri

Pirmie dokumentālie pierādījumi par krāsnīm mūsdienī izprātnē attiecas uz 14. gadsimtu. Pirmās krāsnis parādījās Vācijā un Krievijā. Krāsns kā apkures iekārtā ir seno laiku un viduslaiku uzkrātās pieredes rezultāts, kurā apvienota cēnšanās atdot telpai maksimālu siltuma daudzumu, izvadīt dūmgāzes no telpas, kā arī uzkrāt siltumu. Krāsns savā evolūcijā ir nogājusi ne mazāk kā 1000. gadu un ir sasniegusi zināmu pilnību. Sis apkures veids atšķirībā no ogleu pannām ir gājis no «būdiņām uz pilīm». Sākumā (10.—14. gs.) krāsnis lietoja vienkāršā tauta. Tikai 14. gadsimtā tās ieviesa arī pilīs. Seit tās ar laiku pārvērtās arī par mākslas priekšmetiem, par interjera sastāvdaļu, vienlaikus uzlabojās to siltumtehniskās īpašības.

18. gadsimta beigās ēkās sāka lietot tvaika un lūdens centrālapkures sistēmas, bet 19. gadsimta sākumā izveidoja pirmās raiona siltumapgādes sistēmas.

Interesanti atzīmet, ka centrālapkures sistēmas vispirms radīja oranžēriju un siltumniču vajadzībām. Dzīvojamās un sabiedriskajās ēkās tās ieviesa lēni un sākumā tikai paralēli tradicionālajiem apkures veidiem.

Mūsdienī apkures un ventilācijas iekārtās varien biežāk izmanto tādus netradicionālus energijas (siltuma) avotus kā saule, apakšzemes termālie ūdeņi, vējš u. c.

2. SILTUMTEHNISKIE PROCESI MIKROKLIMATA INŽENIERSISTĒMĀS

Aplūkojot siltumtehniku no mikroklimata inženiersistēmu viedokļa, tā aptver ļoti plašu jautājumu loku, kas saistīts ar kurināmā ķīmiskās enerģijas pārveidošanu siltuma un mehāniskajā enerģijā, siltuma ieguvi, pārveidošanu un pārvadīšanu iekārtās un konstrukcijās, vielu siltumtehniskajām ipašībām un siltuma pārvietošanos tajās.

Siltumtehnikas teorētiskais pamats ir termodinamika un siltumapmaiņa.

Siltumu plaši izmanto rūpniecības un lauksaimniecības ceļtu, dažādu transporta līdzekļu, sabiedrisko un dzīvojamā ēku inženieriekārtās un sistēmās (apkures, ventilācijas un gaisa kondicionēšanas iekārtās, karstā ūdens apgādes sistēmā), kā arī sadzīvē.

Siltumtehnikas pamati jāzina jebkuras nozares inženieriem.

2.1. TERMODINAMIKA

Termodinamika ir zinātne par enerģiju un tās ipašībām.

Iz trīs pamatlikumi, uz kuriem balstās termodinamika. Tā pirmām kārtām balstās uz enerģijas nezūdamības likumu: enerģija nerodas no jauna un nezūd, bet tikai pārvēršas no viena veida otrā. Siltums un darbs ir savstarpēji pārveidojami. Jebkurā sistēmā izdalītās enerģijas daudzumam jābūt vienādam ar pievadītās enerģijas daudzumu.

Otrs termodinamikas pamatlikums nosaka, ka siltuma (vai enerģijas) pārnešana var notikt tikai vienā virzienā: no vairāk sasildīta ķermenē uz mazāk sasildītu ķermenī jeb, vispārinot, no augstāka potenciāla uz zemāku potenciālu. Tas nozīmē, ka iekārta var atdot enerģiju tikai tad, ja tai enerģiju pievada. Bez tam šis likums nosaka, ka nav iespējams radīt tādu iekārtu, kura veiktu darbu (pārveidotu siltumu mehāniskā darbā) un kurā būtu tikai enerģijas uzkrājējs. Nepieciešams gan siltuma avots, gan arī dzesētājs. Citiem vārdiem, tikai daļu siltuma plūsmas var pārvērst darbā.

Sie divi pamatlikumi jāzina, lai izprastu procesus, kuri notiek mikroklimata inženieriekārtās.

Trešais termodinamikas likums attiecas uz gadījumiem ar tik zemām temperatūrām, kādas nav sastopamas apskalītajās inženiersistēmās.

2.1.1. Tehniskās termodinamikas pamatlēdzieni

Tehniskās termodinamikas uzdevums ir šaurāks, tā aplūko dažu enerģijas veidu (siltuma, mehāniskās u. c.) savstarpējas pārvēršanās likumības, kā arī darba ķermenē makroskopiskās ipašības. Procesu izpēte balstās uz minētajiem termodinamikas pamatlikumiem, un šo metodi sauc par termodinamisko metodi. Metodes būtība pamatojas uz enerģijas līdzsvaru, kura noteikšanā izmanto procesiem raksturīgās likumsakarības.

Mūsdienās šī metode ir kļuvusi par universālu izpētes metodi arī tādās sistēmās kā ražošana, ekonomika, informātika, bioloģija u. c. Siltumapgādes, apkures, ventilācijas un gaisa kondicionēšanas sistēmu izvēlē tā ir pamatmetode.

Termodinamiskā sistēma — ķermenē kopa, kuri var enerģētiski iedarboties savā starpā vai uz apkārtejo vidi, kā arī apmainīties ar vielas masu. Termodinamikā aplūko sistēmas, kas sastāv no haotiskā kustībā esošām mikrodaļinām. Gāzi vai tvaiku (sistēmu), ar kura palīdzību notiek enerģijas pārveidošana, sauc par *darba vielu* vai *darba ķermenī*. Gaiss ir darba viela ventilācijas sistēmā, ūdens vai tvaiks — apkures sistēmā utt. Var būt slēgtas sistēmas un atklātas sistēmas, kurām notiek masas apmaiņa ar apkārtejo vidi. Ja slēgtai sistēmai enerģiju nepievada vai nenovada, to sauc par izolētu sistēmu, ja tai nenotiek siltumapmaiņa, — par adiabātisku sistēmu. Homogēnām (viendabīgām) sistēmām ir vienādas ipašības visās to daļās, kuras nav atdalītas. Heterogēnās sistēmas sastāv no vairākām homogēnām daļām.

Viela var būt cietā, šķidrā, gāzveida vai plazmas stāvoklī. Sistēmas stāvokli nosaka neatkarīgi lielumi — parametri. To izmaiņa laikā norāda uz nestacionāru sistēmas stāvokli. Parametriem nemainoties, sistēmas stāvoklis ir stacionārs. Ja nav enerģijas un masas plūsmu, tad sistēma atrodas līdzsvara stāvoklī jeb termodinamiskā līdzsvarā.

Lai raksturotu šo sistēmas (darba ķermenē) stāvokli, pie tiek ar trim galvenajiem parametriem: spiedienu, temperatūru un blīvumu.

Spiediens — mikrodaļu triecienu uz trauka sienām rezultāts. To izsaka ar spēku, kas darbojas perpendikulāri sienai uz vienu laukuma vienību. Termodinamisko spiedienu pieņemts apzīmēt ar p .

Atmosfēras (barometrisko) spiedienu p_b mēra ar barometru. Aparātu virsspiediena (virsatmosfēras) jeb manometriskā spiediena p_m mērišanai sauc par manometru. Retinājuma vai

vakuumā spiedienu p_v mēra ar vakuumetru; nelielmi retinājušiem lieto velknes mēritāju. Jāievēro, ka vakuūmetra rādījumi ir visai atkarīgi no apkārtējās vides (barometriskā) spiediena.

Pilnais jeb absolūtais spiediens

$$p_a = p_b + p_m; \quad p_a = p_b - p_v. \quad (2.1)$$

Tātad spiediens ir spēks, ar kuru darba ķermenis iedarbojas uz virsmas laukuma vienību. Starptautiskajā vienību sistēmā (SI) spēka vienība ir nūtons (N). Tad spiediena vienība ir N/m^2 , ko sauc par paskālu (Pa). Spiediena vienība 1 Pa ir visai mazs lielums, tādēļ praksē to lieto, pievienojot priedēkļus deka (da), hekti (h), kilo (k), mega (M), t.i., $1 \text{ daPa} = 10 \text{ Pa}$, $1 \text{ hPa} = 10^2 \text{ Pa}$, $1 \text{ kPa} = 10^3 \text{ Pa}$, $1 \text{ MPa} = 10^6 \text{ Pa}$.

Praksē joprojām ir sastopami gadījumi, kad manometri graduēti tehniskajās atmosfērās — 1 at = $9,81 \cdot 10^4 \text{ Pa}$.

Temperatūra raksturo sistēmas vai tās sastāvdaļu sasiluma pakāpi, un tā ir proporcionāla mikrodaļu kustības vidējai kinētiskajai enerģijai. Termodynamikā raksturo temperatūru T , kurās skalas sākumpunkts ir absolūta nullē un kurās vienība ir Kelvina grāds — *kelvins* (K).

Praksē plaši izmanto starptautisko simtgādu temperatūras skalu, kurā temperatūru apzīmē ar t un tās vienība ir Celsija grāds, ($^{\circ}\text{C}$). Viens kelvins ir skaitliski vienāds ar vienu Celsija grādu ($1 \text{ K} = 1 \text{ }^{\circ}\text{C}$). Starp absolūto un simtgādu temperatūru pastāv šādas sakarības: $T = t + 273,15$; $t = T - 273,15$. (2.2)

Darba vielas *īpatnējais tilpums* ir viena masas kilograma ieņemtais tilpums, t.i.,

$$\rho = \frac{V}{m}, \quad (2.3)$$

kur ρ — darba vielas īpatnējais tilpums, m^3/kg ; V — darba vielas kopējais tilpums, m^3 ; m — darba vielas masa, kg .

Īpatnēja tilpuma apgrieztais lielums ir darba vielas *bīlvums* ρ , kg/m^3 , t.i.,

$$\rho = \frac{1}{V} = \frac{m}{V}. \quad (2.4)$$

Lai salīdzinātu dažadas darba vielas, jāizvēlas noteikts stāvoklis, kuru raksturo spiediens un temperatūra. Darba vielas parametrus reducē uz t.s. normāliem apstākļiem: izšķir normālos fizikālos apstākļus un normālos tehniskos apstākļus.

Termodinamikā par darba vielas normāliem fizikāliem apstākļiem pieņemta temperatūra $T = 273,15 \text{ K}$ jeb $t = 0 \text{ }^{\circ}\text{C}$ un spiediens $p = 101325 \text{ Pa}$, kas atbilst vienai fizikālajai atmosfērai (atm), t.i., 760 mm Hg. Tilpuma vienību šādos apstākļos apzīmē ar nm^3 (normālkubikmetrs).

Normālie tehniskie apstākļi ir $t = 15 \text{ }^{\circ}\text{C}$ un $p = 1 \text{ atm}$ (tehniskā atmosfēra) vai $t = 20 \text{ }^{\circ}\text{C}$ un $p = 1 \text{ bar} = 10^5 \text{ Pa}$. Normālos tehniskos apstākļus sauc arī par standartapstākļiem.

2.1.2. Gāzu maisījumi

Siltumtehnikā galvenokārt sastopas ar gāzu maisījumiem (daudzkomponentu): atmosfēras gaiss, kurināmā sadegšanas produkti utt. Tie ir mehāniski maisījumi, kuros starp komponentiem nenotiek ļīmiska reakcija.

Ja pieņem, ka maisījumu veido ideālās gāzes, tad katram gāzem (komponenti) neatkarīgi no pārējām gāzēm pieņem trauka formu un rada spiedienu uz trauka sienām. Spiedienu, ko radītu atsevišķa gāze, ja tā viena pati dotajā temperatūrā ieņemtu visu trauka tilpumu, sauc par gāzes *parciālo spiedienu*. Saskaņā ar Daltona likumu gāzu maisījuma kopējais spiediens ir vienāds ar atsevišķo gāzu (komponentu) parciālo spiedienu summu:

$$p = p_1 + p_2 + p_3 + \dots + p_n = \sum_{i=1}^n p_i, \quad (2.5)$$

kur p_1, p_2, \dots, p_n — gāzu maisījuma komponentu parciālie spiedieni.

Gāzu maisījuma sastāvu izsaka arī masas vai tilpuma daļas. Ja atsevišķu komponentu masas ir M_1, M_2, \dots, M_n , tad kopējā masa

$$M = M_1 + M_2 + M_3 + \dots + M_n. \quad (2.6)$$

Biežāk maisījuma sastāvu dod kā masas daļu m summu:

$$\sum_{i=1}^n m_i = \sum_{i=1}^n M_i / M = 1 \quad (\text{vai } 100\%).$$

Analogiski tilpuma daļu r summa ir:

$$\sum_{i=1}^n r_i = \sum_{i=1}^n V_i / V = 1 \quad (\text{vai } 100\%).$$

Par atsevišķas gāzes (komponenta) *parciālo tilpumu* V_i gāzu maisījumā sauc tilpumu, ko ieņemtu šī gāze, ja dotajā temperatūrā tā atrastos gāzu maisījuma radītā spiedienā. Tāpēc šo parciālo tilpumu sauc arī par reducēto tilpumu.

tūra. Nemainoties spiedienam, vārišanās notiek pastāvīgā temperatūrā, ja nepārtraukti pievada siltumu.

Kondensācija ir process, kurā tvaiks pārvēršas šķidrumā. Kondensācijas temperatūra ir nemainīga, ja process notiek pastāvīgā spiedienā.

Sublimācija ir tvaika veidošanās no cietas vielas, izpaliekot šķidrai fāzei.

Desublimācija ir sublimācijai pretējs process. Abi procesi var norisināties tikai stingri noteiktos ārējos apstākļos.

Tvaiks var būt *piesātināts* un *pārkarsēts*.

Piesātināts tvaiks, iztvaikojot šķidrumam, atrodas ar to fāzu līdzsvarā, t. i., tā temperatūra ir vienāda ar vāroša šķidruma temperatūru (resp. kondensācijas temperatūru) dotajā spiedienā. Šāds tvaiks var būt *saus* piesātināts un *mitrs* piesātināts.

Sausa piesātinātā tvaikā visa šķidrā fāze ir iztvaikojusi, un tā temperatūra atbilst šķidruma vārišanās temperatūrai dotajā spiedienā. Mitrs piesātināts tvaiks satur šķidruma (ūdens) pielenus.

Sausa tvaika stāvokļa raksturošanai pietiek ar tā spiedienu vai temperatūru.

Tātad, pievadot mitram tvaikam (ja $p = \text{const}$) siltumu, tā temperatūra nepaaugstinās tik ilgi, līdz viss šķidrums ir iztvaikojis. Turpinot sildīšanu (ja $p = \text{const}$), tvaika temperatūra sāk paaugstināties virs iztvaikošanas, resp., piesātināšanas temperatūras un tvaiks kļūst pārkarsēts. Pārkarsēta tvaika stāvokļa noteikšanai nepieciešams zināt divus termodinamiskos parametrus, piemēram, spiedienu un temperatūru.

Tātad tvaika rašanās process sastāv no 3 galvenajiem posmiem:

- 1) ūdens sildīšana līdz vārišanās temperatūrai;
- 2) ūdens vārišanās;
- 3) tvaika pārkarsēšana.

Tvaika rašanās procesu var uzskatāmi attēlot diagrammās, kuru lietošana atvieglo daudzu praktisku uzdevumu risināšanu.

2.1.5. Atmosfēra. Mitrs gaisss

Apkures, ventilācijas un gaisa kondicionēšanas sistēmās par darba vielu izmanto apkārtējo gaisu — atmosfēru. Tā ir sausa gaisa un ūdens tvaika maisījums. Par sausu gaisu sauc gaisu, kas nesatur ūdens tvaiku. Tā galvenās sastāvdāļas ir slāpeklis ($\approx 79\%$) un skābeklis ($\approx 21\%$), kā arī nelielā daudzumā citas dabā sastopamās gāzes. Atmosfēras gaisss ir mitrs gaisss, kurā vienmēr ir ūdens tvaiks — parasti pārkarsēta stāvokli. Psihrometrija (sengrieķu *psychria* — aukstums + *metreos* — mēriju).

pēta mitru gaisu. Tās pamatu izpratnei ir būtiska nozīme, lai veiktu siltumtehnisko procesu aprēķinus un to analīzi.

Viens no visbiežāk lietojamiem gaisa parametriem ir tā temperatūra.

Temperatūru, ko rāda termometrs, uz kura jutīgo daļu tieši iedarbojas apkārtējais gaisss, sauc par *sausā termometra temperatūru (STT)*, un to apzīmē ar t . Ja ir dota gaisa temperatūra bez papildu nosacījumiem, tad ar to jāsaprot STT.

Par *mitrā termometra temperatūru (MTT)* sauc temperatūru, ko uzrāda termometrs, kura jutīgā daļa (piemēram, dzīvsudraba rezervuārs) ir aptīta ar plānu audumu (marle, batists), kura gals iegremdēts ūdens trauciņā. So temperatūru apzīmē ar t_m .

Mitru gaisu var tuvināti uzskaitīt par ideālu gāzi, piemērojot tam likumus, kas attiecas uz ideālu gāzu maisījumiem. Viens no tādiem ir Daltona likums, pēc kura gaisa kopējais spiediens p ir sausa gaisa parciālā spiediena p_{sg} un gaisā esoša ūdens tvaika parciālā spiediena p_{tv} summa:

$$p = p_{sg} + p_{tv}. \quad (2.12)$$

Ventilācijas un gaisa kondicionēšanas sistēmās gaisss parasti atrodas atmosfēras spiedienā, tāpēc svarīgākais komponents vienādojumā (2.12) ir p_{tv} , t. i., ūdens tvaika parciālais spiediens.

Ūdens tvaikam, kas parasti atrodas gaisā pārkarsētā stāvoklī, parciālais spiediens mainās plašās robežās atkarībā no gaisa temperatūras. Tas var būt arī piesātinātā stāvoklī. Jo augstāka ir gaisa temperatūra, jo lielāks ir piesātināta ūdens tvaika parciālais spiediens p_{tv} (2.1. att.).

Kā redzams 2.1. attēlā, gaisa spēja saturēt ūdens tvaiku, paaugstinoties temperatūrai, strauji palielinās.

Ja gaisu, kās satur lielāku vai mazāku ūdens tvaika daudzumu, atdzessē pastāvīga spiediena apstākļos, tad stingri noteiktā temperatūrā šis tvaiks kļūst piesātināts. Sasniegto stāvokli sauc par *rasas punktu* un atbilstošo gaisa temperatūru — par *rasas punkta temperatūru (RPT)*, ko apzīmē ar t_r .

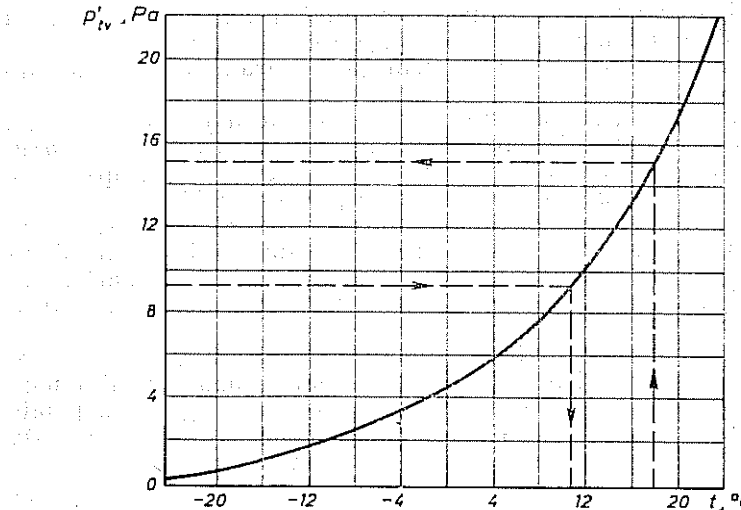
Gaisa mitrumu raksturo ar absolūtu mitrumu, mitruma saturu un relatīvo mitrumu.

Par *absolūtu gaisa mitrumu* sauc ūdens tvaika masu vienā kubikmetrā sausa gaisa. Tātad absolūtais gaisa mitrums skaitīs vienāds ar gaisā esošā ūdens tvaika blīvumu ρ_{tv} , kg/m^3 .

Par gaisa *mitruma saturu* sauc ūdens tvaika masas daudzumu vienā sausa gaisa daudzuma vienībā — 1 kg vai 1 m^3 .

Mikroklimata inženieriekārtu aprēķinos lietojamo mitruma saturu x , $\text{kg mitruma/(kg sausa gaisa)}$, aprēķina pēc formulas

$$x = \frac{p_{tv}}{p_{sg}}. \quad (2.13)$$



2.1. att. Piesātināta ūdens tvaika parciālā spiediena atkarība no gaisa temperatūras t .

Sākotnējs mitruma satura apzīmējums bija d , kg mitruma/ $(m^3$ sausa gaisa). Šis parametrs nav ieviesies mikroklimata inženieriekārtu aprēķinos, jo, to lietojot, jāņem vērā gaisa ieņemtā tilpuma izmaiņas, mainoties gaisa temperatūrai.

Tomēr ar apzīmējumu d jāsastopas Austrumeiropas valstu tehniskajā literatūrā (arī krievu un latviešu valodā izdotās grāmatās), kurā tas ir mitruma saturs, g mitruma/(kg sausa gaisa), t. i.,

$$d = \frac{p_{tv}}{p_{sg}} \cdot 1000. \quad (2.14)$$

Izmantojot ideālu gāzu termodinamiskā stāvokļa vienādojumus un ievietojot gāzu konstantes skaitliskās vērtības, mitruma saturu var izteikt šādi:

$$x = 0,622 \frac{p_{tv}}{p_b - p_{tv}}, \quad (2.15)$$

$$d = 622 \frac{p_{tv}}{p_{sg}} = 622 \frac{p_{tv}}{p_b - p_{tv}}, \quad (2.16)$$

vai pārveidojot

$$p_{tv} = \frac{p_b d}{622 + d} = \frac{p_b x}{0,622 + x}. \quad (2.17)$$

Tātad ūdens tvaika parciālo spiedienu gaisā, ja $p_b = \text{const}$, nosaka mitruma saturs, un tas nav atkarīgs no gaisa temperatūras.

Dotajā temperatūrā gaisā var būt tikai noteikts maksimālais mitruma daudzums, kas atbilst piesātināta tvaika koncentrācijai.

Par *relatīvo gaisa mitrumu* φ sauc faktiskā ūdens tvaika koncentrācijas attiecību pret piesātinātu ūdens tvaiku koncentrāciju dotajā gaisa temperatūrā. Koncentrāciju attiecību var izteikt ar attiecīgo blīvumu vai parciālo spiedienu attiecību:

$$\varphi = \frac{p_{tv}}{p'_{tv}} = \frac{p_{tv}}{p''_{tv}}, \quad (2.18)$$

kur p'_{tv} un p''_{tv} — piesātināta ūdens tvaika blīvums un parciālais spiediens.

Par termodynamiskas sistēmas *entalpiju* sauc tās iekšējās enerģijas un tilpuma enerģijas summu. Entalpiju sauc arī par pilnu siltumsaturu.

Entalpijas daudzuma vienība ir J vai kJ.

Entalpijas īpatnējā vērtība h ir attiecīnāta uz vienu masas vienību — kg, un to izsaka J/kg vai kJ/kg. Tehniskajā literatūrā (galvenokārt Austrumeiropas, kā arī latviešu) joti izplatīts entalpijas apzīmējums ir I (J vai kJ) un i (J/kg vai kJ/kg).

Sausa gaisa īpatnējā siltumietilpība c_{sg} pastāvīga spiediena apstākjos ir atkarīga no temperatūras. Tomēr, nemot vērā to, ka temperatūras izmaiņas ventilācijas un gaisa kondicionēšanas sistēmās nepārsniedz $-50 \dots +50^\circ\text{C}$, var pieņemt vidējo īpatnējo siltumietilpību $c_{sg} = 1,005 \text{ kJ}/(\text{kg} \cdot \text{K})$.

Pieņemot, ka 0°C temperatūrā sausa gaisa entalpija $h_{sg} = 0$, iegūst

$$h_{sg} = c_{sg} t. \quad (2.19)$$

Ūdens tvaika entalpija h_{tv} sastāv no ūdens entalpijas gaisa temperatūrā t un iztvaikošanas mitruma r :

$$h_{tv} = c_{H_2O} t + r, \quad (2.20)$$

kur c_{H_2O} — ūdens īpatnējā siltumietilpība ($4,1868 \text{ kJ}/(\text{kg} \cdot \text{K})$).

Ūdens iztvaikošanas siltums r , kJ/kg, savukārt ir atkarīgs no ūdens temperatūras, t. i.,

$$r = 2495 - 2,36t. \quad (2.21)$$

Tātad

$$h_{tv} = 4,1868t + 2495 - 2,36t = 2495 + 1,8268t. \quad (2.22)$$

Gaisa entalpija, kuru attiecinā uz 1 kg sausa gaisa, sastāv no sausa gaisa entalpijas un ūdens tvaika entalpijas:

$$H = h_{sg} + h_{tv}. \quad (2.23)$$

Ievietojot attiecīgas vērtības, entalpiju H , kJ/kg, izsaka šādi:

$$H = 1,005t + (2495 + 1,8268t)x. \quad (2.24)$$

Iegūtie vienādojumi pilnīgi raksturo mitra gaisa termodinamisko stāvokli, ja ir doti divi tā parametri, piemēram, t un φ , t un x , H un x . Tomēr analītiskie aprēķini aizņem daudz laika. Lai atvieglotu dažādus aprēķinus, it sevišķi prognozēšanu un dažādu variantu salīdzināšanu, lieto grafoanalitisko metodi, izmantojot diagrammas.

2.1.6. Mitra gaisa diagrammas

Viena no mitra gaisa diagrammām ir $H-x$ diagramma. Šo diagrammu plaši lieto dažādu kaltēšanas, ventilācijas un gaisa kondicionēšanas iekārtu izpētē, analizē un aprēķinos. Par abscisu pieņemts gaisa mitruma saturs x , bet par ordinātu — entalpija H . Lai racionāli izmantotu diagrammas laukumu, to konstrue slīpēnka koordinātu sistēmā ar $a > 90^\circ$, kura gadījumā var izdarīt aprēķiniem pietiekosī precīzus nolasījumus gaisa stāvokliem, kādus sastop ventilācijas un gaisa kondicionēšanas tehnikā. Aukstumtehnikas aprēķinos lieto $H-x$ diagrammas ar liejākām šī lenķa vērtibām, bet, aprēķinot procesus kaltēs, — ar mazākām vērtibām. Uz vertikālās (ordinātu) ass atliek entalpijas vērtības izraudzītā mēroga, pieņemot par koordinātu sākumu absolūti sausa gaisa termodinamisko stāvokli 0°C temperatūrā.

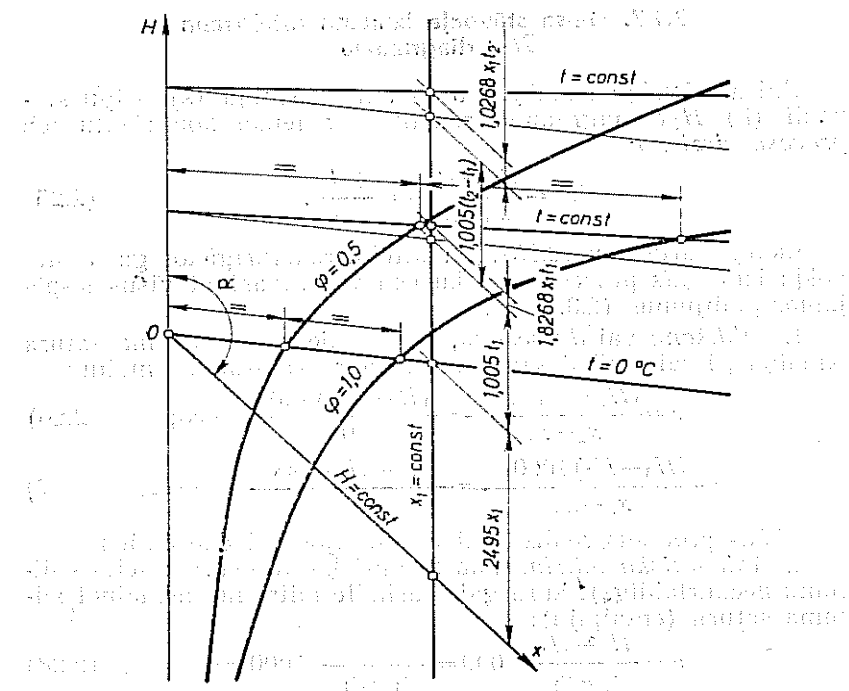
Izmantojot vienādojumus (2.16), (2.18), (2.24) un attiecīgus piesātināta mitra gaisa parametrus, koordinātu H un x tīklā attēlo izotermas un relatīva mitruma izolinijas (2.2. att.).

Izotermas nav paralēlas, bet veido staru kūli, jo, kā redzams 2.2. attēlā, palielinoties mitruma saturam un temperatūrai, attālumis starp tām palielinās.

Relatīva mitruma izoliniju novietojums diagrammā ir atkarīgs no barometriskā spiedieni: jo lielāks tas ir, jo zemāk novietota likne $\varphi=1,0$. Tāpēc mitra gaisa $H-x$ diagrammas sastāda kādam noteiktam spiedienam. Latvijā vēlams lietot $H-x$ diagrammas atmosfēras spiedienam 101,325 GPa, jo Rīgai aprēķinos lietojamais barometriskais spiediens pieņemts 760 mm Hg.

$H-x$ diagrammas laukums, kas atrodas zem liknes $\varphi=1,0$, attēlo pārsātināta gaisa termodinamisko stāvokli — miglu. Migla ir divfāzu sistēma, kas sastāv no pārsātināta mitra gaisa un sīkiem pilieniņiem vai ledus kristāliem.

Jebkuru gaisa termodinamisko stāvokli $H-x$ diagrammā attēlo punkts. Bez jau apskatītajiem parametriem — temperatūras t , entalpijas H , relatīva mitruma φ , mitruma saturs x , ūdens



2.2. att. $H-x$ diagrammas. Šajā diagrammā attēloti mitra gaisa parametri: t — temperatūra, φ — relatīva mitruma saturs, x — mitruma saturs, H — entalpija. Ūdens tvaika parciālā spiediena p_{tv} — diagrammā var nolasīt arī RPT, piesātināta ūdens tvaika parciālo spiedienu un MTT.

RPT atrodas izoliniju x un $\varphi=1,0$ krustpunktā.

Piesātināta ūdens tvaika parciālais spiediens p_{tv} dotajā gaisa temperatūrā ir izotermas un izolinijas $\varphi=1,0$ krustpunktā.

MTT var nolasīt ar precīzitāti, kāda nepieciešama ventilācijas un gaisa kondicionēšanas aprēķinos. To atrod dotā gaisa stāvokļa punkta izoentalpas H un liknes $\varphi=1,0$ krustpunktā. Precīzākos aprēķinos, piemēram, aprēķinot kaltes, lieto $H-x$ diagrammas, kurās ir līnijas $t_M=\text{const}$.

Ārzemju literatūrā par siltumtehniku jāsastopas ar mitra gaisa diagrammu, kuru sauc par psihrometrisko diagrammu jeb karti. Pie mums šī diagramma nav izplatīta. Ar psihrometriskās diagrammas uzbūvi un lietošanu var iepazīties speciālā literatūrā.

2.1.7. Gaisa stāvokļa izmaiņu attēlošana *H-x* diagrammā

Gaisa stāvokļa izmaiņu no sākuma stāvokļa (s) beigu stāvoklī (b) *H-x* diagrammā raksturo ar leņķa koeficientu jeb procesa virzienu:

$$\epsilon = \frac{H_b - H_s}{x_b - x_s} = \frac{\Delta H}{\Delta x}. \quad (2.25)$$

Lietojot attiecību (2.25), var attēlot raksturīgākos gaisa stāvokļa izmaiņas procesus, no kuriem var atvasināt visus iespējamos gadījumus (2.3. att.).

1. *Sildišana* vai *dzesēšana*, kura notiek bez mitruma saturā izmaiņas, izraisa tikai sausā termometra rādījumu izmaiņu:

$$\epsilon = \frac{(H_2 - H_1) 1000}{x_2 - x_1} = \frac{(H_2 - H_1) 1000}{0} = +\infty; \quad (2.26)$$

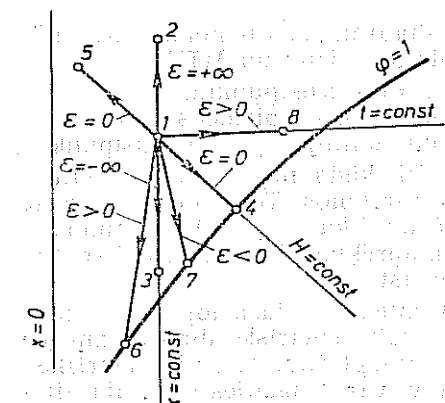
$$\epsilon = \frac{(H_3 - H_1) 1000}{x_2 - x_3} = \frac{(H_3 - H_1) 1000}{0} = -\infty. \quad (2.27)$$

Šādus procesus realizē gaisa sildītajos vai dzesētajos.

2. *Adiabatiskā mitrināšana* (sengrieķu *adiabatos*: šeit — siltumu necaurlaidīgs), kurā gaisis asimilē mitrumu, nemainot siltuma saturu (entalpiju):

$$\epsilon = \frac{H_4 - H_1}{x_4 - x_1} 1000 = \frac{0}{x_4 - x_1} 1000 = 0. \quad (2.28)$$

Šādus procesus var realizēt, iztvaicējot ūdeni gaisa plūsmā, — tā saucamās rasinātavās.



2.3. att. Gaisa stāvokļa izmaiņas procesu attēlojošā stara virziena atkarība no ϵ vērtības.

3. *Adiabatiskā sausināšana*, kurā, gaisam atdodot mitrumu, izdalās iztvaikošanas siltums:

$$\epsilon = \frac{H_5 - H_1}{x_5 - x_1} 1000 = \frac{0}{x_5 - x_1} 1000 = 0. \quad (2.29)$$

Šādus procesus realizē, laižot gaisa plūsmu caur ķīmiskiem sorbentiem (piem., silikagels), kuri absorbē ūdens tvaiku. Tvaikam kondensējoties, izdalās iztvaikošanas siltums.

4. *Dzesēšana ar sausināšanu*, kura realizējas, kad

turpina gaisa atdzesēšanu vēl pēc relatīvā mitruma $\varphi=1$ sasniegšanas. Turpinot atdzesēšanu, no gaisa uz dzesētāja virsmas izdalās kondensāts. Šo gaisa sausināšanas paņēmienu sauc arī par *izsaldēšanu*. Sei

$$\epsilon = \frac{H_6 - H_1}{x_6 - x_1} 1000 = \frac{-(\Delta H)}{-(\Delta x)} 1000 > 0. \quad (2.30)$$

Ja šādu gaisa apstrādi realizē, turpinot otrajā punktā apstrādīto režīmu pēc $\varphi=1$ sasniegšanas, tad iegūst procesus ar minusa zīmi, kuros notiek gaisa dzesēšana un mitrināšana, t. i.,

$$\epsilon = \frac{H_7 - H_1}{x_7 - x_1} 1000 = \frac{-(\Delta H)}{(\Delta x)} 1000 < 0. \quad (2.31)$$

5. *Sildišana ar mitrināšanu* ir process ar plusa zīmi:

$$\epsilon = \frac{H_8 - H_1}{x_8 - x_1} 1000 = \frac{\Delta H}{\Delta x} 1000 > 0. \quad (2.32)$$

Šādus procesus realizē, pievienojot gaisam tvaiku gatavā veidā. Kontaktējot ar piesātinātu vai pārkarsētu ūdens tvaiku, gaisa parametru izmaiņas procesa virziens praktiski sakrit ar izotermu, kaut gan teorētiski gaisa temperatūra nedaudz paaugstinās.

Iepriekš minētos procesus var realizēt vienā aparātā vai ar vienu ierīci.

6. *Sajaukšana*. Pēc *H-x* diagrammas var noteikt sajauktu gaisa plūsmu rezultējošās plūsmas parametrus, kā arī aprēķināt sajaucamo plūsmu parametrus nepieciešamās rezultējošās plūsmas iegūšanai. No tā izriet, ka, zinot siltuma un mitruma izdalījumus jeb asimilējumus ventilējamā tilpumā, var noteikt, kādiem jābūt pieplūdes gaisa parametriem un masai, lai attiecīgi pievadītu vai novadītu šos siltuma un mitruma daudzumus.

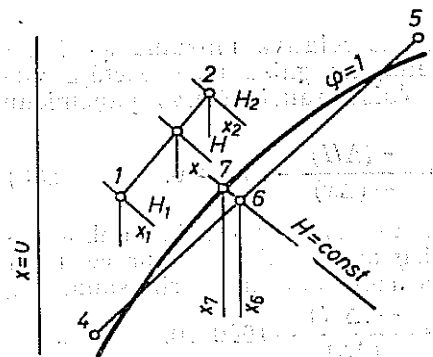
Jebkurus divus punktus (2.4. att.), kas raksturo gaisa plūsmu termodinamisko stāvokli, var savienot ar taisni. Maisījuma parametrus var noteikt pēc formulām

$$\frac{H_2 - H}{H - H_1} = \frac{x_2 - x}{x - x_1} = \frac{M_1}{M_2}, \quad (2.33)$$

$$\frac{H_2 - H}{H - H_1} = \frac{x_2 - x}{x_2 - x_1} = \frac{M_1}{M}, \quad (2.34)$$

kur M_1 , M_2 un M — sausā gaisa masa attiecīgos komponentos un maisījumā, kg.

Sajaucot divas dažādu stāvokļu gaisa plūsmas (4. un 5. punkti), var iegūt procesu ar daļēju mitruma kondensāciju (2.4. att.). Process, kurā maisījums iegūst stabili stāvokli, notiek temperatūrā $t_M = \text{const}$, un $x_6 - x_7$ izsaka procesā kondensējušos mitruma daudzumu.



2.4. att. Gaisa sajaukšanas procesu attēli H - x diagrammā.

Procesus, kuros neviens parametrs nesaglabā savu sākotnējo vērtību, sauc par politropiskiem.

Kad ir zināms gaisa sākuma stāvoklis (pieplūdes gaisa stāvoklis), tad, nosakot tā beigu stāvokli (noplūdes gaisa stāvokli), rīkojas šādi. Pēc attiecīgas formulas nosaka procesa virzienu φ , atrod to H - x diagrammā un ar divu trisstūri palīdzību novelk tam paralēlū taisni caur punktu, kas raksturo pieplūdes gaisa stāvokli (punkts ar koordinātām H_s ; x_s).

Jā procesa virzienu precīzi iezīmē diagrammā, tad izoentalpai H_b un mitrumsā satūra izolīnijai x_b jākrustojas uz procesa virziena taisnes. Šo triju taisnu krustpunkts raksturo noplūdes gaisa stāvokli, un no diagrammas var nolasīt visus tā parametrus.

2.2. SILTUMAPMAINA

Siltumapmaiņa ir siltuma energijas izplatīšanās ķermenēs vai to kopā — sistēmas neatkarīgi no to agregātstāvokļa.

Siltumapmaiņa ir sarežģīts process, kas sastāv no trim būtiski atšķirīgiem siltuma izplatīšanās veidiem — siltumvadišanas, konvekcijas un siltuma starošanas.

2.2.1. Siltumapmaiņas veidi un galvenie jēdzienu

Ar siltumvadišanu saistītos procesos energija tiek pārnesta tiešas vielu daļiņu (molekulai, atomi, elektronai) saskaršanās rezultātā. Šāds siltumapmaiņas process var notikt jebkuros ķermenēs, bet pats mehānisms atkarīgs no to agregātstāvokļa. Šķidrumu un atsevišķu gāzu siltumvadītspēja ir nenozīmīga. Cietu ķermenē siltumvadītspēja mainās loti plašās robežās.

Siltumā pārnešana konvekcijas veidā notiek tikai gāzes un šķidrumos, pārvietojoties un sajaucoties vielas daļām ar dažādām temperatūrām. Konvektīvā kustība var notikt divējādi — dabiskās (gravitācijas) un piespiedu konvekcijas veidā.

Ja šķidruma vai gāzes daļiņu pārvietošanās notiek masu blīvuma starpības dēļ, tad šādu procesu sauc par dabisko (gravitācijas) konvekciju. Tā, piemēram, centrālapkures sistēmas sildķermenis sasilda telpas gaisu, saskaroties ar to. Sasilišo gaisu izspiež aukstais telpas gaisss, pārvietojot to uz augšu. Tādā veidā siltums ar gaisu tiek pārnesta no sildķermenē uz citām telpas vietām.

Piespiedu konvekcijas gadījumā šķidrums vai gāze tiek pārvietota un sajaukta, izmantojot sūknī, ventilatoru vai cītas ierīces. Šajā gadījumā siltumapmaiņa notiek intensīvāk nekā dabiskajā konvekcijā.

Siltuma starošanā siltumapmaiņa notiek no viena ķermenē uz otru ar elektromagnētisko vilni starpniecību. Elektromagnētiskie vilni no ķermenē virsmais izplatās visos virzienos. Saduroties ar cītiem ķermenēm, daļa starojuma energijas var absorbēties, pārvēršoties no jauna siltuma (paaugstinot ķermenē temperatūru) energijā.

Reālās sistēmas siltuma energija vienlaikus tiek pārnesta visos trijos vai divos veidos. Tā, piemēram, centrālapkures sildķermenē (radiatori, konvektori u. c.) ārējā virsma izstaro un konvekcijas veidā atdod siltumu, ko tā saņem siltumvadišanas veidā no siltumnesēja (ūdens, tvaiks u. c.).

Siltumapmaiņu no cieta ķermenē uz gāzi vai šķidrumu un otrādi sauc par siltumatdevi.

Siltumapmaiņu starp divām vidēm (gāzēm vai šķidrumiem) caur norobežojošu (atdalīšu) sieniņu sauc par siltumpāreju. Visu siltumapmaiņas veidu izpēte saistīta ar šādu jēdzienu lietošanu.

1. Siltums pāriet no viena ķermenē uz citu ķermenē vai no vienas tā daļas uz citu daļu tikai tad, ja šo ķermenē vai atsevišķo daļu temperatūras ir dažādas, turklāt siltumpāreja vienmēr notiek zemākās temperatūras virzienā.

2. Siltuma daudzumu, kuru pārnes laika vienībā, sauc par siltuma plūsmu Q . Ipatnējā siltuma plūsma q , W/m^2 , ir siltuma plūsmas lielums uz laukuma A vienību:

$$q = \frac{Q}{A}. \quad (2.34)$$

3. Temperatūru vērtību sadalījumu vielā raksturo ar temperatūras lauku, kurš izsaka temperatūru vērtību kopumu pētāmā vielas apjomā jebkurā laika momentā.

Vispārīgā gadījumā

$$t = f(x, y, z, \tau).$$

Temperatūras lauku, kurš mainās laikā, sauc par nestacionāru lauku.

Ja temperatūras lauks nemainās laikā, to sauc par *stacionāru lauku*:

$$t=f(x, y, z).$$

Visvienkāršākais ir stacionārais vienkoordinātas temperatūras lauks, t. i.,

$$t=f(x), \quad (2.35)$$

kuram būvju siltumfizikā ir vislielākā nozīme.

4. Temperatūras lauku pētāmā ķermenī vai sistēmā raksturo ar *izotermiskām virsmām*, kuras apvieno punktus ar vienādu temperatūru. Šķelot izotermiskās virsmas ar plakni, iegūst *izotermiskās līnijas* (2.5. att.).

Temperatūras pieauguma ātrumu raksturo ar temperatūras gradientu grad t . *Temperatūras gradients* ir vektors, kas vērts pa izotermiskās virsmas normāli temperatūras pieauguma virzienā. Tā vienība ir K/m.

2.2.2. Siltumvadīšanas pamatlīkums

Siltumvadīšanas pamatlīkums nosaka tiešu proporcionālīti starp īpatnējo siltuma plūsmu un temperatūras gradientu:

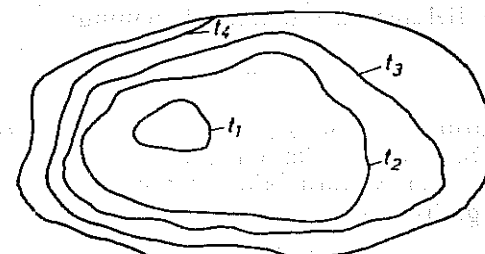
$$q = -\lambda \frac{\partial t}{\partial n} = -\lambda \text{grad } t, \quad (2.36)$$

kur λ — siltumvadīspējas koeficients, W/(m·K).

So vienādojumu 1822. gadā formulēja franču zinātnieks Furjē.

Mīnusa zīme norāda, ka siltuma plūsmas vektors vērts pa izotermiskās virsmas normāli temperatūras samazināšanās virzienā.

Siltumvadīspējas koeficientam ir liela nozīme būvju siltumtehniskajos aprēķinos. Tā skaitiskās vērtības dažādiem materiāliem atšķiras, un tās nosaka eksperimentāli. Savukārt



2.5. att. Izotermu līnijas.

dotajam materiālam λ mainās atkarībā no temperatūras, mitruma, apstrādes veida un citiem faktoriem. Daudzi būvniecībā lietojamie materiāli ir poraini, sastāv no šķiedrām. Šādos materiālos tukšumus aizpilda gāzes vai šķidrumi, un tāpēc to siltumvadīspējas koeficients ir atkarīgs no blīvuma un mitruma.

2.2.3. Siltumvadīšana stacionārā režīmā

Apskatīsim siltumvadīšanu plakanā vienslāņa sieniņā, kurās siltumvadīspējas koeficients λ ir pastāvīgs lielums, virsmu temperatūras τ_1 un τ_2 , pie tam $\tau_2 < \tau_1$ (2.6. att.). Siltums izplatās x ass virzienā. Ar šādiem noteikumiem temperatūras lauks sieniņā ir vienkoordinātas un izotermiskās virsmas ir plaknes, kas paralēlas sieniņas virsmām.

Siltumvadīšanas vienādojums slānim ar biezumu dx pēc Furjē likuma ir

$$q = -\lambda \frac{dt}{dx}, \quad (2.37)$$

jeb

$$dt = -\frac{q}{\lambda} dx. \quad (2.38)$$

Integrējot vienādojumu (2.38), iegūst

$$t = -\frac{q}{\lambda} x + C. \quad (2.39)$$

No vienādojuma (2.39) redzams, ka temperatūra sieniņas biezumā mainās lineāri.

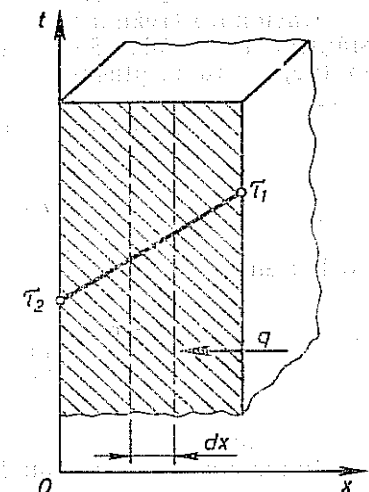
Integrēšanas konstantes atrod no robežnosacījumiem temperatūras vērtībām uz sieniņas virsmām: ja $x=0$, tad $t=\tau_1$, no kurienes $C=\tau_1$; ja $x=\delta$, tad $t=\tau_2$ un iegūst

$$\tau_2 = -\frac{q}{\lambda} \delta + \tau_1.$$

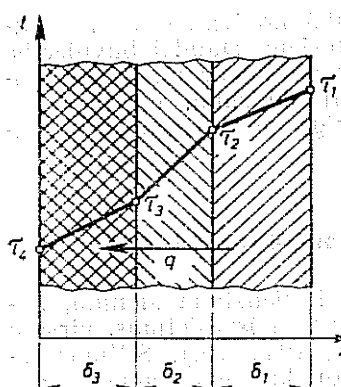
Rezultātā

$$q = \frac{\lambda}{\delta} (\tau_1 - \tau_2). \quad (2.40)$$

No vienādojuma (2.40) redzams, ka īpatnējā siltuma plūsma



2.6. att. Siltumvadīšana plakanā vienslāņa sieniņā.



2.7. att. Siltumvadišana plākanā daudzslāņu sienīnā.

ir tieši proporcionāla temperatūras kritumam $\Delta\tau = \tau_1 - \tau_2$, un tāpēc

$$q = \frac{\lambda}{\delta} \Delta\tau \quad (2.40)$$

jeb

$$q = \frac{\Delta\tau}{\delta/\lambda} = \frac{\Delta\tau}{R}. \quad (2.41)$$

Attiecību $\delta/\lambda = R$ sauc par *termisko pretestību*.

Zinot iepriekšējo siltuma plūsmu q , kopējo siltuma daudzumu, kas vienas stundas laikā izplūst caur virsmu A , var aprēķināt pēc formulas

$$Q = qA. \quad (2.42)$$

Kopējais siltuma daudzums, kas tiek pārnesti caur vienīšanu sienīnu, ir proporcionāls iepriekšējai siltuma plūsmai q un sienīnas virsmas laukumam A .

Apskatīsim siltumvadišanu daudzslāņu sienīnā, kurā slāni cieši pieguļ viens otrs. Katram slānim ir noteikts biezums δ_i un siltumvadīspējas koeficients λ_i (2.7. att.). Tā, piemēram, ēku sienas un pārsegumi ir daudzslāņu konstrukcijas.

Stacionārā režīmā siltuma plūsma caur visiem sienīnas slāniem ir vienāda. Saskaņā ar formulu (2.40) katram slānim iepriekšējā siltuma plūsma

$$q = \frac{\lambda_1}{\delta_1} (\tau_1 - \tau_2); \quad q = \frac{\lambda_2}{\delta_2} (\tau_2 - \tau_3);$$

$$q = \frac{\lambda_3}{\delta_3} (\tau_3 - \tau_4),$$

no kurienes

$$\tau_1 - \tau_2 = q \frac{\delta_1}{\lambda_1}; \quad \tau_2 - \tau_3 = q \frac{\delta_2}{\lambda_2};$$

$$\tau_3 - \tau_4 = q \frac{\delta_3}{\lambda_3}.$$

Summējot šo vienādību labās un kreisās pusēs, iegūst

$$\tau_1 - \tau_4 = q \left(\frac{\delta_1}{\lambda_1} + \frac{\delta_2}{\lambda_2} + \frac{\delta_3}{\lambda_3} \right),$$

no kurienes

$$q = \frac{\tau_1 - \tau_4}{\frac{\delta_1}{\lambda_1} + \frac{\delta_2}{\lambda_2} + \frac{\delta_3}{\lambda_3}} = \frac{\Delta\tau}{R}, \quad (2.43)$$

kur $\Delta\tau$ — sienīnas ārējo virsmu temperatūru starpība; $R = R_1 + R_2 + R_3 + \dots + R_n$ — daudzslāņu sienīnas termiskā pretestība.

Kopējo siltuma plūsmu Q caur daudzslāņu sienīnu izsaka formula

$$Q = \frac{\tau_1 - \tau_{n+1}}{R} A. \quad (2.44)$$

Siltuma plūsmu Q caur daudzslāņu sienīnu var iegūt arī, ja sienīnām ir daudzslāņu konstrukcija, kura sastāv no vairākiem slāniem, kas savienoti vienādiem apjomiem, bet dažādiem slāņu biezumiem. Šādā gadījumā daudzslāņu sienīnu siltumvadīspēja λ ir daudzslāņu konstrukcijas siltumvadīspēja, kas ir daudzslāņu konstrukcijas daudzpusējs parametrs, kurš atkarīgs no daudziem faktoriem:

2.2.4. Siltuma konvekcija

Siltuma daudzumu Q , ko pārnes konvekcijas veidā, izsaka ar Nūtona formulu:

$$Q = \alpha A (t_{sk} - \tau), \quad (2.45)$$

kur α — proporcionālītās koeficients, kuru sauc par siltumatdeves koeficientu;

t_{sk} — siltumnesēja temperatūra, $^{\circ}\text{C}$;

τ — siltumā avota sienīnas temperatūra, $^{\circ}\text{C}$;

A — siltumnesēja un siltuma avota sienīnas saskarvirsmas laukums, m^2 .

Pieņemot $A = 1 \text{ m}^2$, var noteikt iepriekšējo siltuma plūsmu:

$$q = \alpha (t_{sk} - \tau). \quad (2.46)$$

No vienādojuma (2.46) var izteikt temperatūru starpību $t_{sk} - \tau$ un sienīnas temperatūru τ , t. i.,

$$\tau = t_{sk} - \frac{q}{\alpha}, \quad (2.47)$$

kur $\frac{1}{\alpha}$ — sienīnas termiskā pretestība siltumatdevei. Atšķirībā no formulas (2.45) var lietot gan siltumatdevei no šķidruma (gāzes) uz sienīnu, gan arī pretēji. Abos gadījumos pieņem absolūtu temperatūru starpību.

Siltumatdeves koeficients α , kura vienība ir $\text{W}/(\text{m}^2 \cdot \text{K})$, rāda, cik daudz siltuma pārvietojas laika vienībā no šķidruma (gāzes) uz 1 m^2 sienīnas virsmu (un pretēji), ja sienīnas virsmas un šķidruma temperatūru starpība ir 1° . Atšķirībā no siltumvadīspējas koeficienta λ siltumatdeves koeficients α ir ļoti daudzpusējs parametrs, kurš atkarīgs no daudziem faktoriem:

šķidruma (gāzes) kustības rakstura (lamināra vai turbulentā plūsma) un cēloņa; šķidruma (gāzes) kustības ātruma v ; šķidruma (gāzes) fizikālajiem parametriem (siltumvadītspējas koeficients λ , viskozitāte, blīvums ρ , siltumietilpība c_p , tilpuma izplešanās koeficients β); šķidruma (gāzes) un sieniņas temperatūrām t_{sk} , τ ; formas virsmai, kuru apskalo šķidrums (gāze), un tās izmēriem l_1 , l_2 , l_3 ,

Tātad

$$\alpha = f(v, \lambda, \rho, c_p, \beta, t_{sk}, \tau, l_1, l_2, l_3, \dots)$$

Koeficiente α noteikšanai lieto empiriskas formulas, kurām ir ierobežots lietošanas apjoms.

Precīzākus rezultātus iegūst, izmantojot *dimensiju un līdzības teoriju*, ar kuru var pierādīt, ka α ir atkarīgs nevis no katras minētā faktora atsevišķi, bet gan no noteiktu faktoru grupējumiem. Šie grupējumi ir bezdimensiju lielumi, t. s. līdzības skaitļi, kas nosaukti to zinātnieku vārdos, kuriem ir lieli nopelnī attiecīgo problēmu risinājumos (sk. [6]).

Tā, piemēram, gāzes (gaisa) kustību virs ūdens virsmas raksturo ar *Reinoldsa skaitli*

$$Re = \frac{vL}{\nu}$$

kur v — gāzes kustības ātrums, m/s;

L — virsmas garums gāzes kustības virzienā, m;
 ν — gāzes kinemātiskā viskozitāte, m²/s.

Brīvās konvekcijs apstākļos masas (ūdens tvaika) apmaiņu starp gaisu un ūdens virsmu izsaka ar *Arhimēda skaitli*

$$Ar = \frac{L^3 g}{\nu^2} \cdot \frac{\rho_1 - \rho_2}{\rho_1}$$

kur g — brīvās krišanas paātrinājums, m²/s;

ρ_1 un ρ_2 — mitrā gaisa blīvums attiecīgi uz ūdens virsmas un apkārtējā telpā, kg/m³.

Procesa intensitāti, galvenokārt masas apmaiņu palielina arī ūdens tvaika parciālo spiedienu atšķirība tuvu ūdens virsmai un apkārtējā gaisā. To ievēro, lietojot *Stefana skaitli*

$$Sp = \frac{p_b}{p_{tv} - p_{tv}} \ln \frac{p_b - p_{tv}}{p_b + p_{tv}}$$

kur p_{tv} — tvaika parciālais spiediens uz šķidruma virsmas.

Mitrā gaisa fizikālo īpašību raksturošanai lieto termisko un difūzijas *Prandtla skaitli*

$$Pr = \frac{\nu}{a} \text{ un } Pr' = \frac{\nu}{D}$$

kur a — mitra gaisa siltumvadītspējas koeficients, m²/s;
 D — difūzijas koeficients, m²/s.

Apkārtējā gaisa siltuma un mitruma izmaiņas, iztvaikojot šķidrumam, raksturo attiecīgi ar termisko un difūzijas *Nuselta skaitli*

$$Nu = \frac{\alpha L}{\lambda} \text{ un } Nu' = \frac{\beta_m L}{D}$$

kur β_m — masas apmaiņas koeficients, m/s.

Bez šeit aplūkotajiem ir arī citi līdzības skaitļi, kurus lieto speciālos gadījumos. Līdzības teorijas lietojums aprakstīts arī 2. daļā — 6.2. sadaļā.

2.2.5. Siltuma starošana

Visi ķermenī, jebkurā temperatūrā izstaro un absorbē siltumu. Ar siltuma starošanu sastopamies arī ēku apkures un ventilācijas sistēmās, katlos, žāvēšanas ierīcēs u. tml. Siltuma starojums var būt vienmērīgs vai koncentrēts.

Atkarībā no virsmas fizikālajām īpašībām, formas un stāvokļa daļa starojuma energijas absorbējas, bet pārējā daļa atstarojas vai daļēji iziet cauri apstarotajam ķermenim.

Ja ķermenis pilnīgi absorbē saņemto starošanas energiju, to sauc par absolūti melnu ķermenī. Absolūti melnu ķermenī dabā nav. Īpašības, kuras tuvas absolūti melniem ķermeniem, piemīt naftas kvēpiem, ūdenim un ledum, melnai vadmalai, melnam samtam.

Ja ķermenis pilnīgi atstaro saņemto starošanas energiju, to sauc par absolūti baltu ķermenī. Pie ķermeniem, kas tuvi absolūti baltiem ķermeniem, pieskaita daļu pulētu metālu (zelts, varš u. c.). Balts ārejais apmetums labi atstaro redzamos saules starus, bet intensīvi absorbē neredzamos siltuma starus.

Ķermenīs sauc par absolūti caurspīdīgiem jeb diatermiskiem, ja tie visu ar starošanu saņemto energiju laiž sev cauri. Tā, piemēram, gaiss praktiski ir caurspīdīgs attiecībā uz siltuma stariem. Cieti ķermenī un šķidrumi turpretī ir necaurspīdīgi, jo praktiski absorbē siltuma starus plānā virskārtīnā. Daudzi ķermenī ir caurspīdīgi noteiktiem vilņu garumiem. Tā, piemēram, logu stikls laiž cauri redzamās gaismas starus, bet ir gandrīz necaurspīdīgs ultravioletajiem un infrasarkanajiem vilņiem.

Jozefs Stefans 1879. gadā eksperimentāli atrada un Ludvigs Bolcmans 1881. gadā teorētiski pierādīja sakarību starp absolūti melna ķermenī starojuma plūsmas blīvumu jeb intensitāti E_0 un tā temperatūru:

$$E_0 = \sigma_0 T^4, \quad (2.50)$$

kur σ_0 — absolūti melna ķermenja starošanas konstante, kuras aprēķinātā vērtība ir $5,670 \cdot 10^{-8} \text{ W}/(\text{m}^2 \cdot \text{K}^4)$, bet eksperimentāli noteiktā — $5,729 \cdot 10^{-8} \text{ W}/(\text{m}^2 \cdot \text{K}^4)$.

Aprēķinos lieto Stefana—Bolcmaņa likumu šādā formā:

$$E_0 = C_0 (T/100)^4, \quad (2.51)$$

kur $C_0 = 10^{-8} \sigma_0$ — absolūti melna ķermenja starošanas koeficients.

Stefana—Bolcmaņa likums ir spēkā arī reāliem ķermeniem — tā saucamiem pelēkiem ķermeniem:

$$E = C/(T/100)^4; \quad (2.52)$$

reālu ķermenju melnuma pakāpe —

$$\varepsilon = E/E_0 = C/C_0, \quad (2.52)$$

kur E — pelēka ķermenja starojuma plūsmas blīvums;

C — pelēka ķermenja starošanas koeficients.

Jā zināma ķermenja melnuma pakāpe, tad siltuma daudzumui, ko laika vienībā izstaro tā virsmas laukuma vienībā (stārojuma plūsmas intensitāti), var aprēķināt pēc formulas (stārojuma plūsmas intensitāti), var aprēķināt pēc formulas

$$E = \varepsilon E_0 = \varepsilon C_0 (T/100)^4 = 5,73 \varepsilon (T/100)^4. \quad (2.53)$$

Kermenja melnuma pakāpe ir $0 \dots 1$. Tā atkarīga no materiāla, virsmas temperatūras un virsmas tīrības. Metāliem tā palielinās līdz ar temperatūru, bet nemetāliskiem materiāliem, temperatūrai pieaugot, tā parasti samazinās.

Melnuma pakāpes skaitliskas vērtības atrodamas rokasgrāmatu tabulās.

Siltuma plūsmu Q_s , kuru izstaro ķermenis ar virsmu A , atrod šādi:

$$Q_s = EA = 5,73 A (T/100)^4. \quad (2.54)$$

Apskatīsim starošanas siltumapmaiņu starp divām paralēlām nelielā attālumā novietotām sieniņām (2.8. att.) ar noteikumu, ka viss vienas sieniņas starojums ir vērts uz pretējo sieniņu un to melnuma pakāpes un virsmu laukumi ir vienādi ($A_1 = A_2 = A$). Sieniņu temperatūras T_1 un T_2 ir nemainīgas, turklāt $T_1 > T_2$. Izmantojot Stefana—Bolcmaņa likumu, iegūst formulu

$$Q_s = 5,73 \varepsilon A ((T_1/100)^4 - (T_2/100)^4). \quad (2.55)$$

No formulas (2.55) var izteikt **siltumatdeves koeficientu**, kas raksturo starošanas veidā pārvadīto siltumu, t. i.,

$$\alpha_s = 5,73 \varepsilon \frac{(T_1/100)^4 - (T_2/100)^4}{T_1 - T_2}. \quad (2.56)$$

2.8. att. Divu paralēlu virsmu savstarpējā apstarošanās.

Tātad izstarotā siltuma plūsmia

$$Q_s = \alpha_s A (T_1 - T_2). \quad (2.57)$$

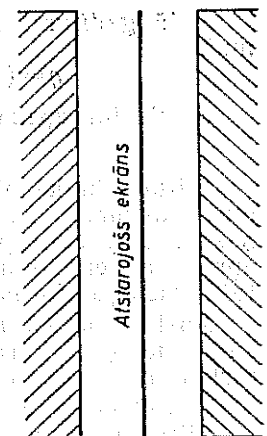
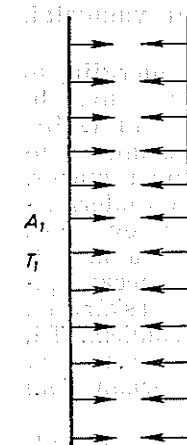
Siltumatdeves koeficients α_s ir atkarīgs no virsmu savstarpējā stāvokļa, formas un izmēriem. Tā noteikšanai var lietot grafoanalitiskās metodes, bet komplikētām virsmām izmanto eksperimentālas metodes.

Būvniecībā dažreiz rodas nepieciešamība paaugstināt konstrukciju termisko pretestību, nepalielinot to biezumu. Efektīgs panēmiens šādos gadījumos var būt atstarojošu ekrānu uzstādīšana (2.9. att.), kurus izgatavo no materiāliem ar mazu absorbcijas spēju un lielu atstarošanas spēju (atstarojošā izolācija).

Ja ekrāns un sieniņas, starp kurām tas novietots, materiāla un apstrādes ziņā neatšķiras, tad viens ekrāns samazina siltuma plūsmu 2 reizes, divi paralēli ekrāni — 3 reizes un n ekrāni — $n+1$ reizi.

Ja turpretī ekrānam ir loti maza absorbcijas spēja un tas labi atstaro starojuma enerģiju kā, piemēram, nikelēta plāksne vai plāna pulēta alumīnija plāksne, tad viens ekrāns samazina siltuma plūsmu 10...30 reizes.

Ieteicams lietot ekrānus ārējās norobežojošās konstrukcijās, kurās siltumapmaiņa starošanas veidā sastāda 70...80%.



2.9. att. Atstarojošs ekrāns starp paralēlām sieniņām.

2.2.6. Saliktā siltumapmaiņa un siltuma pārnešana

Apskatītie elementārie siltumapmaiņas veidi (siltumvadišana, konvekcija un siltuma izstarošana) praksē parasti notiek vienlaicīgi. Tā, piemēram, konvekcija vienmēr notiek vienlaicīgi ar siltumvadišanu, izstarošana bieži noris kopā ar konvekciju. Tam līdzīgas atšķirīgu siltumapmaiņas veidu kombinācijas var būt loti dažadas, un to loma kopējā procesā nav vienāda. Siltumapmaiņa starp sieniņu un to apskalojošu gāzi ir tipisks šāda salikta procesa piemērs, kad vienlaicīgi notiek konvekcija, siltuma pārnešana siltumvadišanas un izstarošanas veidā.

Saliktā siltumapmaiņas procesa siltumtehniskajos aprēķinos bieži lieto kopejo siltumatdeves koeficientu α , kas ir konvektīvā koeficienta α_k un starošanas koeficienta α_s summa:

$$\alpha = \alpha_k + \alpha_s. \quad (2.58)$$

Sajā gadījumā īpatnējo siltuma plūsmu aprēķina pēc formulas

$$q = (\alpha_k + \alpha_s) (t_{sk} - \tau) = \alpha (t_{sk} - \tau). \quad (2.59)$$

Ja sieniņu apskalo šķidrums, piemēram, ūdens, tad

$$\alpha_s = 0; \quad \alpha = \alpha_k.$$

Siltumtehnikā bieži siltums no viena šķidruma (gāzes) uz otru šķidrumu (gāzi) pāriet caur sieniņu. Šādu siltumapmaiņas procesu sauc par siltuma pārnešanu. Siltuma pārnešanas aprēķina vienādojuma veids ir atkarīgs no siltumnesēju atdalošās sieniņas formas.

Apskatīsim siltuma pārnešanu caur izotropu plāksni (plakanu sieniņu), kura atdala vides ar dažādām temperatūrām, turklāt $t_{sk1} > t_{sk2}$. Sieniņas virsmu temperatūras, kuras nav zināmas, apzīmēsim attiecīgi ar τ_1 un τ_2 (2.10. att.).

Siltuma pārnešana apskatāmajā piemērā ir saliktās siltumapmaiņas process, kas sastāv no trim posmiem: siltumatdeve no sasildītās vides (t_{sk1}) sieniņas kreisajai virsmai, siltumvadišana caur sieniņu un siltumatdeve no sieniņas labās virsmas nesasildītai videi (t_{sk2}).

Ja siltumapmaiņas process ir stacionārs, tad īpatnējā siltuma plūsma šajos trijos posmos ir vienāda.

Uzrakstīsim trīs zināmos īpatnējās siltuma plūsmas vienādojumus.

1. Vienādojums siltumatdevei no sasildītās vides sieniņai:

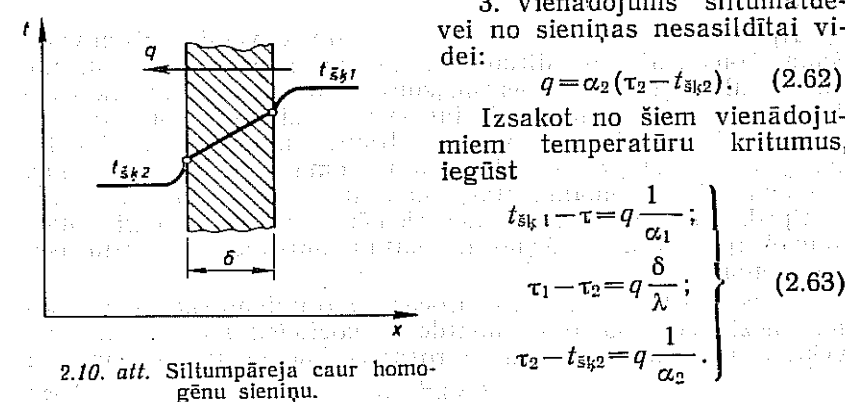
$$q = \alpha_1 (t_{sk1} - \tau). \quad (2.60)$$

2. Vienādojums siltumvadišanai caur sieniņu:

$$q = \frac{\lambda}{\delta} (\tau_1 - \tau_2). \quad (2.61)$$

3. Vienādojums siltumatdevei no sieniņas nesasildītai videi:

$$q = \alpha_2 (\tau_2 - t_{sk2}). \quad (2.62)$$



Summējot šos vienādojumus, atrod pilno temperatūras kritumu:

$$t_{sk1} - t_{sk2} = q \left(\frac{1}{\alpha_1} + \frac{\delta}{\lambda} + \frac{1}{\alpha_2} \right), \quad (2.64)$$

no kurienes īpatnējā siltuma plūsma

$$q = \frac{t_{sk1} - t_{sk2}}{\frac{1}{\alpha_1} + \frac{\delta}{\lambda} + \frac{1}{\alpha_2}} = k (t_{sk1} - t_{sk2}), \quad (2.65)$$

Lielumu k sauc par *siltumpārejas (transmisijas) koeficientu*, un tas izsaka siltuma plūsmu, kura pāriet no vides ar augstāku temperatūru uz vidi ar zemāku temperatūru caur 1 m^2 lielu sieniņas virsmu vienā stundā, ja temperatūru starpība ir 1 K. Siltumpārejas koeficientam apgrieztu lielumu sauc par *siltumpārejas pretestību* un apzīmē ar R_0 , $\text{m}^2\text{K}/\text{W}$.

Saskaņā ar k un R_0 formulējumu

$$\frac{1}{k} = R_0 = \frac{1}{\alpha_1} + \frac{\delta}{\lambda} + \frac{1}{\alpha_2}. \quad (2.66)$$

Šī formula rāda, ka kopējā siltumpārejas pretestība ir atsevišķu saskaitāmo summu.

No vienādojumiem (2.63) iegūst

$$\left. \begin{aligned} \tau_1 &= t_{sk1} - \frac{q}{\alpha_1}; \\ \tau_2 &= \tau_1 - q \frac{\delta}{\lambda}; \\ t_{sk2} &= \tau_2 - \frac{q}{\alpha_2}. \end{aligned} \right\} \quad (2.67)$$

Izmantojot šos vienādojumus, var aprēķināt temperatūras siltuma plūsmas virzienā caur vienslāņa sieniņu.

Ja sieniņa nav vienslāņa, bet sastāv no vairākiem slāņiem ar dažādiem biezumiem $\delta_1, \delta_2, \delta_3, \dots, \delta_n$ un siltumvadīspējas koeficientiem $\lambda_1, \lambda_2, \lambda_3, \dots, \lambda_n$, tad analogiski formulām (2.65) un (2.66) var rakstīt šādi:

$$q = \frac{t_{sk1} - t_{sk2}}{\frac{1}{\alpha_1} + \sum_{i=1}^n \frac{\delta_i}{\lambda_i} + \frac{1}{\alpha_2}}; \quad (2.68)$$

$$k = \frac{1}{\frac{1}{\alpha_1} + \sum_{i=1}^n \frac{\delta_i}{\lambda_i} + \frac{1}{\alpha_2}}; \quad (2.69)$$

$$\frac{1}{k} = R_0 = \frac{1}{\alpha_1} + \sum_{i=1}^n \frac{\delta_i}{\lambda_i} + \frac{1}{\alpha_2}, \quad (2.70)$$

kur $\sum_{i=1}^n \frac{\delta_i}{\lambda_i}$ — plakanas daudzslāņu sienīnas atsevišķu slāņu termisko pretestību summa.

Siltuma daudzums Q , kas pāriet no vienas vides uz otru vidi caur jebkuras sienīnas laukumu A vienas stundas laikā, ir

$$Q = kA(t_{\text{s}\bar{k}1} - t_{\text{s}\bar{k}2}) = \frac{A(t_{\text{s}\bar{k}1} - t_{\text{s}\bar{k}2})}{R_0}. \quad (2.71)$$

Atlikumā, ja visi daudzslāņi ir vienādi, tātad $R_0 = n \cdot \frac{\delta_i}{\lambda_i}$, tad $Q = \frac{n \cdot \delta_i}{\lambda_i} A(t_{\text{s}\bar{k}1} - t_{\text{s}\bar{k}2})$. Šāds rezultāts ir ļoti iemesls, jo tas liecina, ka siltuma daudzums, kas pāriet no vienas vides uz otru vidi caur daudzslāņu sienīnu, ir proporcionāls daudzslāņu skaitam un daudzslāņu atsevišķu slāņu termisko pretestību summai.

Atlikumā, ja visi daudzslāņi ir vienādi, tātad $R_0 = n \cdot \frac{\delta_i}{\lambda_i}$, tad $Q = \frac{n \cdot \delta_i}{\lambda_i} A(t_{\text{s}\bar{k}1} - t_{\text{s}\bar{k}2})$. Šāds rezultāts ir ļoti iemesls, jo tas liecina, ka siltuma daudzums, kas pāriet no vienas vides uz otru vidi caur daudzslāņu sienīnu, ir proporcionāls daudzslāņu skaitam un daudzslāņu atsevišķu slāņu termisko pretestību summai.

Atlikumā, ja visi daudzslāņi ir vienādi, tātad $R_0 = n \cdot \frac{\delta_i}{\lambda_i}$, tad $Q = \frac{n \cdot \delta_i}{\lambda_i} A(t_{\text{s}\bar{k}1} - t_{\text{s}\bar{k}2})$. Šāds rezultāts ir ļoti iemesls, jo tas liecina, ka siltuma daudzums, kas pāriet no vienas vides uz otru vidi caur daudzslāņu sienīnu, ir proporcionāls daudzslāņu skaitam un daudzslāņu atsevišķu slāņu termisko pretestību summai.

Atlikumā, ja visi daudzslāņi ir vienādi, tātad $R_0 = n \cdot \frac{\delta_i}{\lambda_i}$, tad $Q = \frac{n \cdot \delta_i}{\lambda_i} A(t_{\text{s}\bar{k}1} - t_{\text{s}\bar{k}2})$. Šāds rezultāts ir ļoti iemesls, jo tas liecina, ka siltuma daudzums, kas pāriet no vienas vides uz otru vidi caur daudzslāņu sienīnu, ir proporcionāls daudzslāņu skaitam un daudzslāņu atsevišķu slāņu termisko pretestību summai.

Atlikumā, ja visi daudzslāņi ir vienādi, tātad $R_0 = n \cdot \frac{\delta_i}{\lambda_i}$, tad $Q = \frac{n \cdot \delta_i}{\lambda_i} A(t_{\text{s}\bar{k}1} - t_{\text{s}\bar{k}2})$. Šāds rezultāts ir ļoti iemesls, jo tas liecina, ka siltuma daudzums, kas pāriet no vienas vides uz otru vidi caur daudzslāņu sienīnu, ir proporcionāls daudzslāņu skaitam un daudzslāņu atsevišķu slāņu termisko pretestību summai.

Atlikumā, ja visi daudzslāņi ir vienādi, tātad $R_0 = n \cdot \frac{\delta_i}{\lambda_i}$, tad $Q = \frac{n \cdot \delta_i}{\lambda_i} A(t_{\text{s}\bar{k}1} - t_{\text{s}\bar{k}2})$. Šāds rezultāts ir ļoti iemesls, jo tas liecina, ka siltuma daudzums, kas pāriet no vienas vides uz otru vidi caur daudzslāņu sienīnu, ir proporcionāls daudzslāņu skaitam un daudzslāņu atsevišķu slāņu termisko pretestību summai.

Atlikumā, ja visi daudzslāņi ir vienādi, tātad $R_0 = n \cdot \frac{\delta_i}{\lambda_i}$, tad $Q = \frac{n \cdot \delta_i}{\lambda_i} A(t_{\text{s}\bar{k}1} - t_{\text{s}\bar{k}2})$. Šāds rezultāts ir ļoti iemesls, jo tas liecina, ka siltuma daudzums, kas pāriet no vienas vides uz otru vidi caur daudzslāņu sienīnu, ir proporcionāls daudzslāņu skaitam un daudzslāņu atsevišķu slāņu termisko pretestību summai.

Atlikumā, ja visi daudzslāņi ir vienādi, tātad $R_0 = n \cdot \frac{\delta_i}{\lambda_i}$, tad $Q = \frac{n \cdot \delta_i}{\lambda_i} A(t_{\text{s}\bar{k}1} - t_{\text{s}\bar{k}2})$. Šāds rezultāts ir ļoti iemesls, jo tas liecina, ka siltuma daudzums, kas pāriet no vienas vides uz otru vidi caur daudzslāņu sienīnu, ir proporcionāls daudzslāņu skaitam un daudzslāņu atsevišķu slāņu termisko pretestību summai.

Atlikumā, ja visi daudzslāņi ir vienādi, tātad $R_0 = n \cdot \frac{\delta_i}{\lambda_i}$, tad $Q = \frac{n \cdot \delta_i}{\lambda_i} A(t_{\text{s}\bar{k}1} - t_{\text{s}\bar{k}2})$. Šāds rezultāts ir ļoti iemesls, jo tas liecina, ka siltuma daudzums, kas pāriet no vienas vides uz otru vidi caur daudzslāņu sienīnu, ir proporcionāls daudzslāņu skaitam un daudzslāņu atsevišķu slāņu termisko pretestību summai.

3. VIDESZIŅA

Apkārtējo vidi veido to norobežojošas virsmas un atmosfēra. Izšķir iekšējo apkārtējo vidi, kas ir slēgta telpa, un ārējo apkārtējo vidi; tās vienmēr atrodas savstarpējā iedarbībā.

Apkārtējā vide uz cilvēkiem, tehnoloģiskajām iekārtām un materiālajām vērtībām iedarbojas kompleksi. Cilvēku labas jūtu ietekmē ne vien gaisa temperatūra, bet arī apkārtējo virsmu (sienu, griestu, grīdu) temperatūra un citi faktori.

Apkārtējās vides, tās sastāvdaļu un savstarpējās iedarbes izziņai ir svarīga nozīme telpu mikroklimatu veidojošu inženierisistēmu izpratnē un radīšanā.

Apkārtējās vides, tās sastāvdaļu un savstarpējās iedarbes izziņai ir svarīga nozīme telpu mikroklimatu veidojošu inženierisistēmu izpratnē un radīšanā.

3.1. APKĀRTĒJĀ VIDE. KLIMATOLOGIJA

Klimatoloģija ir zinātnē par klimatu, tā tipiem, sadalījumu uz Zemes, pārmaiņām laikā un klimatu veidojošiem faktoriem. Apkārtējās vides siltums — viens no klimatoloģijas kā zinātnes galvenajiem izpētes priekšmetiem.

Atmosfēras stāvoklis noteiktā brīdī nosaka laika apstākļus dotajā apvidū. Siltuma komforta sajūtu visvairāk ietekmē četri apkārtējos laika apstākļus veidojoši faktori: gaisa temperatūra, mitrums, kustīgums un siltuma starojums. Ar klimatu saprot laika apstākļus ilgstošā laika periodā, tas ir raksturīgs dotajam ģeogrāfiskajam punktam.

Zemeslodi kopā ar atmosfēru var uzskatīt par noslēgtu sistēmu. Tai vienīgā vērā nemamā pievadītā energija ir saules radiācija, kura līdzsvarojas ar to energijas daudzumu, ko zemes virsma atdod ar zemās temperatūras starojumu (infra-sarkanais starojums). Sis starojums ir praktiski vienmērīgs no visas zemes virsmas. Turpretī saules radiācija koncentrēta galvenokārt ekvatoriālajā zonā (starp ziemeļu un dienvidu tropiem atbilstoši $23,5^{\circ}\text{Z}$ un $23,5^{\circ}\text{D}$).

Enerģijas pārnešanai no ekvatoriālās zonas polu virzienā ir nepieciešams lielas jaudas mehānisms. Šāda mehānisma loma ir atmosfērai, kurā pārvietojas gaisa masas, mazākā mērā — okeāna straumēm.

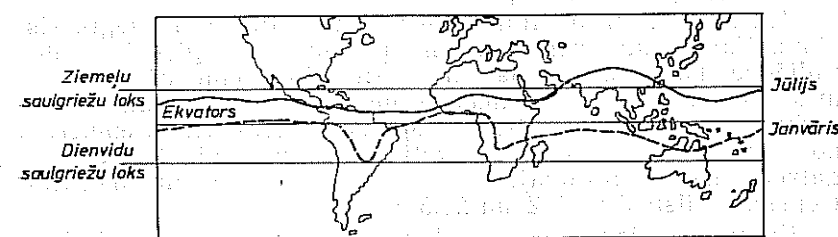
Tādi faktori kā mākoņainība un atmosfēras piesārņotība izraisa lokālas svārstības uz zemes virsmas krītošā starojuma plūsmā.

Ar atmosfērā notiekošo fizikālo procesu, tās struktūras un īpašību izpēti nodarbojas zinātne, ko sauc par meteoroloģiju.

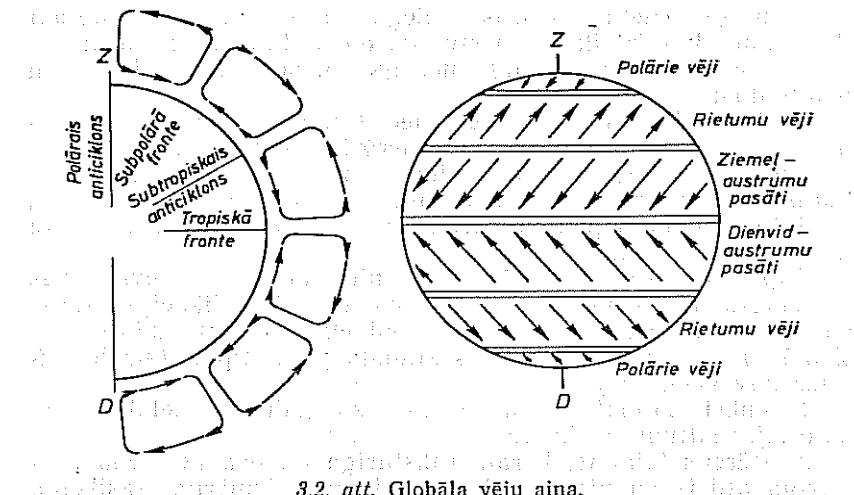
3.2. GLOBĀLIE KLIMATISKIE MEHĀNISMU

Vēji būtībā ir konvektīvas gaisa plūsmas atmosfērā, kuras rodas, izlīdzinoties dažādu zonu sasiluma pakāpei. Gaisa kustību iespaido Zemes griešanās. Gaisa maksimālā sasiluma zonās tas vēl papildus sasilst no zemes virsmas un, vertikāli paceļoties lielā augstumā, pārvietojas auksto rajonu virzienā. Daļa no šī gaisa lielā augstumā atdziest un pārvietojas zemes virsmas virzienā subtropiskos rajonos. Pie zemes virsmas šāds atdzīsis un smagāks gaiss pārvietojas maksimālā sasiluma zonu virzienā. Ziemeļu un dienvidu gaisa plūsmas sastopoties veido tropisko fronti, kuru sauc par iekšējo tropisko konvergences zonu. Atkarībā no gadalaika šī zona pārvietojas rajonā starp ziemelu un dienvidu tropiem, kā parādīts 3.1. attēlā.

3.2. attēlā parādīta globālā gaisa kustība siltuma faktora ietekmē. Ja gaisa kustība būtu atkarīga tikai no siltuma faktora, tad veidotos tikai ziemēļu vai dienvidu vējš. Tomēr inerces iespaidā gaiss, iedarbojoties Koriolisa spēkiem, novirzās uz austrumiem vai rietumiem. Tā, piemēram, gaisa daļīņa, kas atrodas augsta spiediena dienvidu subtropiskajā zonā, pārvietojas ar noteiktu aploces ātrumu kopā ar Zemi. Siltuma izrai-
sito spēku ietekmē tā pārvietojas uz ziemēļiem, bet līdz ar to palielinās paralelēs diāmetrs un tādā veidā arī aploces ga-
rumus. Daļīņai turpretī ir tieksme saglabāt aploces ātrumu. Re-
zultātā tā atpaliek no Zemes virsmas attiecīgajiem punktiem.
Tā kā Zeme griežas no rietumiem uz austrumiem, gaisa plūsma
novirzās uz rietumiem, t. i., dienvidu vējš pārvērsas dienvid-



3.1. att. Iekšējās tropiskās konvergences zonas pārviešanās atkarībā no gada laika.



3.2. att. Globāla vēju aina

aistrumu vējā. Ar dalīnu, kas virzās uz Ziemeļpolu, notiek pretējais. Tā tāpat cenšas nemainīt savu aploces ātrumu un, pārvietojoties uz paralēli ar mazāku diametru, apdzēn attiecīgus zemes virsmas punktus. Rezultātā gaisa plūsma veido ziemelrietumu vēju.

Šī kopējā gaisa kustības aina izmainās vietējo apstākļu — spiediena svārstību un reljefa īpatnību — iespaidā. Spiediena svārstības uz vienas paralēles parādās kā augsta un zema spiediena zonas (salīnās). Ziemeļu puslodē ap augsta spiediena zonām notiek virszemes gaisa slāņu cirkulācija pulksteņa rādītāju kustības virzienā, bet dienvidu puslodē — pretējā virzienā. Zema spiediena zonām šis process ir pretējs.

Sāds vēju sadales mehānisms iespējot atmosfēras nokrišņu raksturū. Vislielākā varbūtība lietainam laikam ir tad, ja atmosfērā pārsvārā ir augšupejošas gaisa plūsmas. Lejupplūstošās gaisa masas nekādos apstākļos neizraisa lietu. Tas ir viens no iemesliem, kāpēc tuksneši ir izvietoti gar augsta spiedienas subtrōiskajām zonām.

3.3. KLIMATS

Klimata parametri, kurus parasti reģistrē un lieto aprēķinos, ir šādi:
gaisa temperatūra īnā 1,2...1,8 m virs zemes virsmas
līmena;
relatīvais gaisa mitrums;
gaisa kustības ātrums un virziens 10 m augstumā;

nokrišņu (lietus, krusas, sniega, rasas, sarmas; miglas) daudzums, kas izteikts mm stundā, diennaktī, mēnesī utt.; mākoņainība, kas izteikta nosegtās debess desmitdaļas vai astotdaļas;

saules radiācija, kas fiksēta pēc ilguma vai arī mērīta, nemot vērā intensitāti, W/m^2 , vai enerģijas daudzumu, J/m^2 .

Aprēķinos lieto dažadas vidējās temperatūras pa sezonām, kuras aprēķinātas uz daudzu gadu novērojumu pamata. Nem vērā to, kādam objektam paredzēta aprēķināmā mikroklimata uzturēšanas inženiersistēma.

Tāpēc klimatu klasificē. No arhitektūras un būvniecības projektiem viedokļa vispiemērotākā ir klasifikācija, kuras pamatā ir faktori, kas nosaka arī cilvēka komforta izjūtu. Saskaņā ar to var izdalīt četrus klimata pamattipus (šis iedalījums nav vienīgais).

1. Auksts klimats, kurā cilvēks visu gadu vai lielāko gada daļu izjūt siltuma trūkumu.

2. Mērens klimats, kuram raksturīga cilvēka ķermēna pārmērīga atdzišana vienā gada periodā un pārmērīga sasilšana citā gada periodā.

3. Karsts, sauss klimats, kuram raksturīga cilvēka ķermēna pārmērīga sasilšana, kas tomēr kompensējas ar iztvaikošanu sausa gaisā.

4. Silts, mitrs klimats, kurā arī notiek cilvēka ķermēja pārmērīga sasilšana, bet grūtības rādā traucētā atdzišana, samazinoties iztvaikošanai mitrā gaisā.

Veicot arhitektūras un būvniecības projektiem darbus, nepieciešams izdarīt arī celtniecības vietas klimata analīzi, lai atrastu ekonomiski izdevīgākos risinājumus (kapitālieguldījumi un ekspluatācijas izdevumi bieži ir atkarīgi no pareiza klimata novērtējuma).

Klimatiskie dati parasti ataino vesela reģiona klimātu, ko bieži sauc par makroklimātu. Sādus datus iegūst meteoroloģiskajās stacijās, kuras izvieto tā, lai vietēja rakstura īpatnības tos neiespaidītu.

Tomēr pilsētu rūpniecības rajonos pat atsevišķam apbūves laukumam var būt tādas īpatnības, ka tur var veidoties vietējais mikroklimats.

Jēdzienam mikroklimats ir samērā plašs lietojums arī citās nozāres. Arhitektūras un celtniecības specialitātē visbiežāk (vismaz šajā mācību grāmatā) par mikroklimātu saprot atmosfēras stāvokli norobežotā telpā, bet atkarībā no aplūkojamā rajona lieluma lieto jēdzienus klimats un vietējais klimats.

Vietējā klimata atšķirību no dotā reģiona klimata nosaka trīs grupās iedalīmi faktori:

topogrāfija, t. i., apbūves gabala orientācija pēc debesu sēm un atrašanās uz kalna vai paugura, attiecīgas nogāzes vai tās tuvumā, kā arī augstums virs jūras līmeņa;

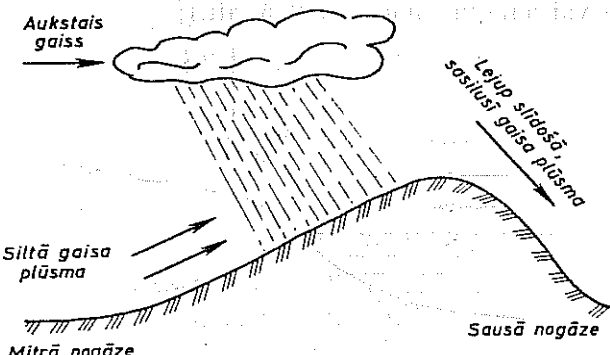
vietējie dabas apstākļi — meži, krūmāji, purvi, ūdens tilpnes, arī cilvēku roku radīti ceļi, ūdenskrātuves. Uz vietējo klimātu var atstāt iespaidu zemes virsmas temperatūra, tās siltumabsorbcijas un atstarošanas spēja;

dažādi objekti, kuri var dot ēnu, izmaiņu vēju virzienu, — atsevišķi lieli koki, mežu joslas, nozogojumi, celtnes utt.

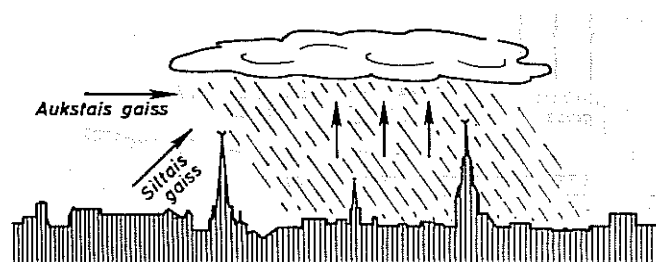
Pirms projektiem darbu sākuma jaapskata apbūves vieta un jāsavāc dati par vietējo klimātu ne vien no meteoroloģiskā dienesta, bet arī no vietējiem iedzīvotājiem.

Augšupejošās silta, mitra gaisa masas biežāk izraisa atmosfēras nokrišņus. Tā, piemēram, viena un tā paša mitra vēja virziena gadījumā kalna (200...300 m augstumā) virsvēja pusē ir lielāks nokrišņu daudzums nekā vidēji dotajā rajonā un tajā pašā laikā aizvēja pusē nokrišņu daudzums ir mazāks (3.3. att.). Analogisku situāciju var novērot virs pilsētām (3.4. att.). Veidojas augšupejošas gaisa plūsmas.

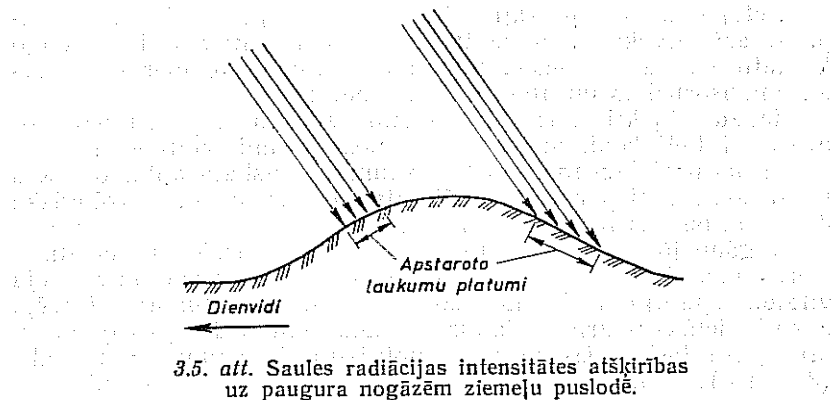
Saules radiācijas intensitāti un daudzumu var iespaidīt trīs faktori:



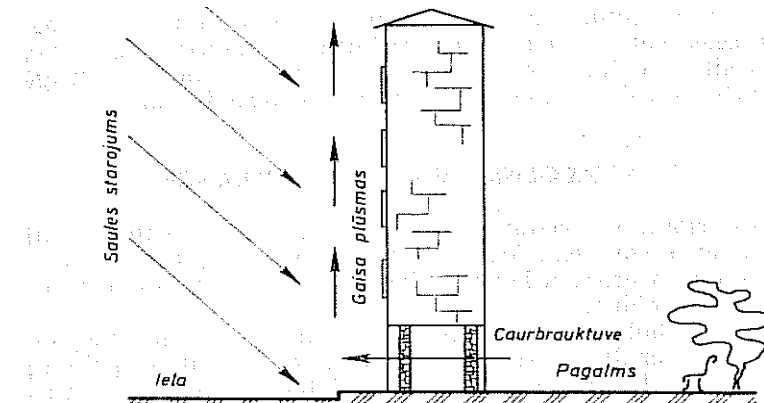
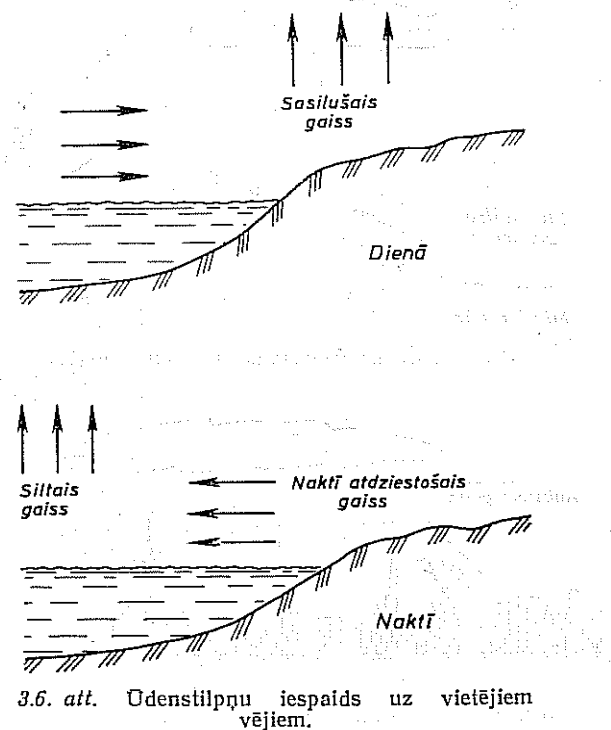
3.3. att. Lietus veidošanās uz kalna nogāzes.



3.4. att. Pastiprināta lietus veidošanās virs pilsētas.



atmosfēras dzidrumis, kuru ietekmē piesārņojums un mākoņainība;
apbūves gabala orientācija pēc debespusēm un novietojums uz kalna vai paugura nogāzes (3.5. att.);



vietas reljefs, kas var izraisīt saules starojuma daudzuma izmaiņas (agrāka vai vēlāka saules lēkšana un rietēšana, vērā nemaru ēnu veidošanās no ceļtnēm un citiem objektiem).

Lielas platības ūdenstilpnes var radīt vietēja rakstura vējus (3.6. att.). Dažādus efektus var izraisīt atsevišķas celtnes (3.7. att.) un to grupas.

3.4. CILVĒKA SILTUMREAKCIJA

Telpās, kur uzturas cilvēki, jāuzturi noteikts mikroklimats. Cilvēka organismā siltuma līdzsvars nosaka viņa labsajūtu un darbaspejas. Organisma izdalītais siltums ir atkarīgs no cilvēka vecuma, masas, izdarītām kustībām utt. Cilvēka āda reagē uz pieskārieniem, temperatūras izmaiņām un sāpigu iedarbību. Tā visjutīgākā ir apmēram 34°C temperatūrā, kurā tiek uztvertas samērā mazas temperatūras izmaiņas vai atšķirības. Robežgadījumos galēji izturamās temperatūrās ādas izšķiršanas spēja strauji samazinās. Ta, piemēram, ja iegremdē roku ūdenī, kura temperatūra tuva sasalšanas punktam, vai ļoti karstā ūdenī ar temperatūru apmēram 46°C , tā var izturēt tikai pāris sekundes.

Žinātni, kas pēta šos jautājumus, sauc par psihotermiku. Tā ir atsevišķa psihofizikas nodaļa.

Apkārtējās vides siltums cilvēka ķermeņi sasniedz jebkurā no trim siltumapmaiņas veidiem gan atsevišķi, gan jebkurā kombinācijā. Cilvēka āda uztver kopējo siltuma iedarbi. Siltuma apzināta uztvere ir tikai daļa no saņemtās informācijas. Neapzināti darbojas cilvēka termiskās pašregulācijas mehā-

nisms. Tāpēc siltuma uztvere nav vienkāršs, vienpusējs un pāsīvs process, bet ir saistīta ar sarežģitu un precīzu organismu darbību siltuma līdzsvara uzturēšanā. Ķermenis ne vien reagē uz apkārtējās vides siltumu, bet arī pats iedarbojas uz to.

3.5. METABOLISMS UN SILTUMA BILANCE

Dzīvs organisms pastāvīgi izdala siltumu, mainot intenzitāti atkarībā no apstākļiem. Metabolisms ir cilvēka ķermenī notiekošo bioloģisko procesu kopums, kas rada siltumu. Izšķir divus metabolisma veidus:

— pamatmetabolisms — siltuma izdalīšanās reakcijas veģetatīvu procesu rezultātā, kuri notiek nepārtraukti un neapzināti;
— muskuļu metabolismns — siltuma izdalīšanās reakcijas muskuļu fiziska darba rezultātā. Šis metabolisma veids ir pakļauts apzinātai kontrolei.

Pieauguša vīrieša izdalītā siltuma skaitiskās vērtības atkarībā no darbības veida norādītas 3.1. tabulā.

3.1. tabula
Pieauguša vīrieša izdalītā siltuma vidējās vērtības, W

Darbības veids	Pamatmetabolisms	Muskuļu metabolismns	Lielākajā daudzīgā jauda	Izdalītās siltums	Summa
Dzīļs miegs	70	—	—	70	70
Gulēšana gultā	88	—	—	88	88
Mierīga sēdēšana	92	23	—	115	115
Lēns gājiens	92	68	22	138	160
Vieglis darbs	93	142	40	195	235
Vidēji smags darbs	93	172	50	215	265
Smags darbs ar vienmērīgu slodzi 8...h ilgi	94	346	88	352	440
Smags darbs ne ilgak par 30 min.	94	1404	340	1160	1500

Ja viss siltums izdalās apkārtējā vide, tad iestājas siltuma līdzsvars. Siltums, kas veidojas ķermenē dzīlākajos audos, nepārtraukti tiek pievadīts ādas ārpusei (arī plaušam), no kurienes tas izstarošanas un konvektīvās siltumatdeves (iespējams arī siltumvadišanas), kā arī iztvaikošanas veidā nokļūst apkārtējā vide.

Siltuma un aukstuma sajūtu organismi uztver ar ādu. Tāpēc arī komforta vai diskomforta sajūta ir atkarīga no ādas temperatūras. No siltuma komforta viedokļa ieteicamā ādas temperatūra ir 31...34 °C (vidēji ķermenē virsmai). Šī ādas temperatūra var pastāvēt tikai tad, ja tiek saglabāts līdzsvars starp ādai pieplūstošo siltuma daudzumu un ādas zaudēto vai

no tās aizvadīto siltuma daudzumu. Siltuma bilance ietilpst šādas siltuma plūsmas sastāvdaļas (3.8. att.):

- Q_{met} — metabolisma rezultātā pieplūdušais siltuma daudzums;
- Q_{sv} — siltumvadišanas (saskares arī siltiem priekšmetiem) veidā pieplūdušais siltuma daudzums;
- Q_{k} — konvektīvā siltumapmaiņā (ja gaiss siltāks par ādu) pārnestais siltuma daudzums;
- Q_{r} — saules, karstu priekšmetu izstarotais siltuma daudzums;
- $-Q_s$ — siltumvadišanā (saskarē ar aukstiemiem) noplūdušais siltuma daudzums;
- $-Q_{k,nc}$ — konvektīvā siltumapmaiņā (ja gaiss aukstāks nekā āda) noplūdušais siltuma daudzums;
- $-Q_{r,nc}$ — siltumā starojumā (uz naksnīgu debesi, aukstiemiem priekšmetiem) noplūdušais siltuma daudzums;
- Q_{el} — iztvaikošanā (elpojot, svīstot) noplūdušais siltuma daudzums.

Siltuma bilances vienādojums ir šāds:

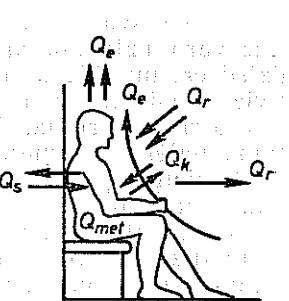
$$Q_{met} - Q_{el} \pm Q_s \pm Q_k \pm Q_r = 0.$$

Ja šī summa ir lielāka par nulli, tad siltums uzkrājas un ķermenē temperatūra paaugstinās. Šī paaugstināšanās nedrīkst pārsniegt 1 °C.

Nekustīgā gaisā ar temperatūru apmēram 18 °C, ja nav saskare ar aukstiemiem priekšmetiem, t. i., nav siltuma zudumu siltumvadišanas veidā, siltumatdeve sadalās šādi: 45% — izstarošanas siltums, 30% — konvektīvais siltums, 25% — iztvaikošanas siltums. Ja siltuma līdzsvars tiek izjaukts ar izmaiņām organismā vai apkārtējā vide, tad iedarbojas organismu siltumregulācijas sistēma.

3.6. SILTĀS UN AUKSTĀS VIDES

Jai siltajās vidēs paātrinās metabolisms vai izmainās apkārtējie apstākļi, bet izdalītais siltums netiek pilnīgi izkliedēts, tad ādas tuvumā esošie asinsvadi izplešas. Tā rezultātā siltuma pieplūde ķermenē ārpusei palielinās, ādas temperatūra paaugstinās un palielinās siltumatdeve starošanas un konvektīvās siltumatdeves veidā.



Ja asinsvadu paplašināšanās izrādās nepietiekoša siltuma līdzsvara uzturēšanai vai atjaunošanai, sāk darboties sviedru dziedzeri un līdz ar to iztvaikošanas-atdzesēšanas mehānisms. Sviedri īslaicīgi var izdalīties ar ātrumu līdz 4 l/h, tāču tas ļoti ātri nogurdina. Mitruma iztvaikošana ir saistīta ar siltuma patēriņu apmēram 2400 kJ uz 1 kg (I) šķidruma.

Īslaicīga piemērošanās tiek sasniegta pēc 20...30 minūtēm, tomēr ir arī ilgstošāki endokrīnās piemērošanās procesi, piemēram, ilgāk par pusgadu. Kopumā šādu procesu sauc par aklimatizāciju. Aklimatizācija iedarbojas uz mehānismiem, kas regulē kā vazomotorisko darbību, tā arī iztvaikošanu. Karsta klimata apstākļos asins daudzums asinsrites sistēmā var palielināties par 20%, kompensējot pastāvīgo asinsvadu izplešanos un tādā veidā paātrinot siltuma pārnešanu no iekšējiem orgāniem un muskuļu audiem uz ādu. Svišanas intensitāte tāpat pieaug periodā, kurš ilgst vairākas nedēļas. Uzskata, ka šīs izmaiņas ar sarežģītu neuroendokrīnu procesu palīdzību regulē hipotalamusa priekšējā daļa.

Ja izrādās, ka nosauktie regulēšanas mehānismi nav spējīgi atjaunot siltuma līdzsvaru, tad iestājas hipertermija — ķermeņa pārkaršana. Paaugstinoties temperatūrai ķermeņa iekšienē apmēram līdz 40°C, var notikt siltuma duriens — asinsrites izjaukšana (samazinās venozo asiņu pieplūde sirdij), kas noved pie gīboņa. Siltuma durienu iepriekšējās pāzīmes ir nogurums, galvassāpes, reiboņi stāvot, apetītes zudums, slikta dūša, vemšana, apgrūtināta elpošana, ātrs pulss līdz 150 sitiņiem minūtē, stiklainas acis un psihiski traucējumi. Ievērojami ātrāk var parādīties siltuma krampji — sāpīgas muskuļu spazmas, ko izraisa sāļu zaudēšana ilgstošas svīšanas rezultātā. Iestājoties siltuma durienam, strauji ceļas temperatūra virs 41°C, izbeidzas svīšana, iestājas koma un nāve.

Aukstajās vidēs, kur siltumatdeves intensitāte pārsniedz tā izdalīšanās ātrumu, pirmā fizioloģiskā reakcija ir asinsvadu sašaurināšanās ādas virspusē. Siltuma pieplūde no iekšējiem orgāniem samazinās, un ādas temperatūra pazeminās. Tā rezultātā samazinās siltuma zudumi kā starojuma, tā arī konvekcijas veidā. ķermeņa iekšpusē temperatūra paliek pastāvīga — apmēram 37°C, jo ārējo audu siltumizolācijas spēja pieaug. Turklāt asins pieplūde roku un kāju pirkstiem, ausīm var samazināties un to temperatūra ievērojami pazemināties. Tas izraisa šo orgānu nosaldēšanu pirms temperatūras izmaiņšanās ķermeņa iekšienē.

Asinsvadu sašaurināšanās var izraisīt arī tādu parādību kā «zosāda». Tā ir atavīstiska reakcija. Ja būtu vērā nemamis apspalvojums, tad palielinātos siltumizolāciju.

Ja asinsvadu sašaurināšanās nespēj pietiekoši samazināt siltuma zudumus, tad sāk darboties metaboliskais regulēšanas mehānisms. Sākas trīsas un drebūji, kas pastiprina muskuļu

metabolismu. Isā laika sprīdī drebūji var izraisīt desmitkārtīgu metaboliskā siltuma palielināšanos.

Uzskata, ka adaptāciju aukstumam regulē hipotalamus mugurējā daļa. Tajā pašā laikā sāk darboties vairogdziedzeris, kura izstrādātie hormoni palielina metabolisma kopējo intensitāti. Pilna aklimatizācija iestājas apmēram pēc 21 dienas.

Ja fizioloģiskās regulēšanas mehānismi izrādās nespējīgi atjaunot siltuma līdzsvaru, iestājas hipotermija (neizbēgama ķermeņa pārdzesēšana). ķermeņa temperatūra iekšienē noslīdz zem 35°C. Intervālā no 25°C līdz 30°C iestājas nāve. Mākslīgajā atdzesēšanā, kuru veic ārstu uzraudzībā operāciju laikā, iespējama ķermeņa atdzesēšana arī līdz zemākām temperatūrām. Ja arī hipotermija nesākas, ilgstoša aukstuma iedarbe uz ķermenī, kas prasa vazomotoriskās darbības un metabolisma mehānismu maksimālu sasprindzinājumu, var izraisīt psihiskus traucējumus: gribasspēks atslābst un apzinīga kontrole atdod vietu halucinācijām, miegainībai un sastinguma stāvoklim.

3.7. KOMFORTA SAJŪTU NOTEICOŠIE APKĀRTĒJĀS VIDESFAKTORI

Atkarībā no cilvēka ķermeņa iekšējo audu temperatūras dzīvība pastāv robežas: no 35°C līdz 40°C; normāla audu temperatūra ir apmēram 37°C. Ādas temperatūrai vienmēr jābūt zemākai par iekšējo audu temperatūru, jo siltumam jāpārvietojas virzienā no iekšpusēs uz ārpusi. Apkārtējās vides temperatūrai savukārt jābūt zemākai par ādas temperatūru, lai siltums varētu izkliedēties. Apkārtējās vides temperatūras diapazonu, kas nodrošina pietiekošu (ne pārmērīgu) siltuma izkliedēšanos, sauc par komforta zonu.

Nosakot komforta apstākļus, vissvarīgākais (bet ne vienīgais) faktors ir gaisa temperatūra pēc sausā termometra. Siltumapmaiņas process uz ādas virsmas ir saistīts arī ar ārējās vides faktoriem, no kuru savstarpējās iedarbības atkarīga komforta vai diskomforta sajūta. Izšķir četrus šādus faktorus: gaisa temperatūra, relatīvais gaisa mitrums, gaisa kustīgums, starošanas siltumapmaiņa.

Atmosfēras mitrums, ja tikai tas nav pārāk augsts vai zems, neatstāj gandrīz nekādu ietekmi uz siltuma komforta sajūtu komforta temperatūrās un to tuvumā, kā arī zonu robežas ar vazomotorisko siltumapmaiņas regulēšanu. Toties tam ir liela nozīme zonā ar siltumapmaiņas regulāciju iztvaikojot.

No mitrumu raksturojošiem lielumiem šādā skatījumā visvarīgākais ir relatīvais gaisa mitrums φ, jo tas reglamentē iespējamo iztvaikošanas ātrumu. Mitrums no ādas virsmas sausā gaisā iztvaiko daudz ātrāk nekā mitrā gaisā. Komforta

temperatūrās nav nepieciešama atdzesēšana iztvaikojot, tomēr augstākās temperatūrās tai ir svarīga nozīme liekā siltuma izkliedēšanā. Piesātināts gaiss ar 100% mitrumu samazina atdzesēšanu iztvaikojot līdz minimumam. Maksimāli pieļaujamā apkārtējā gaisa temperatūra, kurā ir iespējama pietiekoši efektīva organismu siltuma līdzsvara uzturēšana ar atdzesēšanu iztvaikojot, ir attiecīgi šāda: ja $\phi=100\%$, — 31°C; ja $\phi=50\%$, — 38°C; ja $\phi=18\%$, — 45°C; ja $\phi=0$, — 52°C. Sādos apstākļos augstāku temperatūru cilvēka organismijs spēj izturēt tikai īsu laiku sprīdi.

Galēji zems un augsts gaisa mitrums atstāj kaitīgu ietekmi uz cilvēka organismu. Ja relatīvais mitrums ir zem 20%, izkalst gļotāda un palielinās uznēmība pret infekciju. Ľoti zemās temperatūrās sauss gaiss pastiprina aukstuma sajūtu, jo osmoses dēļ ādas virsma vienmēr ir nedaudz mitra un iztvaikošana izraisa nevēlamo aukstuma sajūtu. Siltā apkārtējā vidē mitrs gaiss ($\varphi=60\%$) liekas siltāks, nekā tas ir faktiski. Šī sefekts ir vēl jūtamāks, ja $\varphi=80\%$. Sviedru izdalīšanās notiek, tomēr tie nevar pietiekoši iztvaikot. Sekas ir pazistamā «slipīguma» sajūta.

Gaisa kustīgums arī ietekmē siltuma sajūtu, pat ja tā temperatūra nemainās. Tas pastiprina siltuma izkliedi no ādas virsmas divos veidos:

ja kustīgā gaisa temperatūra ir zemāka nekā ādas temperatūra, palielinās konvektīvā siltumatdeve. Karsta klimata apstākļos temperatūra var būt 40°C un lielāka; šādos apstākļos kustīgais gaiss faktiski sasilda ādu; paātrinot iztvaikošanu, notiek fizioloģiskā atdzišana. Šis efekts ir maznozīmīgs zema mitruma (zem 30%) apstākļos, jo šajā gadījumā iztvaikošana nekustīgā gaisā notiek neierobežoti. Augsta mitrums (apmēram 85%) apstākļos iztvaikošana ir ierobežota tā, ka pat kustīgs gaiss nevar pietiekoši pastiprināt dzesējošo iedarbi. Visvairāk vērā nēmama iztvaikošanas paātrināšanās ir vērojama vidēja mitrums ($40\ldots 50\%$) apstākļos. Sajā gadījumā iztvaikošanas potenciālās iespējas ir pietiekoši lielas. Tomēr, ja gaiss ir nekustīgs, tā slānis, kurš tieši saskaras ar ādu, ātri piesātinās, kavējot turpmāko iztvaikošanu. Gaisa kustība sagrauj šo piesātināta mitra gaisa starpkārtīju un nodrošina nepārtrauktu iztvaikošanu ar maksimālu ātrumu.

Kustīgā gaisa izmantošanu atdzesēšanai ierobežo tā izraisītās sajūtas, kuras nav saistītas ar siltuma sajūtām. Vidējās subjektīvās sajūtas, ko izraisa dažāda kustīguma gaiss, ir šādas: gaisa ātrums līdz $0,25 \text{ m/s}$ — gaisa kustību nesajūt; ātrums $0,25 \dots 0,5 \text{ m/s}$ — patīkama sajūta; ātrums $0,5 \dots 1,0 \text{ m/s}$ — gaisa kustību sajūt; ātrums $1,0 \dots 1,5 \text{ m/s}$ — caurvēja sajūta; ātrums viers $1,5 \text{ m/s}$ — nepatīkama caurvēja sajūta.

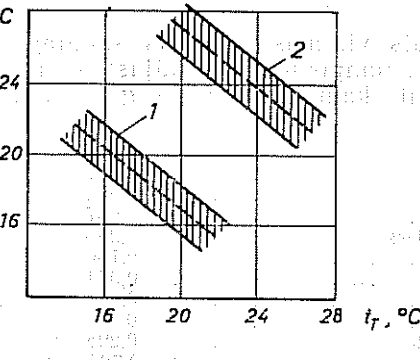
Karstajos rajonos gaisa kustības ātrums 1 m/s parasti skaitās patikams, bet ātrums līdz 1,5 m/s var būt pieņemams. Liejāka ātruma gadījumā ar vēju var tikt aiznesti viegli priekšmeti. Turklatā gaiss ar šādu ātrumu var atstāt uzbudinošu iespaidu. Aukstajos rajonos gaisa kustības ātrums apkurināmās telpās nedrīkst pārsniegt 0,25 m/s. Tomēr pat šādā gadījumā nekustīgs gaiss vai kustīgs gaiss ar ātrumu, kas mazāks par 0,1 m/s, izraisa smacīguma sajūtu.

Pēc iespāida pakāpes uz siltuma sajūtām otrajā vietā aiz gaisa temperatūras atrodas starošanas siltumapmaiņa.

No telpas iekšējo virsmu (konstrukciju, mēbeļu utt.) temperatūras t_T ir atkarīga to siltumatdeve izstarojot. Tā kā dažadiem priekšmetiem tā nav vienāda, tad lieto vidējo temperatūru jeb apkārtējās vides vidējo radiācijas temperatūru $t_r = f(t_T)$ (3.9. att.).

Uz cilvēka ķermēņa virsmu vērstais siltuma starojums iedarbojas uz tiem pašiem sajūtu orgāniem, uz kuriem darbojas apkārtējā gaisa siltums. Krirot uz starpvirsmu (piem., apgērbs), starojuma siltums pārvēršas jūtāmā siltumā (molekulārā kustībā), kas pēc tam siltumvadīšanas veidā caur apgērbu tiek pievadīts ādas virsmai. Savukārt, ja cilvēka ķermenis vērts pret aukstām virsmām, ievērojama siltuma daļa tiek izstarota šo virsmu virzienā. Tāda izstarošana izraisa aukstuma sajūtu. Atrodoties pie aukstas loga virsmas, šī parādība var izraisīt mānīgu auksta caurvēja sajūtu.

Daždos literatūras avotos ir izteikts pieņēums, ka gaisa temperatūras izmaiņa par 1°C var tikt kompensēta, izmainot uz pretējo pusi vidējo radiācijas temperatūru par $0,5\ldots 0,8^{\circ}\text{C}$. Ir noskaidrots, ka apstākļi ir viskomfortablākie tad, kad videjā radiācijas temperatūra ir samērām par 2°C



3.9. att. Attiecība starp temperatūrām t_T un t_r :

1 — komforta zona ziemas periodā; 2 — komforta zona vasaras periodā.

3.8. SUBJEKTĪVIE FAKTORI. APGĒRBS

Izvēloties piemērotu apgērbu, cilvēkam ir iespējams zināmā mērā kontroleit lielāko daļu siltumapmaiņas veidu starp savu ķermenē un virsmu un apkārtējo vidi. Caur apgērbu pārnestā siltuma aprēķināšana ir loti sarežģīta. Lai aprēķinus vienkāršotu, apgērba siltumizolācijai ieteikta vienība «clo» (no angļu vārdā *clothes* — apgērbs). 1 clo ir vienāds ar $0,155 \text{ m}^2\text{K/W}$, kas atbilst ķermenē virsmas vidējam siltumpārejas koeficientam $6,45 \text{ W}/(\text{m}^2 \cdot \text{K})$. Izmantojot vienību clo, var spriest par dažādiem apgērbu veidiem: kails ķermenis — 0; peldbiksītes — 0,01; šorti — 0,1; šorti, valējs kreklis ar īsām piedurknēm, vieglā apakšveļa — 0,3...0,5; garas plānas bikses, valējs kreklis ar īsām piedurknēm, vieglā apakšveļa — 0,5; vasaras uzvalks — 0,8; parasts uzvalks — 0,8...1; darba apgērbs, apakšveļa — 1,25; uzvalks ar vesti — 1,5; ziemas apgērbs, ieskaitot mētelī, — 1,5...2,2; silts ziemas apgērbs, ieskaitot žaketi un vesti, — 1,95; silts apgērbs zemām temperatūram — 3...4; ziemēju tipa apgērbs — 4,5 clo.

Kad cilvēks, piemēram, strādā sēzot un apkārtējais gaiss ir nekustīgs, apgērba novirze par vienu clo var tikt kompensēta ar apkārtējās vides temperatūras izmaiņu apmēram par 7°C . Vēja (vai cilvēkam darot smagaku darbu) šīs efekts izpaužas vēl krasāk.

Pastāv rinda nekvalificējamu subjektīvu faktoru, kuri iespaido individuālo izvēli attiecībā uz siltuma komfortu. Tie izmaiņa metabolisma intensitāti vai iedarbojas uz mehāniškiem, kas regulē siltuma izkliedi. Šādi faktori ir aklimatizācija, vecums un dzimums, ķermenē forma, zemādas tauku kārtīgas biezums, veselības stāvoklis, profesija, lietoto pārtikas produktu atšķirības.

Cilvēka ķermenē vidējais virsmas laukums sadalās šādi: galva — 7%, rokas — 21%, rumpis — 31%, kājas — 41%. Tā, piemēram, 170 cm garam cilvēkam ar masu 70 kg var būt šādi parametri, m^2 :

seja	0,042
galva	0,052
kakls	0,057
krūtis, mugura, vēders	0,290
iegurnis	0,166
abi pleci	0,074
abi apakšdelmi	0,076
abas rokas	0,197
abi gurni (augšstilbi)	0,298
abi apakšstilbi	0,223
abas pēdas	0,130
Kopā	1,605

Aklimatizācija kādas vietas apstākļiem vai gadalaikam iedarbojas kā uz metabolisma intensitāti, tā arī uz asinsriti un līdz ar to iespaido individuālās sajūtas.

Vecākiem cilvēkiem metabolisma intensitāts ir mazāki intensīvs, tāpēc viņi parasti dod priekšroku nedaudz paaugstinātai apkārtējās vides temperatūrai. Tā kā sievietēm metabolisma intensitāte ir nedaudz zemāka kā vīriešiem, viņas dod priekšroku temperatūrai vidēji par 1°C augstākai nekā vīrieši.

Garam, kalsnējam cilvēkam ķermenē virsmas laukuma attiecība pret tilpumu ir lielāka nekā zema auguma pilnīgam cilvēkam, tāpēc viņa siltuma zudumi ir lielāki. Līdz ar to kalsnēji cilvēki parasti dod priekšroku augstākai temperatūrai. Zemādas tauki pilda siltumizolatora lomu, samazinot siltumvadišanas veidā pārnesto siltumu no dzīļakiem audiem uz ādas virsmu. Lai nodrošinātu apmierinošu siltuma izkliedi, pilnīgiem cilvēkiem nepieciešams vēsāks gaisss.

Ja cilvēks ir slims, metabolisma intensitāte var paaugstināties, izmainot līdz ar to siltumapmaiņas režīmu. Tomēr vienlaikus var būt traucēta termoregulācijas mehānišma normāla darbība. Rezultāta apmierinošo temperatūru diapazons var sašaurināties un var būt nepieciešama āreju regulēšanas līdzekļu lietošana parasto iekšējo regulatoru vietā. Metabolisma intensitāti iespaido arī dažu veidu dzērieni un pārtika. Lai saglabātu siltuma līdzsvaru, apkārtējās vides temperatūru nepieciešams izmainīt apgrieztī proporcionali metabolisma intensitātei.

3.9. KOMFORTA RĀDĪTĀJI

Ir daudzi mēģinājumi izteikt komforta pakāpi ar vienu skaitlisku rādītāju, kas ļemtu vērā mainīgos lielumus vai vismaz daļu no tiem. Ieteiktos rādītājus var iedalīt divās grupās: empiriskos rādītājos, kuri pamatoti ar socioloģisku apskojumu datiem;

analītiskos rādītājos, kuri aprēķināti, pamatojoties uz siltuma pārnešanas veidu izsekosanu un ievērojot dažādus šķēršļus siltuma pārnešanai, kuri rodas apkārtējās vides faktoru iedarbības rezultātā.

Viens no empiriskiem komforta rādītājiem ir efektīvā temperatūra. Tā ir tāda nekustīgas, piesātinātās ($\varphi=100\%$) atmosfēras temperatūra, kura, ja nenotiek izstarošana (apkārtējo virsmu temperatūra vienāda ar gaisa temperatūru), rada tādu pašu termoregulācijas aparāta sasprindzinājumu kā apskatāmā atmosfēra. Tāpēc to sauc arī par ekvivalenti efektīvo temperatūru. Ekvivalenti efektīvās temperatūras līnijas var konstruēt uz psihrometriskām diagrammām, tomēr ērtākai lietošanai ir izstrādātas diagrammas, kurās ekvivalenti efektīvā tempera-

tūra ir funkcija no sausā un mitrā termometra rādījumiem un gaisa kustīguma.

Starojuma ietekmi var ievērot, ja sausā termometra temperatūras (STT) vietā nem vidējo starojuma temperatūru, kas aprēķināta atkarībā no izstarojošo virsmu temperatūru un laukumi lielumiem. Šajā gadījumā iegūto rādītāju sauc par rezultējošo jeb korigēto efektīvo temperatūru.

Ir noskaidrots, ka apstākļos, kuri visvairāk atbilst komforta līmenim, STT vērtības uzrāda vislielāko korelāciju ar aptaujāto vērtējumiem. Diskomforta pakāpes vērtēšanai var izmantot jebkuru no jau dotajiem rādītājiem. Rādītāja izvēle ir atkarīga no konkrēto apstākļu īpatnībām.

3.10. DISKOMFORTA SEKASA

Pētījumi rāda, ka pārkaršana samazina darba ražīgumu. To mēr, ievērojot izmianto komforta rādītāju dažādību un darba ražīguma novērtēšanas atšķirības, šo pētījumu rezultātu apkopošana sagādā grūtības. Analizējot dažādu pētījumu rezultātus, var izdarīt šādus vispārīgus secinājumus:

efektuva temperatūra no 20°C līdz 31°C ,
paaugstinot gaisa temperātu pēc sausā termometra no
 28°C līdz 34°C . darba ražīgums krītas par 40%.

Mēģinājumi izdarīt secinājumus, ka klimats ir svarīgs faktors civilizācijas attīstībā, sastopami t.s. klimatisko deterministu darbos. Labākie apstākļi esot mērena klimata zonās. Sādi teorētiskie secinājumi gan nav praktiski apstiprinājušies. Apgalvojums, ka enerģiskie baltās rases pārstāvji karstā klimatā degenerējoties, neatbilst praksē novērotajam.

Cilvēka fizioloģiskā spēja piešķirties, kā redzams, ir tik liela, ka jebkurs meģinājums noteikt komforta līmeni ir bezcērīgs. Vienīgais, ko var darīt, — aptuveni noteikt komforta apstākļu diapazonu jeb komforta zonu un dot iespēju patēriņtam pašam regulet zināmās robežas stāvokli pēc siltuma sajūtas.

4. BŪVNIECĪBAS SILTUMTEHNIKA

4.1. BŪVMATERIĀLU SILTUMTEHNISKĀS ĪPAŠĪBAS

Būvmateriālu siltumtehniskās īpašības ir atkarīgas no to tilpummasas, porainības un mitruma.

Tilpummasa ρ ir materiāla 1 m^3 masa (kg) dabiskā stāvoklī. Tilpummasu nedrīkst jaukt ar blīvumu ρ — vielas 1 m^3 masu (kg) absolūti blīvā stāvoklī (bez porām). Būvmateriālu tilpummasa var būt no 2800 kg/m^3 (granītam), līdz 20 kg/m^3 (porolonam).

Porainība $\frac{0 - \rho_t}{\rho}$. 100 % būvmateriāliem var būt no 0,5... 1,5% (granītam) līdz 98% (porolonam).

Materiāla mitrumu W , %, nosaka mitruma saturs, kas atiecināts pret materiāla masu sausā stāvoklī. Materiāla mitrums ir atkarīgs gan no paša materiāla īpašībām (porainības, higroskopiskuma), gan arī no apkārtējās vides (no gaisa mitruma saskares ar ūdeni).

Tādēļ materiāla īpašību raksturošanai lieto jēdzienu ūdensuzsūce. Par ūdensuzsūci sauc materiāla īpašību uzsūkt ūdeni un saglabāt to. Izšķir tilpuma ūdensuzsūci (piesātināta parauga masas un sausa parauga masas starpība attiecīnāta pret parauga tilpumu) un masas ūdensuzsūci (šo masu starpība attiecīnāta pret sausa parauga masu). Tilpuma ūdensuzsūci U_t un masas ūdensuzsūci U_m izsaka procentos un aprēķina pēc šādām formulām:

$$\bar{U}_t = ((m - m_s)/V_{0\text{std}})/m) \cdot 100\% \quad (4.1)$$

$$U_m \equiv ((m - m_s)/m) / m_s \cdot 100\% \quad (4.2)$$

kur m = mitra (piesātināta) materiāla parauga masa, kg;

m_s — tā paša parauga masa pēc izžāvēšanas, kg:

$\rho_{\text{üd}}$ — üdens blīvums, kg/m^3 ;

V — parauga tilpums dabiskā stāvoklī, m³.

Masas üdensuzsūce vienādu tilpumu paraugiem var būt dažāda atkarība no materiāla tilpummasas.

Attiecība starp tilpuma ūdensuzsūci un masas ūdensuzsūci ir vienāda ar materiāla tilpummasu. Vieglāk ir noteikt masas

ūdensuzsūci un, ja nepieciešams, aprēķināt tilpuma ūdensuzsūci pēc formulas

$$U_t = \frac{U_{mp}}{\rho_{ud}} = \frac{U_{mp}}{1000} \%$$

Dažādu materiālu ūdensuzsūce var būt plašās robežas. Tā, piemēram, masas ūdensuzsūce grīdu keramikas plāksnītēm ne-pārsniedz 4%, keramiskajiem kieģeļiem — 8...20%, smagajam betonam — 2...3%, granītam — 0,5...0,8%, bet poraino siltumizolācijas materiālu (kūdras plātnu) masas ūdensuzsūce ir lielāka par 100%.

Materiālu piesātinājums ar ūdeni negatīvi ietekmē to siltumtehniskās īpašības. Mitri materiāli siltumu vada labāk nekā sausi materiāli. Tā, piemēram, pareizi izgatavota kieģeļa ūdensuzsūcei jābūt ne mazākai par 8%. Mazāka ūdensuzsūce nozīmē, ka tas labāk vadīs siltumu.

Ēku konstrukcijas nekad nav pilnīgi sausas. Jauniem betona paneliem $W=12\ldots20\%$, kieģeļu sienām $W=5\%$, bet normāls mitrums $W=1,5\%$ iestājas tikai pēc pāris gadiem, ja konstrukcijas ir pareizi aprēķinātas un tiek normāli ekspluatētas. Būvmateriālu mitruma vērtības dotas 4.1. tabulā.

4.1. tabula
Maksimāli pieļaujamais mitrums W
būvkonstrukciju materiāliem

Būvkonstrukciju materiāls	$W, \%$
Māla kieģeļu vai keramikas mūris	1,5
Putustikls	1,5
Silikātkieģeļu mūris	2
Smagie betoni	2
Minerālvases plātnes un paklāji	3
Keramzīta, šungīzīta, izdedžu siltumizolācijas slānis	3
Keramzīta, šungīzīta, perlīta, pemzas un citi viegli betoni	5
Gāzbetons, putubetons, gāzes silikātbetons un citi šūnbetoni	7,5
Cementa fibrolīts	2,5
Putu polistirols un putu poliuretāns	

Būvmateriālu siltumvadītspējas koeficients λ var būt no $0,04 \text{ W}/(\text{m}\cdot\text{K})$ (porolonam) līdz $3,5 \text{ W}/(\text{m}\cdot\text{K})$ (granītam). Metāliem tas ir vēl lielāks: tēraudam $\lambda=58 \text{ W}/(\text{m}\cdot\text{K})$, alumīnijam $\lambda=220 \text{ W}/(\text{m}\cdot\text{K})$.

Jo mazāk materiālā poru, proti, jo lielāk tā tilpummasa, jo lielāka arī siltumvadītspēja. Tas viegli izskaidrojams ar to, ka koeficients λ materiālam ir apmēram 100 reižu lielāks nekā poru gaisam ($\lambda=0,023\ldots0,031 \text{ W}/(\text{m}\cdot\text{K})$).

Mitriem būvmateriāliem λ ir lielāks nekā sausiem. Tā, pie-mēram, kieģeļu mūra siltumvadītspēja atkarībā no mitruma mainās šādi:

$W, \%$	0,1	0,7	2,4	4	9
$\lambda, \text{W}/(\text{m}\cdot\text{K})$	0,53	0,72	0,81	1,01	1,37

Ja ūdens porās sasalst, koeficients λ palielinās lēcienveidā, jo ledum λ ir 4 reizes lielāks nekā ūdenim.

Konstrukcijas temperatūrai paaugstinoties, nedaudz pieaug arī būvmateriālu siltumvadītspēja. Siltumvadītspējas koefi-cienta atkarība no temperatūras t ir šāda:

$$\lambda_t = \lambda_0(1+0,0025t), \quad (4.3)$$

kur λ_0 — siltumvadītspējas koeficients 0°C temperatūrā, $\text{W}/(\text{m}\cdot\text{K})$.

Koksne šķiedru virzienā siltumu vada apmēram 2 reizes labāk nekā šķērsvirzienā. Tas pats novērojams, ja lieto būvkonstrukcijas dažādus presētus un šķiedrveida izolācijas mate-riālus.

Rokasgrāmatās būvmateriāliem dotas trīs koeficienta λ vērtības — sausam materiālam, normālos apstākļos un mitrā kli-matā. Latvijas teritorijā atrodas normāla un mitra klimata joslā.

Siltumietilpība c , $\text{kJ}/(\text{kg}\cdot\text{K})$, rāda, cik kJ siltuma jāpieievāda 1 kg materiāla, lai paaugstinātu tā temperatūru par vienu grādu. Būvmateriālu siltumietilpība var būt no $0,75 \text{ kJ}/(\text{kg}\cdot\text{K})$ (minerālvatei) līdz $2,3 \text{ kJ}/(\text{kg}\cdot\text{K})$ (kokam). Visaugstākā siltumietilpība $c=4,19 \text{ kJ}/(\text{kg}\cdot\text{K})$ ir ūdenim.

Siltumietilpības atkarību no mitruma izsaka formula

$$c = \frac{c_0 + 0,04W}{1 + 0,04W}, \quad (4.4)$$

kur c_0 — sausa materiāla siltumietilpība, $\text{kJ}/(\text{kg}\cdot\text{K})$.

Siltumapguves spēju raksturo materiāla siltumapguves koeficients S , $\text{W}/(\text{m}^2\cdot\text{K})$. Tas rāda, par cik Jājāmaina siltuma plūsma sekundē, lai materiāla virsmas 1 m^2 temperatūru iz-mainītu par 1°C .

Siltumapguves koeficientu S , $\text{W}/(\text{m}^2\cdot\text{K})$, aprēķina pēc for-mulas:

$$S = \sqrt{2\pi c \lambda \rho / T}, \quad (4.5)$$

Ja svārstību periods $T=24$ stundas,

$$S = 0,27\sqrt{\lambda \rho (c_0 + 0,0419W)}.$$

Betonam $S=19 \text{ W}/(\text{m}^2 \cdot \text{K})$, priežu dēļiem $S=4,5 \text{ W}/(\text{m}^2 \cdot \text{K})$. Metāliem siltumapgūves koeficients ir ievērojami lielaks, bet siltumizolācijas materiāliem — vēl mazaks nekā kokam.

Materiāla siltumapgūves spēju var noteikt subjektīvi, piešķaroties tā virsmai: metāli, akmeni un betons šķiet auksti, bet koks un audumi — silti, jo siltuma plūsma no cilvēka kermeņa, ieplūstot materiāla virsmā, materiālu ar mazu siltumapgūves koeficientu ātri sasilda.

Materiāla ūdens tvaika caurlaidību raksturo tvaika caurlaidības koeficients μ , $\text{mg}/(\text{m} \cdot \text{s} \cdot \text{Pa})$, kas rāda, cik miligramu ūdens tvaika izplūst caur 1 m bieza materiāla slāņa 1 m^2 sekundē, ja ūdens tvaika parciālo spiedienu starpība uz pretējām sienām ir 1 Pa. Koeficients μ stiklam un metāliem ir 0, dzelzbetonam — 0,008, izdedzē betonam — 0,021, minerālvatei — 0,15, nekustīgam gaisam — 0,17, gaisam, kurā pārvietojas konvektīvas plūsmas, — 0,28 $\text{mg}/(\text{m} \cdot \text{s} \cdot \text{Pa})$.

4.2. ĀREJO NORobežojošo Konstrukciju Siltumpārejas Pretestību UN VIRSMU TEMPERATŪRA

Apsildāmas ēkas ekspluatācijā liela nozīme ir siltumpārejas procesam ārējās norobežojošās konstrukcijās (ārsieni, pagrabas un bēniņu pārsegumos utt.). Pareizi izraudzītas konstrukcijas nodrošina to ekonomiskumu un vēlamo mikroklimatu apsildāmās telpās. Visās apkurināmās ēkas norobežojošo konstrukciju izņemot stiklojumu, siltumpārejas pretestībām jābūt tādām, lai cilvēkiem, kas atrodas ārējo norobežojošo konstrukciju tuvumā, nepalielinātos starojuma siltumapgādīšanas starp kermeņi vai drēbēm un norobežojošām konstrukcijām.

Piemērojot vienādojumu (2.70) ārējam norobežojošām konstrukcijām, var rakstīt aprēķina formulu siltumpārejas pretestībai:

$$R_0 = \frac{1}{\alpha_T} + \Sigma R + \Sigma R_{gs} + \frac{1}{\alpha_A}, \quad (4.6)$$

kur α_T — telpas norobežojošās konstrukcijas iekšējās virsmas siltumatdeves koeficients, $\text{W}/(\text{m}^2 \cdot \text{K})$;

α_A — norobežojošās konstrukcijas ārējās virsmas siltumatdeves koeficients, $\text{W}/(\text{m}^2 \cdot \text{K})$;

ΣR — norobežojošās konstrukcijas slāņu termisko pretestību summa, $\text{m}^2 \text{K}/\text{W}$;

ΣR_{gs} — gaisa starpslāņu termisko pretestību summa, $\text{m}^2 \text{K}/\text{W}$.

Atsevišķu slāņu termiskās pretestības aprēķina pēc formulas

$$R = \frac{\delta}{\lambda}, \quad (4.7)$$

kur δ — daudzslāņu norobežojošās konstrukcijas aprēķināmā slāņa biezums, m;

λ — slāņa materiāla siltumvadītspējas koeficients.

Daudzslāņu konstrukcijai, kurā viendabīgi slāni izvietoti cits aiz cita perpendikulāri siltuma plūsmai, termisko pretestību nosaka kā atsevišķu slāņu termisko pretestību summu:

$$R = R_1 + R_2 + R_3 + \dots + R_n + \dots + R_{gs}. \quad (4.8)$$

Norobežojošām konstrukcijām, kurās materiāls nav viendaibīgs, aprēķina tā saucamo reducēto termisko pretestību.

Daži posmi var būt no viendabīga materiāla, citi posmi — no atšķirīgiem materiāliem (4.1. att.). Tad atsevišķi aprēķina viendabīgo un neviendabīgo posmu termiskās pretestības un ar speciālām aprēķina metodēm atrod reducēto termisko pretestību, nemot vērā dažādo slāņu savstarpējo iedarbību.

Telpu mikroklimats ir atkarīgs no norobežojošo konstrukciju iekšējās virsmas temperatūras. Tās pazemināšanās var izraisīt ūdens kondensāta rašanos uz telpu sienām un griestiem.

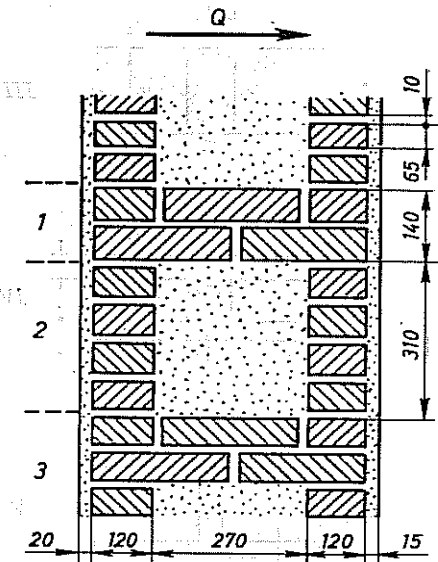
Gaisa vienmēr ir ūdens tvaiks. Tā daudzumu var izteikt ar ūdens tvaika parciālo spiedienu, kas rāda, kādu daļu no kopējā atmosfēras spiediena rada ūdens tvaiks. Maksimāli iespejamais ūdens tvaika parciālais spiediens p'_{tv} , Pa, iestājas, ja gaisa relatīvais mitrums $\varphi = 100\%$, kas ir atkarīgs no temperatūras (sk. 2.1. att.). Ja gaisa relatīvais mitrums $\varphi < 100\%$, tad ūdens tvaika parciālais spiediens

$$p'_{tv\varphi} = \frac{p'_{tv}}{100} \cdot 100. \quad (4.9)$$

Pēc šīs formulas, zinot gaisa relatīvo mitrumu un STT, var aprēķināt faktisko ūdens tvaika parciālo spiedienu un pēc grafika (sk. 2.1. att.) atrast RPT. Ja norobežojošo konstrukciju virsmas temperatūra ir zemāka par RPT, tad no gaisa uz aukstajām virsmām izdalās kondensāts un tās klūst mitras.

Tā kā

$$\frac{t_T - t_A}{R_0} = (t_T - \tau_T) \alpha_T,$$



4.1. att. Kombinēta mūra šķērsgriezums.

tad norobežojošās konstrukcijas iekšējās virsmas temperatūra

$$\tau_T = t_T - \frac{t_T - t_A}{R_0 \alpha_T}, \quad (4.10)$$

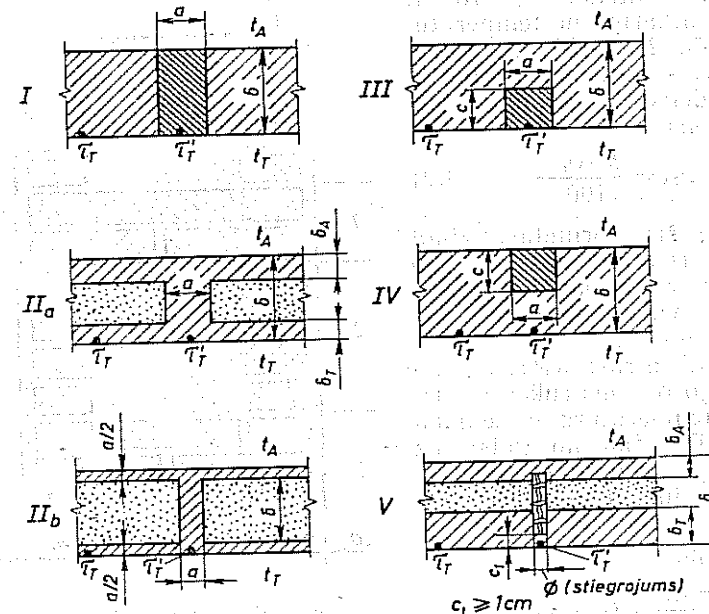
kur t_A — āra gaisa vai aukstākās telpas aprēķina temperatūra, kas atbilst konstrukcijas siltuma inercei.

Visbiežāk sienas noraso un uz tām veidojas pelējums vietās, kur sienu konstrukcijā ir kāds labs siltumvadītājs (tā saucamais «aukstuma tilts»). 4.2. attēlā parādītas dažas modernajai celtniecībai raksturīgās sienu konstrukcijas, kurām atsevišķas vietās siltumpārejas pretestība ir jūtami mazāki nekā visā pārējā sienas laukumā.

Lai uz norobežojošo konstrukciju iekšējās virsmas neizdalītos kondensāts, tās jāprojektē tā, lai būtu $t_R < \tau_T$. Ja pārbaudes aprēķins rāda, ka $t_R \geq \tau_T$, tad jāpalieina R_0 vai α_T .

Siltumpārejas pretestību R_0 var palielināt, palielinot atsevišķu slāņu biezumu vai izvēloties materiālu ar mazāku siltumvadīspējas koeficientu λ .

Lai palielinātu siltumatdeves koeficientu α_T , gar norobežojošās konstrukcijas virsmu jārada konvektīva gaisa plūsmu. Šādu gaisa plūsmu var izveidot, novietojot pie ārsienas apkures sildķermērus, stāvvadus vai virzot uz auksto virsmu gaisa



4.2. att. «Aukstuma tilts» shēmas ēku norobežojošās konstrukcijās.

strūklu no ventilatora (tā rīkojas, piemēram, lai neaizsvīstu un neaizsaltu veikala vitrīnas). Ārsienas nedrīkst noklāt ar segām, paklājiem un pie ārsienām nedrīkst novietot mēbeles, kas pilnīgi pārtrauc gaisa kustību un stipri samazina sienas siltumuztveri, līdz ar to strauji pazeminot ārsienas iekšējās virsmas temperatūru.

4.3. ĀREJO NOROBEŽOJOŠO KONSTRUKCIJU MITRUMA REZĪMS

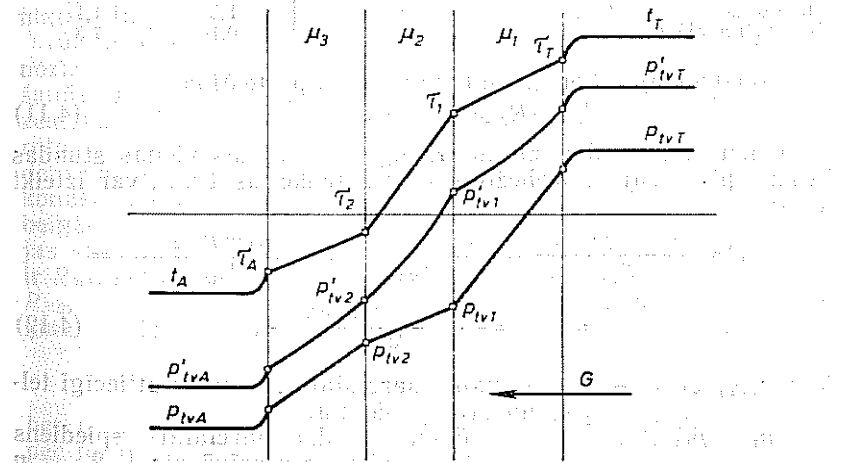
Celtņu normāla ekspluatācija ir atkarīga no to konstrukciju mitruma režīma.

Tā kā āra un telpas gaisā vienmēr ir ūdens tvaiks, tad, pastāvot ūdens tvaika parciālo spiedienu atšķiribai āra un telpas gaisā, notiek tvaika difūzija caur norobežojošām konstrukcijām, pārvarot to pretestību. Šīs pretestības dēļ ūdens tvaika parciālais spiediens p_{tv} samazinās.

Ziemā ūdens tvaika parciālais spiediens telpas gaisam vienmēr ir augstāks nekā āra gaisam. Tādēļ ūdens pastāvīgi izplūst no telpas caur norobežojošām konstrukcijām. To var atstātot grafiski (4.3. att.).

Norobežojošās konstrukcijas atsevišķu slāņu *mitrumpārejas pretestības* R_{M1}, \dots, R_{Mn} , $m^2 hPa/mg$, aprēķina šādi:

$$R_{M1} = \frac{\delta_1}{\mu_1}; \quad R_{M2} = \frac{\delta_2}{\mu_2}; \dots; \quad R_{Mn} = \frac{\delta_n}{\mu_n},$$



4.3. att. Ūdens tvaika parciāla spiediena sadalījums trīsslāņu sienā.

kur $\delta_1, \delta_2, \dots, \delta_n$ — atsevišķu slāņu biezumi, m;
 $\mu_1, \mu_2, \dots, \mu_n$ — slāņu materiālu ūdens tvaika caurlaidības koeficienti, mg/(m·h·Pa).

4.2. tabulā dotas dažādu materiālu mitrumpārejas pretestības.

4.2. tabula

Lokšņu materiālu un mitrumizolācijas kārtu mitrumpārejas pretestība R_M

Materiāls	Kārtas biezums, mm	R_M , m ² hPa/mg
Parastais kartons	1,3	0,016
Mīkstās kokšķiedras loksnes	12,5	0,05
Cietās kokšķiedras loksnes	10	0,11
Gipša apdares loksnes (sausais apmetums)	10	0,12
Līnēts triskārtu saplāksnis	3	0,15
Karsta bitumena pārklājums (krāsots vienu reizi)	2	0,3
Jumta pergaminis	0,4	0,33
Jumta pape	1,9	0,4
Karsta bitumena pārklājums (krāsots divas reizes)	4	0,48
Emaljas krāsas pārklājums	—	0,48
Eļļas krāsas pārklājums (krāsots divas reizes pēc špakteļšanas un gruntešanas)	—	0,64
Kukersīta bitumena mastikas pārklājums vienā kārtā	1	0,64
Kukersīta bitumena mastikas pārklājums divās kārtās	2	1,1
Ruberoids	1,5	1,1
Polielēna plēve	0,16	7,3

Konstrukcijas kopējā mitrumpārejas pretestība

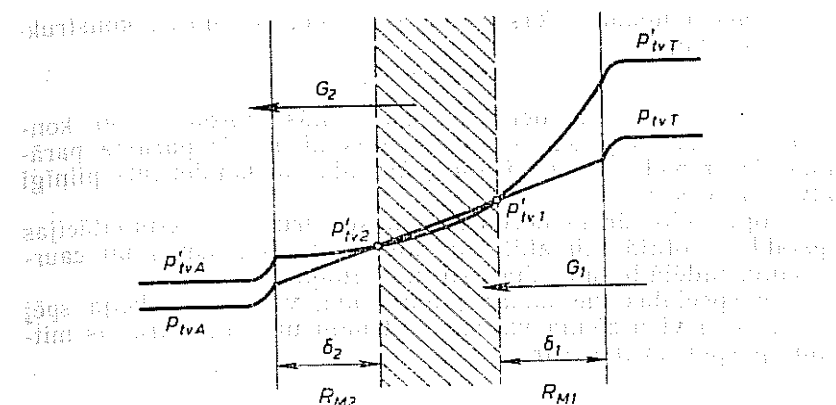
$$R_M = R_{M1} + R_{M2} + \dots + R_{Mn}. \quad (4.11)$$

Ūdens tvaika daudzumu G , mg/(m²·h), kas vienas stundas laikā izplūst caur norobežojošās konstrukcijas 1 m², var izteikt šādi:

$$G = \frac{p_{tvT} - p_{tvA}}{R_{M0}} = \frac{p_{tvT} - p_{tv1}}{R_{M1}} = \frac{p_{tv1} - p_{tv2}}{R_{M2}} = \dots = \frac{p_{tv,n-1} - p_{tvA}}{R_{Mn}}, \quad (4.12)$$

kur p_{tvT}, p_{tvA} — ūdens tvaika parciālais spiediens attiecīgi telpas un āra gaisā, Pa;

$p_{tv1}, p_{tv2}, \dots, p_{tvn}$ — ūdens tvaika parciālais spiediens konstrukcijas masīvā aiz 1, 2, ..., n slāņa (skaitot pēc kārtas no iekšējās virsmas), Pa.



4.4. att. Kondensācijas zonas veidošanās norobežojošās konstrukcijā

Ja ir zināms telpas vai āra gaisa relatīvais mitrums φ , %, un temperatūra t , °C, tad pēc 2.1. attēla nosaka maksimāli iespējamo ūdens tvaika parciālo spiedienu p'_{tv} dotajā temperatūrā t un ūdens tvaika parciālo spiedienu p_{tv} aprēķina pēc formulas (4.9).

Vienlaikus ar p_{tv} pazeminās temperatūra τ un maksimāli iespējamais ūdens tvaika parciālais spiediens p'_{tv} (4.3. att.). Līnijas, kas attēlo p'_{tv} un p_{tv} , nav paralelas, jo dažādu būvmateriālu koeficientu λ un μ vērtības ir proporcionālās.

Jāiņgrafo attēlā p_{tv} un p'_{tv} līnijas krustojas, tad tas nozīmē, ka būvkonstrukcijas masīvā notiks kondensāta izdalīšanās: rajonā, kur $p_{tv} > p'_{tv}$, būvkonstrukcijas temperatūra ir zemāka nekā RPT. 4.4. attēlā parādīta šāda situācija. Iesvitroto zonu, kurā notiek kondensāta izdalīšanās, sauc par kondensācijas zonu. Apzīmējot ūdens tvaika parciālo spiedienu kondensācijas zonas sākumā ar p_{tv1} , bet kondensācijas zonas beigās ar p_{tv2} , un pieņemot, ka δ_1 metru biezajam konstrukcijas slānim līdz kondensācijas zonai mitrumpārejas pretestība ir R_{M1} , bet δ_2 metru biezajam slānim aiz kondensācijas zonas — R_{M2} , ūdens tvaika daudzumu, kas ieplūst konstrukcijā, aprēķina pēc formulas

$$G_1 = (p_{tvT} - p_{tv1}) \frac{\mu}{\delta_1} = \frac{p_{tvT} - p_{tv1}}{R_{M1}}, \quad (4.13)$$

bet ūdens tvaika daudzumu, kas izplūst no konstrukcijas, — pēc formulas

$$G_2 = (p_{tv2} - p_{tvA}) \frac{\mu}{\delta_2} = \frac{p_{tv2} - p_{tvA}}{R_{M2}}. \quad (4.14)$$

Ūdens daudzums, kas kondensējas norobežojošās konstrukcijas masīvā, ir

$$G = G_1 - G_2.$$

Ūdens tvaika kondensāta uzkrāšanas norobežojošo konstrukciju masīvos ziemas aukstākajās dienās ir parasta parādība. Tā ir pieļaujama, ja aprēķini rāda, ka kondensāts pilnīgi iztvaikos vasarā.

Prognozējot ārējo norobežojošo konstrukciju ekspluatācijas apstākļus dotajā klimatā, var novērst to bojāšanos un cauršanu, tādējādi samazinot siltuma zudumus.

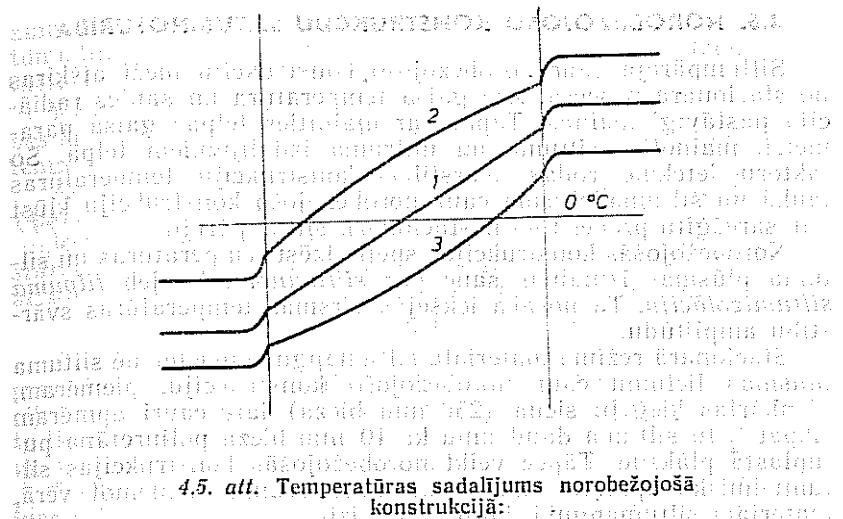
Pēc speciālas metodikas jāpārbauda, vai konstrukcija spēj uzsūkt sevi visu ziemā uzkrāto mitrumu un vai uzkrātais mitrums paspēj izžūt vasarā.

4.4. ĀREJO NORobežojošo Konstrukciju Gaiscaurlaidība

Ārejo norobežojošo konstrukciju gaiscaurlaidību ievērojot, vērtējot tās laiz cauri gaisu. No higiēniskā viedokļa to vērtē pozitīvi, jo telpās notiek zināma gaisa apmaiņa. No siltumtehniskā viedokļa gaiscaurlaidība ir negatīva parādība, jo aukstā gaisa sasildīšanai, kurš infiltrējas zemu āra gaisa temperatūru gadījumā, jāpatēri papildu siltums. Gravitācijas spēku ietekmē daudzstāvu ēku apakšējos stāvos novērojama gaisa infiltrācija, bet augšējos — eksfiltrācija, t.i., tā cirkulācija caur norobežojošo konstrukciju neblīvumiem. Vēja iedarbībā šie procesi pastiprinās.

Infiltrācijas gadījumā aukstais āra gaisis atdzesē norobežojošās konstrukcijas masīvu, bet eksfiltrācijas gadījumā siltais telpas gaisis to sasilda. Rezultātā mainās konstrukcijas atsevišķu slāņu temperatūra (4.5.att.) un tās siltumpārejas pretestība.

4.5.att. Temperatūras sadalījums norobežojošā konstrukcijā:



4.5.att. Temperatūras sadalījums norobežojošā konstrukcijā:

1 — konstrukcija ir gaiscaurlaidīga; 2 — eksfiltrācijas gadījums; 3 — infiltrācijas gadījums.

Gridu virsmu siltumapguves spēju izsaka ar efektīvo siltumapguves koeficientu, kuram ir tāda pati vienība kā būvmateriālu siltumapguves koeficientam S , bet skaitliskā vērtība atkarīga no grīdas konstrukcijas.

Efektīvais siltumapguves koeficients dzīvojamām ēkām, medicīnas iestādēm, skolām, bērnudārziem un mazbērnu iestādēm nedrīkst pārsniegt $12 \text{ W}/(\text{m}^2 \cdot \text{K})$; sabiedriskajām ēkām, rūpniecības uzņēmumu, palīgēkām un palīgtelpām, kā arī fiksētām darba vietām ražošanas telpās, kurās veic vieglu darbu, tas nedrīkst būt lielāks par $14 \text{ W}/(\text{m}^2 \cdot \text{K})$; fiksētām darba vietām ražošanas telpās, kurās veic vidēji smagu darbu, tas nedrīkst pārsniegt $17 \text{ W}/(\text{m}^2 \cdot \text{K})$.

Gridu virsmu siltumapguves spēja nav normēta ražošanas telpām, kurās veic smagu darbu, ievērojot noteikumu, ka fiksētajās darba vietās uz grīdas ir koka vairogi vai silti paklāji. Tā nav normēta arī sabiedrisko ēku telpām, kurās cilvēki uzturas ūsu brīdi, piemēram, muzeju un izstāžu zālēm, teātru un kinoteātru vestibiliem.

Efektīvā siltumapguves koeficiente faktisko vērtību nosaka atkarībā no grīdas slāņa vai slāņu siltuma inerces raksturojuma (sk. formulu (4.17)).

Šāpēcīgākās konstrukcijas masīvās (4.6.att.) iegūtie rezultāti, kur $R_{G1}, R_{G2}, \dots, R_{Gn}$ — norobežojošās konstrukcijas atsevišķu slāņu gaiscaurlaidības pretestības, $\text{m}^2\text{hPa/kg}_0$,

Būvkonstrukciju gaiscaurlaidības pretestība jāizvēlas atkarībā no gaisa spiedieni starpības norobežojošās konstrukcijas iekšpusē un ārpuse un pieļaujamās gaiscaurlaidības. Aprēķinot gaisa spiedienu starpību, nem vērā ne tikai gaisa blīvumu starpību, bet arī vidēji vislielāko vēja ātrumu janvārī.

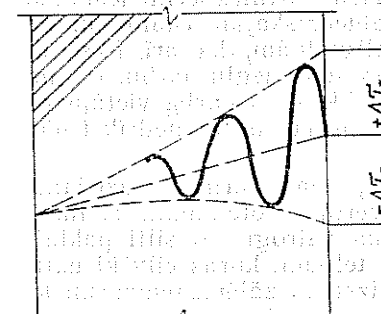
4.6. NOROBEŽOJOŠO KONSTRUKCIJU SILTUMNOTURĪBA

Siltumpāreja caur norobežojošo konstrukciju bieži atšķiras no stacionāra procesa. Āra gaisa temperatūra un saules radiācija pastāvīgi mainās. Tāpat var mainīties telpas gaisa parametri, mainoties siltuma un mitruma izdalījumiem telpā. So faktoru ietekmē rodas svārstības konstrukciju temperatūras laukā un siltuma plūsma caur norobežojošo konstrukciju kļūst par sarežģītu procesu — nestacionāru siltumpāreju.

Norobežojošās konstrukcijas spēju dzēst temperatūras un siltuma plūsmas izmaiņas sauc par *siltumnoturību* jeb *tilpuma siltumizolāciju*. Tā nosaka iekšējās virsmas temperatūras svārstību amplitūdu.

Stacionārā režīmā materiāla siltumapguve neietekmē siltuma plūsmas lielumu caur norobežojošo konstrukciju, piemēram, vienkārtas kieģeļu siena (250 mm bieza) laiž cauri apmēram tikpat lielu siltuma daudzumu kā 10 mm bieza poliuretāna putuplasta plāksne. Tāpēc veikt norobežojošās konstrukcijas siltumtehnisko aprēķinu tikai stacionārā režīmā, neņemot vērā, materiāla siltumapguvi, būtu nepareizi.

Kad sienā caur vienu tās virsmu ieplūst siltums, tad kādu daju no šī siltuma akumulē sienas pirmais slānis (siltumapguve), bet kādu citu tā daju uzņem nākošais slānis. Šis process uz siltumpāreju iedarbojas bremzējoši. Stacionārā režīmā konstrukcijas masīvā iestājas noteikts (pāstāvīgs) temperatūras salījums un siltuma plūsma ir atkarīga tikai no sienas termiskās pretestības (siltumvadītspējas). Ja bremzējošā iedarbība ir kvantitatīvi salīdzināma ar temperatūras izmaiņu ciklu vienā vai abās sienas pusēs, tad iespējams, ka siltuma pieplūdes maksimālais periods vienā sienas pusē beigties, pirms temperatūras vilnis būs sasniedzis sienas otru pusī (4.6. att.). Tādā veidā daļa siltuma, kura ir akumulēta sienas masīvā, var sākt pārvietoties uz sienas virsmu; notiek rīmšanas vai izlīdzināšanās process, kas izmaina sienas siltumizolejošās īpašības.



4.6. att. Temperatūras svārstības viendabīga materiāla sienā, mainoties virsmas temperatūrai t_A .

zumā sasils ātrāk. Ja turpretī tam ir liela tilpummasa un siltumietilpība, tad siltuma plūsmas pārvietošanās ātrums būs mazāks.

Kvadrātsakni $\sqrt{\lambda pc}$ sauc par materiāla *ipatnējo siltumapgives koeficientu*. Reālais siltumapgives koeficients ir atkarīgs no temperatūras izmaiņām.

Aprēķinos lieto siltumapgives koeficientu S (sk. formulu (4.5)), kas attiecināts uz diennakts cikla svārstībām:

Reizinājumu RS sauc par konstrukcijas *siltuma inerces raksturojumu* D . Tas ir bezdimensijas lielums, kuru konstrukcijai ar dažādiem slāniem ($1, \dots, n$) aprēķina pēc formulas

$$D = R_1S_1 + R_2S_2 + \dots + R_nS_n. \quad (4.17)$$

Atkarībā no D skaitliskās vērtības spriež par konstrukcijas masivitāti un izvēlas attiecīgas telpas un āra gaisa, konstrukciju virsmu temperatūras siltumtehniskajos aprēķinos. Līdz ar to tiek ievērota arī siltuma plūsmas bremzēšanās efekta ietekme uz siltuma zudumiem caur norobežojošām konstrukcijām.

Pastāv uzskats, ka siltuma inerces praktiski nav, ja $D \geq 1,5$, inerce ir maza, ja $1,5 < D \leq 4$, inerce ir vidēja, ja $4 < D \leq 7$, un tā ir liela, ja $D > 7$.

4.7. PAMATFORMULA SILTUMA ZUDUMU APRĒKINĀŠANAI CAUR NOROBEŽOJOŠĀM KONSTRUKCIJĀM

Telpas kopējos siltuma zudumus, kurus izmanto apkures sistēmas jaudas aprēķināšanai, atrod, summējot visu norobežojošā konstrukciju siltuma zudumus, kas noteikti pēc formulas

$$Q = \frac{A}{R_0} (t_T - t_A) (1 + \Sigma \eta), \quad (4.18)$$

kur A — norobežojošās konstrukcijas virsmas laukums, m^2 ;
 R_0 — norobežojošās konstrukcijas siltumpārejas pretestība, m^2K/W ;
 t_T — telpas gaisa aprēķina temperatūra, $^{\circ}C$;
 t_A — āra gaisa vai aukstākās telpas aprēķina temperatūra, $^{\circ}C$;
 $\Sigma \eta$ — papildu siltuma zudumu koeficientu summa.

Siltuma zudumus caur norobežojošām konstrukcijām ražošanas telpām ar ievērojamiem siltuma izdalījumiem aprēķina, neņemot vērā siltumapmaiņu starošanas veidā starp siltuma avotu un norobežojošām konstrukcijām.

Aprēķinot siltuma zudumus dzīvojamās ēkās, jāņem vērā sadzīves siltums. Šai nolūkā telpas siltuma zudumi jāsamazina, neņemot vērā grīdas laukumu (kvadrātmērus).

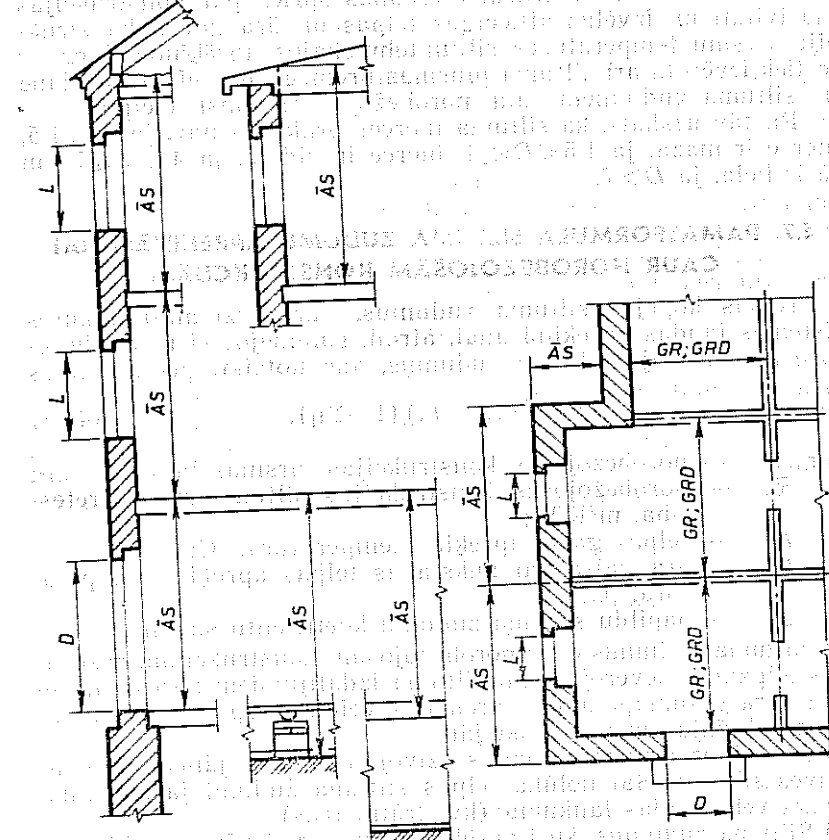
Siltuma zudumus, kuri aprēķināti, neņemot vērā papildu siltuma zudumu koeficientu summu, pieņemts saukt par galvenajiem zudumiem.

4.8. NOROBEŽOJOŠA KONSTRUKCIJU VIRSMAS LAUKUMA MĒRĪŠANAS NOTEIKUMI

Ārsienū, pārsedžu, logu un durvju viersmas laukumui. A. sil-tuma zudumu aprēķinam mēra, kā parādīts 4.7. attelā.

Ārsienu augstumu pirmā un pēdējā stāvā mēra attiecīgi nogrīdas un bēniņu pārseguma konstrukcijas (4.7. att.). Starpstāvos ārsienu augstumu mēra starp tiro grīdu augstuma atzīmēm. Pagarinot sienas, kas veido ēkas ārejtos stūrus, kompenses papildu siltuma zudumus šajās vietās.

Iekšējo starpsienu virsmas laukumu mērā pa iekšējo perimetru.



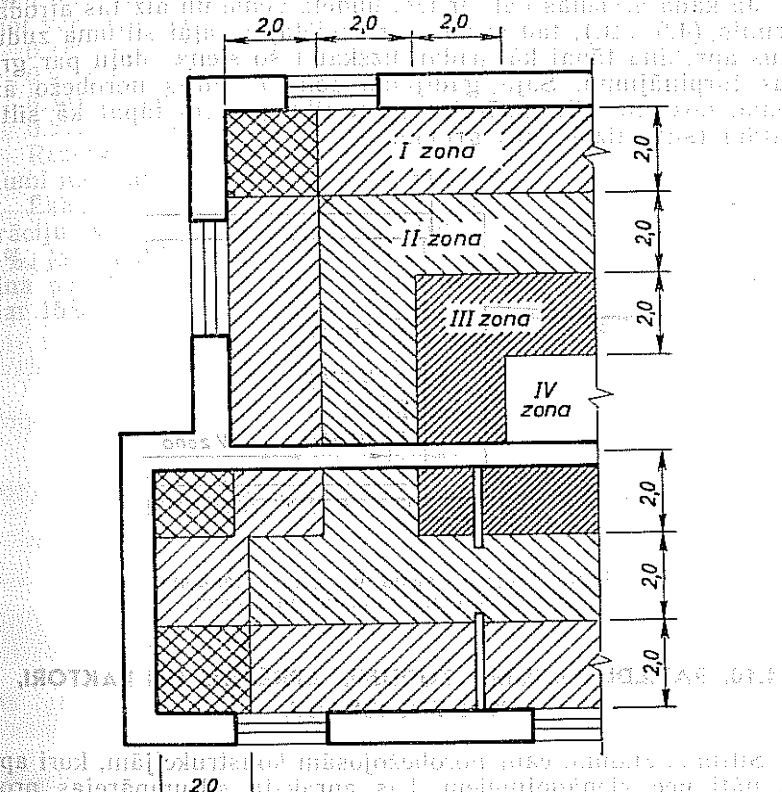
4.7. att. Norobežojošo konstrukciju laukumu mērišanas noteikumi sākumā zudumu aprēķinam.

4.9. ATSEVIŠKI SILTUMA ZUDUMU APRĒKINA GADĪJUMI

Siltuma zudumus caur grīdām, kas balstās tieši uz grunts, kā arī caur pagrabstāvu un tehnisko pagrabu sienām, kuras izbūvētas zemāk par zemes līmeni, aprēķina, lietojot nosacītās siltumpārejas pretestības.

Siltumpārējais process caur grīdas konstrukciju un piegulošo grunts pakļauts sarežģītām likumsakarībām. Tā kā siltuma zudumi caur šādu grīdu sastāda nelielu daļu no telpas kopējiem siltumu zudumiem, tad aprēķinam lieto vienkāršotu metodiku. Grīdas laukumu sadala 2 m platās zonās (4.8.att.), kuras paralēlas ārsienēm. IV zonā ietilpst viss pārējais grīdas laukums.

Siltuma zudumus katrų zonai aprėkina atseviški pēc formulas (4.18).



4.8. att. Uz grunts balstītās grīdas laukuma mēri-
šana siltuma zudumu aprēķinam.

Nesiltinātām grīdām, kurām siltumvadītspējas koeficients $\lambda \geq 1,2 \text{ W}/(\text{m}^2 \cdot \text{K})$, iesaka lietot šādas nosacītās siltumpārejas pretestības:

I zonai — $2,1 \text{ m}^2\text{K}/\text{W}$;

II zonai — $4,3 \text{ m}^2\text{K}/\text{W}$;

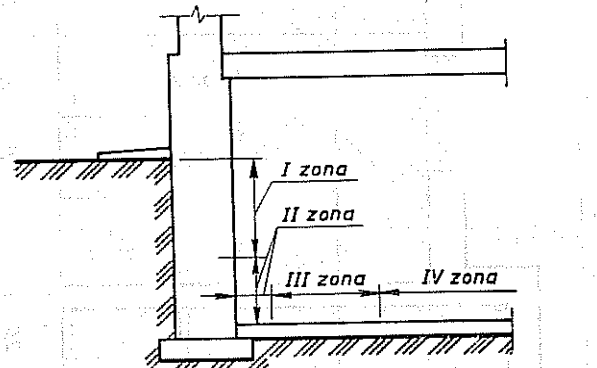
III zonai — $8,6 \text{ m}^2\text{K}/\text{W}$;

IV zonai — $14,2 \text{ m}^2\text{K}/\text{W}$.

Siltinātām (siltumizolētām) grīdām, kurām siltumvadītspējas koeficients $\lambda < 1,2 \text{ W}/(\text{m}^2 \cdot \text{K})$, saglabā minētās pamatslāņa zonu siltumpārejas pretestības, izvēloties siltumizolāciju ar atiecīgu siltumpārejas pretestību.

I zonas grīdas laukumu kaktā pie ārējā ēkas stūra aprēķinaņem 2 reizes.

Ja kāda ārsienas daļa ir iegremdēta zemē un aiz tās atrodas grunts (4.9. att.), tad sienas iegremdētajai daļai siltuma zudumus aprēķina tāpat kā grīdai, uzskatot šo sienas daļu par grīdas turpinājumu. Sajā gadījumā zonām, kuras norobežo ārējās siena, nosacīto siltumpārejas pretestību pieņem tāpat kā siltinātām (siltumizolētām) grīdām.



4.9. att. Pagrabas sienas un grīdas laukumi mērišana siltuma zudumu aprēķinam.

4.10. PAPILDU SILTUMA ZUDUMU APRĒKINS UN FAKTORI, KAS TOS IZRAISA

Siltuma zudumi caur norobežojošām konstrukcijām, kuri aprēķināti pēc vienādojumiem, kas apraksta siltumpārejas procesu, izrādās mazāki nekā faktiskie siltuma zudumi. Ievērojama ieteikme uz siltuma zudumu lielumu ir gaisa eksfiltrācijai un infiltrācijai caur norobežojošo konstrukciju masīvu un neblīvu-

miem tajās. Tāpat jāņem vērā saules starojums un vēja stiprums. Telpu siltuma zudumi var ievērojami palielināties, ieplustot aukstam gaisam caur ārdurvīm.

Papildu siltuma zudumus caur jebkuras nozīmes telpas norobežojošām konstrukcijām aprēķina kā daļu no galvenajiem siltuma zudumiem, lietojot koeficientu η (sk. formulu (4.18)), kura vērtības ir šādas:

a) jebkuras nozīmes ēkas telpu vertikālo un slīpo (vertikālā projekcijā) ārsieni, durvju un logu galvenos siltuma zudumus, kas vērsti uz ziemeļiem, austrumiem, ziemeļaustrumiem un ziemeļrietumiem, palielina par 10%, bet uz dienvidaaustrumiem un rietumiem vērstos galvenos siltuma zudumus palielina par 5% (4.10. att.);

b) ja ārdurvīs nav aprīkotas ar gaisa vai silta gaisa aizkariem, galvenajiem siltuma zudumiem izdara pieskaitījumus, nēmot vērā ēkas augstumu H :

$0,2H$ — trīskāršām durvīm ar diviņiem vējtveriņiem starp tām;

$0,27H$ — dubultdurvīm ar vējtveri starp tām;

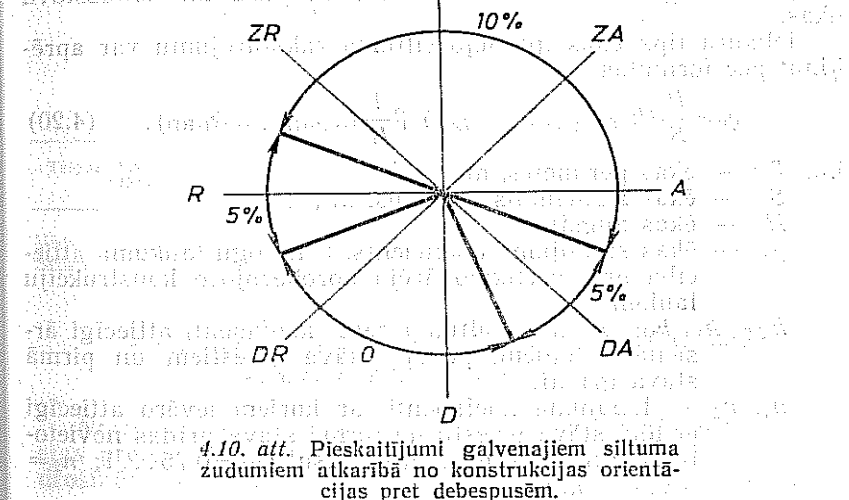
$0,34H$ — dubultdurvīm bez vējtvera;

$0,22H$ — vienkāršām durvīm.

Rezerves un vasaras durvīm un vārtiem papildu siltuma zudumi nav jāņem vērā.

Ekām, kurām nerēķina speciāli gaisa infiltrāciju un eksfiltrāciju, vertikālo konstrukciju siltuma zudumus palielina par 5%, ja vidējais vēja ātrums janvārī mazāks nekā 5 m/s ; palielina par 10%, ja šis vēja ātrums ir $5 \dots 10 \text{ m/s}$, un palielina par 15%, ja tas lielāks nekā 10 m/s .

4.10. att. Pieskaitījumi galvenajiem siltuma zudumiem atkarībā no konstrukcijas orientācijas pret debespusēm.



4.11. ĒKAS SILTUMA ZUDUMU APTUVENĀ NOTEIKŠANA

Projektējot centralizētu siltumapgādi, plānojot iepriekšējos pasūtījumus apkures sistēmas iekārtām un kurināmām, jāzina ēku aptuvenie siltuma zudumi. Vadoties no siltumtehniskā līviedokļa, ēku var novērtēt pēc *īpatnējā siltuma raksturojuma* q_0 , $\text{W}/(\text{m}^2 \cdot \text{K})$, ko aprēķina pēc formulas

$$\Sigma Q = q_0 a (t_T - t_{A5}) V \quad (4.19)$$

kur ΣQ — kopējē ēkas siltuma zudumi, W ;

Ēkas veids	0,5	1	3	5	8	10	12	20
Dzīvojamā	0,76	0,58	0,49	0,44	0,38	0,34	0,34	0,34
Administratīvā	—	—	—	—	0,5	0,44	0,41	0,37
Skola	—	—	—	—	0,45	0,41	0,38	0,35
Slimnīca	—	—	—	—	0,47	0,42	0,38	0,35
Rūpniecības	—	—	—	—	0,7	0,58	0,52	0,52

Ar koeficientu a ievēro to, ka aukstāko klimatisko zonu ēkām paredz lielāku siltumaizsardzību.

Īpatnējais siltuma raksturojums q_0 ir atkarīgs no ārējo norobežojošo konstrukciju virsmas laukuma attiecības pret ēkas apkurināmās daļas ārējo tilpumu, no logu dauzuma, pārseguma laukuma un citiem rādītājiem. No siltumtehniskā līviedokļa izdevīgas ir ēkas ar kubveida korpusu un daudzstāvu ēkas.

Jebkura tipa ēkas īpatnējo siltuma raksturojumu var aprēķināt pēc formulas

$$q_0 = \frac{P}{S} (k_{AS} + \rho_0 (k_L - k_{AS})) + \frac{1}{H} (n_1 k_{GR} + n_2 k_{GRD}), \quad (4.20)$$

kur P — ēkas perimetrs, m ;
 S — ēkas aizņemtais laukums, m^2 ;
 H — ēkas augstums;
 ρ_0 — ēkas stiklojuma koeficients, t. i., logu laukuma attiecība pret vertikālo ārējo norobežojošo konstrukciju laukumu;

k_{AS} , k_L , k_{GR} , k_{GRD} — siltumpārejas koeficienti attiecīgi ārsienām, logiem, pēdējā stāva griešiem un pirmā stāva grīdai;

n_1 , n_2 — labojuma koeficienti, ar kuriem ievēro attiecīgi pēdējā stāva griešu un pirmā stāva grīdas novietojumu attiecībā pret āra gaisu ($n_1 = 0,75 \dots 1$; $n_2 = 0,4 \dots 0,7$).

Kāpņu telpām q_0 parasti pieņem ar koeficientu 1,6. Ievērojot pārveidotu formulu (4.19), var lietot perspektīvai plānošanai:

$$\Sigma Q = q_0 a (t_T - t_{A5}) V \quad (4.21)$$

Tādā gadījumā koeficiente q_0 vērtības nem no rokasgrāmatām atkarībā no ēkas rakstura. 4.3. tabula doti dažu apkurināmu ēku īpatnējie siltuma raksturojumi q_0 , $\text{W}/(\text{m}^2 \cdot \text{K})$.

Ēku īpatnējais siltuma raksturojums q_0 , $\text{W}/(\text{m}^2 \cdot \text{K})$

Ēkas veids	0,5	1	3	5	8	10	12	20
Dzīvojamā	0,76	0,58	0,49	0,44	0,38	0,34	0,34	0,34
Administratīvā	—	—	—	—	0,5	0,44	0,41	0,37
Skola	—	—	—	—	0,45	0,41	0,38	0,35
Slimnīca	—	—	—	—	0,47	0,42	0,38	0,35
Rūpniecības	—	—	—	—	0,7	0,58	0,52	0,52

Pēc formulas (4.21) var noteikt atsevišķu telpu aptuvenus siltuma zudumus Q , W , ieviešot koeficientu k , t. i.,

$$Q = q_0 k a V (t_T - t_{A5}), \quad (4.22)$$

kur k — labojuma koeficients, kura vērtība atkarīga no atiecīgās telpas izvietojuma plānā un no stāva

attiecību (4.4. tab.);
 V_T — telpas tilpums, m^3 ;
 q_0 — ēkas īpatnējais siltuma raksturojuma normatīvā vērtība (4.3. tab.).

4.4. tabula

Labojuma koeficienta k vērtības

Telpas izvietojums plānā	Stāvs			Vienstāva ēka
	spākšķījais	vidējais	augšķījais	
Vidējs	1,1	0,8	1,3	0,9
Stūra	1,9	1,5	2,2	1,5

4.12. NORobežošo Konstrukciju Tehniski Ekonomiskais pamatojums

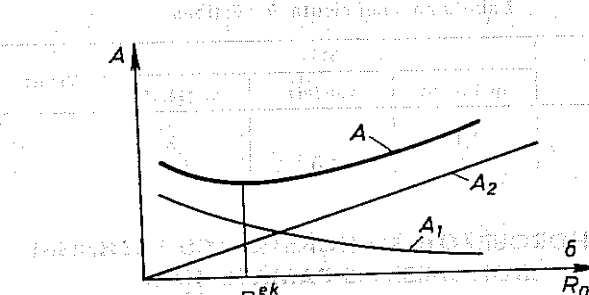
Norobežošo konstrukciju nepieciešamo stipribi, siltumpārejas pretestību, mitruma režīmu un gaisa caurlaidību var nodrošināt, dažādi variējot materiālus un to izvietojumu

konstrukciju masīvā. Iespējamie norobežojošo konstrukciju varianti jāsalīdzina un jāizvēlas tas variants, kuram ir vismazākā kapitālieguldījumu (konstrukciju, transporta un montāžas izmaksu) un ekspluatācijas izdevumu (galvenokārt kuriņāmā izmaksu) summa.

Pēc stipribas aprēķinātās konstrukcijas siltumpārejas pretestība parasti ir nepietiekoša no siltumtehniskā viedokļa. Ja šī konstrukcija sastāv no viena slāņa, kura materiāls kalpo arī kā siltumizolācija, tad nepieciešamo siltumpārejas pretestību iegūst, palielinot konstrukcijas biezumu. Ja konstrukciju veido vairāki slāni (parasti viens materiāls nodrošina stipribu, pārējie ir siltumizolācijas un apdares materiāli), tad stipribas un apdares materiālu siltumpārejas pretestības pieņem par nemainīgām un aprēķina nepieciešamo siltumizolācijas slāņa biezumu. Tāpēc aprēķinu formulās jāievēro arī pamatmateriāla un izolācijas materiālu izmaksas. Bez tam aprēķinos ievēro arī konstrukcijas (būves) ekspluatācijas laiku, kas rūpniecības ēkām ir mazāks nekā dzīvojamām ēkām.

4.11. attēlā grafiski attēlotā kapitālieguldījumu A_1 palielināšanās un ekspluatācijas izdevumu A_2 samazināšanās, palielinot norobežojošas konstrukcijas masīvitāti, respektīvi, palielinot tās siltumpārejas pretestību R_0 . Summāro izdevumu $A = A_1 + A_2$ līknes minimālajai vērtībai atbilst no ekonomiskā viedokļa optimālā siltumpārejas pretestības vērtība R_0^{ek} .

Siltumpārejas pretestību R_0 var pieņemt lielāku par nepieciešamo vērtību R_{ON} (sk. 4.13. sadāļu), ja tas ir ekonomiski izdevīgi, t. i., apkurei patēriņtās siltuma energijas ekonomija kompensē papildu kapitālieguldījumus, kas saistīti ar konstrukcijas masīvitātes palielināšanu.



4.11. att. Optimālās siltumpārejas pretestības izvēle atkarībā no kapitālieguldījumu un ekspluatācijas izdevumu attiecības.

4.13. NOROBEŽOJOŠO KONSTRUKCIJU SILTUMTEHNISKAIS APRĒĶINS

Norobežojošo konstrukciju siltumpārejas pretestībai jāapmierina sanitāri higiēniskās prasības un jābūt optimālai no tehniski ekonomiska viedokļa.

Ziemas apstākļos minimāli pieļaujamo siltumpārejas pretestību, kas apmierina sanitāri higiēniskās prasības, sauc par nepieciešamo siltumpārejas pretestību R_{ON} .

Ja nav speciālu normatīvo aktu (sk. 2. pielikumu) par ēku norobežojošo konstrukciju siltumpārejas pretestības vērtībām, tad, nosakot R_{ON} , par pamatu varņem temperatūras sadalījuma vienādojumu (4.10) šādā veidā:

$$R_0 = R_T \frac{t_T - t_A}{t_T - t_T} \quad (4.23)$$

Seit ievieto reglamentētas lielumu R_T , t_T , t_A un $t_T - t_T$ vērtības, kuras atkarīgas no telpas uzdevuma un citiem faktoriem.

Norobežojošo konstrukciju, izņemot logus, durvis un virsgaismas, aprēķins sākas ar to nepieciešamas siltumpārejas pretestības R_{ON} , $\text{m}^2\text{K}/\text{W}$, noteikšanu, kuru atrod pēc formulas

$$R_{\text{ON}} = \frac{t_T - t_A}{\Delta_N \alpha_T} \quad (4.24)$$

kur Δ_N — temperatūru starpība $t_T - t_A$, kas atkarīga no gaisa mitruma telpā: dzīvojamo ēku sienām tā ir 6, bēniņu pārsegumiem — 4, pagrabu pārsegumiem — 2°C .

Siltumpārejas koeficientu α_T un α_A skaitliskās vērtības ir atkarīgas no daudziem faktoriem, it īpaši no siltumapmaiņas procesa šķidruma (mūsu gadījumā gaisa) robežslānīti uz konstrukcijas iekšējās (α_T) un ārējās (α_A) virsmas, kuru savukārt nosaka gaisa kustīgums un virsmas forma (sk. 2.2.6. sadāļu).

Šo koeficientu skaitliskās vērtības parasti ir reglamentētas, piemēram, Vācijā pieņemts $\alpha_T = 8,14 \text{ W}/(\text{m}^2 \cdot \text{K})$ un $\alpha_A = 23,3 \text{ W}/(\text{m}^2 \cdot \text{K})$, ASV — $\alpha_T = 8,29 \text{ W}/(\text{m}^2 \cdot \text{K})$, bet α_A pieņem atkarībā no vēja ātruma šādu: ja vēja ātrums $v = 3,3 \text{ m/s}$, tad $\alpha_A = 22,7 \text{ W}/(\text{m}^2 \cdot \text{K})$; ja $v = 6,5 \text{ m/s}$, $\alpha_A = 34,1 \text{ W}/(\text{m}^2 \cdot \text{K})$.

Pašlaik Latvijā aprēķinos lietotās koeficientu α_T un α_A vērtības dotas 4.5. un 4.6. tabulā.

Telpas gaisa temperatūru izvēlas atbilstoši tās nozīmei. Tā, piemēram, t_T dzīvojamo ēku istabām pieņem $18 \dots 20^\circ\text{C}$, virtuvēm — 15°C , vannas istabām — 25°C , kāpņu telpām, tualetes telpām, gaitieniem, priekštelpām — 16°C .

Āra gaisa temperatūru t_A izvēlas atkarībā no ārējās norobežojošas konstrukcijas siltuma inerces raksturojuma (7. pielikums). Aprēķinot iekšējo norobežojošo konstrukciju nepieciešamo siltumpārejas pretestību, āra gaisa aprēķina temperatūras t_A vietā jālieto aukstākās telpas aprēķina temperatūra.

4.5. tabula
Siltumpārejas koeficienta α_T vērtības

Norobežošas konstrukcijas iekšējā virsma	α_T , W/(m ² · K)
Sienu, ģridas, gludu griestu virsma un ribotu griestu virsma, ja attiecība $h/a \leq 0,3$, kur h — ribu augstums, a — attālums starp ribām	8,7
Ribotu griestu virsma, ja attiecība $h/a > 0,3$	7,6
Griestu ar kesoniem virsma, ja attiecība $h/a > 0,3$, kur a — attālums starp kesonu malām, h — kesonu augstums	6,0

4.6. tabula
Siltumpārejas koeficienta α_A vērtības ziemas aptākjos

Norobežošas konstrukcijas ārējā virsma	α_A , W/(m ² · K)
Ārsienu virsma	23
Neapkuriņāmu pagrabu, ar āra gaisu saskarē esošu pārsegumu virsma	17
Bēniņu pārsegumu un neapkuriņāmu pagrabu, ar logiem pārsegumu virsma	12
Neapkuriņāmu pagrabu bez logiem pārsegumu virsma	6

Tātad, lai lietotu formulu (4.24), vispirms orientējoši jāpieliek, ar kādu siltuma inerces raksturojumu būs norobežošā konstrukcija (brīvs pieņēmums, ko aprēķina gaitā pārbauða). Ja celtniecības vieta, piemēram, ir Rīga, tad, pieņemot ārsienas siltuma inerces raksturojumu $D > 7$, tās siltumpārejas pretestībai jābūt ne mazākai par $R_{ON} = 18 + 20 = 38,0$ m²K/W.

$R_{ON} = \frac{18+20}{8,7 \cdot 6} = 0,73$ m²K/W.

Tālākos aprēķinus var veikt, kad ir izraudzīts ārsienas materiāls. Tā, piemēram, izvēlamies ķieģelju ($\rho = 1800$ kg/m³) sienu ar iekšējo un ārējo apmetumtu (attiecīgi 5 mm un 15 mm biezumā) no smilšu-kalķu jāvas ($\rho = 1800$ kg/m³).

Saskaņā ar formulu (4.6) izraksta vienādojumu, ar kura palīdzību nosaka ķieģelju mūra siltumpārejas pretestību R_{km} , m²K/W, pielīdzinot $R_0 = R_{ON}$, t.i., $R_{km} = R_{ON}$.

$R_{ON} = \frac{1}{\alpha_T} + \left(\frac{\delta}{\lambda_{apm}} \right)^{-1} + R_{km} + \frac{1}{\alpha_A}$. (4.25)

Izraksta no 3. pielikuma aprēķinā nepieciešamos materiālu siltumtehniskos parametrus. Lai to izdarītu, jāzina konstrukcijas ekspluatācijas apstākļi, 4. pielikumā atrod, ka, izvēloties dzīvojamā istabā normālu mitruma režīmu, telpas relatīvajam gaisa mitrumam jābūt 50...60%. 5. pielikumā atrod, ka telpām ar nominālu mitruma režīmu, ja ēka atrodas normālā klimatiskajā zonā (kā tas ir Rīgai 6. pielikumā), ārsienu materiālam siltumtehniskajos aprēķinos jāizvēlas siltumvadītspējas un

siltumapgoves koeficientu vērtības ekspluatācijas apstākļiem B.

Tad $R_{km} = \frac{0,1}{8,7} + \frac{0,005}{0,814} + R_{km} + \frac{0,015}{0,814} + \frac{1}{25} = 0,73$; $R_{km} = (0,73 - 0,18) = 0,55$ m²K/W.

Pārbauða sākuma pieņēmumu par konstrukcijas siltuma inerces raksturojumu:

$$D = R_{apm} S_{apm} + R_{km} S_{km} + R_{apm} S_{apm} = \\ = 0,0006 \cdot 9,75 + 0,55 \cdot 10,15 + 0,018 \cdot 9,75 = 5,76.$$

Ārsienas ir ar siltuma inerces raksturojumu $4 < D \leq 7$, tātad aprēķinos jālieto āra gaisa aprēķina temperatūra (7. pielikums)

$$t_A = \frac{-20 + (-25)}{2} = -22,5^{\circ}\text{C}.$$

Ar jauno t_A vērtību

$$R_{ON} = \frac{18+22,5}{8,7 \cdot 6} = 0,78 \text{ m}^2\text{K}/\text{W}.$$

Ķieģelju mūra minimālais biezums

$$\delta_{km} = (0,78 - 0,18) \cdot 0,814 = 0,49 \text{ m}.$$

Saskaņā ar noteikumiem par ķieģelju mūru biezumu pieņem, ka tas ir 2 ķieģelju biezumā, t.i., $\delta_{km} = 0,51$ m. Tad faktiskā siltumpārejas pretestība

$$R_0 = \frac{1}{\alpha_T} + \frac{\delta_{apm}}{\lambda_{apm}} + \frac{\delta_{km}}{\lambda_{km}} + \frac{1}{\alpha_A} = \\ = \frac{1}{8,7} + \frac{0,02}{0,814} + \frac{0,51}{0,814} + \frac{1}{23} = 0,81 \text{ m}^2\text{K}/\text{W}.$$

Tātad izpildīts nosacījums $R_0 \geq R_{ON}$.

Norobežošas konstrukcijas iekšējās virsmas pārbauðe saistīta ar iekšējās virsmas temperatūras t_T noteikšanu. Ja telpas temperatūra $t_T = 18^{\circ}\text{C}$, tad pēc formulas (4.10)

$$t_T = 18 - \frac{18+22,5}{0,81} = 0,115 = 12,3^{\circ}\text{C}.$$

Ar formulas (4.9) un 2.1. attēla parādītās diagrammas palīdzību nosaka $t_R = 10,5^{\circ}\text{C}$, ja $\varphi = 60\%$. Tātad $t_T > t_R$ un ir izslēgta tvaika kondensācija uz iekšējās virsmas.

4.14. ATSEVIŠKU TELPU SILTUMA ZUDUMU APRĒKINS

Telpas siltuma zudumus, kuras izmanto apkures sistēmas jaudas aprēķināšanai, atrod, sumējot visu norobežojošo konstrukciju siltuma zudumus.

Zinot visu norobežojošo konstrukciju siltumpārejas pretestības, var veikt siltuma zudumu aprēķinu.

Siltumapmaiņu caur norobežojošo konstrukciju starp apsilādām telpām un āra gaisu vai neapsildām telpām ievērotādā, ja temperatūru starpība norobežotās vidēs ir lielāka par $3\ldots 5^{\circ}\text{C}$.

Atsevišķu telpu siltuma zudumus aprekina pēc formulas (4.18) un rezultātus apkopo 4.7. tabulas veidā.

4.7. tabula

Siltuma zudumu aprēķins

Telpas Nr.	Telpas nosaukums un t_T , °C	Norobežošās konstrukcijas				k , W/(m²·K)	$(t_T - t_{AB})$, °C	Galvenie siltuma zudumi, W				Papildu siltuma zudumi
		apzīmējums	orientācija pēc debesīm pusam	skalīši un izmēri, m	vīrsmas laukums A, m²			9	10	11	12	
1	2	3	4	5	6	7	8	9	10	11	12	13

Katrai telpai, kurai aprēķina siltuma zudumus, piešķir kārtas numuru (sākot no Nr. 101, telpām pirmajā stāvā; sākot no Nr. 201, telpām otrajā stāvā utt.), ko ieraksta tabulas 1. ailē. Numerāciju izdara pa stāviem no kreisās uz labo pusī, sākot ar stūra istabu. Kāpņu telpas apzīmē ar burtiem vai romiešu cipariem un neatkarīgi no ēkas stāvu skaita tās uzskatāmas par vienu telpu. Rasejumā numuri jāieraksta aplīti telpas centrā.

2. ailē uzrāda telpas nosaukumu (dzīvojamā istaba, virtuve utt.) un telpas gaisa temperatūru. Telpām ar divām āra sienām (stūra, istabas) ieteicams Δ vērtību palielināt par 2°C vai siltuma zudumus palielināt par 5%.

3. ailē atzīmē norobežojošo konstrukciju, caur kuru aprēķina siltuma zudumus: AS — ārsiena, IS — iekšējā sienas, DL — logs ar dubultstiklojumu, VL — logs ar vienkārtas stiklojumu, BD — balkona durvis, VD — vienkāršas durvis, DD — dubultdurvis, GRD — grīda, GR — griesti.

durvis, GRD — grīda, GR — grieķi.
4. aile uzrāda norobežošas konstrukcijas orientāciju pēc debesipusiem (Z — ziemeļi, ZA — ziemeļaustrumi, DR — dienvidrietumi utt.).

5. ailē raksta norobežojošo konstrukciju izmērus, vadoties pēc mērišanas noteikumiem (sk. 4.8. sadaļu), kā arī vinentipa norobežojošo konstrukciju skaitu. Norobežojošo konstrukciju izmērus noapaļo ar precizitāti līdz 0,1 m.

6. ailē atzīmē norobežojošo konstrukciju virsmas laukumu A , m^2 , ar precizitāti līdz $0,1\ m^2$. Laukumu ārsienām, kurās ir logi un durvis, parasti pieraksta, neatņemot logu un durvju laukumus.

7. aile raksta siltumpārejas pretestību attiecīgai norobežojošai konstrukcijai. Logiem un durvīm tās vērtību samazina par ārsienas siltumpārejas koeficienta vērtību, jo caur ārsienu siltuma zudumi tiek aprēķināti, neatņemot logu un durvju laukumus (sk. norādījumu 6. ailei).

8. aile uzrāda aprēķina temperatūru starpību.
9. aile raksta galvenos siltuma zudumus, kurius iegūst, sa-reizinot 6., 7. un 8. ailes datus.

10., 11. un 12. aile raksta koeficientus η .
 13. aile uzrāda $1 + \Sigma \eta$.
 14. aile raksta norobežojošo konstrukciju kopējos siltuma
 līdzīgumus aprēķina sareizinot 9. un 13. ailes rezultātus.

Zudumus, kurus aprēķina, sareiziņot 9. un 13. ailes rezultatus. Siltuma zudumus ($300 \dots 400$ W robežas) no telpām, kurām nav ārsieni (priekštelpas, vannas istabas, sanitārie mezgli), nieskaita pie apsildāmo blakustelpu siltuma zudumiem.

Aprēķinot telpu siltuma zudumus, jaņem vērā arī siltuma plūsmas no tajās uztādītām elektroiekārtām, apgaismes keršeniem, siltiem caurulvadiem u. tml.

Dzīvojamām ēkām telpu siltuma zudumu aprēķinā ievēro tā saucamo sadzīves siltumu, kurš izdalās istabās un virtuvē. Saīnolūkā telpu siltuma zudumus samazina atkarībā no grīdas iaukuma liejuma.

APPENDIX

5. APKURE

Telpās, kurās uzturas cilvēki, to skaitā arī ražošanas telpās iebkurā gadalaikā jāuztur attiecīga gaisa temperatūra.

Ja āra gaisa temperatūra ir tik zema, ka nepietiek ar telpu mikroklimata uzturēšanas pasīvo elementu — ārējo norobežojošo konstrukciju siltumnoturību, jāieriko attiecīgas inženierisistēmas, kuras sauc par aktīvo elementu.

Visizplatitākā aktivā mikroklimata uzturēšanas inženierisstēma, ja sevišķi telpās, kurās uzturas cilvēki, ir apkure.

Apkurei jāatbalst šādām vispārīgām galvenajām prasībām:

- 1) sanitāri higiēniskām — nepieciešamā telpas gaisa temperatūra jāuztur, nepazeminot gaisa kvalitāti;
- 2) ekonomiskām — ierikošanas darbu (darbietilpības) un materiālu patēriņa (galvenokārt metalietilpības) izmaksām jābūt pēc iespējas zemām;
- 3) montāžas — jānodrošina industriālas montāžas metodes, izmantojot rūpnieciski izgatavotus unificētus mezglus;
- 4) būvniecības — sildķermēnu izvietojums jāparedz saskaņā ar celtnes plānojuma un konstruktīviem risinājumiem;
- 5) ekspluatācijas — jāievēro darbināšanas un remonta vienkāršība, mazs trokšņu līmenis un drošība;
- 6) estētiskām — jāiekļaujas telpas iekšējā interjera.

Apkures iekārtai jāatdod telpai tikai tik daudz siltuma, lai kompensiētu tās siltuma zudumus, un šai iekārtai jābūt spejigai reaģēt uz ārējo un iekšējo faktoru izmaiņu.

5.1. APKURES SISTĒMU VEIDI

Apkures sistēmas trīs galvenās sastāvdaļas: siltuma ģeneratori, sildķermenji, kas atdod siltumu telpas gaisam; caurules, vadi vai kanāli, pa kuriem siltumu no ģeneratora piegādā sildķermeniem. Atkarībā no minēto trīs sastāvdaļu izvietojuma izšķir vietējās un centrālās apkures sistēmas.

Ja visas trīs apkures sistēmas sastāvdaļas apvienotas vienā agregātā, piemēram, apkures krāsnī, tad to sauc par *vietējās apkures sistēmu*.

Centrālās apkures sistēmas var būt ļoti dažādas. Ir sistēmas, kurās uzstāda atsevišķos dzīvokļos vai nelielās mājās. Tās pa-

rasti sauc par *centrālapkures sistēmām*. Sistēmas, kurās no viena siltuma generatora (rajona katlu māja vai TES) apsilda rajonu vai veselu pilsētu, sauc par *centralizētās siltumapgādes sistēmām*. To darbības princips vienmēr ir vienāds, tomēr konstrukcijās var būt atšķirības, kuras nosaka sistēmu izmēri.

Atkarībā no siltumnesēja veida izšķir dūmgāzu, gaisa, ūdens, tvaika, elektriskās un gāzes apkures sistēmas.

Dūmigāzēs par siltumnesējū izmanto, piemēram, krāsns apkurē, bet centrālapkures un centralizētās apkures sistēmās ar tām silda siltumnesēju (ūdeni, tvaiku).

Gaisu par siltumnesēju parasti izmanto tikai vienas ēkas robežas. Tā pārvietošana pa kanāliem saistīta ar lielu energijas patēriņu, bet paši kanāli aizņem daudz vietas.

Ūdens ir visplašāk lietotais siltumnesējs. Izšķir ūdens apkures sistēmas ar dabisku (gravitācijas, spēku ietekmē) un piespiedu (ar sūknīem) cirkulāciju.

Tvaiku var daudz vieglāk pārvietot pa caurulēm, nekā ūdeni, un tvaikam nepieciešamo cauruļu diametri ir mazāki. Tomēr tvaiku apkurei lieto salīdzinoši maz — tikai atsevišķās rūpniecības un lauksaimniecības ēkās. Tas ir tāpēc, ka tvaika apkure ir grūti regulējama un nehigiēniska, jo tās sildķermenē virsmas temperatūra ir pārāk augsta un uz virsmas sadeg organiskas izceļsmes putekļi, izdalot kaitīgas gāzes.

5.1. tabulā salīdzināšanai doti gālveno siltumnesēju parametri, kad ūdens temperatūra apkures sistēmā pazeminās no 150°C līdz 70°C , gaisa sākotnējais spiediens ir $1,7 \text{ MPa}$ un gaisis atdziest no 60°C līdz 15°C . Elektrisko apkures sistēmu ekspluatācija pagaidām ir dārga, bet to izmantošana ir ļoti perspektīva. Tās ir higiēniskas, ļoti izbūvējamas un viegli regulējamas.

Apkures sistēmu siltumnesēju salīdzinājums

Parametrs	Siltumnesējs		
	ūdens	tvaiks	gaiss
Tēperatūru starpība, °C	80	130	45
Bļivums, kg/m³	917	1,5	1,03
Ipatnēja masas siltumneitilpība, kJ/(kg·K)	4,31	2175*	1,0
Apkures sistēmā izdalītais siltuma daudzums, kJ/m³	316 370	3263	46,4
Pārvietošanas ātrums apkures sistēmā, m/s	1,5	80	15
Caurulvadu šķersgriezuma laukumu attiecība	1	1,8	680

* Ipatnējais kondensācijas siltums, kJ/kg .

Gāzes apkuri lieto atsevišķās rūpnīcu un lauksaimniecības ēku telpās. Dzīvojamās un sabiedriskās ēkās to nav ieteicams izmantot sanitāri higiēnisku un drošības apsvērumu dēļ.

Gadījumos, kad mūsu rīcībā ir siltumnesējs ar tādiem parametriem, ka tā tiešu lietošanu neatļauja sanitāri higiēniskās prasības, rodas nepieciešamība izmanot tā saucamās kombinētās apkures sistēmas. Tās var būt šādas: tvaika-ūdens, tvaikagaisa, ūdens-ūdens, ūdens-gaisa, liesmu-gaisa un elektriskās gaisa sistēmas.

Lai novadītu siltumu no primārā siltumnesēja, kura parametri neapmierina (ir pārāk augsti) apkures sistēmām uzstādītās prasības, uz sekundāro siltumnesēju, kas nogādā siltumu apsildāmās telpās, lieto siltumapgādās aparātus vai speciālas maiņātieki kārtas ūdenim un spiediena pazemināšanas iekārtas tvaikam.

Bez jau aplūkotā iedalījuma ūdens un tvaika apkures sistēmas un atsevišķos gadījumos arī citas sistēmas atkarībā no siltumnesēja pārvadišanas veida, siltumnesēja padeves shēmas sildķermenī un citām specifiskām īpatnībām iegūst precīzākus nosaukumus. Daļa no tām apskatīta turpmāk.

Apkures sistēmas klasificē arī pēc siltumatdeves veida pārsvara sildķermenēs. Ja sildķermenis siltumu atdod pārsvarā ar konvekciju, tad tādu sistēmu sauc par *konvektīvu*, ja turpretī pārsvarā ir siltumatdeve starojuma veidā, tad to sauc par *starojuma sistēmu*.

Konvektīvās apkures sistēmas gadījumā telpas gaisa temperatūra vienmēr ir augstāka nekā telpas norobežojošo konstrukciju vidējā temperatūra. Ja turpretī sildķermenī (tādi var būt tikai plakani paneļi) lielāko daļu siltuma atdod starojuma veidā, tad gaisa temperatūra telpā ar attiecīgu paneļu izvietojumu un ventilāciju var būt zemāka nekā visu norobežojošo virsmu temperatūra un apkuri vajadzētu saukt par starojuma apkuri. Sāda kombinācija realizējas ne vienmēr, un tāpēc tādas apkures sistēmas, kurās sildķermenī ir plakani paneļi, pieņemts saukt par *staru paneļu apkures sistēmām*.

5.2. SILDKERMEŅI

Viens no apkures sistēmas pamatelementiem ir sildķermenis, kas ar siltumnesēja starpniecību pievada siltumu apkurināmajām telpām. Sildķermenim ir vistiešākā ietekme uz komforta apstākļiem telpā. Ar sildķermenī tipu un izvietojumu ir saistīti telpu plānojuma risinājumi un to interjers. Tāpēc attiecīgus sildķermenus izvēlas, nemot vērā to atbilstību siltumtehniskām, sanitāri higiēniskām, tehniski ekonomiskām prasībām un telpas interjeram.

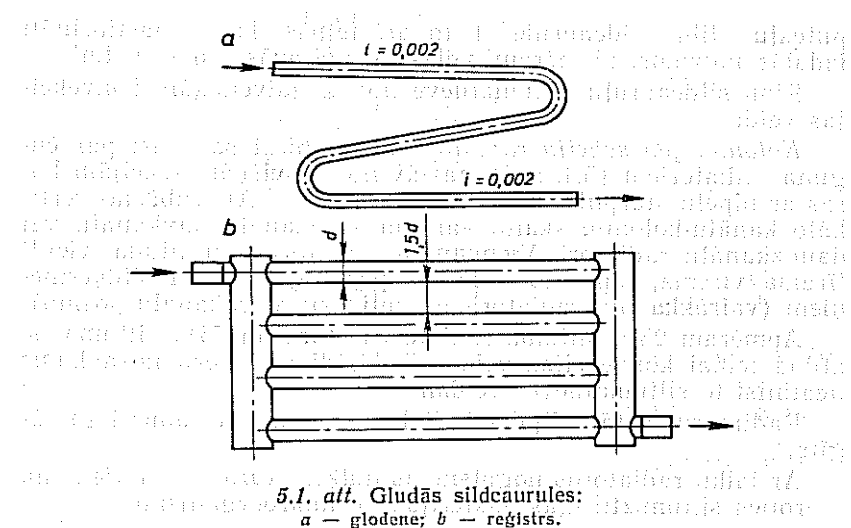
Sildķermenī siltumu telpai atdod starojuma un konvecijas veidā. Ja siltumu telpai pievada konvecijas veidā, sasilušais gaiss ceļas uz augšu un sasilda telpas augšējo daļu. Ja pārsvarā ir starojuma siltumatdeve, labāk sasilst telpas apakšējā zona un gaiss telpā sasilst vienmērigāk. Tātad priekšroka dodama sildķermeniem, kuri siltumu telpā izstaro.

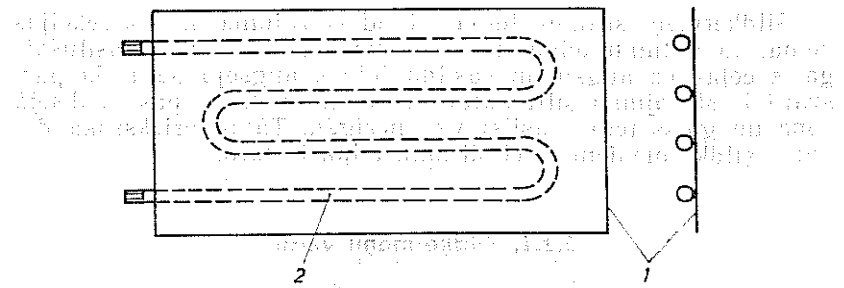
5.2.1. Sildķermenī veidi

Vienkāršākie centrālapkures sistēmās lietojamie sildķermenī ir no gludām caurulēm izlocītas (glodenes) vai režģu veidā sametinātas konstrukcijas (5.1. att.). Gludās sildcaurules ir viegli tirāmas, tāpēc tās uzstāda putekļainās rūpnīcu telpās (piemēram, kokapstrādes un pulešanas iecirkņos), siltumnīcās, oranžērijās, veikalū vitrīnās u. tml.

Gludām sildcaurulēm ir samērā liels siltumpārejas koeficients, kas samazinās, palielinoties cauruļu skaitam un diametram režģi. Šo sildķermenī galvenais trūkums ir relativi nelielā sildvirsmi. To var ievērojami palielināt, piemetinot caurules pie metāla plāksnes (5.2. att.) vai aprīkojot tās ar ribām.

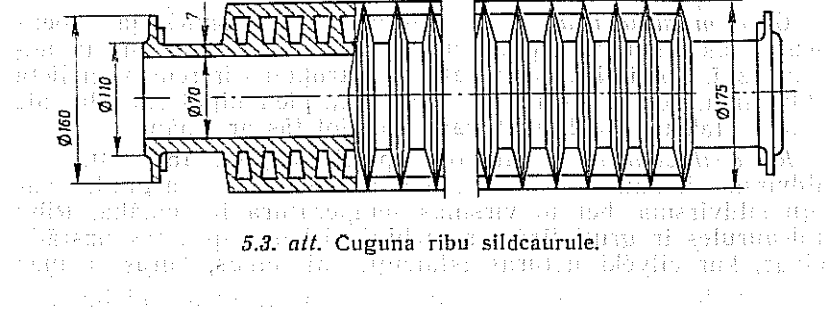
Ribu sildcaurules izgatavo no pelēkā čuguna (5.3. att.). To sildvirsmi ir daudz lielāka nekā tāda paša diametra gludu cauruļu sildvirsmi, bet to virsmas temperatūra ir zemāka. Ribu sildcaurules ir grūti tirāmas, nehigiēniskas, tāpēc tās uzstāda telpās, kur cilvēki uzturas īslaicīgi, vai telpās, kurās ir maz





5.2. att. Terauda vienloksnes paneļa tipo sildķermenis:
1 — terauda loksne; 2 — glodene.

līdzīgi kā vairumam sildķermenim, tā ir ļoti uzticīgs un ātri ievainoties. Lai gan tās īstenojums ir ļoti viegli, tās ir ļoti daudzām māju iestādēm nepieciešams ātri veikt sildķermeniņu remonta darbi.



5.3. att. Cuguna ribu sildcaurule, kura ir iestādēs ļoti plaši izmantojama.

Ribu sildcaurules lieto arī telpās, kurās pastiprināti izdalās mitrums, piemēram, vejas mazgātavās, pirtis u.tml.

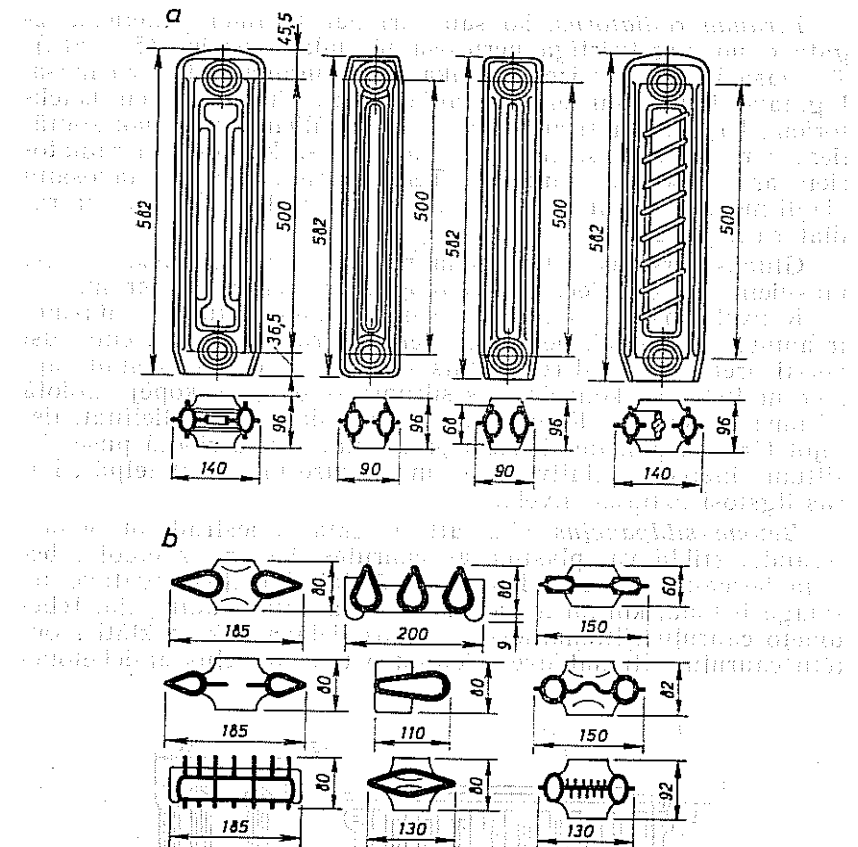
Ribu sildcauruļu siltumatdeve notiek galvenokārt konvekcijs veidā.

Kolonnu jeb *sekciju radiatori*, kurus bieži sauc arī par čuguna radiatoriem (5.4. att.), sastāv no atsevišķām sekcijām, kurās ar nipeļu starpniecību samontē baterijās. Atkarībā no vertikālo kanālu-kolonnu skaita var būt vienkanāla, divkanālu vai daudzkanālu radiatori. Vienkanāla radiatoriem ir gluda, viegli tīrāma virsma, tāpēc tos uzskata par higiēniiskiem sildķermeniem (vairākkanālu radiatoriem grūti tīrīt starpkanālu posmu).

Apmēram 25% siltuma radiatori izstaro un 75% siltuma tie atdod telpai konvekcijas veidā. Tādējādi radiatoru nosaukums neatbilst to siltumatdeves veidam.

Radiatoru metāletilpība ir liela un montāža samērā sarežģīta.

Ar laiku radiatoros nogulsnējas duļķes, kurās bieži vien sāk vairoties siltumizturīgas baktērijas un mikroorganismi.



5.4. att. Daži visplašāk lietojamo čuguna sekciju radiatori:
a — sānskatī ar attiecīgām šķērsgrizezumiem; b — dažādi radiatoru kolonnu šķērsgrizezuma varianti.

Radiatorus radija 19. gadsimtā, un joprojām tie ir vieni no visizplatītākajiem sildķermeniem gan dzīvojamās un sabiedriskās ēkās, gan arī rūpniecības ēkās.

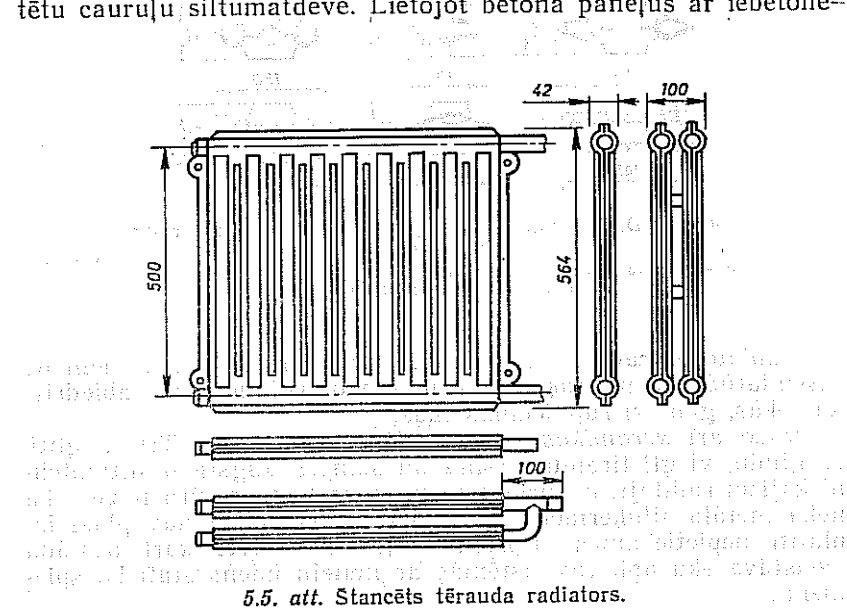
Ražo arī *keramikas* un *porcelāna radiatorus*. Tie ir gludi, ar gludu, viegli tīrāmu virsmu un samērā augstiņiem siltumtehniskajiem rādītājiem, turklāt to virsma temperatūra ir zemāka nekā metāla sildķermeniem. Tomēr šie radiatori nav plaši izplatīti nepietiekamās stipribas dēļ. Tos galvenokārt uzstāda vienstāva ēku apkures sistēmās ar nelielu ūdens statisko spiedienu.

Tērauda radiatorus, ko sauc arī par tērauda paneļiem, izgatavo no augstvērtīga nerūsošā tērauda loksnēm (5.5. att.). To masa ir 4...6 reizes mazāka nekā čuguna radiatoriņu masa. Izgatavo divu veidu tērauda radiatorus: ar horizontāliem kolektoriem, kas savienoti ar vertikāliem kanāliem, un ar horizontāliem, virknē savienotiem kanāliem. Priekšroka dodama radiatoriņu ar vertikāliem kanāliem. Tērauda radiatoru izgatavošanu viegli mehanizēt, un to montāža ir vienkāršāka nekā čuguna radiatoru montāža.

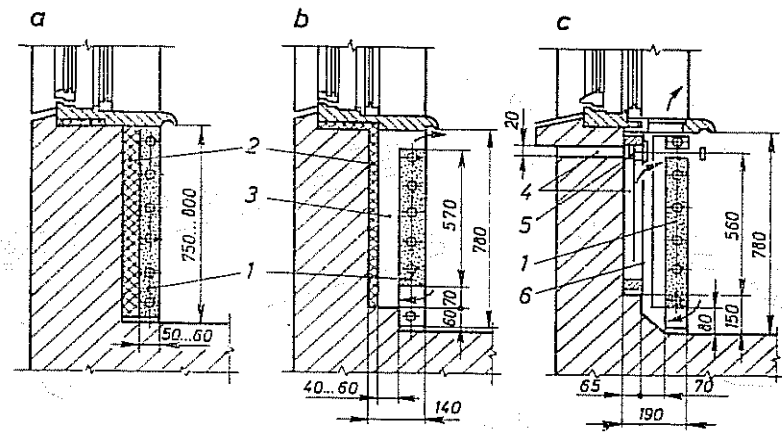
Gludās virsmas dēļ tērauda radiatori ir higieniski, atbilst mūsdienu ēku celtniecības tehnoloģijai un telpu interjeram.

Konvekcijas un starošanas veidā atdotie siltuma daudzumi ir apmēram vienādi, bet, tā kā tērauda radiatori ar vienu pusē vērsti pret sienu, tad izstarotais siltuma daudzums sastāda apmēram 40%, bet konvektīvais siltums — 60% no kopējā atdotā siltuma daudzuma. Konvektīvā siltuma daļu var palielināt, lietojot tērauda paneļus, kuriem pret sienu vērsta ribotā puse. To siltuma inerce ir relatīvi liela, un tos visērtāk lietot telpās, kur rās ilgstoši uzturas cilvēki.

Betona sildpaneļus (5.6. att.) izgatavo, iestrādājot betonā tērauda, stikla vai plastmasas caurules, kā arī izveidojot betonā bezcaurulīgajās ūdens cirkulācijai. Paneļus izgatavo nosmagā betona, kuram ir pietiekami liela siltumvadīspēja. Iebetonēto cauruļu siltumatdeve ir daudz lielāka nekā atklāti montētu cauruļu siltumatdeve. Lietojot betona paneļus ar iebetonē-



5.5. att. Stancets tērauda radiators.



5.6. att. Betona sildpaneļi:

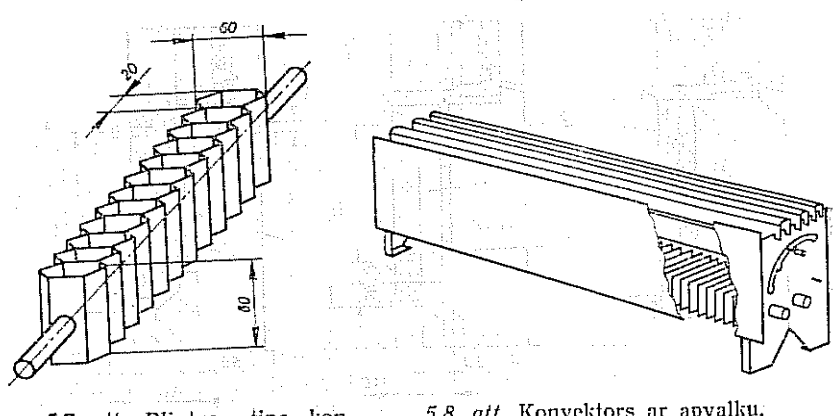
a — ar vienpusēju siltumatdevi; b — ar divpusēju siltumatdevi; c — ar divpusēju siltumatdevi un kanālu āreja gaisa padevi; 1 — sildpaneļis; 2 — konvekcijas kanāls; 3 — siltumizolācija; 4 — pieplādes gaisa kanāls; 5 — aizvars; 6 — metāla ekrāns.

līdzīgi, ja tās ir iebūvētas sienās, tādējādi atvēsinot telpu. Betona sildpaneļi atbilst visaugstākajām arhitektūras, būvniecības un sanitāri higiēniskajām prasībām!

So sildķermēnu galvenais trūkums ir sarežģītais remonts gadījumā, ja rodas ūdens noplūde, tāpēc ēku apkures sistēmas betona sildpaneļi nav plaši izplatīti.

Konvektori — sildķermēni, kas gandrīz visu siltumu atdod konvekcijas veidā. Tos izgatavo no neliela diametra metāla caurulītēm, uz kurām uzpresēts ribojums no tērauda plāksnītēm. Caur sasilušo ribojumu, kuru silda pa caurulītēm plūstošais siltumnesējs, veidojas konvektīvā gaisa plūsma, kuras ātrumam pieaugot palielinās konvektora siltumatdeve. Konvektorus klasificē atkarībā no konstruktīvā veidojuma, kura mērķis ir optimālas konvektīvās plūsmas organizēšana.

Vienkāršākais ir plintusa tipa konvektors (5.7. att.). Ribu forma veido slēgtus kanālus 20 mm platumā un 80...90 mm augstumā. Tādus kanālus viegli iztīrīt no putekļiem, un ribu forma dara tos pietiekoti noturīgus. Ja šādus konvektorus uzstāda vairākās rindās, tad starp tiem ierīko diagonālas starpstienas, lai nodrošinātu apakšējā elementā sasilušā gaisa novākšanu.



5.7. att. Plintusa tipa konvektors.

5.8. att. Konvektors ar apvalku.

dišanu telpā un augšejam elementam tiktu pievadīts vēl nesa- silušais telpas gaisss. Ja šāds sildķermenis aprīkots ar gaisa vārstu, tā siltumatdevi var samazināt līdz 50%.

Plintusa tipa konvektorus cenšas novietot virknē gar ārejās sienas grīdlisti, ko celtniecībā sauc par plintusu. No šejienes arī cēlies konvektora nosaukums. Atšķirībā no plintusa tipa konvektoriem, kuriem ribojuma forma veido it kā apvalku, kas nodrošina gaisa plūsmas daļai caurplūdi caur ribu veidotu kanālu, kurā siltumatdevi ir intensīvāka, pilnīgāki ir konvektori ar apvalku. Šādu konvektoru ribojums veidots no plāksnītēm, turklāt attālums starp tām ir mazāks: mainās no 5 mm līdz 10 mm. Lai nodrošinātu konvektīvo gaisa plūsmu starp šādā attālumā novietotām plāksnītēm, noteikti jābūt apvalkam (5.8. att.). Apvalka lomu var pildīt arī kanāls. Ja nav organizēta pietiekoši intensīva gaisa plūsma, siltumatdevi var samazināties divas reizes. Apvalka augšējā daļa ievietots kustīgs vārsts, kas lauj regulēt konvektora siltumatdevi plašā robežās:

Gaisa ātrums, m/s	0,2	0,5	1,0	2,0
Relatīvā siltumatdevi,	100	57	40	270

Konvektori var būt izgatavoti arī no krāsinajiem metāliem. Tādiem konvektoriem ir labas siltumtehniskās un ekspluatācijas īpašības. Rūpniecībā ražo arī plintusa tipa čuguna konvektorus ar vienu siltumesēju kanālu. Salīdzinājumā ar čuguna radiatoriem tiem ir mazāks metāla patēriņš un to izmaksas samazinātas par 10...20%.

Atkarībā no uzstādīšanas veida ir konvektori, kurus piestiprina pie sienas, un tādi konvektori, kas balstās uz grīdas.

Dažreiz konvektorus aprīko ar speciāliem beztroska ventilatoriem, kuri nodrošina intensīvu gaisa plūsmu caur ribotajām caurulēm un ievērojamī paaugstina konvektora siltumatdevi. Laižot caur šādiem konvektoriem aukstu ūdeni, sistēmu var izmantot arī telpu atvēsināšanai.

Konvektoriem ir nelieli gabarīti, tos var ērti izvietot arī zem lieliem logiem ar zemām palodzēm.

Ribojuma dēļ konvektoru virsma ir samērā grūti tīrāma (praktiski tikai ar putekļu sūcēju), tāpēc tie nav visai higiēniski. Konvektorus neiesaka uzstādīt telpās ar paaugstinātām sanitāri higiēniskajām prasībām (slimnīcas, bērnū iestādes).

5.2.2. Sildķermēnu izvēle un izvietošana

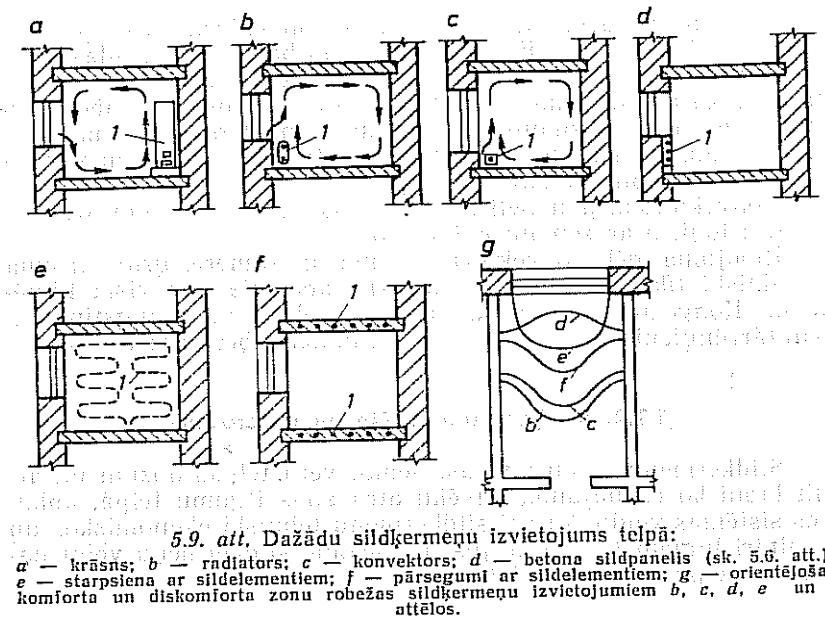
Sildķermēnu veidu izvēlas, nemot vērā telpas nozīmi un arhitektonisko risinājumu, cilvēku atrašanās ilgumu telpā, apkures sistēmas veidu, kā arī sildķermēnu tehniski ekonomiskos un sanitāri higiēniskos rādītājus. Ieteicamie sildķermēnu veidi dažādām telpām aplūkoti 5.2. tabulā.

5.2. tabula

Dažādām telpām ieteicamie sildķermēnu veidi

Sildķermēnu virsmas maksimālā temperatūra, °C	Telpu nosaukums	Ieteicamie sildķermēni
95	Dzīvojamā un administratīvo ēku telpas	Radiatori, konvektori, sildpaneļi
85	Bērnu iestāžu, slimnīcu, dzemdību namu telpas	Radiatori, sildpaneļi
95	Muzeju, gleznu galeriju, lasītavu, grāmatu glabātavu telpas	Radiatori, sildpaneļi
130	Ražošanas telpas: bez putekļu izdalījumiem	Radiatori, konvektori, sildpaneļi, ribu sildcaurules
110	ar putekļu izdalījumiem	Radiatori, sildpaneļi, gludās sildcaurules
95	Rūpniecības paligtelpas	Radiatori, konvektori, sildpaneļi, ribu sildcaurules, gludās sildcaurules

Sildķermēnu tips un izvietojums jāizvēlas, nemot vērā tiem uzstādītās prasības un vadoties pēc telpas plānojuma, tehnoloģiskā procesa un siltumtehniskā režima (5.9. att.).



5.9. att. Dažādu sildķermeņu izvietojums telpā:
a — krāsns; b — radiators; c — konvektors; d — betona sildpanelis (sk. 5.6. att.);
e — starpsiena ar sildēlementiem; f — pārsegumi ar sildēlementiem; g — orientējošas
attēlos.

Stiklotas ārējās norobežojošās konstrukcijas veicina telpas gaisa intensīvu atdzīšanu.

Sildķermeņi jāizvieto telpas apakšējā daļā gar ārējām norobežojošām konstrukcijām, turklāt vēlamis novietot zem logu ailām (5.9. att. b, c un d).

Sildķermeņi sasildītā, augšupvērstā gaisa plūsma darbojas pretē lejupvērstai atdzisušā gaisa plūsmai, kura ir galvenais diskomferta izraisītājs, ja tā sasniedz grīdas līmeni. Dienvidu rajonos arī siltām ziemām un vidējās joslās, ja telpā parādzama īslaicīga cilvēku uzturēšanās vai arī darba vietas neatrodas ārējo konstrukciju tuvumā, pielaujams uzstādīt sildķermeņus pie iekšējām sienām.

Jo zemāks un garāks sildķermenis, jo telpas gaisa temperatūra un tātad arī darba zonas apsilde ir vienmērigāka (5.9. attēla g orientējoši parādītas komforta zonas robežas atkarībā no sildķermeņu izvietojuma). Sildķermeņus atkarībā no tipa novieto cieši vai zināmā attālumā no būvkonstrukcijām, kā arī speciālās nišās zem logiem. Daudzstāvu ēku kāpņu telpās sildķermeņus vēlamis koncentrēt apakšējā daļā blakus ieejas durvīm.

Nav vēlamis sildķermeniem priekšā novietot mēbeles, kas palielina siltumatdevi un tiršanas iespējas.

Sildķermeņu aprēķina galarezultātā nosaka to skaitu un lielumu, vadoties no nepieciešamās sildķermeņu sildvirsmas, kurai

jākompensē telpas siltuma zudumi. Sildvirsmas laukums atkarīgs no izraudzītā sildķermeņa veida, to izvietojuma telpā un cauruļvadu pievienošanas shēmas. Tāpēc precīzu sildķermeņu sildvirsmas laukumu aprēķina tikai pēc cauruļvadu hidrauliskā aprēķina, kad ir zināms cauruļvadu sildvirsmas laukums telpā.

Nepieciešamo sildķermeņu siltumatdevi Q_{sk} , W, aprēķina pēc šādas formulas:

$$Q_{sk} = Q_T - Q_{cv}, \text{ (5.1)}$$

kur Q_T — telpas siltuma zudumi, W;

Q_{cv} — cauruļvadu siltumatdevi, W.

Aprēķināto radiatoru sekciju vai tipveida elementu (konvektoru sekciju, riboto cauruļu) skaitu noapaļo līdz veselam skaitlim, turklāt aprēķināto sildvirsmas laukumu noapaļojot nav vēlamis samazināt vairāk par 5%. Šī iemesla dēļ faktiskais sildķermeņa sildvirsmas laukums parasti ir nedaudz lielāks par aprēķināto.

Bez aprēķinā ievērotiem faktoriem (ieviešot attiecīgus koeficientus) — sekciju skaita vienā radiatorā, ūdens atdzīšanas pakāpes cauruļvados atkarībā no apkures sistēmas veida, sildķermeņa uzstādišanas veida, siltumnesēja pievadišanas shēmas un relatīvā patēriņa — sildķermeņiem ar gludu virsmu siltumatdevi ietekmē arī virsmas krāsa. Ir krāsas, kas paaugstina siltuma izstarošanas spēju, un arī tādas krāsas, kas to pazeminā. Tā, piemēram, ar cinka balto krāsu nokrāsota čuguna radiatora siltumatdevi telpā palielinās par 2,2%, bet nitrolakā atšķaidīta aluminijs pulvera krāsa pazeminā siltumatdevi par 8,5%. Krāsa praktiski neiespējido ribu sildcauruļu un konvektoru siltumatdevi.

Sildķermeņi jānovieto pēc iespējas tuvāk grīdai (minimālais attālums 60 mm). Ja attālums starp sildķermenī un grīdu ir pārāk liels, tad virs grīdas izveidojas vēsā gaisa slānis, jo siltā gaisa plūsma praktiski izbeidzas sildķermeņa līmenī, nesasniedzot telpas apakšējo zonu.

Telpās, kurās griestu augstums ir lielāks par 6 m, $\frac{1}{3}$ sildķermeņu vēlamis novietot telpas augšējā zonā. Ja šādā telpā uzstāda konvektorus, tad tos novieto tikai apakšējā zonā, jo konvektori rada spēcīgu vertikālu siltā gaisa plūsmu.

Kāpņu telpās sildķermeņus uzstāda apakšējā zonā netālu no ieejas durvīm. Daudzstāvu ēkas kāpņu telpu apsildei izmanto recirkulācijas gaisa sildītājus, kurus veido no kaloriferiem, radiatoriem vai apvalkā iebūvētām ribu sildcaurulēm. Dažreiz sildķermeņus uzstāda nišās vai aizklāj ar dekoratīvām nosedzēm. Ja tas ir nepieciešams, nosedzes konstrukcija jāizveido tāda, lai siltuma starojuma samazināšanos kompensiētu konvektīvās siltumatdeves palielināšanās. Tā, piemēram, vertikāls vairogs ar spraugām, kurš uzstādīts radiatora priekšā, samazina radiatora siltuma starojumu, bet vienlaikus palielina

konvektīvo gaisa plūsmu caur spraugām; un tā rezultātā radītora siltummatdeve nemainās.
Sildķermenī jāzvieto tā, lai varētu veikt to apskati, tirīšanu, remontu un, lai tie netraucētu kustību un tehnoloģisko procesu.

5.2.3. Sildķermēju siltumatdeves regulēšana

Sildkermēnu sildvirsmas laukumu nosaka atbilstoši apkures aprēķina temperatūrai. Apkures sezonas laikā āra gaisa temperatūra svārstās ap šo aprēķina temperatūru (piemēram, Rīgai apkures aprēķina temperatūra ir -20°C). Tāpēc, ekspluatējot apkures sistēmu, paredz sildkermēnu siltumatdeves regulēšanu.

Kvalitatīvo regulēšanu ūdens apkures sistēmās izdāra, mai-
not siltumnesēja temperatūru atbilstoši āra gaisa temperatūras

Kvantitatīvo regulēšanu veic, mainot caur sildķermeniem plūstošā siltumnesēja daudzumu. Tvaika apkures sistēmai kvantitatīvo regulēšanu veic centralizēti, padodot tvaiku sistēmā periodiski, kā arī regulēšanu veic individuāli, mainot ar ventiliem tvaika daudzumu, kas plūst caur sildķermeniem.

Udens apkures sistēmu siltumatdevi regulē individuāli, mai-
not siltumnesēja caurplūdi caur sildķermeniem ar dubultregule-
jamiem pagriežņiem.

Sildkermenē siltumatdeves regulēšanu var samēra viegli automatizēt. Individuālai sildkermenē regulēšanai, ir izstrādāti dažādi automātiskie regulatori, kuri atkarībā no telpas temperatūras maina caur sildkermeniem plūstošā ūdens daudzumu. Siltumatdeves individuālā automātiskā regulešana ieverojami ekonomē apkures vajadzībām nepieciešamo siltuma energiju, kā arī uzlabo telpu siltuma režīmu.

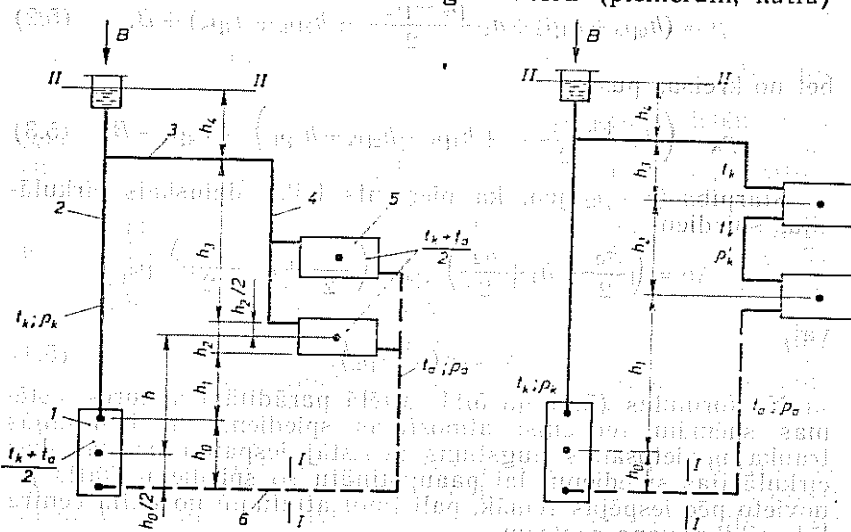
5.3. ŪDENS APKURES SISTĒMAS

5.3.1. Ūdens apkures sistēmu darbības princips

Sildot ūdeni, no tā izdalās skābeklis un ogļskābā gāze. Ja šīs gāzes neizdalītos atmosfērā caur kolbas valējo galu, tad tās aizpildītu kolbas augšējo daļu un veidotu tā saucamu gaisa korki, kas traucētu ūdens cirkulāciju; ja kolba būtu no tērauda, tad ievidotos dzelzstāksīds — rūsa, kas samazinātu šķērsgriezuma laukumu un arī sieniņu biezumu, saistībā notiekārtas kalpošanas laiku. Kolba ar ūdeni ir apkures sistēmas prototips, jo tāmējā kopumā visos dzelzceļos iemējoties

spīra lampiņa atbilst siltuma ģeneratoram; kolbas gredzenveida daļa kā cirkulācijas nodrošinātāja atbilst cauruļu sistēmai, bet kā siltumatdevēja apkārtējai videi — sildķermenim; kolbas augšējā daļa, kas kompensē ūdens izplešanos sasilstot un novada izdalītās gāzes atmosfērā, atbilst izplešanās traukam vai tverinei.

5.11. attēlā parādītas dabiskās cirkulācijas ūdens apkures sistēmu shēmas. Ūdens siltuma ģeneratorā (piemēram, katlā)



5.11. att. Dabiskās cirkulācijas ūdens apkures sistēmu shēmas:
 a — divcaurulū; b — viencaurulēs.

sasilst no temperatūras t_a līdz temperatūrai t_k , bet sildķermenī tas atdziest līdz temperatūrai t_a . Atdzisūšais ūdens, kas atrodas ar svītrliniju parādītajās caurulēs, ir smagāks, un, slīdot uz leju, tas izspiež karsto (vieglāko) ūdeni no siltuma ģeneratora (tāpat kā piemēra ar kolbu). Gravitācijas spēku iespāidā rodas dabiskā cirkulācija: ūdens izplūst no siltuma ģeneratora I pa cauruļvadu 2 , kuru sauc par galveno stāvvadu; pēc tam tas plūst pa cauruļvadu 3 , kuru sauc par turpgaitas magistrāli, un pa stāvvadiem 4 (caurules, pie kurām pievieno sildķermeņus, sauc par stāvvadiem; tie var būt arī horizontāli) ieplūst sildķermenī 5 un izplūst no tā; tālāk pa cauruļvadu 6 , kuru sauc par atpakaļgaitas magistrāli, ūdens atgriežas katlā. Sādu ūdens plūsmas noieto ceļu apkures sistēmu aprēķinos sauc par cirkulācijas cilpu.

Pieņemsim, ka sistēmas cauruļvadi ir labi izolēti un ūdens, pārvietojoties no katla uz sildķermeniem, neatdziest. Sādā gadījumā var uzskaitīt, ka ūdens temperatūra un blīvums (tilpummasa) mainās tikai sistēmas divos punktos — katlā un sildķermenī, turklāt to geometriskos centros. Ar praktiskām vajadzībām pietiekošu precizitāti vidējo temperatūru katlā un sildķermenī pieņem vienādu ar aritmētisko vidējo vērtību no karstā un aukstā ūdens temperatūrām: $t_{\text{vid}} = (t_k + t_a)/2$ un atiecīgi blīvums $\rho_{\text{vid}} = (\rho_k + \rho_a)/2$ (5.11. att. a).

Spiediens caurules šķērsgriezumā I—I no labās puses ir

$$p_t = (h_0 \rho_a + h_1 \rho_a + h_2 \frac{\rho_k - \rho_a}{2} + h_3 \rho_k + h_4 \rho_k) + B, \quad (5.2)$$

bet no kreisās puses

$$p_k = \left(h_0 \frac{\rho_k - \rho_a}{2} + h_1 \rho_k + h_2 \rho_k + h_3 \rho_k \right) + h_4 \rho_k + B. \quad (5.3)$$

Starpība $p_t - p_k$ jeb, kā pieņemts teikt, dabiskais cirkulācijas spiediens

$$\Delta p = \left(\frac{h_0}{2} + h_1 + \frac{h_2}{2} \right) \rho_a - \left(\frac{h_0}{2} + h_1 + \frac{h_2}{2} \right) \rho_b$$

var

$$\Delta n \equiv h(\rho_a - \rho_b), \quad (5.4)$$

No formulas (5.4) un 5.11. attēlā parādītām apkures sistēmas shēmām redzams: atmosfēras spiediens un izplešanās trauka novietošanas augstums neatstāj iespaidu uz dabiskās cirkulācijas spiedienu; lai paaugstinātu šo spiedienu, katls jānovieto pēc iespejas zemāk, palielinot attālumu no katla centra līdz sildkermena centram.

Izrisinot formulu (5.4), bija izdarīts pienēmums, ka ūdens sistēmā atdziest tikai sildkermenī. Īstenībā tas atdziest arī

sistēmas cauruļvados. Kopējais dabiskā spiediena lielums cirkulācijas cilpā, ievērojot šo atdzišanu cauruļvados, ir

$$\Sigma \Delta p = h(\rho_a - \rho_k) + \Delta p_c, \quad (5.5)$$

kur Δp_e — papildu dabiskais spiediens, kas rodas, ūdenim atdziestot cauruļvados.

Sistēmās, kurās turpgaitas un atpakaļgaitas magistrāles novietotas vienā līmenī, ūdens atdzišana turpgaitas stāvvados (karstajos) samazina dabisko spiedienu, bet tā atdzišana atpakaļgaitas stāvvados (vēsajos) paaugstina šo spiedienu. Tā kā spiediena paaugstināšanās ir apmēram vienāda ar tā pazemīnāšanos, tad sistēmās ar apakšējo sadali ūdens atdzišanu cauruļvados nenem vērā.

Acīmredzot dabiskais spiediens cirkulācijas cīlpā caur otrā stāvu sildkermeni ir

$$\Delta p_2 = \Delta p_1 + h_2 (\rho_a - \rho_k), \quad (5.6)$$

kur Δp_1 — dabiskais spiediens cilpā caur pirmā stāva sildkermenī;

h₂ — attālums no pirmā stāva sildķermēja centra līdz otrā stāva sildķermēja centram.

Dabiskais spiediens cirkulācijas cilpā caur trešā stāva sildķermenī ir

$$\Delta p_3 = \Delta p_2 + h_3(\rho_a - \rho_k), \quad (5.7)$$

kur Δp_2 — dabiskais spiediens cilpā caur otrā stāva sildķermenī;

— attālums no otrā stāva sildķermēja centra līdz trešā stāva sildķermēja centram.

Sādas apkures sistēmas sauc par divcauruļu sistēmām, jo ikvienam šādas sistēmas sildķermenim pievienota viena caurule, pa kuru ieplūst karstais ūdens ar sākuma temperatūru, un otra caurule, kura novada siltumu atdevušo ūdeni.

Citāda aina ir shēmās, kurās katrā nākamajā sildķermenī ieplūst iepriekšējā sildķermenī daļēji atdzisušais ūdens. Tā, piemēram, 5.11. attēlā *b* parādītajā divstāvu ēkas apkures sistēmā dabiskās cirkulācijas spiediens ir

$$p'_2 = h_1(\rho_a - \rho_k) + h_2(\rho'_{ik} - \rho_{ik}), \quad (5.8)$$

Sādas sistēmas sauc par viencaurules sistēmām, jo aprēķina cirkulācijas cilpai caurplūstošais ūdens daudzums nemainās.

Salīdzinot formulas (5.4) — (5.8), var izdarīt slēdzienu, ka dabiskais spiediens cirkulācijas cilpā caur otrā stāvu sildķermeni viencaurules sistēmās ir mazāks nekā divcauruļu sistēmās un ievērojami lielāks nekā spiediens cirkulācijas cilpā caur divcauruļu sistēmas pirmā stāvu sildķermeni. Divstāvu ēku sistēmām $\Delta p_> > \Delta p'_> > \Delta p_<$.

5.3. tabula

Ūdens apkures sistēmu klasifikācija

Klasifikācijas pazīmes	Sistēmas galvenās pazīmes	Sistēmas nosaukums
Ūdens cirkulācijas ierosme	Gravitācijas spiediena ietekmē	Dabiskās cirkulācijas
	Sūkņa vai elevatorka ietekmē	Piespiedu cirkulācijas
Cauruļvadu un sildķermeņu savienojuma shēma	Sildķermeņi savienoti virknē	Viencaurules
	Sildķermeņi savienoti paralelē	Divcauruļvadu
Sildķermeņus savienojošo cauruļvadu stāvoklis	Vertikāls stāvoklis	Vertikālā
	Horizontāls stāvoklis	Horizontālā
Māģistrālo cauruļvadu izvietojums	Turpgaitas māģistrāle novietota augstāk, bet atpakaļgaitas māģistrāle — zemāk nekā sildķermeņi	Ar augšējo sadali
	Turpgaitas un atpakaļgaitas māģistrāles atrodas zemāk nekā sildķermeņi	Ar apakšējo sadali
	Turpgaitas māģistrāle novietota zemāk, bet atpakaļgaitas māģistrāle — augstāk nekā sildķermeņi	Pretējās cirkulācijas
Cirkulējošā ūdens virzieni turpgaitas un atpakaļgaitas māģistrāles	Turpgaitas un atpakaļgaitas vados ir pretplūsma	Strupceļa
	Turpgaitas un atpakaļgaitas māģistrālēs ir līdzplūsma	Līdzgaitas
	Sildķermeņa divās daļas ir Bifilārā (divplūsmu)	(divplūsmu)

Ūdens temperatūra ir cieši saistīta ar sildķermeņu virsmas temperatūru, kura visbiežāk ir reglamentējošais faktors. Dzīvojamās telpās parasti lieto zemas un vidējas temperatūras ūdens apkures sistēmas ar ūdens temperatūras kritumu sildķermeņos 10...35 °C. Divcauruļvadu sistēmās siltumnesēja temperatūra ir 95 °C, viencaurules sistēmās — 105 °C (5.4. tabula).

Cauruļvadu sistēma var būt izveidota pēc divcauruļvadu vai viencaurules shēmas ar augšējo vai apakšējo sadali, t. i.,

Lai noteiktu blīvumu p'_k (5.11. att. b), aprēķina temperatūru t'_k pēc formulas

$$t'_k = t_k - \frac{Q_{sk2}}{Q_{sk1} + Q_{sk2}} (t_k - t_a), \quad (5.9)$$

bet daudzstāvu ēkas viencaurules apkures sistēmās ūdens temperatūru jebkurā stāvvada punktā x var aprēķināt pēc formulas

$$t_x = t_k - \frac{Q_{sk1} + Q_{sk2} + \dots + Q_{skn}}{Q_{sk}} (t_k - t_a), \quad (5.10)$$

kur $Q_{sk1} + Q_{sk2} + \dots + Q_{skn}$ — sildķermeņu, kas pievienoti virs punkta x , siltumslodze, W;

Q_{sk} — visu sildķermeņu, kas pievienoti dotajam stāvvadam, siltumslodze, W;

t_k — stāvvadā izplūstošā karstā ūdens temperatūra, °C;

t_a — no stāvvada izplūstošā atdzisušā ūdens temperatūra, °C.

Iemontējot atpakaļgaitas māģistrālē sūknī, nodrošina piespiedu cirkulāciju, kuras intensitāte praktiski nav atkarīga no sildķermeņu izvietojuma un ūdens temperatūru starpības.

5.3.2. Ūdens apkures sistēmu klasifikācija un shēmas

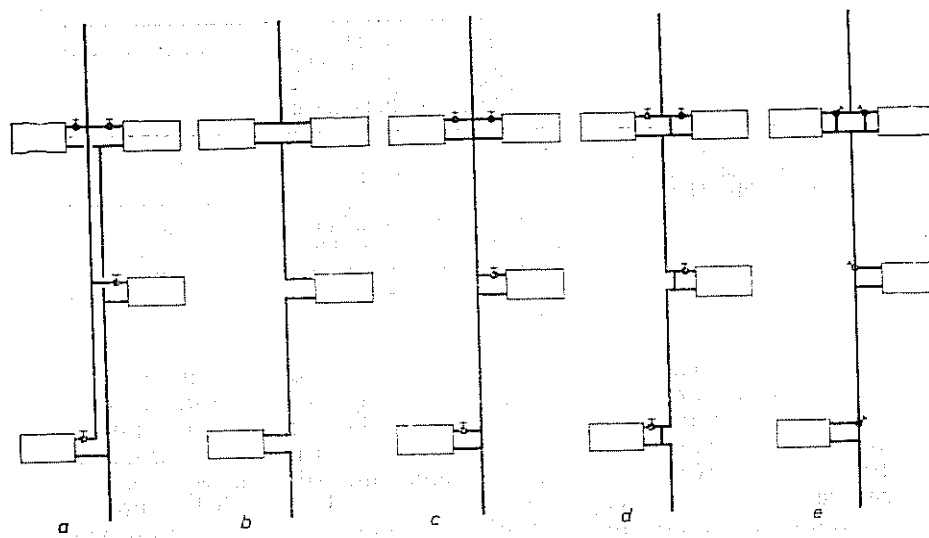
Iepazīstoties ar ūdens apkures sistēmu darbības principu, redzējām, ka ūdens apkures sistēmas var būt, pirmkārt, ar dabisko vai piespiedu cirkulāciju, otrkārt, viencaurules un divcauruļvadu, treškārt, tika pieminēts, ka ir sistēmas ar augšējo un ar apakšējo sadali. Šis iedalījums jāpāpildina, jo vēl var būt, ceturtkārt, vertikālās un horizontālās sistēmas, piektkārt, strupceļa un līdzgaitas sistēmas un, sestkārt, sistēmas ar parasto un pretējo ūdens cirkulācijas virzienu (5.3. tabula).

Pirms apskatīsim konstruktīvās atšķirības starp uzskaitītajām apkures sistēmām, jāatzīmē, ka sistēmas var būt atklātas, kas atrodas zem atmosfēras spiediena, piemēram, cauri izplešanās tvertnes ūdens virsmu, un slēgtas, kurās siltumnesējs (ūdens, tvaiks) var būt zem spiediena. Palielinot spiedienu, par augstinās ūdens vārišanās punkta temperatūru. Tas dod iespēju lietot daudz augstākas temperatūras, neveidojoties tvaikam. Sistēmu iedalījums kategorijās pēc ūdens temperatūras var būt dažāds (regionāls). Vispār ūdens apkures sistēmas var iedalīt šādi: zemas temperatūras sistēmas, kas darbojas temperatūrā līdz 100 °C un spiedienā 101,3 kPa (normālā atmosfēras spiedienā); vidējas temperatūras sistēmas, kas darbojas temperatūrā no 100 °C līdz 120 °C un spiedienā 200 kPa; augstas temperatūras sistēmas, kas darbojas temperatūrā virs 120 °C, atsevišķos gadījumos spiedienā līdz 790 kPa un 170 °C temperatūrā.

Rekomendējamie siltumnesēja parametri

5.4. tabula

Celtnes tips	Siltumnesēja temperatūra, °C	
	turpgaitas maģistrāle	atpakaļgaitas maģistrāle
Bērnudārzi, mazbērnu novietnes, slimnīcas, dzemdību nami un citas ārstniecības iestādes	85	65
Dzīvojamās, administratīvās un mācību iestāžu ēkas, rūpniecības uzņēmumu telpas un palīgtelpas, poliklinikas, sanatorijas, aptiekas, muzeji, arhīvi, bibliotekas	95; 105	70
Sabiedriskās ēkas (teātri, kinoteātri, izstāžu zāles, koncertzāles utt.), sporta zāles, slēgtie stadioni	115	70
Ražošanas telpas, kurās tehnoloģiskais process saistīts ar ugunsdrošu, nespārstošu, organisku vai indīgu vielu iztaicēšanu	Līdz 130	70
Peldbaseini, kāpņu telpas; tirdzniecības telpas, komūnālie un sabiedriskie uzņēmumi, sabiedriskās ēdiņnāšanas uzņēmumi, stacijas, lidošas, rūpniecības uzņēmumi ar siltuma un mitruma izdalījumiem, ar nespārstošu un nedegošu putekļu, nedegošu vai degšanu neuzturošu gāzu un putekļu izdalījumiem	Līdz 150	70



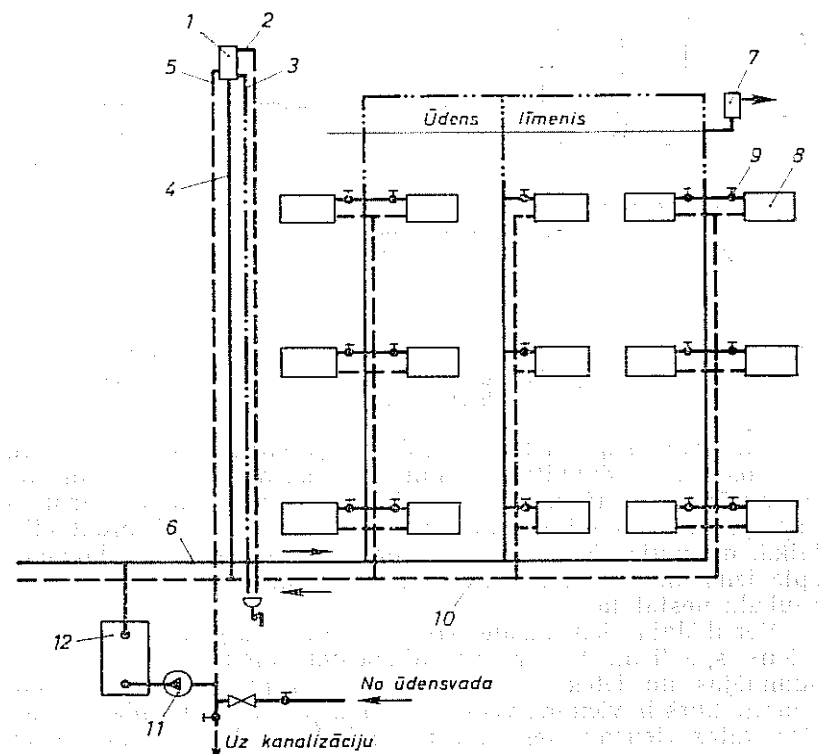
5.12. att. Sildķermeņu pievienošana stāvvadam.

atkārībā no sadalošās turpgaitas maģistrāles izvietojuma. Iespējamie varianti parādīti attiecigos zīmējumos.

Divecauruļu sistēmā sildķermeņus pievieno stāvvadam tā, kā parādīts 5.12. attēlā a, bet viencaurules sistēmā —, kā parādīts 5.12. attēlā b—e.

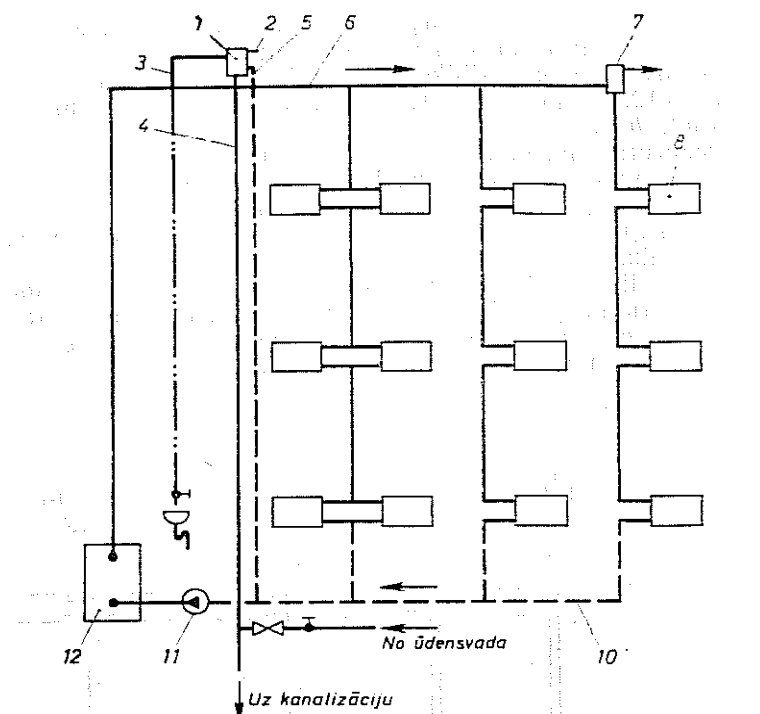
Divecauruļu sistēmas visos sildķermeņos ieplūst karstais ūdens ar sākuma temperatūru, bet viencaurules sistēmā ūdens temperatūra augšējos stāvos ir augstāka nekā apakšējos stāvos.

Divecauruļu sistēma ar apakšējo sadali (5.13. att.) ir hidrauliski stabilāka, toties sarežģītāka ir tās atgaisošana. Neatkarīgi no slēmas divecauruļu sistēmā rodas papildu dabiskais ūdens spiediens cirkulācijas cilpās caur sildķermeniem, kuri uzstādīti dažādos stāvos. Šī iemesla dēļ augšējo stāvu sildķermeņos cirkulē vairāk siltumnesēja kā nepieciešams.



5.13. att. Divecauruļu ūdens apkures sistēma ar piespedu cirkulāciju un apakšējo sadali:

1 — izplešanās tvertne; 2, 3, 4, 5 — izplešanās tvertnes pārpiludes, signāla, savienojosā un cirkulācijas caurule; 6 — turpgaitas maģistrāle; 7 — gaisa savācējs; 8 — sildķermeņis; 9 — krāns; 10 — atpakaļgaitas maģistrāle; 11 — sūknis; 12 — katlis.

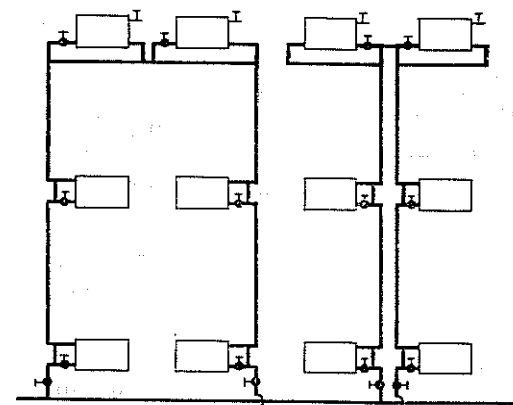


5.14. att. Neregulējama vertikāla viencaurules ūdens apkures sistēma ar augšējo sadali un piespiedu cirkulāciju (sk. eksplikāciju 5.13. att.).

Lai divcauruļu sistēmā sildķermeņi siltu vienmērīgi, slēgposmos paredz dubultiestādāmus krānus, ar kuriem regulē siltumnesēja caurplūdi. Apkures sistēmu regulēšana ir darbietilpīgs process un pilnībā neatrisina problēmu, jo ekspluatācijas laikā, mainoties ūdens temperatūrai, mainās papildu dabiskais spiediens un caurplūstošā ūdens daudzums — sistēma ir hidrauliski nestabila.

Vertikālajā viencaurules sistēmā (5.14. att.) papildu dabiskie ūdens spiedieni, kas rodas, atdziestot ūdenim sildķermeņos, summējas un ieteiknē stāvvadām cauri plūstošā ūdens daudzumu, kurš ir vienāds visos stāvvada posmos un sildķermeņos. Vertikālās viencaurules sistēmas ir hidrauliski stabīlas, un nav nepieciešama to regulēšana montāžas laikā.

Bez tam viencaurules sistēmām ir šādas priekšrocības: mazāks cauruļu patēriņš, iespēja pilnīgāk unificēt atsevišķus mezglus un detaļas, mehanizēt to izgatavošanu un industrializēt sistēmu montāžu.



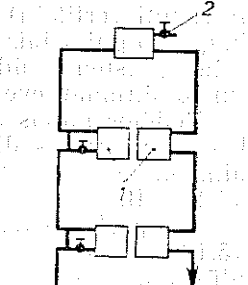
5.15. att. Vertikāla viencaurules ūdens apkures sistēma ar apakšējo sadali.

Vertikālās viencaurules sistēmas ar augšējo sadali (5.14 att.) lieto daudzstāvu ēkās, kurās ir 4—9 vai vairāk stāvu.

Neregulējamas viencaurules caurplūdes sistēmas (sk. 5.12. att. b) lieto ēkās, kuru atsevišķās telpās nav nepieciešama individuāla temperatūras regulēšana.

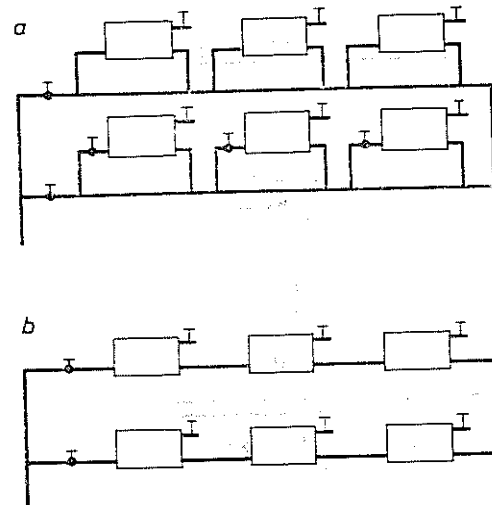
Ja temperatūra jāregulē individuāli, tad katram sildķermeņim pieriko krānu. Var lietot caurplūdes (sk. 5.12. att. c, d) vai trīscelu (sk. 5.12. att. e) krānus. Slēgposms, pa kuriem karstais ūdens regulējamā viencaurules sistēmā virzās garām sildķermeņiem, novieto centrāli (sk. 5.12. att. c) vai nobīdītus no centra (sk. 5.12. att. d). Stāvvadi ar centrāli novietotiem slēgposmiem ir vieglāk samontējami. Attiecība starp ūdens daudzumu, kas izplūst caur sildķermenī, un ūdens daudzumu, kurš plūst pa stāvvadu, ir lielāka, ja slēgposms nobīdīts no centra; tātad nobīdīti slēgposmi jauj nedaudz samazināt sildķermeņu gabarītus.

Vertikālās viencaurules sistēmas ar apakšējo sadali sāka plaši lietot sakarā ar masveida bezbēniņu ēku celtniecību. Lai samazinātu cauruļu pārtēriju, stāvvadus apakšējās sadales sistēmas ieriko, kā parādīts 5.15. attēlā, t. i., sāk ar apakšējo sadali un beidz ar augšējo sadali. Sajās sistēmās gan turpgaitas, gan arī atpakaļgaitas maģistrāles novieto pagrabā.



5.16. att. Vertikāla viencaurules divplūsmu ūdens apkures sistēma ar apakšējo sadali:

- 1 — sildķermenī;
- 2 — atgalošanas krāns;
- 3 — turpgaitas maģistrāle;
- 4 — atpakaļgaitas maģistrāle.

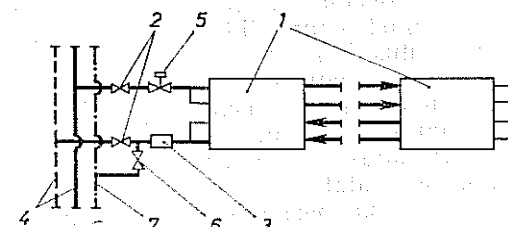


5.17. att. Horizontālās viencaurules sistēmas shēma:
a — ar slēgposmiem un caurplūdes krāniem;
b — neregulējama sistēma.

duāli, lieto horizontālās sistēmas, kurās stāvvadi novietoti horizontāli (5.17. att.). Horizontālās sistēmas izmanto arī tad, ja augšējo stāvu izbūve vēl nav pabeigta, bet jāapsilda ēkas apakšējie stāvi. Salīdzinājumā ar vertikālajām sistēmām (stāvvadi novietoti vertikāli) horizontālajām sistēmām ir sarežģītāka apkopalpe, jo gaišs jāizvada no katras sildķermeneņa. Bez tam horizontālajās sistēmās ūdens caur sildķermeneņiem plūst nevienmērīgāk un to siltumatdeve ir mazāka.

Pēdējos gados daudzstāvu ēku apkurei sāk lietot horizontālās viencaurules divplūsmu sistēmas (5.18. att.).

Strupceļa sistēmā (5.19. att. a) ūdens plūsmai, kas virzās caur stāvvadiem, kuri novietoti tālāk no siltuma ģeneratora, jānojiet garāks ceļš un tātad jāpārvērt lielāka cauruļu hidrauliskā pretestība nekā ūdens plūsmai, kas virzās caur stāvvadiem, kuri



5.18. att. Horizontālās viencaurules divplūsmu ūdens apkures sistēmas nozarojums ar siltum-atdeves regulēšanu pa stāviem:

1 — sildķermene; 2 — noslēgšanas krāns; 3 — termoregulators; 4 — divcauruļu stāvvads; 5 — regulēšanas krāns; 6 — sistēmas iztukšošanas krāns; 7 — drenāžas cauruļvads.

(5.15. att.). Gaisu no sistēmas ar apakšējo sadali izvada caur augšējā stāva sildķermeneņiem. Tas apgrūtina sistēmas apkalpošanu un ir būtisks trūkums.

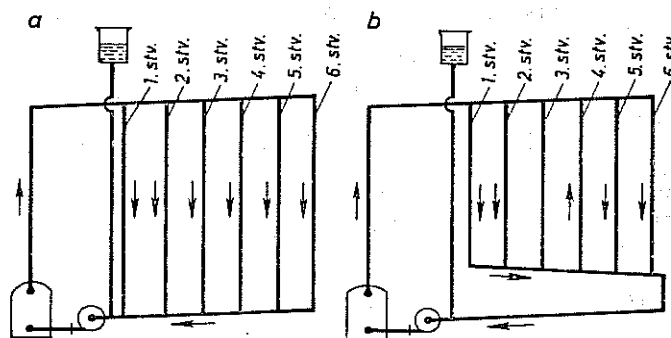
Sāda veida stāvvadus dažreiz ieriko pēc divplūsmu (bifilārās) sistēmas (5.16. att.), kurā katrs telpas sildķermenis sadalīts divās daļās: kreisajā pusē cirkulē turpgaitas ūdens, labajā pusē — atpakaļgaitas ūdens. Tad visos sildķermeneņos ieplūstošā siltumnesēja vidēja temperatūra ir vienāda.

Atsevišķos gadījumos, kad nepieciešams temperatūru atsevišķos stāvos regulēt individuāli, lieto horizontālās sistēmas, kurās stāvvadi novietoti horizontāli (5.17. att.). Horizontālās sistēmas izmanto arī tad, ja augšējo stāvu izbūve vēl nav pabeigta, bet jāapsilda ēkas apakšējie stāvi. Salīdzinājumā ar vertikālajām sistēmām (stāvvadi novietoti vertikāli) horizontālajām sistēmām ir sarežģītāka apkopalpe, jo gaišs jāizvada no katras sildķermeneņa. Bez tam horizontālajās sistēmās ūdens caur sildķermeneņiem plūst nevienmērīgāk un to siltumatdeve ir mazāka.

Pēdējos gados daudzstāvu ēku apkurei sāk lietot horizontālās viencaurules divplūsmu sistēmas (5.18. att.).

Strupceļa sistēmā (5.19. att. a) ūdens plūsmai, kas virzās caur stāvvadiem, kuri novietoti tālāk no siltuma ģeneratora, jānojiet garāks ceļš un tātad jāpārvērt lielāka cauruļu hidrauliskā pretestība nekā ūdens plūsmai, kas virzās caur stāvvadiem, kuri

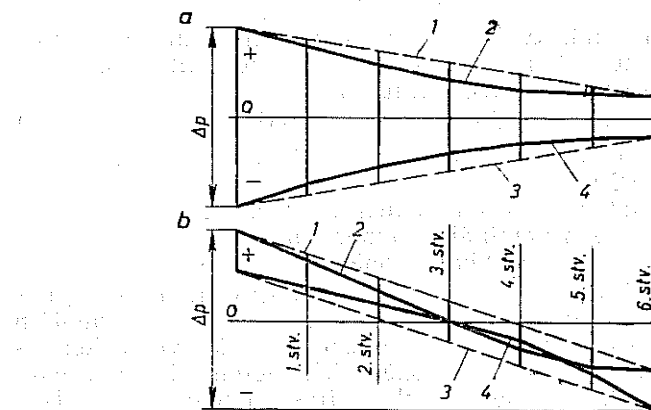
1 — sildķermene; 2 — noslēgšanas krāns; 3 — termoregulators; 4 — divcauruļu stāvvads; 5 — regulēšanas krāns; 6 — sistēmas iztukšošanas krāns; 7 — drenāžas cauruļvads.



5.19. att. Pies piedu cirkulācijas ūdens apkures sistēmas shēmas:
a — strupceļa; b — līdzgaitas.

afrodas tuvāk siltuma ģeneratoram. Lai izlīdzinātu ūdens caurplūdi, tālāk novietoto stāvvadu diametriem jābūt lielākiem.

Līdzgaitas sistēmā (5.19. att. b) ūdens plūsmas noīetais ceļš līdz visiem stāvvadiem ir vienāds un cauruļu diametrus var pieņemt vienādus. Tas samazina metāla patēriņu un atvieglo sistēmas regulēšanu.



5.20. att. Apkures sistēmas pjezometriskais grafiks:

a — strupceļa sistēmai; b — līdzgaitas sistēmai;
1 — teorētiskais spiediens turpgaitas maģistrālē; 2 — faktiliskais spiediens turpgaitas maģistrālē; 3 — teorētiskais spiediens atpakaļgaitas maģistrālē; 4 — faktiliskais spiediens atpakaļgaitas maģistrālē; Δp — cirkulācijas sūkņa spiedienu starpība; 7 —

Līdzgaitas sistēmām piemīt būtisks trūkums: iespējama pre-tēja virziena ūdens cirkulācija atsevišķos stāvvados. Lai iz-skaidrotu šo parādību, 5.20. attēlā parādīti spiediena jeb pjezo-metriskie grafiki strupceļa un līdzgaitas sistēmām. Ūdens pa-stāvvadiem no turpgaitas maģistrāles uz atpakaļgaitas maģis-trāli virzās spiedienu starpības dēļ šajās maģistrālēs stāvvadu pievienojuma vietās. Ideāla gadījumā katram maģistrālēs pos-mam varētu izvēlēties noteiktu diametru ar tādu aprēķinu, lai spiediena zudums berzes dēļ (Pa uz 1 m) būtu vienāds visā maģistrālēs garumā; spiediena grafiks šādai sistēmai būtu taisne (svitlinijs 5.20. attēlā a). Praktiski to realizēt nav iespējams, jo cauruļu diametri ir standartizēti. Tādēļ spiediena grafiks turpgaitas maģistrālei ir uz leju izliekta, bet atpakaļgaitas maģistrālei — uz augšu izliekta lauzta līnija. Šāda faktiskā spiediena izmaiņa strupceļa sistēmas darbību netraucē. Līdzgaitas sistēmā turpgaitas un atpakaļgaitas maģistrāļu spie-dienu grafiki var krusoties; tas nozīmē, ka atsevišķos stāvvadu cirkulācijas vispār nebūs (3. stāvvadā) vai tā būs vērsta pretējā virzienā — ūdens plūdis no atpakaļgaitas maģistrālēs turpgaitas maģistrālē (4. stāvvadā), kā tas parādīts 5.19. attēlā b.

Līdzgaitas sistēmu vēlams lietot tikai tad, ja strupceļa sis-tēmu no standartizētām caurulēm nevar izveidot.

5.3.3. Valējās un slēgtās izplešanās tvernes

Parasti izplešanās tvertne ir apaļš vai tašnstūrains metāla trauks (5.21. att.), kura nepieciešamo derīgo tilpumu V , l, (16. pielikums) aprēķina pēc formulas

$$V = 0,0006(95 - 20)V_{sist} = 0,045V_{sist}, \quad (5.11)$$

kur 0,0006 — vidējais ūdens termiskās izplešanās koeficients, $1/K$;

95 — ūdens maksimālā temperatūra, $^{\circ}C$;

20 — ūdens nominālā temperatūra, $^{\circ}C$;

V_{sist} — apkures sistēmas kopējais tilpums, l.

Apkures sistēmas atsevišķu elementu aptuveni tilpumi (litrs uz 1 kW sistēmas jaudas) ir šādi: radiatoriem — 9, ribotām sildcaurulēm — 6, betona sildpaneļiem — 2, konvektoriem — 0,5, apkures katliem — 3, dabiskās cirkulācijas sistēmas cauruļvadiem — 14, piespiedu cirkulācijas sistēmas cauruļvadiem — 7 l/kW.

Ēkas ar iebūvētu katlu māju pārplūdes un signalizācijas vadī jāpievieno izlietnei, kas atrodas katlu mājā, lai kurinā-tājs varētu kontrolierēt ūdens daudzumu apkures sistēmā un pēc vajadzības to papildināt.

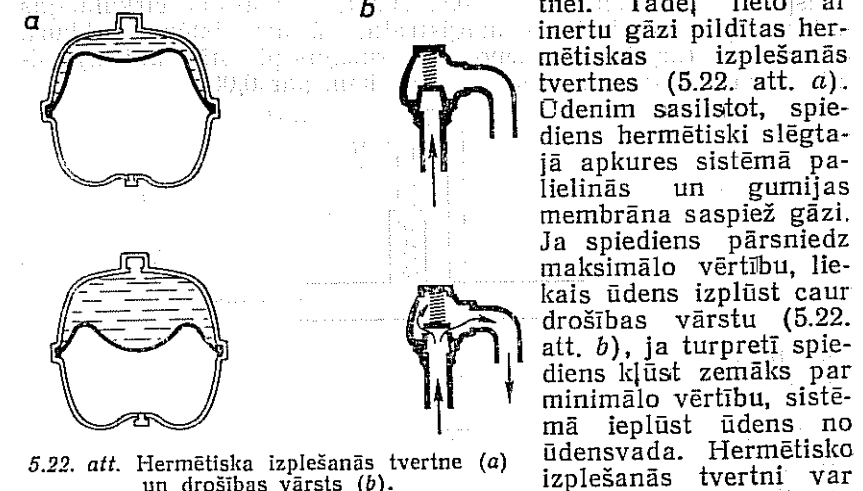
Centralizētas siltumapgādes sistēmās, kad viena katlu māja apkalpo vairākas ēkas, izplešanās tvertni uzstāda visaugstā-

kajā ēkā, bet pārplūdes vadu pievieno pie kanalizācijas. Signalizācijas vada vietā uzstāda elek-trisko līmenrādi, kas ne-pieciešamības gadījumā noraida skaņas vai gaismas signālu uz katlu māju.

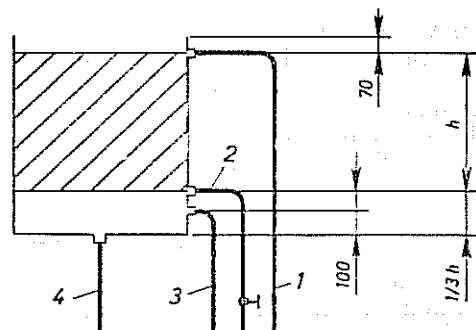
Izplešanās tvertni dabiskās cirkulācijas sistēmās ar augšējo sa-dali pievieno pie galvenā stāvvada, sistēmās ar apakšējo sadali — pie jebkura turpgaitas maģistrāles punkta tā, lai cauruļvadu posmā starp tvertni un apkures katlu nebūtu noslēdzos armatūras. Apakšējās sadales piespiedu cirkulācijas sistēmās izplešanās tvertni pievieno pie atpakaļgaitas maģistrāles tiesī pirms cirkulācijas sūkņa.

Izplešanās tvertni novieto bēniņos vai kāpņu telpā. Lai tā neaizsaltu, to izolē un ar cirkulācijas vada starpniecību pie-vieno pie atpakaļgaitas maģistrāles ne tuvāk par 2 m no iz-plešanās vada pievienojuma vietas.

Modernajās dzīvojamās ēkās bez bēniņiem grūti atrast vietu izplešanās tvertnei. Tādēļ lietojot ar inertu gāzi pildītas her-mētiskas izplešanās tvertnes (5.22. att. a).



5.22. att. Hermētiska izplešanās tvertne (a) un drošības vārsti (b).



5.21. att. Izplešanās tvertne:
1 — pārplūdes vads; 2 — signalizācijas vads;
3 — cirkulācijas vads; 4 — pievienojums pie apkures sistēmas (izplešanās vads). Iesvitrotais laukums — tvertnes derīgais tilpums.

pievienot jebkuram sistēmas punktam. Parasti to pievieno atpakalgaitas māģistrālei katlu telpas robežās.

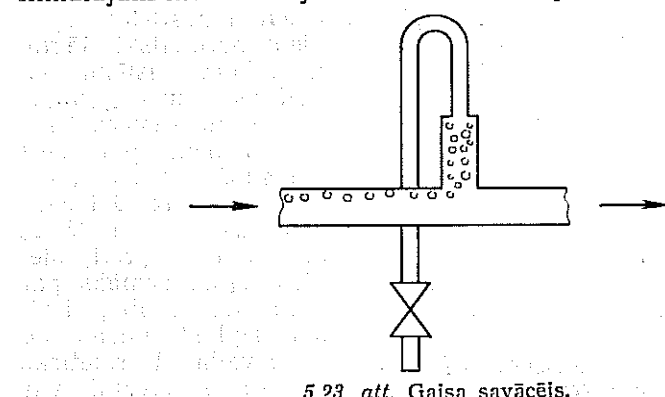
Ja apkures sistēmas jauda ir lielāka par 5 GW, tad izplešanās tvertnes neieriko, bet katlu mājā uzstāda sūkni cirkulējošā ūdens daudzuma automātiskai papildināšanai atkarībā no tā spiediena sistēmā.

5.3.4. Apkures sistēmu afgaisošana

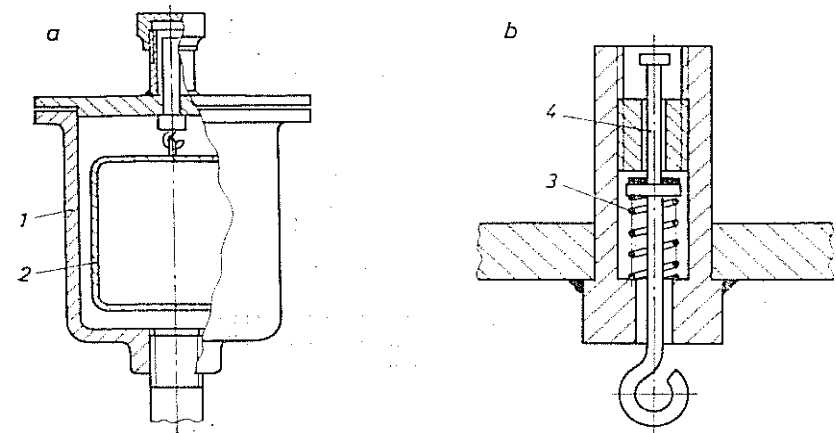
Ūdens satur nelielu daudzumu gaisa un citu gāzi. Gaisa daudzums ir atkarīgs no ūdens temperatūras un spiediena. 1 kg ūdensvada ūdens $+5^{\circ}\text{C}$ temperatūrā satur apmēram 30 mg gaisa, bet $+95^{\circ}\text{C}$ temperatūrā — tikai 3 mg. Ūdenī esošais gaiss sekmē pastiprinātu cauruļvadu koroziju un traucē ūdens cirkulāciju cauruļvados. Lai atgaisotu centrālapkures sistēmu, jāievēro vairāki noteikumi: cauruļvadi jāmontē ar kritumu, augstākajos cauruļvadu punktos jāuzstāda gaisa savācēji, sistēmās ar apakšējo sadali augstāko stāvu sildķermenī jāapriko ar atgaisošanas krāniem vai jāieriko atgaisošanas līnijas.

Ūdens apkures sistēmās horizontālos cauruļvadus montē ar kritumu, kas nodrošina sistēmas atgaisošanu, kā arī cauruļvadu iztukšošanu pašteces veidā. Sistēmās ar augšējo sadali magistrāles ieriko ar kritumu, kas vērsts pretēji ūdens plūsmai. Sistēmās ar apakšējo sadali turpgaitas un atpakalgaitas magistrāles vienmēr ieriko ar kritumu siltuma mezgla virzienā.

Ieteicamais maģistrāļu kritums ūdens apkures sistēmām ar piespedu cirkulāciju ir 0,002...0,005. Dabiskās cirkulācijas ūdens apkures sistēmās maģistrāļu, kā arī sistēmu jebkuru slēgposmu (ar tiem pievieno sildķermēnus pie stāvvadiem) minijmālajam kritumam jābūt ne mazākam par 0,005.



5.23. att. Gaisa savācējs.

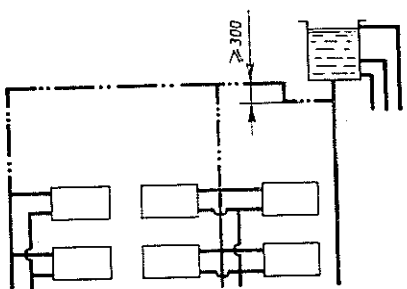


5.24. att. Gaisa aizvadītājs:
 a — kopskats; b — atspervārsts; 1 — korpus; 2 — plūdīš; 3 — atspere; 4 — sprauga gaisa izvadīšanai.

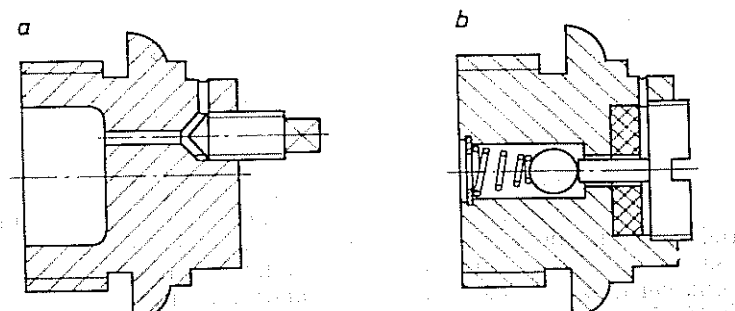
Dabiskās cirkulācijas sistēmās gaisa burbuliši var virzīties ūdens kustībai pretejā virzienā, jo ūdens kustības ātrums ir neliels (nepārsniedz 0,2 m/s). Pies piedu cirkulācijas sistēmās gaisa burbuliši var virzīties tikai ūdens kustības virzienā; tas jāņem vērā, izvēloties cauruļvadu krituma virzienū. Pies piedu cirkulācijas sistēmās, arī augšējās sadales gadījumā gaisu caur izplešanās trauku izvadīt nevar, tādēļ katras turpgaitas magistrāles galā jāuzstāda gaisa savācējs (5.23. att.). No savācēja gaisu periodiski izlaiž, atverot krānu, vai automātiski caur speciālu gaisa aizvadītāju, kas izlaiž atmosfērā gaisu, bet nešauj izplūst ūdenim. Parastās konstrukcijas gaisa aizvadītājs (5.24. att.) normāli darbojas, ja ūdens spiediens nav mazāks par 3 kPa, tādēļ gaisa aizvadītājam jāatrodas vismaz 0,8 m zemāk par izplešanās trauka dibenu.

Sistēmās ar apakšējo sadali gaisa izvadišanai gar augstāva griestiem novieto cauruli (diametrs 15 mm), kurai pievieno stāvvadus (5.25. att.). Šo sistēmas atgaisošanas cauruli ievada galvenajā stāvvadā. Lai pa atgaisošanas cauruli nerastos neparedzēta ūdens cirkulācija, pirms tas ievadišanas stāvvadā veido cīlpu.

Atgaisošanas caurule bojā telpu interjēru, un dažkārt to konstruktīvi nav iespējams ierīkot. Tādēļ bieži gaisu no augstāstāva katras sildķermenei izvada caur atgaisošanas aizgriezni. 5.26. attēlā *a* parādīta biežāk lietojamā atgaisošanas aizgriežņa konstrukcija. To ieskrūvē radiatoria baterijas augšejā aizgriežņa vietā un atver ar speciālu atslēgu (lai to nevarētu



5.25. att. Sistēmas atgaisošanas caurules pievienošana galvenajam stāvvadam.



5.26. att. Sildķermēju atgaisošanas aizgriežņi:
a — parastās konstrukcijas; b — automātiskais.

atvērt nejauši). Šādu atgaisotāju apkalošana ir ļoti neērta, jo kopā ar gaisu vienmēr izteks arī daļa ūdens.

Ertāk ir uzstādīt automātiskus atgaisošanas aizgriežņus (5.26. att. b). Tājtos ievietots speciāls, ūdenī ātri briestošs kartons; ja pie korķa sakrājies gaisss, tad kartons izķūst un izlaiž gaisu caur spraugu, bet jau pirms ūdens piliens kartonu samitrina, tas sabriest un sprauga aizveras.

5.3.5. Ūdens apkures sistēmu caurulvadi un armatūra

Apkures sistēmās lieto necinkotas tērauda caurules. Tās sāvieno ar vītnēm un čugunā veidgābaliem, ja cauruli diametrs ir mazāks par 50 mm, un ar atlokiem vai sametinot, ja to diametrs lielāks par 50 mm.

Sildķermēju montāžas un ekspluatācijas regulēšanai ūdens apkures divcauruļu sistēmās jāparedz paaugstinātas pretestī-

bas krāni, viencaurules sistēmās — mazas pretestības krāni. Konvektoriem, kas aprīkoti ar gaisa vārstiem, regulēšanas armatūru neparedz.

Daudzstāvu ēkās stāvvadu atslēgšanai paredz caurplūdes krānus vai ventiļus, kurus uzstāda 120 mm attālumā no turpgaitas un atpakaļgaitas maģistrālēm. Cauruļvados, kuru diametrs ir lielāks par 50 mm, ventiļu vietā uzstāda aizbīdņus.

Apkures sistēmas cauruļvadus vispārigas nozīmes telpās montē atklāti.

Stāvvadus ar diametru līdz 32 mm montē 35 mm no sienas, bet stāvvadus ar lielāku diametru — 50 mm no sienas. Slēpto montāžu, iemūrējot stāvvadus sienā vai izvietojot tos vertikālos kanālos, lieto, ja par sildķermējiem izmanto betona sildpaneļus, kā arī interjera un tehnoloģisku vai sanitāri higienisku apsvērumu dēļ.

Izvēloties stāvvadu izvietojumu ēkas plānā, jācenšas novietot tos visos ēkas ārējos stūros, kur uz sienas iekšējās virsmas parasti novērojama viszemākā temperatūra. Kāpņu telpām paredz atsevišķus stāvvadus, kuriem citu telpu sildķermērus neievieno.

Daudzstāvu tipveida ēkās stāvvadi ar sildķermējiem un saienojošiem cauruļvadiem (sildķermēju mezgliem), atkārtojas daudzas reizes. Lai industrializētu apkures sistēmu montāžu, maksimāli unificē apkures sistēmu elementus. Tā neatkarīgi no logu un sienas platuma izmanto noteikta garuma horizontālos slēgposmus, kuru garums ir 360, 400 mm u. c. Pie sienām cauruļvadus stiprina ar ākiem vai kronšteiniem. Vietās, kur cauruļvadi šķērso norobežojošās konstrukcijas, tos ietver metāla čaulās.

Turpgaitas un atpakaļgaitas maģistrāles dzīvojamās un sa biedriskās ēkās izvieto pagrabā, bēniņos un, ja tādu nav, — speciālos kanālos zem pirmā stāva grīdas.

Maģistrāles, kas novietotas neapkurināmās telpās, bēniņos, pagrabā vai grīdas kanālos, jāizolē. Izolācijas slāņa biezums parasti ir 40...60 mm.

Mainoties siltumnesēja temperatūrai, mainīs apkures sistēmas cauruļvadu garums. Tā, piemēram, plūstot karstam siltumnesējam pa aukstiem vadiem, katrs caurules metrs pagarinās par 1...1,75 mm. Lai kompensiētu cauruļvadu garuma izmaiņas, paredz vairākus konstruktīvus pasākumus: cauruļvadus stiprina tā, lai tie varētu brīvi pārvietoties, mainoties siltumnesēja temperatūrai; sildķermēja posmos paredz speciālus izliekumus; stāvvadus maģistrālēm pievieno ar liektiem posmiem. Daudzstāvu ēkās ar to ir par maz un tāpēc jāierīko speciāli kompensatori.

Pēdējā laikā dzīvokļu apkures sistēmām tērauda caurulu vietā lieto arī plastmasu caurules. Vācijā 20% jaunbūvēto apkures sistēmu ir ar polietilēna caurulēm.

Plastmasu cauruļu galvenās priekšrocības: korozijzturība, viegli lokāmās karstā un aukstā veidā, neliela masa, lētākas, vienkāršāka montāža.

Ja ūdens temperatūra sistēmā nepārsniedz 70°C , var izmantot parastās polietilēna caurules. Augstākai ūdens temperatūrai lieto speciāli apstrādātas caurules. Individuālo dzīvojamā māju apkures sistēmās izmanto tā sauktās staru sistēmas, kurās katru radiatoru ar plastmasas caurulēm pievieno siltuma generatoram caur kolektoru. Cauruļu diametrs ir $10\ldots 15$ mm. Ūdens cirkulāciju nodrošina ar sūknī, kuru iemontē izplešanās tvertnē vai cauruļvados.

Par perspektīviem uzskata arī plastmasu radiatorus, kuri ir daudz lētāki nekā čuguna radiatori. Plastmasu radiatoru sienīnu biezums ir 2 mm, vienas sekcijas masa $0,36\ldots 0,48$ kg, maksimālā ūdens temperatūra 80°C un maksimālais spiediens 250 kPa.

Pie mums apkures sistēmas ar plastmasu caurulēm pagaidām nav izplatītās.

5.3.6. Ūdens apkures sistēmu hidrauliskā aprēķina metodes

Spiedienu starpību Δp izmanto apkures sistēmas hidrauliskās pretestības pārvarēšanai, kura summējas no cauruļvadu berzes pretestības un vietējām berzes pretestībām (pagriezieniem, T gabaliem, krustgabaliem, ventiliem, sildķermeņiem, apkures katliem u. tml.).

Spiediena zudumus cauruļvadu berzes pārvarēšanai, ja ir pastāvīgs caurplūstošā ūdens daudzums un nemainīga diametra caurules, izsaka formula

$$\frac{\lambda p_d}{d} l = Rl, \quad (5.12)$$

kur $R = \frac{\lambda}{d} p_d$ — īpatnējie lineārie spiediena zudumi 1 m garā cauruļvada posmā, Pa/m;

λ — hidrauliskās pretestības koeficients, kas atkarīgs no cauruļvada iekšējās virsmas raupjuma un ūdens plūsmas režīma;

d — cauruļvada diametrs, m;

$p_d = \frac{v^2}{2} \rho$ — dinamiskais spiediens, Pa;

v — ūdens ātrums, m/s;

ρ — ūdens blīvums, kg/m³,

l — cauruļvada posma garums, m.

Spiediena zudumi vietējo berzes pretestību pārvarēšanai

$$z = \Sigma \xi \frac{v^2}{2} \rho = \Sigma \xi p_d, \quad (5.13)$$

kur $\Sigma \xi$ — vietējo pretestību koeficientu summa dotajā cauruļvadu posmā.

Pieņemot, ka apkures sistēmas visu cauruļvadu diametri ir vienādi un starp vietējām pretestībām nav lielas atšķirības, caur augstāk novietotiem sildķermeņiem izplūdīs vairāk ūdens (siltumnesējs) un tie apkārtējai videi atdos lielāku siltuma daudzumu. Lai panāktu telpās nepieciešamo sildķermeņu siltumatdevi, jāveic sistēmas hidrauliskais aprēķins — cauruļvadu dimensionēšana.

Ūdens apkures sistēmas cauruļvados siltumnesēja plūsmatiem sadalīta un nogādāta katrā sildķermenī. Mūsdienā ūdens apkures sistēmas ir ļoti sazaroti, daudzkontūru tīkli, kuru katrā posmā jāizplūst noteiktam karstā vai atdzesētā ūdens daudzumam. Sādu tīklu aprēķins ir sarežģīts hidraulikas uzdevums, kuru inženieri praksē risina pēc izvēles metodes.

Aprēķinātos cauruļvadu diametrus pieņem pēc esošā cauruļu sortimenta, tāpēc tīkla aprēķins vienmēr saistīts ar klūdām. Dažādām sistēmām un to elementiem pieļaujamas nesakritības, kas jāievēro aprēķinā.

Praktiskām vajadzībām ir izstrādātas vairākas cauruļvadu aprēķina metodes: īpatnējo spiediena zudumu, dinamisko spiedienu un pretestību raksturojuma metode.

1. *Īpatnējo spiediena zudumu metode.* Pēc šīs metodes spiediena zudumus Δp , Pa, nosaka pēc formulas

$$\Delta p = Rl + z.$$

Īpatnējos lineāros spiediena zudumus R atrod pēc nomogrammām vai tabulām. Vietējo pretestību koeficientu vērtības dažādiem sistēmas elementiem ir atrodamas speciālajā literatūrā.

Spiediena zudumus virknē savienotiem posmiem suminē, bet paralēli savienotos posmos spiediena zudumi ir vienādi,

Aprēķinot ūdens apkures sistēmas cauruļvadus pēc īpatnējo spiediena zudumu metodes, visos stāvvados un nozarojumos ūdens temperatūras kritums ir vienāds. Šo metodi var izmantot divcauruļu un viencaurules sistēmu aprēķiniem.

2. *Dinamisko spiedienu metodes* gadījumā lineāros spiediena zudumus aprēķinos aizstāj ar tiem ekvivalentiem spiediena zudumiem vietējās pretestībās, lietojot ξ_k , kuru nosaka, izejot no attiecības λ/d (atrod rokasgrāmatās). Tad

$$lp_d \lambda/d = \xi_k p_d; \quad (5.14)$$

$$\Delta p = (\xi_k + \Sigma \xi) p_d = \xi_{red} p_d; \quad (5.15)$$

kur $\xi_{red} = \xi_{ek} + \Sigma \xi$ ir reducēts vietējās pretestības koeficients, kas ietver vietējo pretestību koeficientu summu un vietējās pretestības koeficientu ξ_{ek} , ar kuru ievēro spiediena zudumus berzes dēļ.

Sajā aprēķinā λ/d vērtības pieņem pastāvīgas, tas samazina aprēķina precizitāti. Šo metodi lieto, ja sistēmas lineārās un vietējās pretestības ir apmēram vienādas.

3. *Pretestību raksturojuma metode.* Šīs metodes gadījumā izmanto hidrauliskās pretestības koeficientu vidējās vērtības un spiediena zudumus nosaka pēc vienkāršotas izteiksmes kā ūdens daudzuma funkciju:

$$\Delta p = A(\lambda/d + \Sigma \xi) G^2 = SG^2, \quad (5.16)$$

kur G — ūdens daudzums, kg/h;

S — posma pretestības raksturojums, kas vienāds ar spiediena zudumiem 1 kg/h lielam ūdens daudzumam, $Pa/(kg/h)^2$; $A = 16/(3600^2 \cdot 2\pi^2 d^4 p)$ — īpatnējais dinamiskais spiediens, ja cauruļvadā plūst 1 kg/h liels ūdens daudzums.

Spiediena zudumus posmā Δp , Pa, nosaka pēc formulas

$$\Delta p = \left(\frac{G}{\sigma} \right)^2 S, \quad (5.17)$$

kur σ — posma vadītspēja, $kg/(h \cdot Pa^{0.5})$, kura vienāda ar ūdens patēriņu, kg/h, ja spiediena zudumi posmā ir 1 Pa;

$$\sigma = \frac{1}{\sqrt{S}}. \quad (5.18)$$

Virknē savienotu posmu kopējo pretestības raksturojumu aprēķina, summējot atsevišķu posmu pretestības raksturojumus:

$$S_{\Sigma} = S_1 + S_2 + \dots + S_n. \quad (5.19)$$

Paralēli savienotu posmu vadītspēju aprēķina, summējot atsevišķu posmu vadītspējas, t. i.,

$$\sigma_{\Sigma} = \sigma_1 + \sigma_2 + \dots + \sigma_n.$$

Paralēli savienotu posmu kopējo pretestības raksturojumu nosaka pēc formulas

$$S_{\Sigma} = \frac{1}{(\sigma_1 + \sigma_2 + \dots + \sigma_n)^2}. \quad (5.20)$$

Ja paralēli savienoti divi posmi, tad

$$\frac{G_1}{G_2} = \sqrt{\frac{S_2}{S_1}} = \frac{\sigma_1}{\sigma_2}. \quad (5.21)$$

Mūsdienā būvniecībā plaši izmanto unificētu stāvvadu montāžas elementus, kuru konstrukcija un izmēri ir pastāvīgi. Katru

no šiem elementiem hidrauliskajā aprēķinā var uzskatīt par aprēķina posmu, kuru pretestību raksturojumi speciālā literatūrā atrodami gatavā veidā.

Izmantojot pretestību raksturojumu metodes formulu, var noteikt spiediena zudumus katrā elementā.

Pretestību raksturojuma metodi parasti izmanto viencaurules sistēmu aprēķinos, kā arī nosakot plūsmas sadalījumu sistēmās ar noteiktiem cauruļu diametriem. Pēc šis metodes ūdens temperatūras kritums stāvvados un nozarojumos var būt dažads.

5.3.7. Dabiskās cirkulācijas ūdens apkures sistēma

Dabiskās cirkulācijas sistēmas darbības rādiuss nedrīkst pārsniegt 30 m un attālums (pa vertikāli) no katla centra līdz apakšstāva sildķermēņa centram drīkst būt 2,5...3 m. Tādēļ dabiskās cirkulācijas sistēmu atļauts lietot tikai nelielās ēkās ar iebūvētu katlu māju, ja noteikti zināms, ka perspektīvā ēku neievienos centralizētai siltumapgādes sistēmai.

Dabiskās cirkulācijas sistēmu trūkums ir ūdens cirkulācijas intensitātes atkarība no radiatoria augstuma virs siltuma ģeneratora un liels metāla patēriņš cauruļvadiem, jo relatīvi nelielā gravitācijas spiediena dēļ nevar lietot maza diametra caurules.

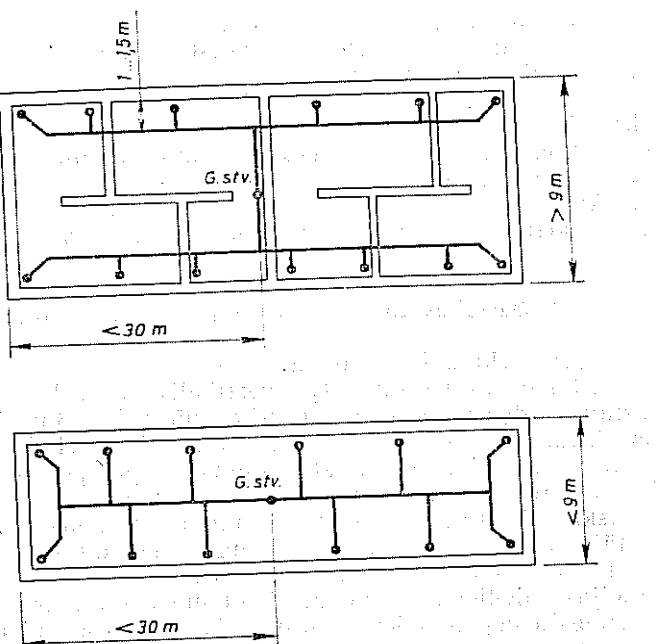
Šo iemeslu dēļ mūsdienās galvenokārt lieto piespedu cirkulācijas sistēmas.

5.3.7.1. Apkures sistēmas konstruēšana

Apkures sistēmas konstruēšanu sāk ar stāvvadu un sildķermēnu izvietošanu ēkas plānos. Stūra telpās stāvvadus vēlamis izvietot ārsieni stūros. Ja ārsieni iekšējās virsmas temperatūra $\tau_t \leq \tau_R$, tad stāvvadi obligāti jāizvieto ārsieni stūros.

Ekonomējot metālu, jācenšas izveidot sistēmu ar iespējamī mazāku stāvvadu skaitu. Cauruļvadi telpās jāizvieto atklāti (bez iebūves nišās), ja nav speciālu norādījumu. Turpgaitas stāvvadu skatoties no telpas, vienmēr izvieto pa labi, bet atpakaļgaitas stāvvadu — pa kreisi.

Sistēmām ar augšējo sadali turpgaitas maģistrāles jācenšas izvietot bēniņos vienā līnijā pa ēkas garenasi, ja ēkas platums nepārsniedz 10 m (5.27. att.), bet lielāka platuma ēkām maģistrālos cauruļvadus parasti izvieto divās līnijās apmēram 1...1,5 m attālumā no ārsienām (5.27. att.). Noteicošais faktors ir metāla ekonomija un sistēmas hidrauliskā pretestība. Atpakaļgaitas maģistrāles (apakšējās sadales gadījumā arī turpgaitas maģistrāles) izvieto pagrabtelpās vai tehniskajā pagrabā. Atsevišķos gadījumos cauruļvadus var izvietot arī virs pirmā stāva grīdas vai zemgrīdas kanālos.



5.27. att. Princiālās maģistrālo cauruļvadu izvietojuma shēmas.

Lai izdarītu atgaisošanu, visus maģistrālos cauruļvadus novieto ar kritumu, ne mazāku par 0,002 siltumnesēja kustības virzienā.

Kāpņu telpas apsildei jāparedz atsevišķs stāvvads pēc viencaurules caurplūdes principa. Sildķermeņi kāpņu telpā nedrīkst samazināt lietderīgo kāpņu telpas lielumu, kā arī veidot izcilnus cilvēku kustības līmenī. Regulējošo armatūru pie sildķermeņiem kāpņu telpā nav atļauts uzstādīt. Noslēdošo armatūru uz kāpņu telpas stāvvada uzstāda pie turpgaitas un atpakaļgaitas maģistrālēm. Ēkas līdz četriem stāviem kāpņu telpai nepieciešamo sildķermeņa sildvīrsnu nesadala pa stāviem, bet novieto ieejas. Lai sildķermeņi neaizsaltu, ārējā izeja jānodrošina ar siltumizolētam dubultdurvīm vai vējtveri.

Cauruļvadi, kas novietoti neapkurināmās telpās, un arī galvenais stāvvads jāizolē.

Sistēmas ar augšējo sadali galveno stāvvadu jācēnšas novietot ēkas centrālajā daļā.

Atpakaļgaitas maģistrālei jāapvieno pēc iespējas simetriski tie paši stāvvadi, kurus apvieno turpgaitas maģistrāle.

Noslēdošo armatūru uzstāda,

a) lai atslēgtu un izlaistu ūdeni no atsevišķiem apkures sistēmas zariem, pusēm un stāvvadiem;

b) lai atslēgtu kondensātsavācējus, automātiski vai no distances vadāmus ventīlus, bet citām iekārtām — pēc nepieciešamības;

c) lai atslēgtu daļu vai visus sildķermeņus telpās, kurās apsilde nepieciešama periodiski vai daļēji.

Noslēdošo armatūru atļauts neuzstādīt uz stāvvadiem ēkās ar trim vai mazāk stāvieniem.

Sildķermeņus novieto pie ārējām sienām zem logiem. Telpās sildķermeņus novieto simetriski ar vismazāko stāvvadu skaitu. Pievadi no stāvvada līdz sildķermeņiem nedrīkst būt garāki par 1...1,25 m.

Sistēmās ar dabisko cirkulāciju sildķermeņiem, kuriem pēc aprēķina ir vairāk nekā 15 sekcijas, jālieto divpusēja pievienošana pie stāvvadiem. Pievadu kritums nedrīkst būt mazāks par 10 mm uz 1 m. Sildķermeņu savienojums virknes slēgumā pieļaujams vienas telpas robežās. Noliktavu, koridoru, tualešu un citu palīgtelpu sildķermeņus var savienot virknē. Virknes slēgumā savieno tikai viena tipa sildķermeņus, kas novietoti vienā līmenī ne vairāk kā 1,5 m attālumā cits no cita.

Vannas istabu un dušu dvieļu žāvētājus, ja tie nav pieslēgti karstā ūdens apgādes sistēmai, pievieno apkures sistēmai.

Telpās, kurās uzstādīti vairāki sildķermeņi, regulējošā armatūra jāuzstāda tikai daļai sildķermeņu tā, lai regulējamais siltuma daudzums būtu ne mazāks par 50% no visu sildķermeņu siltumatdeves.

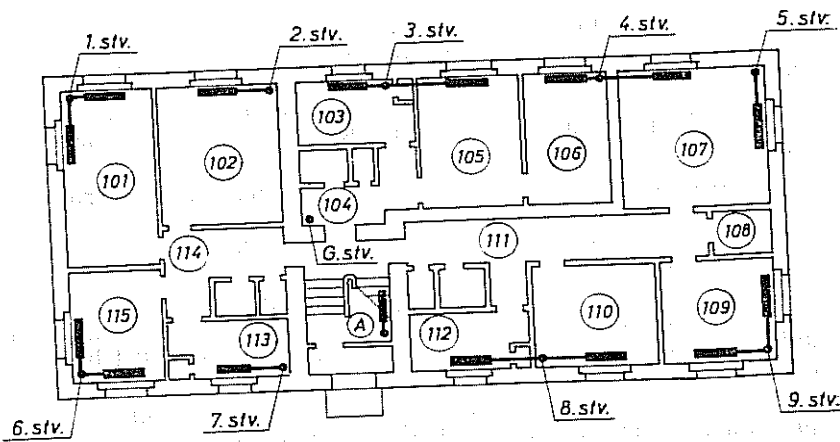
Konvektoriem, kuriem ir kustīgais vārsts konvektīvās plūsmas regulēšanai, siltumnesēja (ūdens) caurplūdi neregulē.

5.3.7.2. Apkures sistēmas hidrauliskais aprēķins

Ūdens apkures sistēmas hidraulisko aprēķinu veic pēc tam, kad ir aprēķināti telpu siltuma zudumi, izraudzīti sildķermeņi un apkures sistēmas veidi.

Ūdens apkures sistēmas hidrauliskā aprēķina vispārīgie principi un secība, izmantojot ipatnējo spiediena zudumu metodi, ir šāda.

1. Pēc tam kad ēkas plānā ir izvietoti sildķermeņi, stāvvadi, turpgaitas un atpakaļgaitas maģistrāles (5.28. att.), konstrue visas sistēmas aksonometrisko shēmu. Visu vietējo pretestību precīzai uzskaitei nepieciešams uz aprēķina shēmas uzrādīt visu cauruļu līkumus, armatūru un palīgiķartu (izplešanās tvertni, rokas sūknī utt.).



5.28. att. Sildķermēju un stāvvadu izvietojums plānā.

2. Cirkulācijas spiedieni Δp_c , Pa, izraudzītajai apkures sistēmai aprēķina šādi:

$$\Delta p_c = \Delta p + \Delta p_{cv} + p_s, \quad (5.22)$$

kur Δp — dabiskais spiediens, kas rodas, ūdenim atdziestot sildķermēnos. Tas divcauruļu sistēmām nosakāms pēc formulas

$$\Delta p = hg (\rho_a - \rho_k), \quad (5.23)$$

kur h — attālums pa vertikāli no siltuma ģeneratora centra (katla centra, elevators horizontālās ass) līdz sildķermēja centram vai apakšai (atkarībā no pievienojušā vietas);

ρ_a, ρ_k — atdzisušā un karstā ūdens blīvums, kg/m^3 (9. pielikums);

g — brīvās krišanas paātrinājums, m/s^2 ;

Δp_{cv} — dabiskais spiediens, kas rodas, ūdenim atdziestot cauruļvados, Pa (14. pielikums);

p_s — sūkņa radītais spiediens, Pa.

Gadijumos, kad stāvvadi ir siltumizolēti, un sistēmas ar apakšējo sadali lielumu Δp_{cv} neievēro. Dabisko spiedienu, kas rodas, ūdenim atdziestot cauruļvados un sildķermēnos, var neignorēt, vērā, ja tas sastāda mazāk par 10% no piespiedu cirkulācijas radītā spiediena.

Apkures sistēmas ar piespiedu cirkulāciju aprēķina spiedienu pieņem šādu:

a) sistēmas, kuras pievieno siltuma tīkliem, to pieņem atkarībā no spiedienu starpības tīklā pie ievada ēkā;

b) sistēmas, kurās siltumnesēja parametri ir $t_k = 95^\circ\text{C}$ un $t_a = 70^\circ\text{C}$ no vietējās katlu mājas un kuras perspektīvā pievienos siltuma tīkliem, aprēķina spiedienu pieņem ne lielāku kā 12 kPa, neņemot vērā spiediena zudumus katlu telpā un cauruļvados no katla līdz siltumcentram;

c) sistēmas, kuras nepievienos siltuma tīkliem, aprēķina spiedienu nosaka, izejot no maksimāli pieļaujamā ūdens ātruma cauruļvados un aprēķinot spiediena zudumus atsevišķās cirkulācijas cilpās.

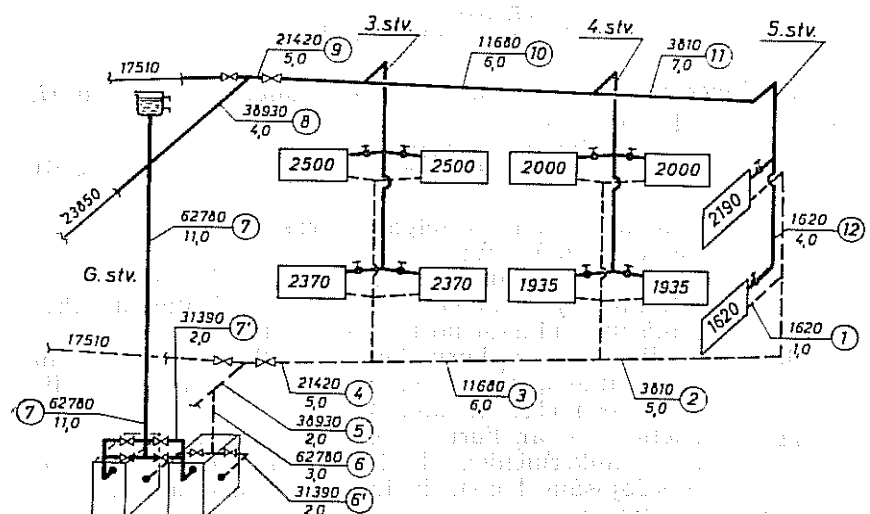
Tā, piemēram, 5.28. attēlā parādītajai apkures sistēmai, pieņemot, ka tā ir divcauruļu dabiskās cirkulācijas sistēma ar augšējo sadali, kurā $t_k = 95^\circ\text{C}$, $t_a = 70^\circ\text{C}$, $h = 2,8 \text{ m}$ un $\Delta p_{cv} = -150 \text{ Pa}$ (14. pielikums), pēc formulas (5.22), izmantojot arī formulu (5.23), aprēķina

$$\Delta p_c = \Delta p + \Delta p_{cv} + p_s = 2,8 \cdot 9,88 (977,81 - 961,92) + 150 = 586 \text{ Pa}.$$

3. Izvēlas galveno aprēķina cirkulācijas cilpu. 5.29. attēlā parādīts šīs apkures sistēmas zars, caur kuru iet galvenā cirkulācijas cilpa.

Par galveno aprēķina cirkulācijas cilpu pieņem to cilpu, kurā spiediena Δp_c attiecība pret cilpas garumu Σl ir vismazākā, t. i.,

$$\Delta p_c / \Sigma l = \min, \quad (5.24)$$



5.29. att. Dabiskās cirkulācijas divcauruļu ūdens apkures sistēmas aprēķina cilpas shēma.

Vertikālajās divcauruļu strupceļa sistēmās par galveno cirkulācijas cilpu pieņem visvairāk slogotā, visattālākā stāvvada apakšējā sildķermeņa cilpu.

Vertikālajās divcauruļu līdzgaitas sistēmās par galveno cirkulācijas cilpu pieņem visvairāk slogotā vidējā stāvvada apakšējā sildķermeņa cilpu.

Vertikālajās viencaurules strupceļa sistēmās galvenā cirkulācijas cilpa iet caur visvairāk slogoto, visattālāko stāvvadu, līdzgaitas sistēmās — caur visvairāk slogoto vidējo stāvvadu.

4. Galveno cirkulācijas cilpu sadala aprēķina posmos (5.29. att.). Par aprēķina posmu sauc cauruļvada daļu, kura diametrs un siltumnesēja daudzums paliek nemainīgs. Posmus numurē, un tiem uzrāda siltuma patēriņu un garumu.

5. Aprēķina orientējošus īpatnējos lineāros spiediena zudumus R_{or} uz galvenās cilpas 1 metru:

$$R_{or} \leq \frac{K\Delta p_e}{\Sigma t}, \quad (5.25)$$

kur K — lineāro spiediena zudumu daļa. Sistēmās ar dabisko cirkulāciju $K=0,5$, sistēmās ar piespiedu cirkulāciju $K=0,65$;

Σt — aprēķina posmu garumu summa, m.

Aprēķina piemērā

$$R_{or} = \frac{0,5 \cdot 586}{69} = 4,25 \text{ Pa/m.}$$

6. Sildķermenī jeb posmā cirkulējošo ūdens daudzumu G , kg/h, nosaka pēc formulas

$$G = \frac{\Sigma Q \beta_1 \beta_2}{c \Delta t} = \frac{0,86 \Sigma Q}{\Delta t} \beta_1 \beta_2, \quad (5.26)$$

kur ΣQ — summārie zudumi telpās, kuras apkalpo stāvvads (atzarojums), kW;

$c=4,187$ — ūdens īpatnējā siltumietilpība, kJ/(kg·K);
 Δt — siltumnesēja temperatūru starpība, ieplūstot stāvvadā un izplūstot no tā (atzarojuma);

β_1 — koeficients, ar kuru ievēro sildķermeņu papildu siltumatdevi, kas rodas, noapaļojot aprēķina siltumatdevi (10. pielikums);

β_2 — koeficients, ar kuru ievēro papildu siltuma zudumus sildķermeņiem, kuri novietoti pie ārējām robežojošām konstrukcijām (11. pielikums).

7. Pēc cirkulējošā ūdens daudzuma un R_{or} no tabulām (12. pielikums) izvēlas ūdens ātrumu, cauruļvadu diametru un faktiskos īpatnējos lineāros spiediena zudumus. Jāņem vērā,

ka ūdens ātrums apkures sistēmās ar dabisko cirkulāciju nedrīkst pārsniegt 0,2 m/s.

8. Katram aprēķina posmam atrod vietējās pretestības koeficientu ξ . Tā vērtības apkures sistēmas atsevišķiem elementiem atrodamas 13. pielikumā.

Tālāk dots vietējo pretestību saraksts 5.29. attēlā parādītai apkures sistēmai:

1. posms	7'. posms
puse radiatoria	— 0,8
atkāpe, $d=15$ mm	— 0,8
T gabals pagriezieniem	— 1,5
$\Sigma \xi = 3,1$	$\Sigma \xi = 3,1$
	$d=70$ mm $— 2 \times 0,3 = 0,6$
	ventilis $— 0,5$
	$\Sigma \xi = 6,35$
2. posms	7. posms
atkāpe pie ēkas pamata, $d=20$ mm	— 0,7
pagriezieni 90°, $d=20$ mm	— 1,0
T gabals caurtecei	— 1,0
$\Sigma \xi = 2,7$	$\Sigma \xi = 2,7$
3. posms	8. posms
T gabals caurtecei	vietējo pretestību nav
4. posms	9. posms
T gabals preplūsmai	krustgabals pagriezieniem
ventilis	$— 3,0$
$\Sigma \xi = 3,5$	$\Sigma \xi = 3,0$
5. posms	10. posms
T gabals pagriezieniem	T gabals pagriezieniem
$\Sigma \xi = 1,5$	$\Sigma \xi = 1,0$
6. posms	11. posms
vietējo pretestību nav	T gabals caurtecei
$\Sigma \xi = 4,55$	divi pagriezieni 90°, $d=20$ mm $— 1,0 \times 2 = 2,0$
6'. posms	$\Sigma \xi = 3,0$
T gabals pagriezieniem	T gabals caurtecei
pagriezieni 90°, $d=70$ mm	— 1,5
atkāpe, $d=15$ mm	$d=15$ mm
T gabals caurtecei	— 1,5
ventilis	— 0,3
puse katla	— 1,0
	— 0,5
	— 1,25
	$\Sigma \xi = 11,8$

Jāņem vērā, ka vietējās pretestības attiecina uz mazākslo-goto posmu. Zinot ūdens ātrumu un vietējo pretestību koefi-cientu summu posmā, var aprēķināt vai noteikt dinamisko spiedienu p_d pēc 15. pielikuma un izskaitlot z .

9. Zinot R_l un z katrā posmā, aprēķina summāros spie-diena zudumus visos galvenās cirkulācijas cilpas posmos, t. i., $\Sigma(R_l+z)$. Rezultātus ieraksta aprēķina veidlapā (5.5. tabula).

10. Iegūtos rezultātus salīdzina ar esošo cirkulācijas spie-dienu p_c . Cauruļvadiem galvenajā cilpā jābūt aprēķinātiem tā,

5.5. tabula

Caurulīvadu dimensjonēšanas aprēķins cilpā caur 5. stāvvadu
pirmā stāva sildgērmeni ($Q=1620 \text{ W}$), ja $\beta_1=1,02$; $\beta_2=1,03$

Pos. nū. Nr.	Q, W	$G, \text{kg/h}$	t, m	d, mm	$R_p, \text{Pa/m}$	$R_t, \text{Pa/m}$	$v_{\text{m/s}}$	Σz	z, Pa	$(R_t+z), \text{Pa}$	Piezīmes
1	1 620	59	1	15	10,0	0,087	3,76	3,10	11,66	21,66	
2	3 810	138	5	25	3,1	0,055	1,50	2,70	4,05	19,55	
3	11 680	422	6	40	3,6	0,089	3,93	1,00	3,93	25,53	
4	21 420	774	5	50	3,2	0,102	5,12	3,50	17,92	33,15	
5	38 930	1407	2	70	3,0	6,0	0,110	5,98	1,50	8,97	29,97
6	62 780	2269	3	70	7,0	0,174	14,89	—	—	21,00	
6'	31 390	1135	2	50	6,6	0,148	10,79	4,55	49,10	62,30	
7'	31 390	1135	2	50	6,6	0,148	10,79	6,35	68,52	81,72	
7	62 780	2269	11	70	77,0	0,174	14,89	—	—	77,00	
8	38 930	1407	4	70	3,0	12,0	0,110	5,98	3,00	17,94	29,94
9	21 420	7745	5	50	3,2	16,0	0,102	5,12	2,00	10,24	26,34
10	11 680	422	6	40	3,5	21,6	0,089	3,93	1,00	3,93	25,53
11	3 810	138	7	25	3,1	21,7	0,055	1,50	3,00	4,50	26,20
12	1 620	59	4	15	10,0	40,0	0,087	3,76	11,10	41,74	81,74
$\sum I = 69$											$\sum (R_t+z) = 6355,43$
$\Delta = \frac{586 - 535,43}{586} \cdot 100 = 8,6\%$											

lai summārie spiediena zudumi cilpā būtu par 5...10% mazāki nekā esošais cirkulācijas spiediens. Ar šādu rezervi tiek ievērotas papildu pretestības, kas var rasties, montējot sistēmu. Ja šis noteikums nav ievērots, tad dažos posmos jāmaina diametri.

11. Spiediena zudumus cirkulācijas cilpās caur pārējiem stāvvadiem aprēķina, pieņemot galveno cirkulācijas cilpu par etalonu. Nesaiste Δ starp galveno cirkulācijas cilpu un pārējām cilpām nedrīkst pārsniegt $\pm 15\%$. Diverģuļu sistēmās nesaiste starp spiediena zudumiem cilpās caur sildķermējiem dažādos stāvvados netiek normēta, jo tā jālikvidē, izdarot montāžas regulēšanu ar dubultiestādāmiem krāniem.

5.4. TVAIKA APKURES SISTĒMAS

Tvaika apkures sistēmu izgudroja Anglijā 18. gadsimta vidū. 19. gadsimta pirmajā pusē visplašāk izmantoja augsta spiediena sistēmas, bet gadsimta vidū sāka lietot zema spiediena sistēmas. Tvaika apkures sistēmu lietošana ir ierobežota sanitāri higiēnisko un ugunsdrošības apsvērumu dēļ.

Tvaika apkures sistēmās izmanto tvaika īpašību kondensējoties izdalīt iztvaikošanas siltumu, kas ir daudz lielāks nekā siltums, ko karstais ūdens sildķermenī atdod apkārtējai videi.

Apkures sistēmās lieto sausū piesātinātu vai mitru piesātinātu tvaiku. Ārējos tvaika vados, lai izvairītos no nevēlamās tvaika kondensācijas, cenšas izmantot pārkarsētu tvaiku. Apkurei izmantot pārkarsētu tvaiku nav ekonomiski izdevīgi. Papildu siltuma daudzums, ko iegūst no pārkarsēta tvaika, ir neliels, jo tvaikam ir maza siltumietilpība salīdzinājumā ar fāzes maiņas siltumefektu.

Aprēķinot tvaika apkures sistēmas, parasti lieto sausa piesātinātu tvaika parametrus, jo katrai temperatūrai atbilst noteikts spiediens.

Sausa piesātināta tvaika siltumietilpību (entalpiju) $H'', \text{kJ/kg}$, izsaka ar formula

$$H'' = H' + r, \quad (5.27)$$

kur H' — ūdens entalpija vārīšanās temperatūrā (siltuma daudzums, ko patēri, lai ūdeni sasildītu līdz vārīšanās temperatūrai), kJ/kg ;

r — iztvaikošanas siltums, kJ/kg .

Tvaiks kondensējoties izdala vairāk nekā 80% no sava siltuma. Tā tilpums samazinās vidēji 1000 reižu: 1 kg tvaika pirms pārvēršanās ūdeni ieņem apmēram 1 m^3 tilpumu.

Tvaika apkures sistēmas, tāpat kā ūdens apkures sistēmas, aprēķina, vadoties no tā, ka sistēmā esošai spiedienu starpībai jābūt pietiekamai, lai pārvarētu berzes pretestību caurulīvados un vietējās pretestības.

Zemspiediena sistēmās pieņem, ka 65% spiediena patēriņu cauruļvadu berzes pretestību un 35% — vielējo pretestību pārvarēšanai. Augstspiediena sistēmās pieņem attiecīgi 80% un 20%, papildus ievērojot to, ka, tvaikam plūstot pa cauruļvadiem, ievērojami mainās tā spiediens un blīvums.

Cauruļvadi, pa kuriem pievada tvaiku, var būt neliela diametra, bet atpakaļgaitas (kondensāta) cauruļvadiem jābūt ar lielāku diametru un nepārtrauktu slīpumu (uz leju) katla virzienā.

Tvaika apkures sistēmas lieto tos pašus sildķermērus, kuri ir izmanto ūdens apkures sistēmās.

5.4.1. Tvaika apkures sistēmu klasifikācija

Tvaika apkures sistēmas iedala šādi: vakuuma tvaika sistēmas — tvaika spiediens mazāks par 0,1 MPa, zemspiediena sistēmas — pārspiediens $0,005 \dots 0,07$ MPa un augstspiediena sistēmas — pārspiediens $>0,07$ MPa (5.6. tabula).

5.6. tabula

Tvaika apkures sistēmas lietojamā piesātinātā tvaika parametri (aptuvenie)

Sistēma	Absolūtais spiediens, MPa	Temperatūra, °C	Ipatnējais kondensācijas siltums, kJ/kg
Vakuuma tvaika	0,1	100	2260
Zemspiediena	0,1...0,17	100...115	2260...2220
Augstspiediena	0,17...0,27	115...130	2220...2175

Maksimālo tvaika spiedienu sistēmā ierobežo ilgstoša augsta cauruļvadu un sildķermēnu virsmas temperatūra, kuru pieļauj sanitāri higiēniskās un arī drošības prasības (piemēram, pārspiedienam 0,17 MPa atbilst tvaika temperatūra 130°C).

Vakuuma tvaika sistēmās spiediens ir zemāks par atmosfēras spiedienu un tvaika temperatūra zemāka par 100°C . Tādās sistēmās, mainot vakuuma (retinājuma) pakāpi, var mainīt tvaika temperatūru un apmierināt sanitāri higiēniskās prasības. Tomēr nepieciešamība uzturēt iekārtā vakuumtu to sadārdzina un sarežģīt tās ekspluatāciju.

Vakuuma tvaika apkures sistēmas ieteicams lietot augstceltnu apkurei.

Zemspiediena apkures sistēmas lieto rūpniču ēku, sporta zāļu, peldbaseinu, kinoteātru, teātru, veikalui, restorānu un

citu ēku apkurei. Augstspiediena apkures sistēmas ieriko to rūpniču ēkās, kurās augstspiediena tvaiku izmanto ražošanai.

Tvaika apkures sistēmas parasti izmanto divcauruļu shēmu: pa tvaika vadiem tvaiku pievada sildķermēniem, bet kondensātu novada pa kondensāta vadiem. Viencaurules sistēmas ar vertikāliem stāvvadiem kondensāts, plūstot pretēji tvaika plūsmai, var sakrāties un aizpildīt visu cauruļvada atvērumu. Tas rada hidrauliskus triecienus un troksni, tāpēc šādas viencaurules sistēmas lieto reti.

Lielu telpu apkurei, kurās nav nepieciešama sildķermēnu individuāla regulēšana, lieto horizontālās viencaurules sistēmas ar tvaika un kondensāta plūsmu vienā virzienā.

Plašāk izmanto divcauruļu sistēmas ar augšējo sadali. Sistēmas ar apakšējo sadali izveido gadījumos, ja tvaika vadu nevar izvietot telpā pie griestiem vai bēniņos.

Ja katla līmenis atrodas zemāk nekā sildķermēni un kondensātu novada katlā pašteces veidā, sistēmas sauc par slēgtām apkures sistēmām. Ja katlu šādi novietot nav iespējams, kondensātu novada atklātā tvertnei un ar sūknī pārsūknē katlā. Tādās sistēmas sauc par valējām apkures sistēmām.

Ja kondensāts pilnīgi neaizpilda kondensāta vada šķersgriezumu, tad to sauc par sauso kondensātu vadu; ja kondensāts aizpilda visu cauruļvada šķersgriezumu, to sauc par slapjo kondensātu vadu. Ja pa cauruļvadu kopā ar kondensātu plūst tvaiks, tad to sauc par divfāzu vai emulsijas vadu.

Tvaika apkures sistēmu priekšrocības:

- lielāka siltumpārejas koeficiente dēļ sildķermēnu sildvirsmi ir par 30% mazāka nekā ūdens apkures sistēmās;
- mazāki cauruļvadu šķersgriezumi nekā ūdens apkures sistēmās;
- maza siltuma inerce (sistēma ātri sasilst un atdziest).

Tvaika apkures sistēmu trūkumi:

- sarežģīta sildķermēnu siltumatdeves regulēšana (siltumatdevi maina, periodiski pārtraucot tvaika padevi);
- periodiskas tvaika apkures sistēmas izslēgšanas laikā tajā paliek gaiss. Gaisam saskaroties ar cauruļvadu un citu iekārtu mitro iekšējo virsmu, intensificējas korozija, kas samazina sistēmas kalpošanas ilgumu;

pastiprinātās korozijas dēļ ātri nolietojas sausie kondensāta cauruļvadi;

siltumnesēja temperatūru var regulēt nelielā intervālā; augsta sildķermēnu temperatūra (parasti $\approx 100^{\circ}\text{C}$);

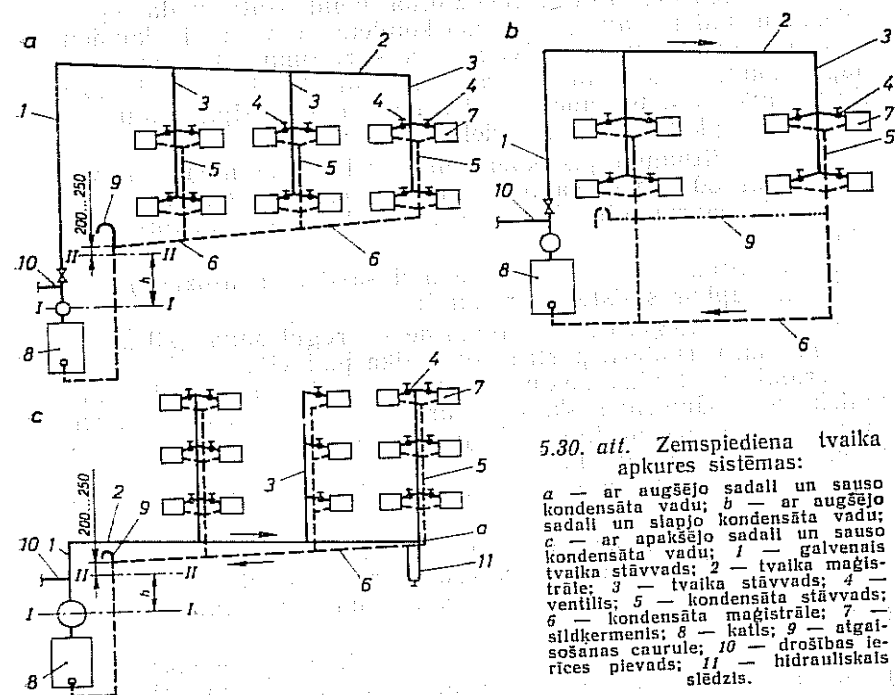
hidrauliskie triecieni cauruļvados un ar tiem saistītie trokšņi.

Mūsdienās tvaika apkures sistēmas lieto galvenokārt tad, ja ir iespējams izmantot ražošanai sagatavotu vai tajā jau

daļēji izmantotu tvaiku. Rajonu centralizētās apkures sistēmās tvaiku var izmantot, lai piegādātu siltumu patēriņtājiem lielos attālumos. Šajā gadījumā, ja patēriņtājs ir apkures sistēma, tad siltuma generatoru — katlu aizvieto ar tvaika-ūdens siltumapmaiņas aparātu.

5.4.2. Zemspiediena tvaika apkures sistēmas

5.30. attēlā a redzama zemspiediena tvaika apkures sistēma ar augšējo sadali un sauso kondensāta vadu. Ūdeni katlā silda līdz vārišanās temperatūrai (piemēram, spiedienā 0,07 MPa līdz 114,7°C) un pārvērš tvaikā. Pa tvaika vadiem tvaiks nokļūst sildkermenēs, kur tas kondensējas, izdalot iztvaikošanas siltumu telpā. Kondensāts pa kondensāta vadu satek atpakaļ katlā. Sistēmu palaižot, tvaiks cauruļvados aizvieto gaisu, kas ir smagāks nekā tvaiks. Gaisu no sistēmas izvada pa kondensāta vadu caur speciālu atgaisošanas cauruli, kuru pievieno 200...300 mm augstāk par kondensāta līmeni kondensāta vadā (šķēlums II-II).



5.30. att. Zemspiediena tvaika apkures sistēmas:

a — ar augšējo sadali un sauso kondensātu vadu; *b* — ar augšējo sadali un slajpo kondensātu vadu; *c* — ar apakšējo sadali un sauso kondensātu vadu; *d* — galvenais tvaika stāvvads; *e* — tvaika magistrāle; *f* — tvaika stāvvads; *g* — ventilis; *h* — kondensātu stāvvads; *i* — kondensāta magistrāle; *j* — sildkermens; *k* — katls; *l* — atgaisošanas caurule; *m* — drošības ierices pievads; *n* — hidrauliskais slēdzis.

Siltumatdeves rezultātā tvaiks dalēji kondensējas tvaika vados. Sevišķi daudz kondensāta izdalās, sistēmu palaižot, kad tvaiks plūst pa aukstiem cauruļvadiem. Lai kondensāts neaizsprostotu atvērumu tvaikam un lai nerastos hidrauliskie triecieni, tvaika vadus montē ar kritumu $0,002\ldots0,003$ tvaika plūsmas virzienā. Kondensāta vadu montē ar tādu pašu kritumu katla vai kondensāta tvertnes virzienā. Tvaika vados pirms sildķermēniem uzstāda ventīlus tvaika padeves noslēgšanai.

Augšējās sadales sistēmu lieto, ja ir bēniņu telpa vai iespējams maģistrālo vadu montēt augšējā stāvā zem griestiem. Ja šādu iespēju nav, izmanto apakšējās sadales sistēmu. Dažreiz lieto arī tvaika apkures sistēmas ar vidējo sadali (augšējo un apakšējo), tad maģistrālo tvaika vadu montē vienā no ēkas vidējiem stāviem.

5.30. attēlā b redzama zemspiediena tvaika apkures sistēma ar augšējo sadali un slapo kondensāta vadu. Kā redzams shēmā, kondensāta vads pastāvīgi aizpildīts ar kondensātu. Salīdzinājumā ar sauso kondensāta vadu slapjais kondensāta vads mazāk korodē. Sistēmās ar slapo kondensāta vadu gaisa novadišanai jāieriko speciāls cauruļvads, kurš jānovieto augstāk par kondensāta līmeni sistēmā.

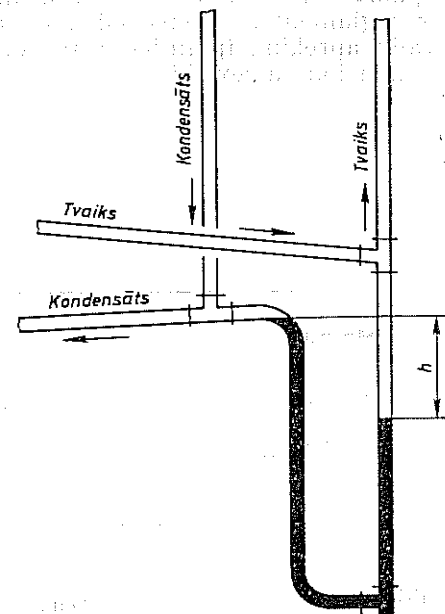
5.30. attēlā *c* parādīta zemspiediena tvaika apkures sistēma ar apakšējo sadali un sauso kondensātu vadu. Lai novadītu kondensātu, kas var rasties tvaika vadā, tvaika vadu punktā *a* savieno ar kondensātu vadu, izmantojot hidraulisko slēdzi (5.31. att.).

Sistēmu darbības laikā ūdens stabu augstumu starpība h līdzsvaro tvaika spiedienu, un tādējādi tvaiks kondensāta vadā neiekļūst.

$$h = p/\rho_0 k, \quad (5.28)$$

kur p — tvaika spiediens hidrauliskā slēdža pievienošanas punktā:

pk — kondensāta blīvums.



5.31. att. Hidrauliskais slēdzis.

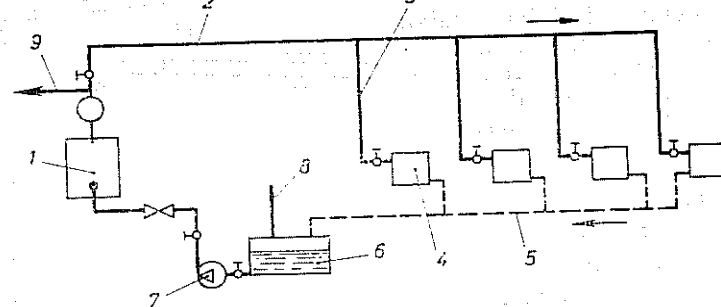
Ja, piemēram, katla kurināšanas laikā kondensāta līmenis kondensāta vadā palielinās no I-I līdz II-II, tad spiedienā 0,02 MPa ūdens staba augstums ir 2 m. Ja tvaika spiediens ir 0,02 MPa augstāks par 0,02 MPa, tad, lai katlu māja nebūtu pārāk jā-augstāks, lieto valēju sistēmu, kurā kondensātu savāc kondensāta tvertnē un ar sūknī pārsūknē katlā.

5.32. attēlā parādīta valējā tvaika apkures sistēma ar kondensāta tvertni un sūknī kondensāta pārsūknēšanai katlā. Sistēmā sildķermēni var atrasties vienā līmenī ar katlu un ari zemāk par to. Gaisu no sistēmas izvada pa kondensāta vadu caur kondensāta tvertni.

Sūknis jānovieto zemāk par ūdens līmeni kondensāta tvertnē. Lai tvaiks neizplūstu atmosfērā caur kondensāta vadu, sistēmās ar spiedienu, kas lielāks par 0,04 MPa, pirms kondensāta tvertnes uzstāda tvaika slēdzi, kas aiztur tvaiku un laiž cauri kondensātu.

Cauruļvadā, pa kuru kondensātu novāda katlā, pirms katla uzstāda vienvirziena vārstu, lai ūdens no katla neizplūstu kondensāta tvertnē gadījumā, ja nedarbojas ūdens sūknis.

Zemspiediena tvaika apkures sistēmas aprēķinos spiedienu katlā izvēlas atkarībā no sistēmas tvaika vadu garuma. Lai katlā nerastos troksnis, maksimālais tvaika ātrums apkures sistēmā ir reglamentēts. Zemspiediena tvaika apkures sistēmas cauruļvadu aprēķina īpatnība ir tā, ka tvaika un kondensāta vadus dimensionē atsevišķi.



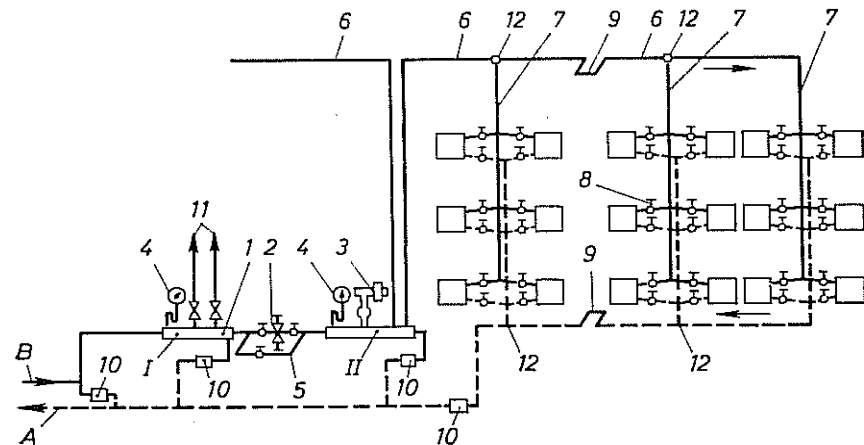
5.32. att. Valējās zemspiediena tvaika apkures sistēmas shēma:
1 — katls; 2 — tvaika maģistrāle; 3 — tvaika stāvvads; 4 — sildķermēns;
5 — kondensāta vads; 6 — kondensāta tvertnē; 7 — sūknis;
8 — atgaisošanas cauruļvads; 9 — uz drošības ierīci.

5.4.3. Augstspiediena tvaika apkures sistēmas

Augstspiediena tvaika apkures sistēmās parasti lieto tvaiku ar spiedienu 0,2...0,3 MPa. Ja tvaika spiediens ir lielāks, uzstāda redukcijas vārstu, kas pazemina tvaika spiedienu līdz nepieciešamajam lielumam.

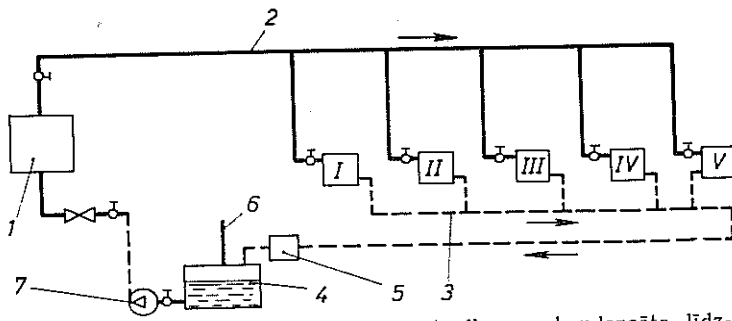
5.33. attēlā parādīta augstspiediena tvaika apkures sistēma ar augšējo sadali. Augstspiediena tvaiku pa cauruļvadu B no katlu mājas pievada tvaika sadales mezglam I. Pa vadu II tvaiku novada tehnoloģiskām vajadzībām. Tvaika apkures sistēmai un ventilācijas kaloriferiem tvaika spiedienu redukcijas vārstā samazina līdz 0,2...0,3 MPa un pievada tvaika sadales mezglam II, kurš aprīkots ar drošības vārstu un manometru. Ja spiediens sadales mezglā II palielinās virs 0,3 MPa, atveras drošības vārsti un liekais tvaiks izplūst atmosfērā. No sadales mezglā II tvaiku ievada apkures sistēmas stāvvados un sildķermējos, kā arī ventilācijas kaloriferos. (Tvaika apkures sistēmu nedrīkst savienot ar gaisa apkures un ventilācijas sistēmu kaloriferiem.)

Kondensāta vadā aiz sildķermēnu grupas uzstāda tvaika slēdzi 10. Lai no tvaika sadales mezgliem novadītu kondensātu, šos mezglus ar cauruļvadu starpniecību pievieno kondensāta vadam, kurā uzstāda tvaika slēdzi.



5.33. att. Augstspiediena tvaika apkures sistēma:

I — tvaika sadales mezgs; 2 — redukcijas vārsts; 3 — drošības vārsts; 4 — manometrs; 5 — apvadlinija; 6 — tvaika maģistrāle; 7 — tvaika stāvvads; 8 — ventilis;
9 — kompensators; 10 — tvaika slēdzi; II — tvaiks tehnoloģiskām vajadzībām; 12 — nekustīgs atbalsts; A — kondensāts uz katlu māju; B — tvaiks ($p=0,06 \text{ MPa}$) no katlu mājas.



5.34. att. Tvaika apkures sistēma ar tvaika un kondensāta līdzplūsmu:

1 — katls; 2 — tvaika vads; 3 — kondensāta vads; 4 — kondensāta tvertne;
5 — tvaika slēdzis; 6 — atgaisošanas caurule; 7 — sūknis.

Lai kompensētu tvaika un kondensāta vadu pagarinājumus, kuri rodas temperatūras paaugstināšanās dēļ, cauruļvados ierīko kompensatorus. Augstspiediena tvaika apkures sistēmās pirms un aiz katra sildķermēņa uzstāda ventīlus. Ja tvaika apkures sistēmā uzstādīti pagriežņi, tad starp korpusu un nogriežamo daļu nogulsnējas sīkas sālu daļīnas, kuras vienmēr satur tvaiki, un pagriežņi drīz vien nedarbojas, tāpēc tvaika apkures sistēmās pagriežņu vietā uzstāda ventīlus.

Augstspiediena tvaika apkures sistēmās tvaiks tuvāk izvietotajos sildķermēnos ieplūst ar lielāku spiedienu nekā attālāk esošajos sildķermēnos. Daļa tvaika no tuvākajiem sildķermēniem var noplūst kondensāta vadā, aizsprostojoj eju kondenšātam no attālākajiem sildķermēniem un tādējādi pasliktinot to siltumatdevi.

Lai novērstu šādu parādību, ierīko sistēmas ar tvaika un kondensāta līdzplūsmu (5.34. att.). Tādas sistēmas var lietot, ja tvaika spiediens pārsniedz 0,03 MPa.

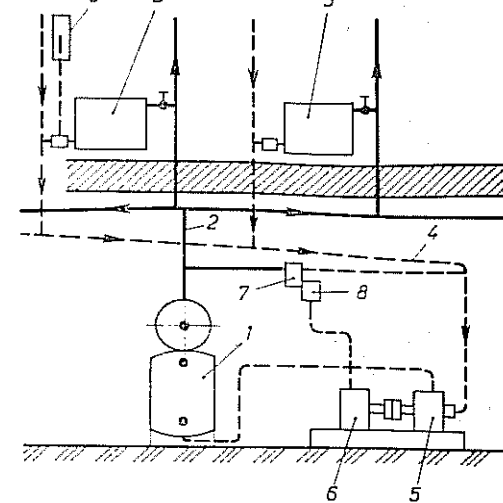
Augstspiediena tvaika sistēmās kondensāta spiediens kondensāta vados bieži pārsniedz atmosfēras spiedienu, bet temperatūra ir augstāka par 100°C . Samazinot spiedienu, kondensāts vārās un izdala otrreizējās vārišanās tvaiku. Lai iegūtu šādu tvaiku, uzstāda speciālu tvertni-separatori, kurā ievada augstas temperatūras kondensātu. Daļa kondensāta no jauna pārvēršas tvaikā, kuru var izmantot dažādām vajadzībām (piemēram, zems piediena apkures sistēmās).

Augstspiediena tvaika apkures sistēmās, tvaikam plūstot pa cauruļvadiem, ievērojami mainās tvaika spiediens un blīvums. Nemot vērā šo apstākli, aprēķinos katram tvaika vada posmam pieņem blīvumu, kas atbilst vidējam tvaika spiedienam posmā.

5.4.4. Vakuum tvaika apkures sistēmas

Kā jau minēts, viens no tvaika apkures sistēmu būtiskākajiem trūkumiem ir paaugstināta sildķermēju temperatūra. Šis trūkums nepieciešams vakuum tvaika apkures sistēmām (5.35. att.), kurās uztur spiedienu, kas zemāks par atmosfēras spiedienu (kā zināms, samazinot tvaika spiedienu, paaugstinās tā temperatūra). Vakuumu radīšanai no sistēmas ar vakuum-sūknī nosūc kondensātu. Lai nerastos piesūces, sistēmām jābūt hermetiskām, ko nodrošina augstas kvalitātes montāža. Sistēmās lieto atvieglota tipa sildķermēņus. Aiz katras sildķermēņa uzstāda termiskas darbības kondensāta atdalītāju, kas laiž cauri ūdeni un gaisu, bet aiztur tvaiku. Tas viss ievērojami sarežģī sistēmas montāžu un ekspluatāciju.

Vakuum tvaika apkures sistēmas lieto daudzstāvu ēkās, kurās ir paaugstinātas sanitāri higiēniskās prasības un kurās liela statiskā spiediena dēļ ūdens apkures sistēmas ir jādala vairākās zonās.



5.35. att. Vakuum tvaika apkures sistēma:
1 — zems piediena tvaika katls; 2 — tvaika vads;
3 — sildķermēji; 4 — kondensāta vads; 5 — va-
kuumsūknis; 6 — elektromotors; 7 — regulators;
8 — slēdzis; 9 — termostats.

5.4.5. Tvaika apkures sistēmu elementi

Tvaika apkures sistēmās lieto regulēšanas un kontroles armatūru: tvaika slēdzus, kondensāta tvertnes, drošības un redukcijas vārstus, ventīlus, manometrus, kompensatorus.

Tvaika slēdzi. Kondensāta novadīšanai augstspiediena tvaika apkures sistēmās lieto dažāda tipa slēdzus (kondensāta atdalītājus).

Termodinamiskais tvaika slēdzis darbojas normāli, ja spiediens pirms tā ir ne mazāks par 0,1 MPa un pretspiediens ne pārsniedz 50%. Ja tvaika spiediens mazāks nekā 0,1 MPa, lieto tvaika slēdzus ar apgrieztu pludiņu.

Kondensāta novadīšanai gadījumā, kad tvaika slēdzi remontē, jāparedz apvadlīnija.

Par tvaika slēžiem dažreiz izmanto diafragmas, kuru darbība pamatojas uz to, ka, pastāvot nemainīgam spiedienam pirms un aiz diafragmas, caur diafragmu izplūst kondensāts un tā aiztur tvaiku. Lai diafragmas atvērums neaizsērētu, pirms tās uzstāda metāla sietu vai otru lielāku diametra diafragmu. Diafragmas tvaika slēžus izgatavo no nerūsējošā tērauda.

Kondensāta tvertne. Tā jāaprīko ar hermētiski noslēdzamu tīrišanas līku, pārplūdes cauruli un ūdens līmerīga rādītāju.

Zemspiediena tvaika apkures sistēmās kondensāta tvertnes tilipumu pieņem vienādu ar kondensāta daudzumu, kurš izdalās sistēmā vienas stundas laikā.

Sūknis kondensāta pārsūknēšanai. Zemspiediena tvaika apkures sistēmās kondensāta pārsūknēšanai no kondensāta tvertnes uz katlu uzstāda sūkni, kura ražīgumu pieņem vienādu ar kondensāta daudzumu, kas izdalās 2 stundu laikā.

Lai kondensāts sūces vadā nevārītos, sūknis jāuzstāda zemāk par kondensāta zemāko līmeni tvertnē, turklāt kondensāta staba spiedienam no tvertnes dibena līdz sūknja centram jābūt lielākam par sūces vada pretestību. Ja kondensāta temperatūra $t_k = 70^{\circ}\text{C}$, sūkni novieto par 0,5 m zemāk, nekā atrodas kondensāta tvertne.

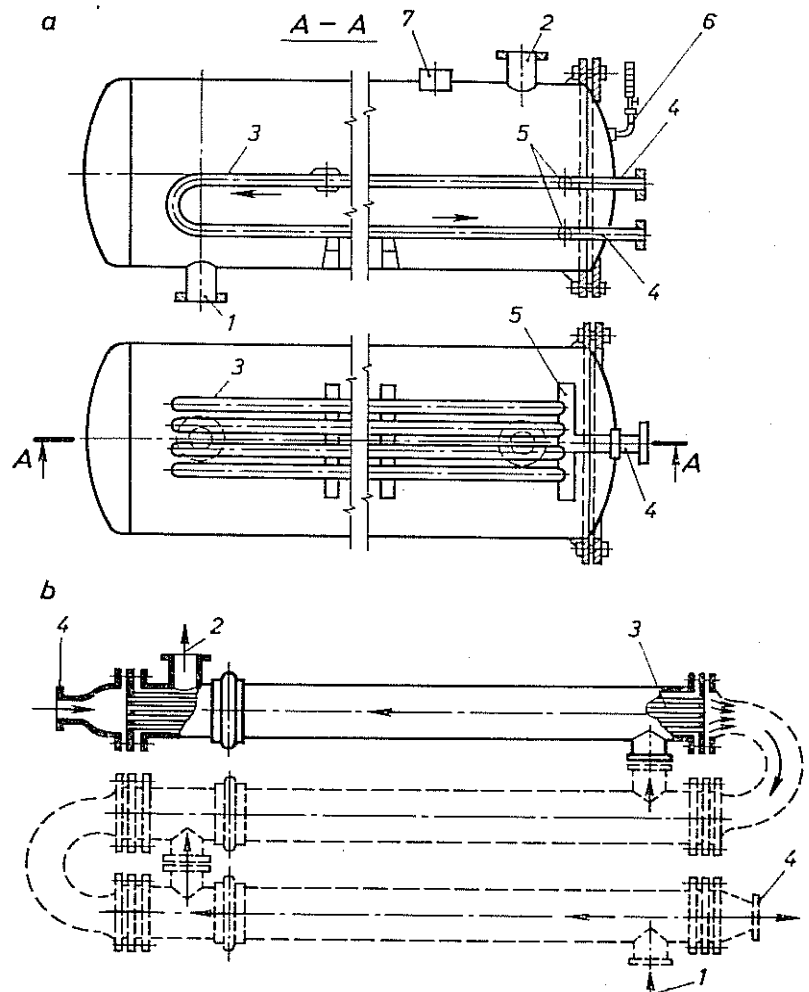
Drošības ierīce. Lai tvaika spiediens katlā nepaaugstinātos virs projekti paredzētā spiediena, zemspiediena tvaika apkures sistēmā uzstāda hidraulisko slēdzi vai pašpieslipējošu bezsviru drošības vārstu. Vārstu uzstāda cauruļvadā, pa kuru tvaiku izvada no katla.

Lai pazeminātu tvaika spiedienu līdz nepieciešamam lielumam (parasti 0,3 MPa), augstspiediena tvaika apkures sistēmā lieto redukcijas vārstus, kuros tvaiku droselē, t. i., samazina tā plūsmas šķērsgriezumu. Parasti lieto atsperes tipa redukcijas vārstus.

Augstspiediena tvaika apkures sistēmās lieto sviras tipa drošības vārstus, kurus uzstāda arī tvaika sadales mezglos aiz redukcijas vārsta.

5.5. CENTRALIZĒTĀS UN DECENTRALIZĒTĀS ŪDENS-ŪDENS UN TVAIKA-ŪDENS APKURES SISTĒMAS

Konstruktīvi ūdens-ūdens un tvaika-ūdens apkures sistēmas var būt veidotas pēc jebkuras no apskatītajām ūdens apkures sistēmu shēmām, tikai ar to atšķirību, ka apkures sistēmā cirkulējošais ūdens tiek sakarsēts virsmas (caur sieniņu) siltum-



5.36. att. Virsmas tipa ūdens sildītāji:
 a — ietilpīgs jeb lēnas darbības sildītājs; b — ātras darbības sildītājs; 1 — sekundārā siltumnesēja ieplūdes išcaurule; 2 — sekundārā siltumnesēja izplūdes išcaurule; 3 — sildvirsmas caurules (glodene); 4 — primārā siltumnesēja ieplūdes un izplūdes išcaurules; 5 — kolektori; 6 — manometra pievienošanas išcaurule; 7 — drošības vārsta pievienošanas išcaurule.

apmaiņas aparātos, kurus sauc arī par ūdens sildītājiem. Atšķiribā no virsmas tipa siltumapmaiņas aparātiem ir arī sajaukšanas tipa aparāti, piemēram, elevatori.

Virsmas tipa ūdens sildītājus, kurus lieto ūdens sakarsēšanai apskatāmajās apkures sistēmās, iedala ietilpīgos jeb lēnas darbības sildītājos (5.36. att. a) un ātras darbības sildītājos (5.36. att. b). Siltuma atdevējs ir ārējo siltumtīklu kārtas ūdens vai tvaiks.

Ietilpīgā jeb lēnas darbības ūdens sildītājā ietilpst liels ūdens daudzums (rezerve), kura sasildīšanai nepieciešamas vismaz vairākas stundas. Tāpēc šādus ūdens sildītājus izmanto arī kā siltā ūdens uzglabāšanas rezervuārus sadzīves vajadzībām, piemēram, dušām u. c. Ietilpīgo ūdens sildītāju hidrauliskā pretestība ir maza, un tāpēc tos lieto sistēmās ar dabisko cirkulāciju.

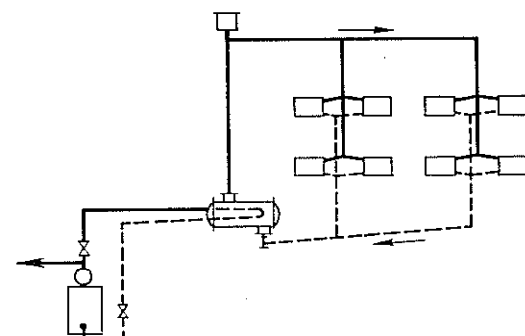
Apkures sistēmās ar piespiedu cirkulāciju lieto ātras darbības ūdens sildītājus. Ūdens sasilst laikā, kas vajadzīgs tā izplūšanai caur sildītāju.

5.37. attēlā parādīta tvaika-ūdens apkures sistēma ar dabisko cirkulāciju. Tvaiku ūdens sasildīšanai sagatavo katlā un pa tvaika vadu padod siltumapmaiņas aparātā (ietilpīgā ūdens sildītājā).

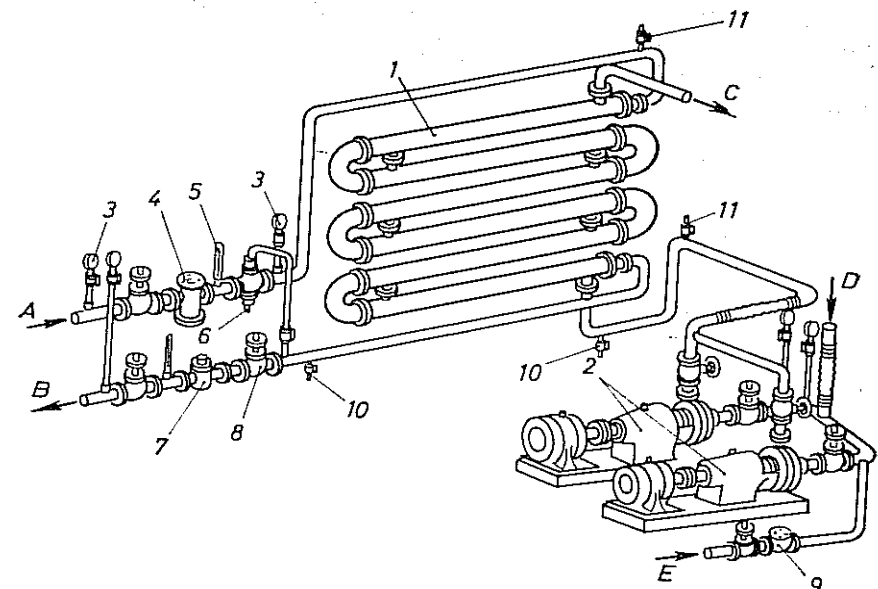
Tvaika-ūdens apkures sistēmas bieži lieto tajos gadījumos, kad objektā ir vēl citi patēriņtāji, kuru vajadzībām izdevīgāk uzstādīt tvaika katlus, kā arī, protams, tad, ja ir centralizēta tvaika apgādes sistēma, bet tvaika apkures sistēmu lietot nedrīkst.

5.38. attēlā parādīts piespiedu cirkulācijas ūdens apkures sistēmas siltummezgls ar ātras darbības ūdens sildītāju.

Specifiskos gadījumos lieto decentralizētās ūdens-ūdens un tvaika-ūdens apkures sistēmas. Sādu sistēmu lietošana sais-



5.37. att. Tvaika-ūdens apkures sistēmas shēma.



5.38. att. Ūdens-ūdens apkures sistēmas siltummezgla shēma:
 A — no siltumtīkliem; B — uz siltumtīkliem; C — uz apkures sistēmu; D — no apkures sistēmas; E — ūdensvads; 1 — ātras darbības siltumapmaiņas aparāts; 2 — patēriņa regulators; 3 — manometrs; 4 — nešķīrumu uzkērājs; 5 — termometrs; 6 — ūdens mēriņjs; 8 — aizbūdzis; 9 — vienvirziena vārstis; 10 — iztukšošanas krāns; 11 — krāns.

tīta ar augstas temperatūras siltumtīklu siltumnesēja pievadišanu pēc iespējas tuvāk sildķermeņiem. Tas dod iespēju samazināt cauruļu diametru, jo ar paaugstinātu ātrumu var pārvietot vairāk siltuma saturošu primāro siltumnesēju.

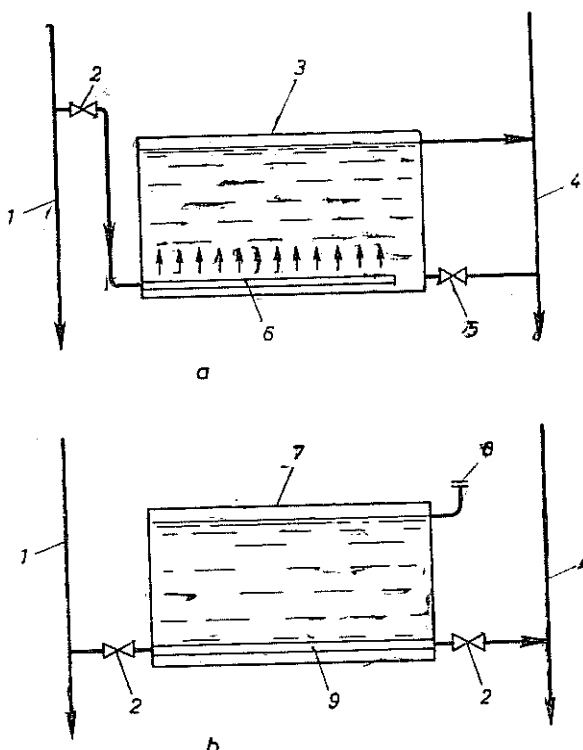
Decentralizētās ūdens-ūdens apkures sistēmas lieto bezspiedienā tērauda vai keramikas sildķermeņus. Sādus sildķermeņus piepilda ar ūdeni (eļļu), kas sasilst no glodenēs, pa kuru plūst augstas temperatūras ūdens (virsmas tipa siltumapmaiņas aparāts). Turklat ar iztvaikošanu no ūdens virsmas var palielināt telpas gaisa mitrumu. Pievadītajam siltumtīklu ūdenim keramikas blokos tad var būt 110°C , tērauda aparātos — 130°C . Turklat sildķermeņu virsmas temperatūra nepārsniedz 95°C .

Pie virsmas tipa siltumapmaiņas aparātiem pieder arī atgaisotie (vakuumizētie) plānsienu termosifonu sildķermeņi. To darbība balstās uz fizikāliem procesiem, kuros uz aparāta lejasdaļā izvietotās karstas glodenēs šķidrums iztvaiko, bet tvaiks kondensējas uz tērauda sieniņām augšpusē.

Decentralizētās ūdens-ūdens apkures sistēmās lieto arī sajaukšanas tipa siltumapmaiņas aparātus, kad šādu apakšsistēmu atpakaļgaitas ūdenim piejauc turpgaitas karsto ūdeni (piemēram, paaugstina ūdens temperatūru no 70°C līdz 105°C). Sajaukšana notiek ar diafragmu, slēgposmu, speciālu sajaučēju vai sildķermenī ievietotu perforētu kolektoru palīdzību.

Sādas sistēmas netiek plaši izmantotas, jo rodas grūtības ar augstas temperatūras caurulvadu izvietošanu telpās, arī montāža un regulēšana ir sarežģīta.

Decentralizētās tvaika-ūdens apkures sistēmās ūdeni sakarsē ar tvaiku tieši sildķermenējos (5.39. att.).



5.39. att. Decentralizētās tvaika-ūdens apkures sistēmas ar radiatoriem:
a — zem paaugstināta spiediena; b — zem atmosfēras spiediena;
1 — tvaika stāvvads; 2 — tvaika ventils; 3 — ķuguna
radiators; 4 — kondensāta stāvvads; 5 — ventils; 6 —
perforēta caurule; 7 — tērauda radiators; 8 — īscaurule ūdens
uzpildīšanai; 9 — ūdens sildcaurule.

Tā, piemēram, konstrukcijā ar sajaukšanas tipa siltumapmaiņas aparātiem lieto standarta čuguna radiatori. To apakšējā daļā iemontē perforētu cauruli, pa kuru ievada tvaiku (5.39. att. a). Normālā ekspluatācijā tvaika kondensāts aizpilda radiatoru līdz pārplūdes vada līmenim. Nepieciešamo ūdens temperatūru uztur, regulējot tvaika padevi pa vadu, kuru pievieno stāvvadam nedaudz virs radiatoria augšējās daļas līmeņa. Nepieciešamības gadījumā ūdeni no radiatora izlaiž kondensācijas stāvvadā caur ventili 5.

Konstrukcijā ar virsmas tipa siltumapmaiņas aparātu (5.39. att. b) sildķermenēja apakšējā daļā ir iebūvēta caurule, pa kuru plūst tvaiks. Šādu sildķermenī uzpilda ar ūdeni pa augšpusē novietotu īscauruli. To sauc par bezspiediena tērauda sildķermenī, jo ūdens tilpums atrodas zem atmosfēras spiediena un to izgatavo no tērauda.

Decentralizētu tvaika-ūdens apkures sistēmu priekšrocības salīdzinājumā ar parastajām ūdens apkures sistēmām ir tās, ka samazināts metāla patēriņš un zemāka sildķermenēja virsmas temperatūra (kā zināms, tvaika apkures sistēmas tā ir 100°C un augstāka).

Šo sistēmu trūkumi ir sarežģīta regulēšana, troksnis un hidraulisko triecienu iespējamība sildķermenējos. Plašu lietojumu decentralizētās tvaika-ūdens apkures sistēmas nav ieguvušas.

5.6. GAISA APKURES SISTĒMAS

Gaisa apkure — viens no visveicākajiem telpu apsildes pārņemieniem. Sasildīta gaisa izmantošana ēku apkurei bija pazīstama jau pirms Kristus dzimšanas.

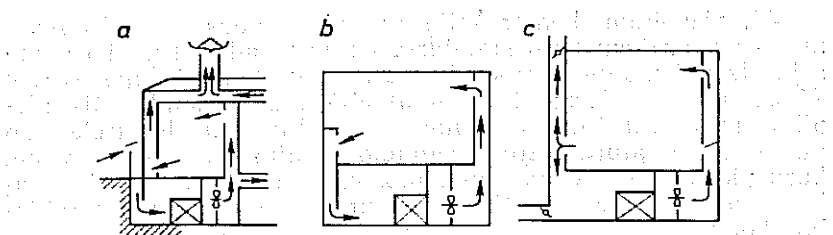
Mūsdienās gaisa apkuri lieto sabiedrisko, ražošanas un pāllīgtelpu apsildei, kā arī dzīvojamās ēkās, ievadot telpā gaisu ar nepieciešamīgo temperatūru.

Gaisa apkures sistēmās siltumnesējs ir gaisss. To sasilda siltumapmaiņas iekārtā, kurā siltumavots var būt ūdens, tvaiks, gāzes, silts, bet piesārņots gaisss no tehnoloģiskām iekārtām utt.

Gaisa apkures sistēmas, tāpat kā citus apkures veidus, iedala pēc būtiskākām pazīmēm.

Atkarībā no gaisa kustības ierosinātāja izšķir sistēmas ar gaisa dabisko cirkulāciju un sistēmas ar mehānisko ierosmi, lietojot ventilatoru.

Atkarībā no gaisa sagatavošanas, t. i., sasildīšanas vietas izšķir vietējās un centrālās sistēmas. Vietējās sistēmās gaisa sasildīšana un sadale notiek tieši apsildāmā telpā, izmantojot attiecīgus agregātus. Centrālajās sistēmās gaisu sasilda



5.40. att. Gaisa apkures sistēmas:
a — caurplūdes; b — recirkulācijas; c — kombinētā.

kopīgā iekārtā un pa gaisa kanāliem padod telpā (izvada dažādos punktos) vai vairākās telpās (arī dažādos stāvos).

Gaisa apkures sistēmas var veikt tikai apkures funkcijas vai arī vienlaikus izpildīt ventilāciju. Pirmajā gadījumā tās parasti sasilda tikai telpas gaisu, t. i., notiek pilnīga recirkulācija, otrajā gadījumā tiek sasildīts tikai āra gaisss vai arī paredzēta daļēja recirkulācija, kuras pakāpi nosaka sanitāri higiēniskās normas vai ražošanas procesa īpatnības. Tāpēc atkarībā no telpā ievadāmā gaisa kvalitātes var izdalīt sistēmas ar pilnu un daļēju recirkulāciju un caurplūdes sistēmas, kad telpā ievada tikai sasildītu āra gaisu (5.40. att.).

Kā jau teikts, primārais siltumnesējs var būt ūdens, tvaiks utt. Tāpēc literatūrā var sastapties ar dažāda nosaukuma gaisa apkures sistēmām, piemēram, tvaika-gaisa, ūdens-gaisa utt.

Sistēmās ar pilnu recirkulāciju sildītājā sasildītais gaisss ar ventilatoru pa kanāliem tiek ievadīts telpā. Sei tas atdod siltumu, kompensējot telpas siltuma zudumus, un pēc tam pa kanāliem atgriežas sildītājā. Sādi cirkulējošā gaisā uzkrājas kaitīgie izdalījumi un telpas sanitāri higiēniskais stāvoklis palielinās. Pilnas recirkulācijas sistēmām ir raksturīga augsta ekonomiskā efektivitāte, bet zemi sanitāri higiēniskie rādītāji. Šādu apkuri plaši lieto sabiedriskās un administratīvās ēkās kā dežūrapkuri, t. i., ārpus darba laika, kā arī noliktavās, saimniecības un citās telpās, ja nav uzstādītas speciālas prasības ventilācijai.

Caurplūdes sistēmās āra gaisu no ieņemšanas šahtas ar ventilatoru izvada caur sildītāju un pa kanāliem padod telpā. Sei tas atdod siltumu, kompensējot telpas siltuma zudumus, kā arī veic galveno caurplūdes sistēmas uzdevumu — asimile kaitīgos izdalījumus telpā un tos izvada ārā caur noplūdes šahtu. Caurplūdes sistēmām salīdzinājumā ar pilnas recirkulācijas sistēmām ir augsti sanitāri higiēniskie rādītāji, bet jo lieli siltuma energijas zudumi, kura tiek aizvadīta ar izlietoto gaisu.

Atšķirībā no iepriekšējām sistēmām daļējas recirkulācijas sistēmās iepriekš aprēķinātu (saskaņā ar sanitāri higiēniskām normām un ražošanas procesa prasībām) gaisa maisijumu sasilda gaisa sildītājā. Vienu daļu no telpā ievadītā gaisa pa noplūdes šahtu izvada ārā, bet otru daļu no ievadītā gaisa sajauc ar svaigo āra gaisu. Sādas sistēmas ekonomiskuma pakāpe ir atkarīga no telpā pieļaujamās kaitīgo izdalījumu koncentrācijas, t. i., maksimāli pieļaujamā recirkulācijas gaisa daudzuma.

No sanitāri higiēniskā un tehniski ekonomiskā viedokļa vispilnīgākā ir gaisa apkures sistēma ar izlietotā gaisa siltuma rekuperāciju vai reģenerāciju (sk. II. daļa 6.3.4. sadaļu).

Ja ventilācijai nepieciešams mazāks gaisa daudzums nekā gaisa apkurei, tad lieto kombinētās sistēmas. Tās ir sevišķi ertas telpām ar mainīgu gaisa apmaiņas biežumu un mainīgiem siltuma izdalījumiem, piemēram, teātriem, kultūras namiem, rūpniecības telpām, kurās strādā maiju darbu.

Laikā, kad telpās nav cilvēku un iekārtas nestrādā ar pilnu jaudu vai telpās ir maz cilvēku, var būt nepieciešama kā apkure, tā arī ventilācija. Kad siltuma izdalījumi ir maksimālie, tad ir nepieciešama ventilācija. Kombinētās sistēmas attiecīgi var strādāt trīs atšķirīgos režīmos: ar pilnu recirkulāciju, kā kombinētā sistēma, kā caurplūdes sistēma.

Gaisa apkures sistēmas samērā plaši lieto rūpniecības un lauksaimniecības ēkās, jo to izbūvei jāpatērē 10...12 reižu mazāk metāla nekā ūdens un tvaika apkures sistēmām. Tām ir daudz mazāka siltuma inerce: tās ātri normalizē telpas temperatūru. Telpās ar lielu grīdas laukumu gaisa apkure nodrošina vienmērīgāku temperatūras sadalījumu nekā pie ārsienām novietoti sildķermeņi.

Centrālajās sistēmās gaisa padevi telpā var realizēt pa sevišķi izvietotiem vadiem, kuriem attiecīgās vietās ir atvērumi, vai koncentrēti — no viena punkta.

Jautājums par koncentrētu gaisa padevi nav mazsvarīgs, jo iespēja neierīkot kanālus padara sistēmu daudz ekonomiskāku. Eksperimentos ir noskaidrots, ka var panākt vienmērīgu temperatūras sadalījumu telpā, realizējot gaisa padevi ar kompaktām un vēdeklveida strūklām. Sādas sistēmas ar koncentrētu gaisa padevi plaši lieta apjomā rūpniecības un sabiedriskās ēkās — kinoteātros ar 300...600 skatītāju vietām, peldbaseinīs, vingrošanas, tirdzniecības un izstāžu zālēs. Nemot vērā aerodinamikas kā praktiskas zinātnes nozares īpatnības, vislabākos rezultātus iegūst, modelējot dabā vai laboratorijas apstākļos konkrētos objektus.

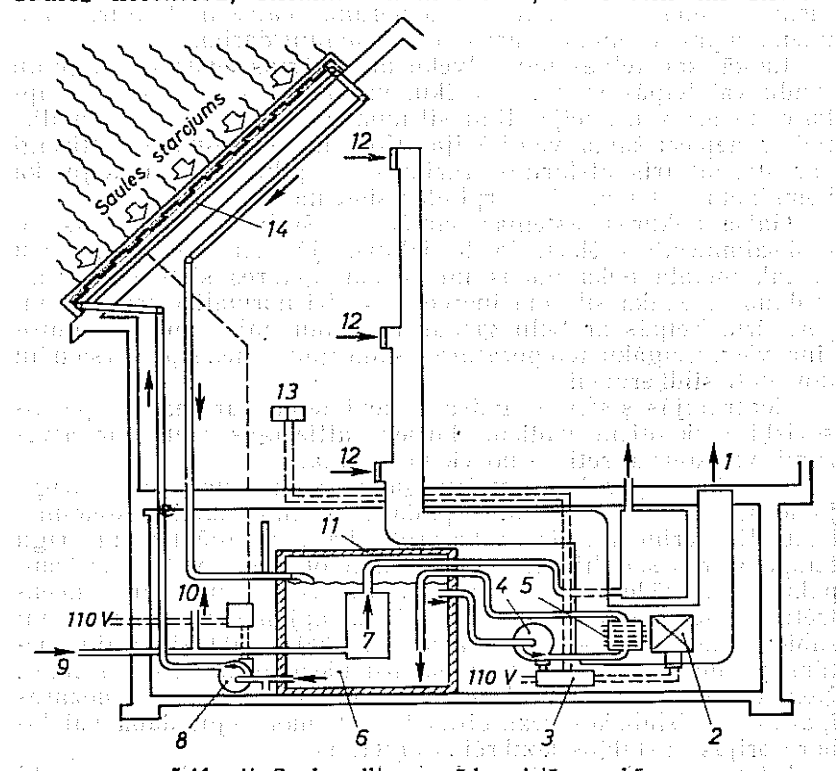
Interesants ir samērā plaši lietotais paņēmiens (sevišķi Francijā), kad siltā gaisa padevi organizē tā, ka tas vienmērīgi «izklājas» zem griestiem. Šajā gadījumā griesti kļūst it kā par starojošu paneli.

Gaisa apkures trūkums ir lielais elektroenerģijas patēriņš ventilatoru piedziņai. Turklat ventilatori strādā ļoti smagā režīmā, jo ziemā tos vairākus mēnešus nedrīkst izslēgt ne dienu, ne nakti.

5.7. SAULES ENERĢIJAS IZMANTOŠANA ĒKU APKURĒ

Saules energiju var izmantot apkures un karstā ūdens apgādes vajadzībām. Agrāk uzskatīja, ka Saules energiju izdevīgi izmantot tikai zemēs ar siltu klimatu, bet tagad ir pierādīts, ka vidēja platuma grādos ar samērā lielu apmākušos dienu skaitu (Francijā, Vācijā, Anglijā un pat Zviedrijā) arī var izmantot Saules energiju.

Apkures sistēma, kurā izmanto Saules energiju, sastāv no saules kolektora, siltuma akumulatora, caurulēm un siltum-



541.att. Saules siltumiapgādēs sistēmas shēma:

nesēja cirkulācijas sūkņa (5.41. att.). Par siltumnesēju visbiežāk izmanto ūdeni; var būt arī sistēmas, kurās lieto, piemēram, etilēnglikolu, gaisu. Saules kolektorā uzkrāto Saules enerģiju ar siltumnesēja starpniecību pievada apkures sistēmai (karstā ūdens apgādes sistēmai) vai akumulatoram, kurš veidots kā ūdens tvertne vai kamara ar akmeņiem, betona blokiem un citiem siltumu akumulējošiem materiālieim.

Saules enerģija ir pietiekoša, tomēr Saules starojuma plūsmas blīvums ir samērā mazs (retos gadījumos lielāks par 1000 W/m^2). Tas nozīmē, ka, lai savāktu pietiekošu enerģijas daudzumu, nepieciešams liela laukuma kolektors. Saules enerģijas siltumapgādes sistēma nodrošina tikai daļu no maksimālā siltuma patēriņa (30...70%), tāpēc papildus paredz siltuma ģeneratoru, kurā izmanto elektroenerģiju vai parasto kurināmo. Visērtākie ir elektrosildītāji, var izmantot arī gāzes ūdenssildītājus. No šāda viedokļa jebkuru parastu karstā ūdens apgādes sistēmu izdevīgi aprīkot ar lētiem saules ūdenssildītājiem, kas paredzēti ūdens iepriekšējai sasildīšanai.

Ūdens apkures sistēma ar Saules energiju būtībā ir palie- linātas jaudas karstā ūdens apgādes sistēma. Tādu sistēmu var veidot arī kā gaisa apkures sistēmu. Ūdens apkures sistēmās kolektora laukums parasti ir vienāds ar pusi no apkuriņāmo telpu platības; karstā ūdens rezervi paredz 80...100 l uz kolektora virsmas laukuma 1 m². Tāda sistēma var būt ap- rēķināta, izmantojot jebkura tipa sildkermeņus, kas piemēroti zemas temperatūras ūdens apkures sistēmām. Visizdevīgākā ir gridas apsildes sistēma, jo tajā lieto ūdeni ar temperatūru nedaudz vīrs 30 °C.

Tiešai telpu apkurei gaisu var sildīt plakanos saules kolektorus. Sajā gadījumā ir problēmas ar siltuma akumulatoru; ļoti ērti šim mērķim var izmantot oļu vai šķembu bērumus. Šādu gaisa apkures sistēmu pozitīva īpašība ir tā, ka nav iepējama to aizsalšana. Parasti, iestājoties aukstumam, ūdens no kolektora iāizlej vai tam iānievieno antisfrīzs.

Viena no Saules radiācijas būtiskām pazīmēm ir tās periodisksums un nepastāvīgums. Diennakts enerģijas patēriņam jāatjaunojas (jāuzpildās) 6...8 stundu laikā; tātad nepieciešams nodrošināt enerģijas akumulēšanu. Tā, piemēram, karstā ūdens rezerve jāparedz vairākām diennaktīm, rēķinoties ar mākoņainām dienām. Parasti izmanto tvertnes ar divu dienu rezervi.

Saules enerģiju var izmantot daudzstāvu ēku apkurei, pie mēram, Parīzē ir uzbūvēta 50 dzīvokļu piecstāvu ēka ar karstā udens apgādes sistēmu, kas izmanto Saules enerģiju. Par siltumnesēju sistēmā lietots antifrizs. Saules kolektori izvietoti uz mājas jumta, tie veidoti no melnā krāsā nokrāsotām metāla caurulēm, kuras pārklātas ar stiklu. Vasarā, ja āra gaisa

5.7. tabula

Saules radiācija (nešķīkledēta) Latvijā jūlijā mēnesī
ar skaidrām debesim, W/m^2

Joslus vidus platuma grādi	Dienasstundas												Dienasstundas summarī radiācija	Dienasstundas vidējā radiācija
	3...4	4...5	5...6	6...7	7...8	8...9	9...10	10...11	11...12	12...13	13...14	14...15		
<i>Uz horizontālām dienvidu virzienā orientētām virsmām</i>														
56	62	140	237	359	482	572	650	691	6386	327	1456	327	1456	327
58	73	154	244	356	468	565	637	670	6362	325	1438	325	1438	325
<i>Uz vertikālām dienvidu virzienā orientētām virsmām</i>														
56	—	—	—	—	—	83	207	327	428	479	3048	187	1442	187
58	14	2	—	—	—	—	—	—	—	—	—	—	—	—
<i>Dienasstundas</i>														
56	—	—	—	—	—	—	—	—	—	—	—	—	—	—
58	—	—	—	—	—	—	—	—	—	—	—	—	—	—
20	16	21	19...20	18...19	17...18	16...17	15...16	14...15	13...14	12...13	—	—	—	—
56	—	—	—	—	—	—	—	—	—	—	—	—	—	—
58	—	—	—	—	—	—	—	—	—	—	—	—	—	—

temperatūra ir 33°C un Saules radiācijas intensitāte 940 W/m^2 , ūdens kolektora sasilst līdz 76°C . Saules enerģijas izmantošanas sistēma jauj ietaupit 20% no ēkas gada siltuma patēriņa.

Seviški efektīvi Saules energiju var izmantot ūdens sildīšanai atklātos peldbaseinos, jo šajā gadījumā nav vajadzīgs akumulators. Tā, piemēram, Zviedrijā atklātā peldbaseina helioiekārtā nodrošina 70% no nepieciešamā siltuma daudzuma peldsezonas laikā.

Latvijas teritorijā, kura atrodas starp 56. un 58. platuma grādu (Rīga — 57°), novērotā vidējā Saules radiācija jūlijā mēnesī dota 5.7. tabulā.

Dzīvokļu apkures sistēmas diezgan plaši izmanto (apvienojot ar Saules siltumapgādes sistēmām vai patstāvīgi) siltuma sūknus. Par siltuma sūkni sauc saldējamo mašīnu, ar kuras palīdzību var iegūt karstu ūdeni vai gaisu no zemas temperatūras siltuma avotiem (āra gaiss, valējas ūdenskrātuves vai apakšzemes ūdens, mehāniski attīriti pilsētas kanalizācijas un rūpniecību noteikumi, Saules starojums un grunts).

Sildot siltuma sūkņa iztvaikotāju ar ūdeni, kura temperatūra nav zemāka par $+6^\circ\text{C}$, kondensatorā var sakarsēt ūdeni līdz $+61^\circ\text{C}$.

Siltuma sūkņa efektivitāti raksturo transformācijas koeficients

$$\epsilon = \frac{Q+N}{N}, \quad (5.29)$$

kur Q — iegūtais siltuma daudzums, kas atņemts zemas temperatūras siltuma avotam, kW;

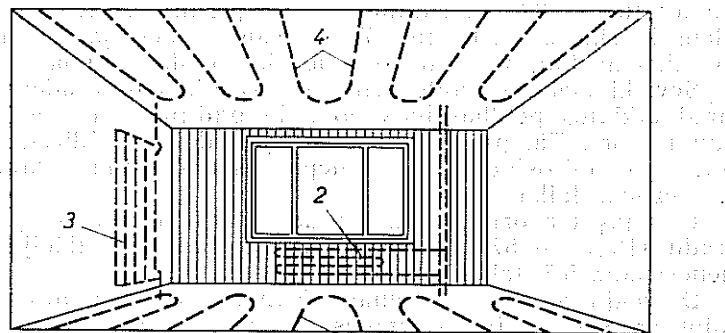
N — siltuma sūkņa patēriņtā elektroenerģija, kW.

Apkures sistēmas transformācijas koeficients ir 2...3.5. Tas liecina, ka ar siltuma sūkni var ievērojami samazināt apkurei patēriņto energiju.

Šādas sistēmas, kurās izmanto Saules energiju ūdens vai gaisa sildītāju darbināšanai, bieži sauc arī par «aktīvām saules sistēmām» atšķirībā no tā saucamās «pasīvās saules apkures», kura darbojas jebkurā Saules radiācijai pakļautā ēkā, t. i., tā ievērota, izdarot siltumtehniskos būvkonstrukciju aprēķinus. Sādu «pasīvās saules apkures» iespāidu var regulēt arī ar konstruktīviem elementiem, veicinot vai bremzējot siltumapmaiņas procesus.

5.8. STARU PANELU APKURES SISTĒMAS

Ir apkures sistēmu kopa, kuru galvenā pazīme ir sienās, giestos vai gridās iebūvēti, siltumu izstarojoši paneļi (5.42.att.), kurus sasilda ar kādu siltumnesēju. Visbiežāk siltum-



5.42. att. Paneļu izvietojums staru paneļu apkures sistēmā.

1 — grīda; 2 — zem. palodzes; 3 — starpsienā; 4 — griešos.

nesējs ir karsts ūdens, retāk — tvaiks vai karsts gaisss. Paneļu sildīšanai vispiemērotākie no tehniskā viedokļa ir elektrosildītāji. Sildošu griešu paneļu gadījumā 75% no telpas apkurei nepieciešamā siltuma tiek atdoti starojuma veidā, bet 25% — ar konvekciju; izvietojot paneļus grīdā, starojuma siltums sastāda 30...40%; vertikālo sienas paneļu siltumatdeve starojuma veidā sastāda 30...60%, turklāt tā pieaug, palielinoties sildvirsmas augstumam un temperatūrai. Tāpēc bieži šādas apkures sistēmas sauc par staru paneļu apkures sistēmām. 1907. gadā krievu inženieris V. Jahimovičs, nemit par pamatu prof. V. Capilina idejas, konstruēja praktiskas apkures sistēmas, kurās tērauda caurules iebūvēja sienās, griešos un grīdās, kā arī kolonnās, pilastros un pat kāpņu margās un statņos. Sādas sistēmas viņi nosauca par paneļu apkuri. Mūsu gadsimta 20. gados paneļu apkures sistēmas sāka lietot arī rietumos, kur tās sākumā sausa par staru apkures sistēmām.

Ieteicamās vidējās gaisa temperatūras, °C

Telpas nosaukums	Telpas gaisa temperatūra, °C	
	konvektīvā apkure	paneļu apkure
Vestibili, koridori, kāpņu telpas, veikalai u. tml.	12...16	8...14
Dzīvojamās un sabiedriskās telpas	18...20	16...18
Vannas istabas, ārstniecības telpas (operāciju zāles u. c.)	22...26	20...24

Paneļu apkures gadījumā norobežojošo konstrukciju un mēbeļu virsmas temperatūra ir par 2...4 °C augstāka nekā konvektīvā apkurē. Ir zināms, ka cilvēka labsajūta ievērojami uzlabojas, ja palielinās konvektīvi pārnestā siltuma daļa attiecībā pret izstaroto siltumu. Eksperimentāli ir noskaidrots, ka pārastajos apstākļos cilvēks jūtas labi, ja gaisa temperatūra telpā sienu paneļu apkures gadījumā ir +17,4 °C. Vēlamās gaisa temperatūras dotas 5.8. tabulā.

Maksimālai starojuma intensitātei dzīvojamās un sabiedriskās ēkās jābūt apmēram 12 W/m², bet rekomendējāmā paneļu virsmas temperatūra t_v , °C, atkarībā no to novietojuma ir šāda:

1 m augstā zonā virs grīdas līmeņa: dzīvojamās un sabiedriskās ēkās bērnu iestādēs un slimnīcas	95
Sienās un starpsienās 1 m augstumā un augstāk virs grīdas līmeņa	85
Pie griešiem telpā, kuras augstums, m, ir 2,5...2,8	45
2,9...3	28
3,1...3,4	30
Uz grīdas virsmas: dzīvojamās ēkās	33
bērnu iestādēs	25
peldbaseinošos	24
uz grīdas virsmas	34

Komunālos un rūpniecības uzņēmumos, vingrošanas zālēs, restorānos, ēdinācās, stacijās, izstāžu zālēs 1 m augstumā virs grīdas līmeņa uzstādītu paneļu vidēja virsmas temperatūra ir atļauta līdz 15 °C. Siltumnesējs betona paneļos galvenokārt ir karsts ūdens (115 °C; biežāk 95 °C), jo tas izraisa mazāku tērauda cauruļu koroziju nekā tvaiks. Lai samazinātu cauruļvadu koroziju, kuri lielākoties ir monolīti savienoti ar būvkonstrukciju, sevišķa uzmanība jāpiešķir sistēmas atgaisošanai, ūdens ātruma paaugstināšanai un tā kīmiskai apstrādei, aizsargājošu pretkorozijas pārklājumu lietošanai, cauruļvadu slīpuma ievērošanai attiecībā pret gaisa savācējiem un gaisa aizvadītājiem, sistēmas tukšošanai un uzpildīšanai.

Lietojot par siltumnesēju karstu gaisu, vienkāršojas tā transportēšana, sistēmas montāža un remonts. Tomēr gaisa izmantošanas gadījumā ir jānodrošina būvkonstrukcijās izvietototo kanālu hermetiskums.

Betona paneļu elektroapsildi var realizēt bez sevišķām grūtībām (iebetonē vadītājus ar attiecīgi aprēķinātu pretestību). Vēl vienkāršāks paņēmiens ir telpu ārejo konstrukciju iekšējo virsmu noklāšana ar elektīribu vadošu gumiju ($t \approx 40 °C$). Tomēr, to lietojot, telpā izdalās smaka. Elektīribu kā siltumenerģijas avotu var lietot tikai rājonos ar lētu elektroenerģiju.

Karstu gāzi visbiežāk izmanto vietējos liesmu paneļos, kurus izvieto telpu augšējās zonās, apsildot lielus cehus, slimnīcu operāciju zāles, atklātās terases, kafejnīcas u. tml.

Rajonos ar bargu klimatu rekomendē ierīkot grīdas paneļu apkuri, bet rajonos ar izteiktu kontinentālu klimatu izdevīgi ierīkot griešu paneļu apkuri, tāpēc ka vasarā tādu sistēmu var darbināt ar aukstu ūdeni.

Apkures paneļi var būt iebūvēti, piemontēti un piekārti. Iebūvētie vai ar celtniecības konstrukcijām apvienotie paneļi paaugstina celtniecības industrializāciju, ekonomē vietu un uzlabo interjeru.

Paneļu apkures sistēmu priekšrocības:

- nodrošina augstus sanitāri higiēniskos rādītājus;
- industrializējamas;
- samazināta metālietilpība;
- pazeminātas izmaksas un montāžas darbietilpība;
- lielas konstruktīvas iespējas radīt komfortablus apstākļus dažādas platības un tilpumu telpās.

Paneļu apkures sistēmu trūkumi:

- liela paneļu siltumietilpība, kas apgrūtina to individuālās siltumatdeves regulēšanu;
- atsevišķu sistēmas elementu remonta un nomaiņas grūtības.

5.9. ELEKTRISKĀ APKURE

Elektriskajai apkurei ir šādas priekšrocības: vienkārša ekspluatācija, iespēja pilnīgi automatizēt apkures sistēmas darbību un uzskaitīt patēriņtās energijas daudzumu, augsts lietderības koeficients, netiek piesārņota apkārtējā vide ar degšanas produktiem un kuriņāmā atkritumiem, tā nav atkarīga no kuriņāmā apgādes.

Pagaidām ar elektrisko apkuri aprīkot visas ēkas nav iespējams, jo elektroenerģija ir dārgāka nekā citi energijas veidi un tā ir deficitā.

Elektrisko apkuri izmanto vietās, kur ir grūtības ar kuriņāmā transportu, un rajonos, kur ir lētas elektroenerģijas pārpalikums.

Dažreiz elektrisko apkuri izmanto vietējai darbavietu apsilēdi lielos cehos (infrasarkanie starotāji). Ar šādu apkuri gaisa temperatūra telpā ir zemāka nekā konvektīvās apkures gadījumā, tāpēc siltuma energijas patēriņš samazinās apmēram par 30% salīdzinājumā ar ūdens apkuri.

Sildvirsmu augstās temperatūras dēļ elektrisko apkuri nedrīkst lietot telpās, kurās ir materiāli, kas augstā temperatūrā var veidot toksiskas vai sprāgststošas vielas, kā arī noliktavas, kur glabā degošas vai sprāgststošas vielas.

Elektriskās apkures sistēmas iedala šādās grupās:

- staru apkures sistēmas (izmanto reflektorus ar infrasarkanu starojumu);

staru-konvekcijs apkures sistēmas (izmanto elektroradiatorus, sienu elektropaneļus, elektību vadošas tapetes un krāsas);

gaisa apkures sistēmas (gaisu sasilda elektrokaloriferos).

Staru apkures sistēmas lieto gaišos infrasarkanos reflektorus (starojošās virsmas temperatūra ir līdz 2000°C), kuras vienlaikus izmanto telpu apkurei un apgaismošanai, un tumšos infrasarkanos reflektorus (starojošās virsmas temperatūra ir $300\ldots1100^{\circ}\text{C}$), kuri apgaismošanai nav paredzēti.

Gaišais reflektors ir speciāla elektrospuldze (jauda 250 un 500 W), kuras kolbas aizmugure pārkāta ar alumīnija kārtu starojuma koncentrēšanai $25\ldots30^{\circ}$ kūli.

Tumšais reflektors sastāv no sildspirāles, kas pārkāta ar elektrozolācijas slāni un ievietota metāla, kvārca vai keramikas caurulītē. Lai starojumu koncentrētu darba zonas virzienā, caurulīte aprikota ar paraboliskas formas atstarotāju. Tumšos reflektorus lieto telpās, kurās nav pieļaujama redzamā gaisma, piemēram, fotolaboratorijās, kinoteātros, kā arī gadījumos, ja apgaismojums traucē darbu.

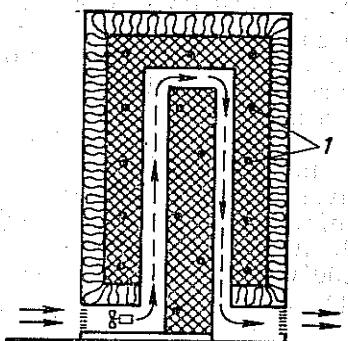
Diezgan plaši izplatītas elektriskās apkures sistēmas ir Rietumeiropas valstis, kur elektroenerģiju var izmantot nakts stundās pēc pazemināta tarifa, lietojot siltumu akumulējošus sildķermērus.

Piemēram, Vācijā naktī no pulksten 22 līdz 6 elektrības izmaksas pēc nakts tarifa sastāda 40...50% no izmaksām dienas laikā.

Siltumu akumulējoši sildķermēni sastāv no masīviem akmens vai kiegeļu blokiem, kuri ievietoti nedegoša materiāla apvalkā un no ārpuses apdarināti ar keramikas plāksnītēm vai kādu citu dekoratīvu materiālu (5.43. att.). Nakts stundās blokus sasilda ar elektrisko strāvu, bet dienā, analogi krāsnīm, tie atlod siltumu telpām.

Elektriskās apkures sistēmas pēdējos gados arvien plašāk lieto elektību vadošas tapetes un krāsas.

Elektrību vadošās tapetes sastāv no vairākām kārtām: iekšējā kārta izgatavota no elektību vadoša lokšņu kaučuka, kas no abām pusēm noklāts ar stikla šķiedras audumu un galos pievienots elektrodiem. Pie sienām piestiprinātus elementus no virspuses noklāj ar 50 mm biezū minerālvates vai cita analoga materiāla siltumizolācijas slāni. Elementa masa ir



5.43. att. Siltumu akumulējošs sildķermenis:
1 — sildēlements.

458 g/m², maksimālā temperatūra 120 °C, vidējā darba temperatūra 32...38 °C, uzstādītā jauda 193...255 W/m².

Ir izstrādātas elektrību vadošas krāsas, kuras elektriskās apkures sistēmās izmanto par sildelementu. So krāsu sastāvā ietilpst grafits, sodrēji un polimēru savienojumi. Tā kā elektrību vadoša krāsa ir melna vai peleka, to pārkāj ar kādu citu krāsu vai uzlīmē tapetes. Krāsas slānim pievieno divus horizontālus elektrodus — vienu pie grīdas, otru pie griestiem.

Plūstot elektrībai no viena elektroda uz otru, krāsa sasilst līdz 30...40 °C un izstaro telpā siltumtu. Viena m² krāsotās virsmas siltumatdevē ir 130...160 W/m², maksimālais spriegums — 40 V.

Elektriskās apkures sistēmas galvenais trūkums ir nepieciešamība uzstādīt samērā dārgus transformatorus. Tomēr kapitālieguldījumi šīs apkures sistēmas ierīkošanai ir apmēram 2 reizes mazāki nekā parastai ūdens apkures sistēmai ar radiatoriem.

Apkures sistēmas ar elektrību vadošu krāsu var lietot dzīvojamā, rūpniecības un lauksaimniecības ēku apkurei. So krāsu var izmantot aplēdojumu novēršanai uz lidostu skrejceļiem, tiltiem, televīzijas torniņiem, kā arī veidņu apsildei betonēšanas darbos ziemā.

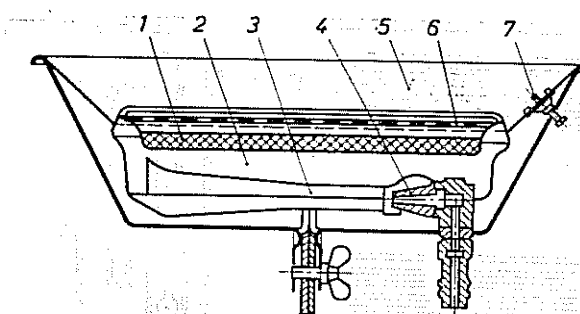
5.10. GĀZES APKURE

Gāzi plaši lieto kā kurināmo apkures katlos, rūpniecu krāsnīs, dzīvokļu pavardos, kā arī tieši telpu apkurei. Gāzi viegli pārvadīt lielos attālumos, tā sadeg pilnīgi, minimāli piesārņojot gaisu. Tomēr paredzams, ka gāzes kā kurināmā izmantošana pakāpeniski samazināsies, jo lietderīgāk gāzi izmantojot par izejvielu kīmiskajā rūpniecībā. Kurināsanai lieto dabisko un mākslīgo gāzi. Pēdējo iegūst no cietā un šķidrā kurināmā (piemēram, propāna C₃H₈ un butāna C₄H₁₀ maisījums). Tomēr gāze, kuru lieto dedzināšanai, ir kaitīga veselībai un sprādziennedroša.

Pēdējā laikā plaši izplatījušās gāzes staru apkures sistēmas ar infrasarkanajiem gāzes degļiem. Šīs sistēmas ir sevišķi efektīvas ražošanas telpās atsevišķu darba vietu lokālai apkurei. Infrasarkanās apkures gadījumā lielāko daļu siltuma izstaro degļu keramikas vai metāla uzgali, kas sakarsēti līdz 800...900 °C. Šādas apkures lietderības koeficients sasniedz 90...99%.

Gāzes degļus stiprina pie griestiem, fermām un sienām. Telpās ar griestu augstumu līdz 4 m atstatumam no gāzes degļiem līdz griestiem jābūt 0,3...0,4 m. Atstatumam starp gāzes degļiem un degošām konstrukcijām jābūt vismaz 1 m.

Infrasarkanā starojuma gāzes deglis redzams 5.44. attelā.



5.44. att. Infrasarkanā starojuma gāzes deglis:

1 — caurumota keramikas plāksne; 2 — sajaušanas kamera; 3 — inžektors-sajaučējs; 4 — uzgalis; 5 — reflektors; 6 — metāla slets; 7 — distances aizdedzes ietaise.

Infrasarkanojos degļos gāzes un gaisa maisījums izplūst caur keramikas plāksnes caurumiņiem un sadeg uz tās virsmas.

Gāzei sadegot, degšanas produkti izdalās tieši telpā, tāpēc ēkās ar gāzes apkuri jāparedz pieplūdes-noplūdes ventilācija, kurai telpā jānodrošina gaisa apmaiņa, lai tvana gāzes koncentrācija nebūtu lielāka par 6 mg/m³.

Gāzes apkures sistēmas siltumatdevi regulē, atslēdot daļu degļu (nav pieļaujama siltumatdeves regulēšana, mainot gāzes spiedienu).

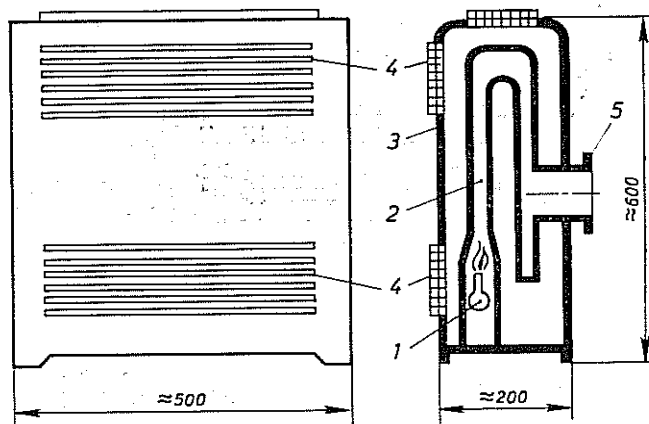
Lai palielinātu gāzes apkures sistēmas darbības drošumu, gāzes degļus aprīko ar ierīcēm, kuru uzdevums ir distances aizdedze, degšanas procesa kontrole un gāzes atslēgšana degļu bojājuma gadījumā.

Izmantojot gāzes infrasarkano apkuri, energijas patēriņš ir aptuveni par 40% mazāks nekā ar konvektīvo apkuri.

Gāzes apkures sistēmās izmanto arī konvektorus (5.45. att.), no kuriem gāzes degšanas produktus izvada dūmvadā. Konvektors sastāv no iekšējās un ārējās kameras. Iekšējā kamērā sādedzina gāzi, un kameras sienu temperatūra sasniedz 450 °C. Caur ārējo kamēru cirkulē gaisss, kas ieplūst kamērā un izplūst no tās caur speciālām restītēm. Gaisa cirkulācijas dēļ konvektora ārējās sildvirsmas temperatūra ir aptuveni 120 °C. Degšanas produktu aizvadišanas dūmvadi ievērojami sadārdzina gāzes izmantošanu, tāpēc gāzes konvektorus ēku apkurei izmanto samērā reti.

Gāzi dažreiz izmanto arī krāsns apkurei cietā kurināmā (ogļu, malkas, kūdras) vietā. Pārbūvējot krāsns gāzes apkurei, to rekonstruē atbilstoši šādām prasībām:

krāsns jāievada degšanas procesam nepieciešamais gaisa daudzums;



5.45. att. Gāzes apkures konvektors:

1 — deglis; 2 — siltumapgādītājs; 3 — dekoratīvs apvalks; 4 — restītes gaisa iepļūšanai un izplūšanai; 5 — degšanas produktu izvadišanas caurule.

dūmejās nedrīkst veidoties nevēdināmi posmi; kurtuves un dūmeju siltumu uztverošajām virsmām jānodrošina nepieciešamā siltumatdeve, lai, kurinot krāsnsi 1,5...2 stundas, dūmgāzu temperatūra pie dūmvada izejas nepārsniegtu 130°C ;

kurtuvei jāatrodas neapdzīvotā telpā.

5.11. APKURES SISTĒMU MONTĀZA, PĀRBAUDE UN APKALPOŠANA

Pēdējā laikā praktiski visas centralizētās apkures sistēmas montē no mezgliem un detaļām, kas izgatavotas rūpničās ar modernām darbmašīnām un plūsmas konveijeru tehnoloģiju. Montāzas darbu industrializācija uzlabo to kvalitāti, paaugstināja darba ražīgumu un saīsina montāzas termiņus.

Iepriekš sagatavotie mezgli un detaļas prasa lielu precīzitāti būvdarbos. Atkāpes no projekta nedrīkst pārsniegt ± 10 mm — attālumiem starp logu asīm un caurumiem, kas paredzēti stāvvadiem, ± 15 mm — pārsedžu atzīmēm, ± 20 mm — attālumiem starp sienām.

Darbu vadītājam vai inženierim, kas veic būves tehnisko uzraudzību, jāorientējas galvenajos apkures sistēmu montāzas noteikumos.

Cauruļvadiem jāatrodas 1...2 cm attālumā no apmetuma virsmas, tiem jābūt piestiprinātiem ar skavām, kas iecementētas kieģeļu vai betona sienā vai pieskrūvētas pie koka sienas. Vietas, kur cauruļvadi iet caur pārsedzēm un sienām, jāiecementē patrona no jumta skārda vai caurules gabala ar 1...1,5 mm lielu spraugu starp patronu un cauruļvadu, lai caurules izplešoties un saraujoties temperatūras izmaiņu ietekmē, varētu brīvi pārvietoties. Bēniņos cauruļvadi jāatbalsta uz kieģeļu stabījiem vai jāpiekar pie spārēm.

Ūdens un tvaika sistēmu sildķermenī hermētiskums pirms uzstādišanas jāpārbauda ar hidraulisko spiedienu, kas vienāds ar projektā paredzēto spiedienu plus 0,1 MPa. Sildķermenīus pie kieģeļu vai betona sienām piekar uz iecementētiem kronšteiniem, bet pie koka sienām tos pieskrūvē ar bultām, kas izlaistas cauri sienām. Lai varētu standartizēt cauruļvadu atzarojumu posmu garumus, pieļaujams, ka sildķermenī un loga vertikālās asis nesakrit. Izliekumu vietās cauruļu šķērsgriezums nedrīkst samazināties — tās nedrīkst būt saspieblas.

Pēc montāzas visas apkures sistēmas hermētiskums jāpārbauda ar hidraulisko spiedienu, kura lielums vienāds ar projektā paredzēto spiedienu plus 0,1 MPa, bet tas nedrīkst būt mazāks par 0,4 MPa. Ja 5 minūšu laikā spiediena kritums nepārsniedz 0,02 MPa, var atļaut izdarīt pārbaudes iekuri. Pirms sistēmas nodošanas ekspluatācijā jāpārbauda, vai visi sildķermenī ir silti. Ja tas tā nav, sistēma jāatgaiso, jāizlabo nepareizi samontēto posmu krituma virziens, jāizskalo cauruļvados iekļuvušie būvgruži vai jāregulē siltumnesēja caurplūde atsevišķos posmos. Ja visi sildķermenī ir silti, sastāda aktu par sistēmas iepriekšējo pieņemšanu ekspluatācijā, uzrādot pamānītos defektus. Ja cauruļvadi ievietoti nišās, tagad tās var aizmūrēt.

Galiga sistēmas pieņemšana iespējama tikai ziemā, kad sistēma jau atrodas normālā ekspluatācijā un var noskaidrot, vai visi sildķermenī silst pietiekami.

Noregulētai sistēmai jānodrošina visās telpās temperatūra, kas neatšķiras no projektā paredzētās vairāk par $1\ldots2^{\circ}\text{C}$.

Ūdens apkures sistēmas kalpo 40...50 gadus, bet tvaika apkures sistēmas — 25...35 gadus. Sīkie remonti jāveic pastāvīgi, bet lielākie remonti jāaplano vasarā. Neilgi pirms apkures sezonas sākuma sistēmu izskalo ar ūdeni un mēģinājumam ielaiž siltumnesēju, lai atklātu iespējamos, vasarā radušos neblīvumus.

Apstādinot sistēmu pavasarī, to izskalo un piepilda ar ūdeni, lai novērstu cauruļvadu rūsēšanu.

Apkures sistēma pastāvīgi jāregulē ekspluatācijas gaitā atkarībā no āra gaisa temperatūras izmaiņām. Ēkās ar iebūvētu katlu māju to veic kurinātājs, bet centralizētās apkures sistēmās — rajona katlu mājas vai TES apkalpojošais personāls.

Apkures sezonas laikā sistēmā jābūt vienam un tam pašam ūdenim. Tad tas satur mazāku gaisa daudzumu un sistēma mazāk rūsē.

Uzpildot sistēmu pavisārī pēc skalošanas, vēlams svaigoti ūdeni sasildīt vismaz līdz 95°C un izturēt 1 stundu, lai no tā izdalitos pēc iespējas vairāk gaisa.

Ūdens apkures sistēmas var regulēt kvantitatīvi (mainot sil-tumnesēja caurplūdi) un kvalitatīvi (mainot ūdens tempera-tūru), kā arī kombinējot abas metodes.

Tvaika apkuri praktiski pakāpeniski regulēt nav iespējams, to var tikai periodiski ieslēgt un izslēgt.

To our dear personal friend Mr. H. B. Stoeckel. We have been gratified by your kind letter, and are sorry to learn that you are still ill. We hope you will soon be well again, and that you will be able to get away from the city as soon as possible. We are sending you a copy of the "American Journal of the Medical Sciences," which we hope you will find interesting. We trust you will be well again soon, and that you will be able to get away from the city as soon as possible.

En su desarrollo, el análisis de la evolución de la población en el país ha permitido establecer que ésta ha crecido en promedio 2,5% anualmente, lo que implica una tasa de crecimiento de 2,5% anual. Sin embargo, el crecimiento real es menor, ya que se ha estimado que el crecimiento real es de 2,2% anual. La tasa de crecimiento real es menor que la tasa de crecimiento nominal porque existe una inflación constante que reduce el poder adquisitivo de la moneda. La inflación es un fenómeno que se observa en todos los países y que se expresa en la tasa de crecimiento nominal de la población.

For the first time, we have been able to demonstrate that the early stage of the disease can be detected by a blood test.

17.1.1. *Local history* is a concept which is often used to describe the history of a particular town or region, and it is often used to describe the history of a particular town or region.

PIELIKUMI

1. pielikums-

Masa plástica	kg/s	kg/h	lb/min
1 kg/s	1	3600	$132,28$
1 kg/h	$2,7778 \cdot 10^{-4}$	1	$3,67 \cdot 10^{-2}$
1 lb/min	$7,56 \cdot 10^{-3}$	27,216	

Bilvolums	kg/m^3	lb/ft^3
1 kg/m^3	1	$6,243 \cdot 10^{-2}$
1 lb/ft^3	16.0185	1

Siltumvadītspēja	$\frac{W}{m \cdot K}$	$\frac{kcal}{m \cdot h \cdot ^\circ C}$	$\frac{Btu}{ft \cdot h \cdot ^\circ F}$
1 W/(m · K)	1	0,860	0,5778
1 kcal/(m · h · °C)	1,163	1	0,6720
1 Btu/(ft · h · °F)	1,731	1,4882	1

Siltumapmaiņa	$\frac{W}{m^2 \cdot K}$	$\frac{kcal}{m^2 \cdot h \cdot ^\circ C}$	$\frac{Btu}{ft^2 \cdot h \cdot ^\circ F}$
1 W/(m ² ·K)	1	0,860	0,1761
1 kcal/(m ² ·h·°C)	1,163	1	0,205
1 Btu/(ft ² ·h·°F)	5,678	4,882	1

Ipatnējā siltumvadītspēja	J/(kg · K)	kcal/(kg · °C)	Btu/(lb · °F)
1 J/(kg · K)	1	$2,388 \cdot 10^{-4}$	$2,388 \cdot 10^{-4}$
1 kcal/(kg · °C)	4186,8	1	1
1 Btu/(lb · °F)	4186,8	1	1

Ipānējais siltuma daudzums	J/kg	kcal/kg	Btu/lb
1 J/kg	1	$2,388 \cdot 10^{-4}$	0,0043
1 kcal/kg	4187	1	1,80
1 Btu/lb	2326	0,55556	1

Jauda	kW	kgf · m/s	HP	kcal/h	ft · lb/s	hp (UK)	Btu/h
1 kW	1	102	1,36	860	738	1,34	3310
1 kgf · m/s	9,81 · 10 ⁻³	1	1,33 · 10 ⁻²	8,44	7,23	1,32 · 10 ⁻²	32,5
1 HP	0,735	75	1	632	542	0,986	2510
1 kcal/h	1,16 · 10 ⁻³	0,119	1,58 · 10 ⁻³	1	0,858	1,56 · 10 ⁻³	3,97
1 ft · lb/s	1,36	0,138	1,84 · 10 ⁻³	1,17	1	1,82 · 10 ⁻³	4,63
1 hp (UK)	0,745	76	1,014	642	550	1	2550
1 Btu/h	2,93 · 10 ⁻⁴	2,99 · 10 ⁻²	3,99 · 10 ⁻⁴	0,252	0,216	3,93 · 10 ⁻⁴	1

Spiediens	p _a	mbar	mm H _g	atm	In WG	psi
1 Pa	1	10 ⁻²	0,102	9,869 · 10 ⁻⁶	4,015 · 10 ⁻³	1,4504 · 10 ⁻⁴
1 mbar	100	1	10,197	9,869 · 10 ⁻⁴	0,4015	1,4504 · 10 ⁻²
1 mm H _g	9,807	9,807 · 10 ⁻²	1	9,678 · 10 ⁻⁵	3,937 · 10 ⁻²	1,4223 · 10 ⁻³
1 atm	1,013 · 10 ⁵	1013	1,0332 · 10 ⁴	1	406,77	14,696
1 in WG	249,10	2,491	25,4	2,453 · 10 ⁻³	1	3,613 · 10 ⁻²
1 psi	6835	68,95	703,1	6,805 · 10 ⁻²	27,68	1

1 atm (fizikālā atmosfēra) = 101,325 kPa = 760 mm H_g

1 at (tehniskā atmosfēra) = 1 kgf/cm² = 0,968 atm = 10⁴ mm H₂O

1 psi = 1 lbf/in²

Tilpuma plūsma	m ³ /s	m ³ /h	t/s	t ³ /s	t ² /min	gal(UK) min	gal(US) min
1 m ³ /s	1	3600	1000	35,3198	2119	13 198	15 850
1 m ³ /h	2,7778 · 10 ⁻⁴	1	0,2778	9,810 · 10 ⁻³	0,5886	3,666	4,403
1 l/s	10 ⁻³	3,6	1	0,03552	2,119	13,20	15,85
1 l ³ /s	0,0283168	101,9	28,32	1	60	373,7	448,9
1 l ³ /min	4,7195 · 10 ⁻⁴	1,699	0,4720	0,01667	1	6,229	7,481
1 gal(UK)/min	7,57682 · 10 ⁻⁵	0,02728	0,07577	2,675 · 10 ⁻³	0,1605	1	1,201
1 gal(US)/min	6,30888 · 10 ⁻⁵	0,02271	0,06309	2,2980 · 10 ⁻³	0,1337	0,8327	1

Enerģija	J	kgf · m	kW · h	kcal	ft · lbf	Btu
1 J	1	0,01020	2,778 · 10 ⁻⁷	2,388 · 10 ⁻⁴	0,7376	9,478 · 10 ⁻⁴
1 kgf · m	9,80665	1	2,724 · 10 ⁻⁶	2,312 · 10 ⁻³	7,233	9,295 · 10 ⁻³
1 kW · h	3,6 · 10 ⁶	3,671 · 10 ⁵	1	859,8	2,655 · 10 ⁶	3412
1 kcal	4186,8	426,9	1,163 · 10 ⁻³	1	3688	3,968
1 ft · lbf	1,3558	0,1383	3,766 · 10 ⁻⁷	3,258 · 10 ⁻⁴	1	1,285 · 10 ⁻³
1 Btu	1055,06	107,6	2,931 · 10 ⁻⁴	0,252	778,2	1

2. pielikums

Ēku norobežojošo konstrukciju siltumpārejas pretestības
(izraksts no Arhitektūras un celtniecības ministrijas
1991. gada 12. septembra pavēles Nr. 68)

Nr. p. k.	Norobežošās konstrukcijas nosaukums	Siltumpārejas pretestība R_o , m^2K/W , ja	
		$t_T \geq 18^\circ C$	$t_T < 18^\circ C$
<i>Jaunceļamām ēkām</i>			
1.	Slānains dzelzbetona ārsieni lielpanelis	2,2	2,2
2.	Kombinētas monolītās konstrukcijas ārsiena	2,5	2,0
3.	Mūra un sīko bloku atvieglota tipa ārsiena	2,0	1,5
4.	Citu tipu (izņemot 1. punktā minēto) slānaina ārsiena	3,0	2,0
5.	Iekšsieni panelis	1,0*	1,0
6.	Savietots jumts, pārsegums zem neapsildāmiem bēniņiem:		
	1—3 stāvu ēkām;	4,0	2,0
	4 un vairākstāvu ēkām	2,5	2,0
7.	Pārsegums zem apsildāmiem bēniņiem	2,0**	
8.	Pārsegums virs neapsildāmiem pagrabiem	2,0	2,0
9.	Grīdas klājums virs grunts	2,0	
<i>Remontējamām vai rekonstruējamām ēkām</i>			
10.	Ārsiena	3,0***	2,0***
11.	Savietots jumts un pārsegums:		
	1—3 stāvu ēkām;	4,0	2,0
	4 un vairākstāvu ēkām	2,5	1,5
12.	Pārsegums virs neapsildāma pagraba	2,0	2,0
<i>Logi:</i>			
13.	dzīvojamām, sabiedriskām un administratīvām ēkām;	0,42...0,53	0,42
14.	ražošanas ēkām;	0,31...0,48	0,31

* temperatūru starpība telpās, kuras atdala šķērssienu, ir ne mazāka kā $5^\circ C$;

** apsildāmo bēniņu konstrukciju siltumpārejas pretestība nosakāma, vadoties no šādiem nosacījumiem:

1) nav pieļaujama kondensāta veidošanās uz norobežojošo konstrukciju iekšējās virsmas;

2) uz pēdējā stāva griestu virsmas nav pieļaujama temperatūras pāzemēšanās zem normatīvās vērtības;

*** atbilstošu siltumpārejas pretestību nodrošina, ierīkojot ārsienai no ārpuses siltumizolācijas segumu.

3. pielikums

Būvmateriālu siltumtehiskie parametri

Materiāla nosaukums	ρ , kg/m ³	Ekspluatācijas apstākļi (pēc 5. pielikuma)			
		λ , W/(m · K)		S , W/(m · K)	
		A	B	A	B
<i>Betoni un javas</i>					
Dzelzbetons	2500	1,92	2,04	17,98	16,95
Oļu vai akmens šķembu betons	2400	1,74	1,86	16,77	17,88
Keramzītbetons no keramzītsmilts vai keramzītputubetons	1800	0,80	0,92	10,50	12,33
	1400	0,56	0,65	7,75	9,14
	1000	0,33	0,41	5,03	6,13
	600	0,20	0,26	3,03	3,78
Sārnu betons no granulētiem domnas sārniem	1800	0,70	0,81	9,82	11,18
	1400	0,52	0,58	7,46	8,34
Vermikulīta betons	1200	0,47	0,52	6,57	7,31
Gāzbetons vai putubetons	800	0,23	0,26	3,97	4,58
	400	0,11	0,13	1,94	2,29
	1000	0,41	0,47	6,13	7,09
	600	0,22	0,26	3,36	3,91
	300	0,11	0,13	1,68	1,95
Smilšu-cementa java	1800	0,76	0,93	9,60	11,09
Smilšu-kalķu java	1600	0,70	0,81	8,69	9,76
Sārnu-cementa java	1400	0,52	0,64	7,00	8,11
Gipša plātnes	1200	0,41	0,47	6,01	6,70
	1000	0,29	0,35	4,62	5,28
Sausais apmetums	800	0,19	0,21	3,34	3,66
<i>Kieģeļu vai akmens mūris</i>					
Parastie māla kieģeļi ar smilšu-cementa javu	1800	0,70	0,81	9,20	10,12
Parastie māla kieģeļi ar sārnu-cementa javu	1700	0,64	0,76	8,64	9,70
Silikātkieģeļi ar smilšu-cementa javu	1800	0,76	0,87	9,77	10,90
Trepeļkieģeļi ar smilšu-cementa javu	1200	0,47	0,52	6,26	6,49
Caurumotie keramiskie kieģeļi ar smilšu-cementa javu	1400	0,52	0,58	7,01	7,56
Caurumotie silikātkieģeļi ar smilšu-cementa javu	1500	0,70	0,81	8,59	9,63
Granīts	2800	3,49	3,49	25,04	25,04
Kalķakmens	1800	0,93	1,05	10,85	11,77
	1400	0,56	0,58	7,42	7,42
<i>Koks un citi dabiskie materiāli</i>					
Skuju koki, perpendikulāri šķiedrām	500	0,14	0,18	3,87	4,54
Skuju koki, paralelli šķiedrām	500	0,29	0,35	5,56	6,33
Ozols, perpendikulāri šķiedrām	700	0,18	0,23	5,00	5,86
Ozols, paralelli šķiedrām	700	0,35	0,41	6,90	7,83
Apdares kartons	1000	0,21	0,23	6,20	6,75
Daudzslāņu būvkartons	650	0,15	0,18	4,26	4,89

3. pielikuma turpinājums

Materiāla nosaukums	ρ , kg/m ³	Ekspluatācijas apstākļi (pēc 5. pielikuma)			
		λ , W/(m · K)		S , W/(m · K)	
		A	B	A	B
Kokskaidu plātes	1000	0,23	0,29	6,75	7,70
	800	0,19	0,23	5,49	6,13
	400	0,11	0,13	2,95	3,26
	200	0,07	0,08	1,67	1,81
Kūdras siltumizolācijas plātes	300	0,07	0,08	2,12	2,34
	200	0,06	0,064	1,60	1,71
Pakulas	150	0,06	0,07	1,30	1,47
<i>Siltumizolācijas materiāli</i>					
Cauršūti minerālvates paklāji	125	0,064	0,07	0,73	0,82
	75	0,06	0,064	0,55	0,61
	50	0,052	0,06	0,42	0,48
Minerālvates plātnes	350	0,09	0,11	1,46	1,72
	300	0,087	0,09	1,32	1,44
	200	0,076	0,08	1,01	1,11
	100	0,06	0,07	0,64	0,73
	50	0,052	0,06	0,42	0,48
Stikla šķiedras paklāji	150	0,064	0,07	0,80	0,90
Polistirola putuplasts	150	0,052	0,06	0,89	0,99
	100	0,041	0,052	0,65	0,82
	40	0,041	0,05	0,41	0,49
Putuplasts	125	0,06	0,064	0,86	0,99
	100	0,05	0,052	0,68	0,80
<i>mazāk</i>					
Poliiuretāna putuplasts	80	0,05	0,05	0,67	0,70
	60	0,041	0,041	0,53	0,55
	40	0,04	0,04	0,40	0,42
Perlīta belons	200	0,052	0,06	0,93	1,01
	100	0,041	0,05	0,58	0,66
<i>Dubulto sienu pildījuma vai bēniņu segkārtas materiāli</i>					
Keramzīts	800	0,21	0,23	3,36	3,60
	600	0,17	0,20	2,62	2,91
	400	0,13	0,14	1,87	1,99
	200	0,11	0,12	1,22	1,30
Izdedži	800	0,21	0,26	3,36	3,83
	600	0,18	0,21	2,70	2,98
	400	0,14	0,16	1,94	2,12
Uzpūstais vermiculīts	200	0,09	0,11	1,08	1,24
	100	0,076	0,08	0,70	0,75
Smilts	1600	0,47	0,58	6,95	7,91
Putustikls	400	0,12	0,14	1,76	1,94
	300	0,11	0,12	1,46	1,56
	200	0,08	0,09	1,01	1,10

3. pielikuma turpinājums

Materiāla nosaukums	ρ , kg/m ³	Ekspluatācijas apstākļi (pēc 5. pielikuma)			
		λ , W/(m · K)		S , W/(m · K)	
		A	B	A	B
Hidroizolācijas, apdares, jumtu seguma un gridu klājuma materiāli					
Azbestcementa loksnes	1800	0,47	0,52	7,55	8,12
Bitumens	1200	0,22	0,22	5,69	5,69
Asfaltbetons	2100	1,05	1,05	16,43	16,43
Ruberoida, pergaminā vai pape linolejs	600	0,17	0,17	3,53	3,53
Daudzslāņu polivinilchlorida	1800	0,38	0,38	8,56	8,56
Linolejs ar auduma pamatni	1600	0,33	0,33	7,52	7,52
	1800	0,35	0,35	8,22	8,22
	1600	0,29	0,29	7,05	7,05
	1400	0,23	0,23	5,87	5,87
<i>Metāli un stikls</i>					
Tērauds	7850	58	58	126,5	126,5
Cuguns	7200	50	50	112,5	112,5
Alumīnijs	2600	221	221	187,6	187,6
Varš	8500	407	407	326	326
Logu stikls	2500	0,76	0,76	10,79	10,79

4. pielikums

Telpu mitruma režīms

Režīms	Relatīvais telpas gaisa mitrums, %		
	$t_T < 12^{\circ}\text{C}$	$12 \leq t_T \leq 24^{\circ}\text{C}$	$t_T > 24^{\circ}\text{C}$
Sauss	Līdz 60	Līdz 50	Līdz 40
Normāls	60 ... 75	50 ... 60	40 ... 50
Mitrs	75	60 ... 75	50 ... 60
Slapjs		75	60

5. pielikums

Dati siltumvadītspējas koeficienta aprēķina vērtību izvēlei
atkarībā no konstrukcijas ekspluatācijas apstākļiem (A vai B)

Telpas mitruma režīms (4. pielikums)	Mitruma zonas (5. pielikums)		
	sausa (S)	normāla (N)	mitra (M)
Sauss	A	A	B
Normāls	A	B	B
Mitrs vai slapjs	B	B	B

6. pielikums

Klimatiskie dati dažādām pilsētām

Geogrāfiskais punkts	Āra gaisa temperatūra, °C							
	viszemākā temperatūra $t_{A\min}$	visaukstākais diennakts vidējā temperatūra t_{A1}	trīju visaukstāko diennakšu vidējā temperatūra t_{A3}	piecu visaukstāko diennakšu vidējā temperatūra t_{A5}	aptukes perioda ilgums n_{ap}	aptukes perioda ilgums n_{ap} diennakts	Janvāri vidējā visiefikācijas veļu daudzums g/m^2	Mitruma zona
Daugavpils	-43	-30	-29	-27	-1,5	203	5,1	N
Gulbene	-39	-30	-28	-25	-1,6	215	3,8	N
Jelgava	-34	-24	-22	-20	-0,3	201		N
Kauņa	-36	-24	-22	-20	-0,5	192	4,9	N
Klaipēda	-35	-22	-20	-18	+0,4	194	10,5	M
Liepāja	-33	-23	-21	-18	+0,8	202	8,6	M
Panevēža	-37	-25	-24	-22	-0,7	199	4,7	N
Pērnava	-35	-26	-24	-22	-0,8	211	8,6	M
Priekule	-38	-26	-25	-24	-1,3	209		M
Rīga	-32	-25	-23	-20	-0,4	205	4,5	N
Sauli	-36	-25	-23	-21	-0,9	200		N
Tallina	-32	-25	-23	-21	-0,8	221	7,7	M
Tartu	-35	-29	-26	-23	-1,5	214	6,6	M
Taurupe	-37	-29	-27	-25	-1,4	211		N
Valka	-39	-27	-26	-25	-1,5	214	4,3	N
Ventspils	-32	-23	-21	-18	+0,7	207	9,7	M
Viļņa	-37	-25	-24	-23	-0,9	194	5,5	N

Āra gaisa aprēķina temperatūras t_A vērtības atkarībā no siltuma inerces raksturojuma D

7. pielikums

Āra gaisa aprēķina temperatūra t_A , °C

Norobežojošās konstrukcijas siltuma inerces raksturojums D	Viszemākā āra gaisa temperatūra $t_{A\min}$. Visaukstākās diennakts vidējā temperatūra t_{A1} . Trīju visaukstāko diennakšu vidējā temperatūra t_{A3} . Piecu visaukstāko diennakšu vidējā temperatūra t_{A5} .
Līdz 1,5	
Virs 1,5 līdz 4	
Virs 4 līdz 7	
Virs 7	

8. pielikums

Koka rāmju logu un durvju siltumpārejas pretestības R_0 un koeficients $1/R_0$ vērtības

Konstrukcija	R_0 , m ² K/W	1/ R_0 , W/(m ² · K)	
		paneļu ēkās	liegēļu ēkās
Vienkārtas stiklojums	0,17	5,8	
Dubultstiklojums vienā rāmī	0,345	2,9	3,5
Dubultstiklojums divos atsevišķos rāmjos	0,38	2,65	3,13
Ārejās durvis	0,215	4,65	4,65
Ārejās dubultdurvis	0,43	2,32	2,32

9. pielikums

Udens blīvuma ρ , kg/m³, vērtības 40...99 °C temperatūrā

Grādi	40	50	60	70	80	90
0	992,24	988,07	983,24	977,81	971,83	965,34
1	991,86	987,62	982,72	977,23	971,21	964,67
2	991,47	987,15	982,2	976,66	970,57	963,99
3	991,07	986,69	981,67	976,07	969,94	963,3
4	990,66	986,21	981,13	975,48	969,3	962,61
5	990,25	985,73	980,59	974,89	963,65	961,92
6	989,82	985,25	980,05	974,29	968	961,22
7	989,4	984,75	979,5	973,68	967,34	960,51
8	988,96	984,25	978,94	973,07	966,68	959,81
9	988,52	983,75	978,38	972,45	966,01	959,09

10. pielikums

Koeficients β_1 vērtības

Sildkermeņu tipizmēru solis, kW	0,12	0,15	0,18	0,21	0,24	0,3
β_1	1,02	1,03	1,04	1,06	1,08	1,13

11. pielikums

Koeficients β_2 vērtības atkarībā no sildkermeņa uzstādīšanas vietas

Sildkermens	Pie ārejās sienas, ar zem loga	Pie stiklotas ārejās norobežojošās konstrukcijas
Radiators:		
čuguna tēraudā	1,02	1,07
Konvektors:		
ar apvalku	1,04	1,10
bez apvalku	1,02	1,06
	1,03	1,07

12. pielikums

Tabula ūdens apkures sistēmu hidrauliskajam aprēķinam,
ja $t_k=95^{\circ}\text{C}$, $t_a=70^{\circ}\text{C}$ un caurules iekšējās virsmas
absolūtais negludums $k=0,2 \text{ mm}$

Ipatnējie lineārie spiediena zudumi berzes dēļ R , Pa/m	Ūdens daudzums G , kg/h, (augšējais skaitlis) un ūdens ātrums v , m/s, (apakšējais skaitlis) uz cauruļvada 1 m, ja caurules nosacītais diametrs d , mm, ir						
	15	20	25	32	40	50	70
1	16,5 0,023	36 0,028	69 0,034	148 0,041	210 0,045	409 0,052	788 0,06
1,2	17,5 0,025	40 0,031	76 0,037	164 0,045	229 0,048	454 0,059	872 0,067
1,4	19 0,027	44 0,034	84 0,041	180 0,049	249 0,052	496 0,064	948 0,073
1,6	21 0,03	47 0,037	96 0,045	191 0,053	269 0,057	535 0,069	1016 0,075
1,8	22 0,031	50 0,039	108 0,051	197 0,054	287 0,06	571 0,073	1077 0,082
2	24 0,033	53 0,042	111 0,054	203 0,057	304 0,064	606 0,078	1137 0,087
2,4	26 0,037	59 0,046	120 0,057	223 0,062	338 0,071	671 0,087	1258 0,096
2,8	28 0,041	64 0,05	130 0,064	244 0,068	368 0,077	729 0,096	1377 0,106
3,2	31 0,044	72 0,058	140 0,068	263 0,073	396 0,083	774 0,102	1438 0,114
3,6	33 0,047	80 0,062	143 0,071	281 0,078	422 0,089	818 0,108	1576 0,121
4	35 0,05	85 0,065	146 0,073	299 0,082	448 0,094	861 0,115	1667 0,128
5	40 0,057	95 0,073	157 0,074	336 0,093	507 0,107	971 0,13	1898 0,145
6	44 0,063	103 0,08	169 0,082	373 0,103	559 0,118	1081 0,144	2090 0,16
7	48 0,069	111 0,086	184 0,089	406 0,112	601 0,126	1172 0,152	2269 0,174
8	55 0,082	113 0,088	199 0,097	434 0,12	642 0,135	1236 0,161	2470 0,178
9	57 0,084	119 0,092	212 0,103	463 0,128	648 0,144	1354 0,171	2593 0,199

12. pielikuma turpinājums

Ipatnējie lineārie spiediena zudumi berzes dēļ R , Pa/m	Ūdens daudzums G , kg/h, (augšējais skaitlis) un ūdens ātrums v , m/s, (apakšējais skaitlis) uz cauruļvada 1 m, ja caurules nosacītais diametrs d , mm, ir						
	15	20	25	32	40	50	70
10	59 0,087	126 0,097	225 0,109	490 0,136	726 0,151	1445 0,182	2744 0,21
12	63 0,093	140 0,108	248 0,12	537 0,149	809 0,17	1583 0,201	3011 0,23
14	67 0,098	151 0,117	269 0,131	579 0,16	876 0,184	1720 0,218	3246 0,248
16	70 0,103	163 0,126	289 0,141	621 0,172	937 0,197	1858 0,236	3428 0,266
18	74 0,108	174 0,135	309 0,15	663 0,184	997 0,21	1974 0,251	3718 0,284
20	77 0,114	184 0,142	332 0,161	705 0,195	1058 0,222	2090 0,265	3953 0,302
24	84 0,124	204 0,157	360 0,175	778 0,215	1166 0,245	2291 0,291	4327 0,331
28	91 0,135	221 0,171	391 0,19	840 0,233	1261 0,265	2645 0,312	4702 0,35
32	98 0,145	237 0,183	416 0,202	902 0,25	1357 0,284	2740 0,334	5043 0,383
36	106 0,156	256 0,195	441 0,214	964 0,267	1444 0,304	2814 0,356	5350 0,409
40	112 0,164	267 0,206	467 0,226	1026 0,284	1524 0,321	2973 0,376	5657 0,433
50	126 0,186	297 0,23	530 0,257	1149 0,318	1710 0,36	3336 0,422	6339 0,485
60	139 0,205	324 0,25	593 0,288	1270 0,352	1866 0,393	3699 0,468	6971 0,533
70	151 0,223	351 0,271	635 0,308	1369 0,379	2022 0,426	3988 0,504	7534 0,576
80	162 0,239	377 0,291	677 0,328	1467 0,406	2178 0,458	4276 0,54	8066 0,618
90	173 0,255	404 0,312	719 0,348	1554 0,43	2309 0,486	4543 0,574	8567 0,655
100	183 0,269	430 0,332	759 0,369	1632 0,452	2431 0,512	4788 0,605	9035 0,691

12. pielikuma turpinājums

Ipatnējie lineārie spiediena zudumi berzes dēļ R , Pa/m	Odens daudzums G , kg/h. (augšējais skaitlis) un ūdens ātrums v , m/s, (apakšējais skaitlis) uz cauruļvada 1 m, ja caurules nosacītais diametrs d , mm, ir						
	15	20	25	32	40	50	70
120	201 0,295	469 0,362	835 0,405	1786 0,494	2674 0,563	5250 0,664	9899 0,757
140	216 0,318	507 0,392	904 0,438	1939 0,537	2895 0,609	5686 0,719	10 584 0,81
160	229 0,338	546 0,422	972 0,471	2079 0,575	3095 0,651	6093 0,77	11 269 0,862
180	243 0,358	584 0,451	1028 0,499	2201 0,609	3294 0,693	6473 0,818	11 953 0,914

13. pielikums

Vietējās pretestības koeficients ξ vērtības
dažadiem apkures sistēmu elementiem

Apkures sistēmas elementi	ξ	Apkures sistēmas elementi	t, ja caurules diametrs d , mm, ir						
			15	20	25	32	40	50 un vārāk	
Divkolonnu radiatori	2	Ventili: parastie taisnplūdes	16	10	9	9	8	7	
Katli: cuguna	2,5	Aizbīdņi: Caurplūdes krāni	3	3	3	2,5	2,5	2	
Krass paplašinājums	1	Dubultiestādāms, regulējams	4	2	2	2	—	—	
Krass sašaurinājums	0,5	Pagrieznis	4	2	2	—	—	—	
Kompensatori: Plāveida bļivslēga	2 0,5	Trīscelju krāni: plūsmas pagriezenā	3	3	4,5	—	—	—	
T gabali: caurplūde atzarojumā	1,5	taisnā plūsmā	2	1,5	2	—	—	—	
Pretpļūsmā:	3	Pagriezens 90°	1,5	1,5	1	1	0,5	0,5	
Krustgabali: caurplūde atzarojumā	2	Apliekums cauruļvadu krustojumā	3	2	2	2	2	2	
Alikape	0,5								

Dabiskais spiediens Δp , Pa, cauruļvados
dabiskās cirkulācijas divcauruļu apkures sistēmā
ar augšējo sadali

Sistēmas cauruļvadu garums plānā, m	Sildķermena augstums virs kalla, m	Galvenā stāvvada un aprēķināmā stāvvada savstarpē jais attālums plānā, m			
		līdz 10	10...20	20...30	30...50
<i>Atklāti novietoti neizolēti stāvvadi</i>					
Līdz 25 25...50	Līdz 7	100 100	100 100	150 150	200
Līdz 25 25...30	Līdz 15	250 250	250 250	250 300	350
<i>Nišas novietoti neizolēti stāvvadi</i>					
Līdz 25 25...50	Līdz 7	80 80	100 80	130 130	150
Līdz 25 25...50	Līdz 15	180 180	200 200	280 250	300

Piezīmes. 1. Viencaurules sistēmām pam 50% no uzrādītajām vērtībām.

2. Sistēmām ar piespiedu cirkulāciju pam 40% no uzrādītajām vērtībām, bet slēgtās montāžas gadījumā Δp ne pam vērā.

15. pielikums

Dinamiskā spiediena p_d vērtības							
Odens ātrums v , m/s	p_d , Pa	Odens ātrums v , m/s	p_d , Pa	Odens ātrums v , m/s	p_d , Pa	Odens ātrums v , m/s	p_d , Pa
0,01	0,05	0,21	0,41	21,6	82,4	0,61	183,4
0,02	0,19	0,22	0,42	23,5	86,3	0,62	189,3
0,03	0,44	0,23	0,43	26,5	91,2	0,65	207,9
0,04	0,78	0,24	0,44	28,4	95,1	0,68	227,5
0,05	1,23	0,25	0,45	30,4	99,1	0,71	248,2
0,06	1,77	0,26	0,46	33,3	104,0	0,74	268,7
0,07	2,45	0,27	0,47	36,3	108,9	0,77	291,3
0,08	3,14	0,28	0,48	38,3	112,8	0,80	314,8
0,09	4,02	0,29	0,49	41,2	117,7	0,85	335,0
0,10	4,90	0,30	0,50	44,13	122,6	0,90	358,2
0,11	5,98	0,31	0,51	47,1	127,5	0,95	444,2
0,12	7,06	0,32	0,52	50,0	133,4	1,00	490,3
0,13	8,34	0,33	0,53	53,9	139,1	1,05	539,4
0,14	9,61	0,34	0,54	56,9	143,2	1,10	590,2
0,15	11,08	0,35	0,55	59,8	149,1	1,15	647,2
0,16	12,56	0,36	0,56	63,7	154,0	1,20	706,1
0,17	14,22	0,37	0,57	67,7	159,9	1,25	764,9
0,18	15,89	0,38	0,58	70,6	165,7	1,30	833,6
0,19	17,75	0,39	0,59	74,5	170,6	1,35	892,4
0,20	19,62	0,40	0,60	78,5	176,5	1,40	961,1

16. pielikums

Izplešanās tvertņu (cilindrisku) izmēri

Izdz pārplūdes vadam	Tvertnes tilpums, l derīgais	Izmēri, mm		Cauruļu diametrs, mm		
		D	H	izplešanās vada cirkulācijas vada	pārplūdes vada	
100	67	645				32
150	101	570				
200	134	660	710	25	20	40
300	212	815				
400	283	940				
500	397	850				
600	476	930				
800	642	1080	1000	32	25	50
1000	799	1205				

Piezīme. Signalizācijas vada diametrs ir 20 cm.

$$G \text{ gais } 65\% = 0,24 \text{ kkal/}^{\circ}\text{C m}^3$$

$$C_{H_2O} = 1 \text{ kkal/}^{\circ}\text{C kg}$$

$$1000 \text{ kkal/}^{\circ}\text{C m}^3$$

$$1 \text{ kW} = 860 \text{ kkal/R}$$

$$1 \text{ W} = \frac{0,86 \text{ kkal}}{\text{m}^3 \cdot ^{\circ}\text{C R}}$$

$$1 \text{ J/sec} = 1 \text{ W}$$

Izzīnu dati

Siltumapgāde, T 80 – 60°C $\xi = 970 \text{ kg/m}^3$			Aukstumapgāde, T 7 – 12°C $\xi = 1000 \text{ kg/m}^3$		
DN	Ūdens daudzums m^3/st	Siltuma slodze kW	DN	Ūdens daudzums m^3/st	Aukstuma slodze kW
15	0,2 + 0,35	4,5 + 7,9	15	0,2 + 0,35	1,16 + 2,0
20	0,6 + 0,9	14,2 + 19,8	20	0,6 + 0,95	3,5 + 5,5
25	1,1 + 1,6	24,8 + 36,1	25	1,1 + 1,9	6,4 + 11,0
32	2,1 + 2,8	47,4 + 63,1	32	1,7 + 2,9	3,8 + 16,8
40	2,8 + 3,7	63,1 + 83,4	40	2,3 + 4,8	13,3 + 27,8
50	4,4 + 7,5	99,2 + 169,0	50	4,5 + 7,5	26,1 + 43,5
65	8,3 + 13,8	187 + 311	65	8,3 + 13,8	48,1 + 80,0
80	11,6 + 21,2	262 + 478	80	11,6 + 19,3	67,3 + 120,0
100	19,9 + 32,1	449 + 724	100	17,0 + 29,0	99,0 + 168,0
125	31,5 + 52,1	710 + 1170	125	26,5 + 44,3	154,0 + 256,0
150	44,5 + 76,8	1000 + 1730	150	38,5 + 65,0	223,0 + 377,0
200	87,1 + 159,5	1960 + 3590	200	85,1 + 125,5	494,0 + 727,0